

# GEOLOGICKÉ PRÁCE

ZPRÁVY 43

2  
946  
ws

GEOLOGICKÝ ÚSTAV DIONÝZA ŠTÚRA, BRATISLAVA 1967

REDAKČNÁ RADA

Dr. Edita Brestenská, dr. Oto Fusán, pg. Jozef Gubač, prof. dr. Jakub Kame-  
nický, inž. Eugen Kullman, prof. dr. Miroslav Kuthan, dr. Ondrej Samuel,  
inž. Ján Slávik, dr. Laurenc Snopko

VEDECKÝ REDAKTOR:

Dr. Ondrej Samuel, CSc.

1 B 19 b



26-Kč

1404/1967

## OBSAH — CONTENTS — INHALT

|  |     |
|--|-----|
| 1. Ivanov M.: Metasomatické polymetalické a pyritové zrudnenie Muránskej plošiny (Metasomatic Pyrite and Polymetallic Mineralization of the Murá Plateau) . . . . .  | 5   |
| 2. Kraus I.: Petrograficko-mineralogické pomery a genéza ilových sedimentov Žiarskej kotliny (Petrographisch-mineralogische Verhältnisse und Genese der Tonsedimente im Žiar-Kessel) . . . . .                         | 25  |
| 3. Mahel M.: Tektonogrupy — nová tektonická kategória . . . . .  | 53  |
| 4. Buday T. — Špička V.: Paleogeografie a tektogeneze sev. výběžků Podunajské pánve a jejich perspektivnost pro naftu a plyn (Zur Paläogeographie und Tektogenese der nördlichen Ausläufer des Donaubeckens) . . . . . | 59  |
| 5. Siblík M.: Ramenonožci noru z lokality Drnava (Slovenský kras) (The Brachiopods of the Norian Locality Drnava) <i>Pl. I—IV.</i> . . . . .   | 81  |
| 6. Kolosváry G.: VI. Angabe zur Kenntnis der Triaskorallen und der begleitenden Fauna der ČSSR ( <i>Taf. V—IX</i> ) . . . . .  | 99  |
| 7. Jurášová F.: Coecolithophoridae (Flagellata) na lokalite Biskupice (Coccolithophoridae vom Fundorte Biskupice) ( <i>Tab. XV—XVI</i> ) . . . . .   | 111 |
| 8. Gašparíková V. — Slávik J.: Spodný tortón s. l. v sv. časti Vihorlatu (Untertorton s. l. im nordöstlichen Teil von Vihorlat) . . . . .  | 119 |
| 9. Cicha I. — Seneš J. — Tejkal J.: Návrh na vytvorenie neostratotypov a tzv. otvorenej chronostratigrafickej škály . . . . .  | 125 |
| 10. Forgáč J. — Kováčik J.: Niekoľko poznámok k otázke ryolitov v centrálnej časti štiavnického rudného pola (Bemerkungen zur Stellung der Rhyolithe im Zentralteil des Erzfeldes von Banská Štiavnica) . . . . .      | 133 |
| 11. Eliáš K. — Kantor J. — Štohl J.: Intramineralizačné postavenie ryolitov v Banskej Štiavnici (Intramineralizational Position of Rhyolites in Banská Štiavnica) . . . . .  | 141 |
| 12. Škvarka L.: Výskum vôd stredoslovenských neovulkanitov a ich podložia (Problems of Water in Neovolcanites of Central Slovakia) . . . . .   | 157 |
| 13. Pošpišil P.: Význam neotektoniky pre formovanie hydrogeologického charakteru nížinných oblastí Západných Karpát (Function of the Neotectonic in Hydrogeology of the West Carpathian Valleys) . . . . .             | 171 |

**Zprávy, diskusia:** Gregor T.: Poznámky ku genéze a tektonickému postaveniu niektorých Mn ložísk na Kube (Notes on the Genesis and Tectonic Position of Some Mn-deposits in Cuba; *Pl. XI.—XII*) — Afanasjev—Drnzik: Nové poznatky o faciálnom vývoji permu čiernovázskej série Nízkych Tatier. — Kušík R.: Karbonátový vývoj keupra vo vysokotatranskej (obalovej) sérii pod Zámkami; (*Tab. XIII*) — Kušík R.: Metakryštály dolomitu ako jeden z rozlišovacích znakov pri určovaní sukcesie vzniku minerálov (*Tab. XIV*) — Kochanová—Peržel—Salaj: Vorkommen der Rhaetgesteine inmitten der liassischen Kalk-Dolomitbrekzien der tatriden Hüllenserie in den Kleinen Karpaten . . . . .

179

MIROSLAV IVANOV

## METASOMATICKÉ POLYMETALICKÉ A PYRITOVÉ ZRUDNENIE MURÁNSKEJ PLOŠINY

Hlavnou úlohou metalogenetického výskumu Muránskej plošiny bolo zistiť, či v tejto oblasti existujú skryté metasomatické ložiská, resp. či geologicko-tektonická stavba a litologický charakter hornín sú vôbec vhodné pre vznik metasomatického zrudnenia. K takýmto úvahám nás podnietili staré banské práce v okrajových častiach Muránskej plošiny, najmä Pb—Zn—Cu (Ag) metasomatické ložisko v karbónskych dolomitických vápencoch na Lapinke JV od Struženíka, fažené ešte v XVI. storočí (Maderspach 1916), ako aj menšie opustené kutačky s pyritovou mineralizáciou vo Foederata sérii na Magurke, Sosnine a Gindure JZ od Pohronskej Maše a 2 výskyty Fe—Cu mineralizácie žilného typu vo werfene južne od Čistého Gruňa a na južných svahoch Muránskej plošiny v závere doliny Hrdzavej (pozri obr. 1). V prípade existencie skrytých metasomatických ložísk mali by sme sa na povrchu stretúť aspoň s ich primárnu hydrotermálnou aureolou. Zamerali sme sa preto na štruktúrne-geochemické zmeny v jednotlivých sedimentárnych komplexoch, resp. na hľadanie geochemických anomálíí, pretože hydrotermálne procesy v karbonátoch sa prejavujú zmenou pôvodnej štruktúry a geochemicky prínosom hlavných, alebo sprievodných prvkov hydrotermálneho pôvodu.

Sekundárne aureoly sme metalometricky študovali len v niektorých úsekoch (v oblastiach už s makroskopicky nápadným sfarbením); nepredpokladali sme totiž priame východy zrudnenia na povrchu (ktoré by starcom už neboli známe).

Geochemický výskum význačnejších prameňov Muránskej plošiny (spektrochemicky z odparku vód) robil Gazda (1961—63). V oblasti Muránskej plošiny sa uskutočnil aj litologický výskum sedimentárnych členov Foederata série i werfenu ako aj karbonátových hornín triasu za účelom zistenia vhodnosti jednotlivých stratigrafických horizontov pre metasomatické zrudnenie. Oso-

bitnú pozornosť sme venovali náväznosti hydrotermálnych zrudnení na štruktúrno-geologickej stavbe územia a mineralogicko-paragenetickým štúdiám starých rudných výskytov i novozistených anomalií.

V druhej etape sa uskutočnil vrtný prospekčno-štruktúrny výskum.

### *Geologická stavba územia*

Muránska plošina, ktorú v posledných rokoch geologicky študoval Bystrický (1958) a Biely (1960), predstavuje mohutnú, niekoľko desiatok km<sup>2</sup> veľkú tektonickú kryhu, budovanú spodno a strednotriásovými sedimentmi. Podľa spomenutých autorov na báze sú vyvinuté werfenské bridlice s bunkovitými vápencami, nad nimi ležia vápence a dolomity anisu. Prevažnú časť Muránskej plošiny zaberajú svetlé wettersteinské vápence. Uloženie vrstiev je skoro horizontálne, s miernym úklonom k JV. Východné ohraničenie plošiny je tektonické; mezozoické série tu končia na tzv. muránskej línií.

Pod werfenom v okrajových častiach Muránskej plošiny a v tektonických oknách sú sediment. členy tzv. Foederata séria, a to kvarcitické grafitické chloriticko-sericitické a sericitické fyllity a metamorfované vápence a dolomity. Názory na vek tejto série sú rôzne. Pouba (1951) a Máška (1959) ju považujú za karbón, Bystrický (1958) a Biely (1960) za metamorfované mezozoikum. Na základe svojich výskumov prikláňam sa k názoru o karbónskom veku série (pozri ďalej). V podloží Foederata séria ležia kremence, príp. kremité fyllity priamo na kryštalických bridliciach; posledné predstavujú najstaršie horniny územia.

### *K otázke veku Foederata série*

Kedže Foederata séria zohrala v metalogenéze Muránskej plošiny významnú úlohu, rozoberieme podrobnejšie jej litologicko-stratigrafické a metamorfné pomery.

Foederata séria je známa z okrajových častí Muránskej plošiny, vždy v podloží werfenu, a je vždy intenzívnejšie metamorfovaná, jej úklon (cca 30—40° k V) oproti werfenu vykazuje smerovú diskordanciu. Z celkovej geologickej stavby územia možno predpoklaďať, že hoci táto séria nevystupuje na povrch všade, je vyvinutá pod značnou časťou plošiny (s výnimkou miesta tektonického vyvalcovania).

Pozícia Foederata séria na podložných kvarcitoch a biotitických pararulách nie je asi autochtónna. Nasvedčuje tomu nejednotný litologický sled v jednotlivých susediacich ostrovoch i paralelizácia s karbónom gemeríd, kde celkovo pozorujeme tendenciu zmeny sedimentácie z detritických hornín ku karbonatickým. V oblasti Muránskej plošiny sedimentárne členy Foederata séria nezačínajú bridličnatým súvrstvím, ale karbonátovými horninami (prevrátená séria). Nevyjasnené je postavenie tzv. Foederata kvarcitov; časť týchto kvarcitov, považovaných za spodný trias, môže spadať ešte do karbónskej sedimentácie (obdoba s územím na styku gemeríd a vaporíd).

Druhá príčina, prečo pod muránskym mezozoikom nemožno vždy predpokladať existenciu Foederata série, vyplývala z tektonického aspektu. Pri presune vlastných mäs muránskeho mezozoika (ktoré možno interpretovať ako strižný príkrov) mohlo dôjsť k vyvalcovaniu, príp. k úplnej redukcii podložných vrstiev.

Z toho vyplýva, že na geologickej stavbe Muránskej plošiny sa podielali aspoň dva samostatné alpinotypné tektonické procesy.

Foederata sériu budujú zväčša detritické horniny, rôzne typy sericiticko-chloritických, sericitických a grafitických fylitov s polohami metamorfovaných vápencov a dolomitov. Medzi Švermovom a Pustým Poľom (už mimo územia Muránskej plošiny) zistili sa v nej i menšie polohy diabázových tufitov.

V minulosti niektorí autori (Biely 1960) oddelovali od Foederata sériu karbónske detritické horniny (napr. sericitické fylity južne od Novej Máše; komplex fylitov západne od Vernára). Na základe vlastných štúdií myslím, žeby bolo správnejšie považovať sedimentárne komplexy Foederata série i karbónu za produkt jednotnej — karbónskej sedimentácie. Okrem litologických pomerov svedčia pre to i metamorfné procesy. Na rozdiel od nemetamorfovaných nadložných werfenských bridíc a strednotriásowych karbonátov sú vrstvy Foederata série vždy epizónalne, lokálne až mezozonálne metamorfované. Tento markantný metamorfén skok je evidentný na všetkých lokalitách. Predpokladám, že k metamorfóze Foederata série došlo prvý raz ešte počas hercýnskej fázy vrásnenia; druhý raz lokálne počas presunu mezozoických mas cez Foederata sériu.

### Ložiskové a paragenetické pomery na starých rudných výskytoch

[1] *Polymetalické (Pb—Zn—Cu—Ag) zrudnenie na Lapinke (Livius-Samuel)* patrilo k najvýznamnejším v oblasti Muránskej plošiny. Leží cca 3 km JJZ od Pohorelskej Maše v Ráczovej doline, blízko styku karbónu s kryštalínikom Fabovej hole. Ložisko sa fažilo hlavne pre zvýšený obsah Ag a čiastočne Au ešte v XVI. storočí (Maderspach 1916).

Podľa Poubu (1951) ide tu o vrstevno-metasomatické zrudnenie na rozhraní karbónskych dolomitických vápencov a nadložných grafitických bridíc, smeru zhruba S—J s úklonom 40—50° k V. Jeho priebeh býva prerušovaný priečnymi dislokáciami. Je vyvinuté v podobe metasomatických šošoviek, po prípade žilníkov max. hrúbky 70 cm (v priemere 10—40 cm). Medzi zrudnenými šošovkami tvorí zrudnenie len žilníky s hustou sieťou paralelných žiliek konkordantného smeru (1—3 mm hrubé).

Ložisko bolo sledované na 3 obzoroch, na vzdialenosť cca 100 m a do hĺbky cca 20 m. Jeho pokračovanie na sever nebolo overené.

*Hlavné rudné minerály* (podľa Poubu) sú: tmavohnedý sfalerit (ktorý prevláda), galenit a tetraedrit (švacit — obsah Hg) a pyrit. Okraje rudných žiliek tvorí žltohnedý, inokedy biely ankerit. *Sukcesia vylučovania:* kremeň — pyrit — ankerit — sfalerit — galenit — tetraedrit — sek. minerály (smítsonit, malachit, azurit, aragonit). Hlavnými nositeľmi Ag sú galenit a tetraedrit. Hlavným nositeľom Au je tetraedrit (cca 4 gr/t).

[2] *Fe—(Cu) zrudnenie vo werfene na severnom úpätí Muránskej plošiny* je známe cca 3 km J od Pohorelskej Maše JV od kóty 792. Staré banské práce už nie sú prístupné, takže len z haldového materiálu a z rýh dá sa usúdiť na charakter mineralizácie. Podľa veľkosti 2 starých hald išlo len o menšie banské

diela, razené asi naprieč zrudnením. Smer zrudnenia podľa priebehu mineralizácie na povrchu je cca JZ—SV.

Hlavnými rudnými minerálmi sú hematit (spekularit) — ankerit — siderit a sporadický chalkopyrit (v asociácii s ankeritom a sideritom) a zriedkavý pyrit. Ide o zrudnenie žilného typu; jeho hlbinné pokračovanie nie je známe. Pre nízky obsah Cu (pri povrchu) nemá ekonomický význam; smerom do hĺbky môže byť však mineralizácia bohatšia.

Na SV od hál (cca 1,2—1,5 km) sme zistili v povrchových odkryvoch vo werfene a v aniských vápencoch JZ od Čistého Grúňa niekoľko menších hydrotermálnych žilek s obdobnou mineralizáciou. Ide zrejme o pokračovanie tej istej mineralizácie. Geochemický obraz Fe (Cu) zrudnenia podáva tabuľka 2.

[3] *Fe (Cu) zrudnenie vo werfene na južných svahoch Muránskej plošiny* vystupuje na hornom konci Hrdzavej doliny. Ide o obdobné výskyty Fe (Cu) ako na severných svahoch. Tieto hydrotermálne žily s hematitom (spekularitom) ankeritom, sideritom a chalkopyritom boli známe už v minulosti. R. 1963 (Geologický prieskum Rožňava, Baczó) ryhami boli tu zachytené len ankeritové pásma so spekularitom a sporadickým chalkopyritom. Odkryvy rudných žíl sa tu dajú pozorovať na vzdialenosť cca 150 m (v smere V—Z). Veľku ide o zrudnenie pri povrchu s nízkym obsahom Cu, ktorý smerom do hĺbky môže vzrastať najmä v podložnej Foederata sérii.

[4] *Pyritové zrudnenie v karbónskom okne JZ od Pohorelskej Maše (Magurka, Sosnina, Gindura):*

(a) *Zrudnenie blízko styku werfenu a karbónskych fylitov*, cca 200 m Z od kóty 792,1 m v záreze dolinky Magurka. Podľa Horala (1951) štôlnička cca 40 m dlhá prechádzala najprv cez grafitické a seritické fyllity karbónu a potom cez pyritizované karbonáty. Podľa haldového materiálu ide tu o sulfidickú  $FeS_2$  metasomatózu v karbónskych vápencoch; jediným sulfidickým minerálom je tu pyrit, ktorý tvorí zhluhy až 5—8 cm veľké. Vystupuje v asociácii s ankeritom a kalcitom. Pouba (1951) spomína z tejto lokality aj arzéno-pyrit, ktorý sa mne nepodarilo zistiť minerograficky ani spektrálne. Ani v separovaných sulfidoch As nebol stanovený.

(b) *V blízkosti hrebeňa Stružník—Gindura v Z konci Sosniny* boli známe menšie kutacie práce na halde s pyritom a ojedinele s tetraedritom (posledný je zväčša premenený na azurit, príp. malachit). Metasomatické zrudnenie vystupuje v karbónskych dolomitických vápencoch veľmi rozptýlene.

(c) *V oblasti Sosniny* (v strednej časti údolia Čupkula) na halde pozorujeme limonity a ojedinele pyrit. Zrudnenie sa nachádza na rozhraní karbónskych vápencov a fyllitov; podobné haldy sú v strednej časti lúk v Sosnine (pri prameni).

(d) *V hornom konci gindurského údolia v karbónskych fyllitoch* je ďalšia za-

Tab. 1.

## Ložisko: STRUŽENÍK – LAPINKA (rudnina)

| Vz.: | Si | Fe | Ca | Mg | Al | Mn | Na | K | Ti | Sr | Li | Ni | Co | Cr | V | Pb | Zn | Cu | Ag | Hg | No | Sn | Sb | As | Rb | Ga | Ge | Cd | Y | Yb | Sc | La | Ba |
|------|----|----|----|----|----|----|----|---|----|----|----|----|----|----|---|----|----|----|----|----|----|----|----|----|----|----|----|----|---|----|----|----|----|
| 1    | 5  | 5  | 5  | 5  | 5  | 3  | 3  | 4 | 2  | 2  | 1  | 1  | 1  | –  | 5 | 5  | 1  | 2  | 2  | –  | –  | 4  | 2  | –  | –  | –  | –  | –  | – | –  | –  | –  |    |
| 2    | 6  | 5  | 4  | 3  | 3  | 3  | 2  | 3 | 2  | 1  | 1  | 2  | –  | 1  | – | 4  | 6  | 3  | 3  | 4  | –  | –  | 4  | –  | –  | 1  | –  | 3  | – | –  | –  | 1  |    |
| 3    | 6  | 6  | 6  | 5  | 5  | 4  | 1  | 3 | 2  | 2  | 1  | 2  | –  | 1  | – | 5  | 5  | 2  | 3  | 4  | –  | –  | 4  | 3  | –  | –  | 3  | –  | 2 | –  | –  | 1  |    |
| 4    | 5  | 6  | 6  | 5  | 3  | 4  | 1  | – | –  | 2  | 1  | –  | 1  | –  | 5 | 3  | 2  | 3  | –  | –  | 4  | 3  | –  | –  | –  | –  | –  | –  | – | –  | 1  |    |    |
| 5    | 5  | 6  | 5  | 5  | 4  | 5  | 3  | 5 | 2  | 2  | 1  | 2  | –  | 5  | 4 | 3  | 3  | –  | 1  | 3  | 4  | –  | –  | 1  | –  | –  | 1  | –  | – | 2  |    |    |    |

Geochemický obraz zrudnenia podáva tab. 1.

Vysvetlivky: 6 — koncentrácie prvku nad 10 %; 5 — koncentrácie prvku v rozmedzí 10 %—1 %; 4 — koncentrácie prvku v rozmedzí 1 %—1/10 %; 3 — koncentrácie prvku v rozmedzí 1/10 %—1/100 %; 2 — koncentrácie prvku v rozmedzí 1/100 %—1/1000 %; 1 — koncentrácie prvku menej ako 1/1000 %.

Tab. 2.

## Fe—Cu — zrudnenie vo werfene (sever)

| Geol. zn.: | Si | Ca | Fe | Mg | Mn | Al | Na | K | Li | Sr | Ba | Ti | V | Co | Ni | Cr | Pb | Zn | Cu | Ag | Mo | Sn | Y | Ga |   |   |   |   |
|------------|----|----|----|----|----|----|----|---|----|----|----|----|---|----|----|----|----|----|----|----|----|----|---|----|---|---|---|---|
| PZ-40      | 5  | 5  | 5  | 5  | 3  | 3  | 4  | — | 1  | 2  | 1  | 1  | 2 | 2  | 1  | —  | 2  | —  | 2  | —  | —  | —  | — | —  | — | — | — |   |
| PZ-46      | 5  | 5  | 5  | 5  | 4  | 5  | 3  | — | 2  | 3  | 2  | 2  | 2 | 2  | 2  | 2  | 2  | —  | 4  | 2  | —  | —  | — | —  | — | — | — |   |
| M-478      | 5  | 5  | 5  | 4  | 4  | 4  | 4  | — | 1  | 1  | 2  | 3  | — | 2  | 2  | 1  | —  | —  | 4  | 1  | —  | —  | 1 | —  | — | — | — |   |
| M-479      | 5  | 5  | 5  | 3  | 3  | 3  | 3  | — | —  | 2  | 2  | 2  | — | 1  | 2  | —  | 2  | —  | 2  | —  | —  | 1  | — | —  | — | — | — |   |
| M-509      | 4  | 6  | 6  | 5  | 4  | 3  | 4  | — | 1  | 2  | 1  | 3  | 2 | 2  | 1  | 1  | 1  | —  | 3  | 2  | —  | 1  | — | —  | — | — | — | — |

valená štôlnička (cca 30 m nad údolím potoka). Na halde sú už len kusy limonitov (až 30 cm v priemere) značne poréznych. Podľa Horala sa tu okrem pyritu zistil aj galmei a ojedinele sfalerit.

(e) Niekoľko menších „píng“ je v karbónskom okne cca 200 m V od Gindurského sedla. Zistil som tu len pyrit s hydrotermálnym kremeňom, blízko styku karbónskych dolomitických vápencov so strednotriásovými vápencami.

### Geochemicko-štruktúrna analýza

Geochemické prospekčné štúdiá sme zamerali na sledovanie povrchových hydrotermálnych zmien, ktoré by mohli indikovať skryté metasomatické zrudnenia. Štruktúrne zmeny sme pozorovali hlavne v najnádejnejších litofáciách — v karbonátoch, menej v ostatných horninách. Pomocou semikvantitatívnych spektrálnych a klasických chemických analýz (na Pb, Zn, Cu a Mo) sme zisťovali, či štrukt. zmeny boli vyvolané hydrotermálnymi procesmi, alebo vadóznyimi povrchovými vodami, resp. počas tektonických procesov. V prípade hydrotermálneho pôvodu prejavili sa zvýšenou koncentráciou hlavných rudných prvkov i sprievodných hydrotermálnych stopových elementov.

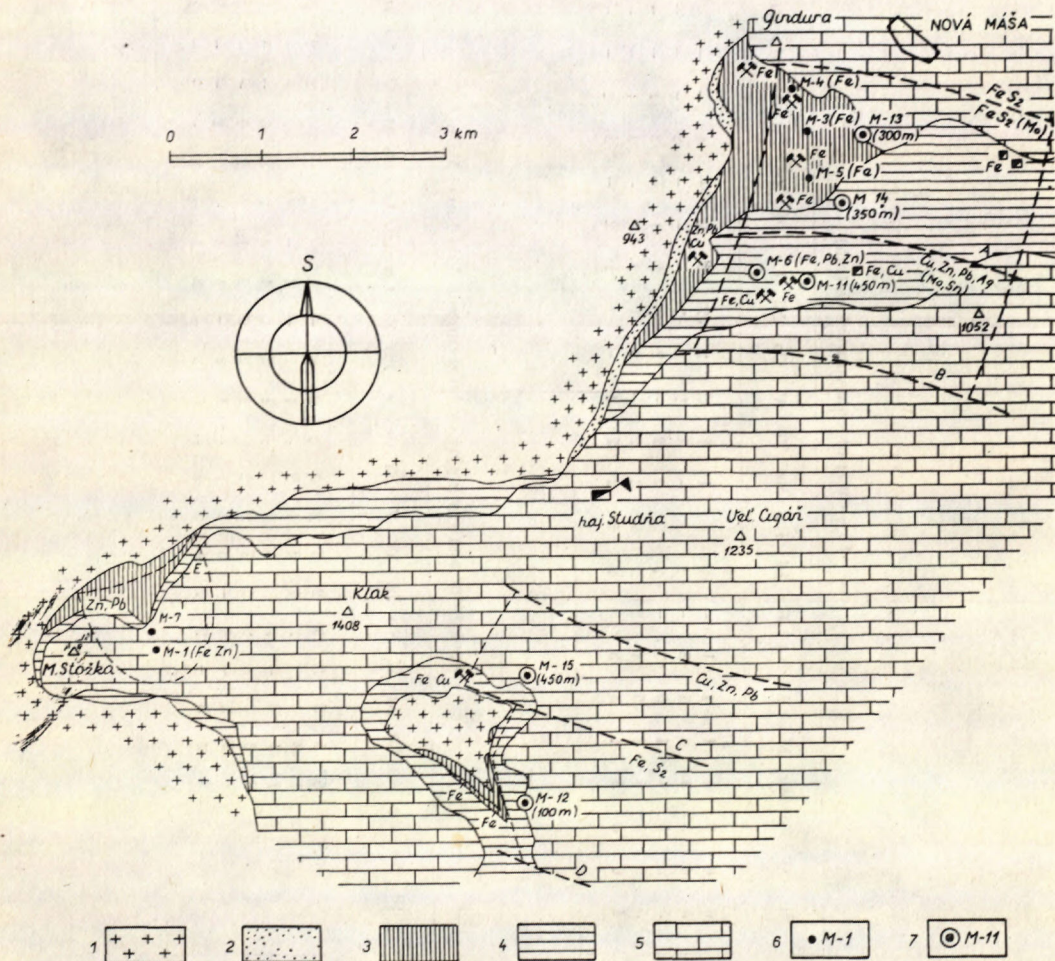
Najintenzívnejšie hydrotermálne premeny sa viažu na Foederata sériu a na jej bezprostredný styk s nadložnými a podložnými útvarmi. Vo werfenských vrstvách, ktoré ležia diskordantne na Foederata sérii, štruktúrne zmeny poväčšinou majú ráz tektonický (rauwacky). Menšie hydrotermálne zmeny pozoroval len na priečnych tektonických líniach. V nadložných strednotriásowych karbonátoch sme pozorovali len nepatrne štruktúrne zmeny, vyvolané zväčša povrchovými vadóznyimi vodami (v strednotriásowych dolomitoch). Najvrchnejšie wettersteinské vápence sú prakticky sterilné.

Väčšia časť Feoderata série býva prikrytá mladšími útvarmi; z toho dôvodu tektonické okná (Hrdzavské okno) a zárezy hlbokých dolín (južne od Pohorelskej Maše; Stoška — J od Závadky) nám poskytovali maximum študijného materiálu.

*Južne od Pohorelskej Maše* (počínajúc od západného úpätia Gindury) sme na povrchu vo Foederata sérii zistili miestami až 70 m široké a 2,5 km dlhé súvislé hydrotermálne pásmo cca S—J smeru. Karbonáty (vápence a dolomity) sú tu značne vybielené a obsahujú (už limonitizovaný) pyrit, lokálne so sporadickým tetraedritom. Vybielenie karbonátov v okolí mineralizovaných miest je spôsobené vznikom  $H_2SO_4$  z pyritov pri zvetrávaní. Vzorky z tohto hydrotermálneho pásma nemajú zvýšený obsah Cu, Pb, Zn. Z toho usudzujem, že dominantnými sulfidmi tejto mineralizácie boli pyrity. Do tohto pásma spadajú aj niektoré staré pingy s pyritovým zrudnením a na juhu tiež staré Pb, Zn, Cu ložisko na Lapinke. Toto 2,5 km dlhé hydrotermálne pásmo sa ponára smerom na juh pod mezozoické komplexy Muránskej plošiny.

Menšiu hydrotermálnu anomáliu sme zistili na severnom úpäti Muránskej plošiny, cca 1,5 km JZ od Zlatna na styku werfenu a strednotriásowych dolomitov a v susedných werfenských rauwakoch. Vzorky z týchto lokalít okrem limonitizácie mali miestami aj zvýšený obsah Pb a Zn.

Ďalšie hydrotermálne prejavy spojené s limonitizáciou a ankeritizáciou v sprievode spekularitu sú cca 3 km južne od Pohorelskej Maše vo werfenských bridliciach (v nadloží Foederata série) blízko starých Fe (Cu) prác; dajú sa sledovať vo V-Z smere na vzdialenosť cca 1,5 km.



Obr. 1. Prognózna mapa Muránskej plošiny. 1 — kryštalinikum Fabovej hole; 2 — kremence obalovej série; 3 — sedimenty Foederata série; 4 — werfenské bridlice; 5 — strednotriásové karbonáty; 6 — realizované vrty; 7 — vrty navrhované na overenie zrudnených polôh.

Tab. 3.

Fe—Cu zrudnenie vo werfene (juh)

| Geol. zn.: | Si | Ca | Fe | Mg | Mn | Al | Na | K | Li | Ba | Sr | Ti | V | Co | Ni | Cr | Pb | Zn | Cu | Ag | Mo | Sn | Y | Yb | Sn | B | Zr | Ga |   |
|------------|----|----|----|----|----|----|----|---|----|----|----|----|---|----|----|----|----|----|----|----|----|----|---|----|----|---|----|----|---|
| M-442      | 6  | 6  | 6  | 4  | 4  | 4  | 1  | — | 2  | 1  | 1  | 2  | 2 | 2  | 2  | 2  | 2  | —  | 4  | —  | —  | —  | 1 | —  | —  | — | —  | —  |   |
| 22302      | 5  | 4  | 5  | 3  | 2  | 3  | 3  | — | 1  | 1  | —  | 3  | 2 | 1  | 3  | —  | —  | —  | 2  | —  | —  | —  | — | —  | 2  | — | —  | —  |   |
| M-7        | 5  | 5  | 5  | 4  | 4  | 5  | 3  | — | 2  | 2  | 2  | 2  | — | 2  | —  | 1  | 1  | —  | 3  | 1  | —  | —  | — | —  | 2  | 2 | —  | —  | — |
| M-9        | 5  | 5  | 5  | 5  | 4  | 5  | 4  | 2 | 1  | 2  | 3  | 2  | — | 2  | 1  | 2  | —  | —  | 2  | 1  | —  | —  | — | 2  | 2  | 2 | —  | —  |   |
| M-520      | 4  | 6  | 6  | 5  | 4  | 3  | 3  | 3 | 2  | 1  | 2  | 2  | 1 | —  | 2  | 1  | 2  | —  | 2  | 2  | —  | —  | — | —  | —  | 2 | 1  | 1  |   |

Tab. 4.

Spektrálne analýzy z pyritového zrudnenia J od Novej Maše

| Lokalita: | Si | Fe | Mg | Mn | Ca | Al | K | Na | Li | Ti | V | Ni | Co | Cr | Pb | Zn | Cu | Ag | As | Sb | Mo | V | Yb | Ba | Zr | Sr | Sc | Sn | Ga | B | La |
|-----------|----|----|----|----|----|----|---|----|----|----|---|----|----|----|----|----|----|----|----|----|----|---|----|----|----|----|----|----|----|---|----|
| Magurka   | 5  | 5  | 5  | 5  | 5  | 5  | 3 | 3  | 2  | 3  | 2 | 3  | 2  | 2  | 2  | —  | 1  | —  | —  | —  | —  | 2 | 2  | 2  | 2  | 3  | 2  | —  | —  | — |    |
| Čupkula   | 5  | 5  | 2  | 1  | 3  | 3  | 2 | 3  | 1  | 2  | 1 | 2  | —  | 1  | 1  | —  | 1  | —  | —  | 2  | —  | — | —  | —  | —  | 1  | —  | —  | —  |   |    |
| Sosnina   | 5  | 5  | 4  | 1  | 1  | 5  | — | 2  | 1  | 3  | 2 | 2  | —  | 1  | 2  | 2  | 1  | 1  | 2  | 3  | 3  | — | —  | 1  | 1  | 1  | —  | —  | 1  | 2 |    |
| Sosnina   | 5  | 5  | 4  | 2  | 3  | 5  | — | 2  | 2  | 3  | 2 | 2  | —  | 2  | 2  | 2  | 2  | 1  | 2  | 2  | 2  | — | —  | 3  | 2  | 2  | —  | —  | 3  | — |    |
| Žačkula   | 5  | 5  | 4  | 4  | 3  | 5  | — | 1  | —  | 3  | 1 | 1  | —  | 1  | 2  | —  | 1  | 1  | —  | 3  | 2  | — | —  | 5  | 1  | 1  | —  | —  | 2  | 2 |    |
| Žačkula   | 5  | 5  | 5  | 3  | 2  | 5  | — | 2  | 2  | 4  | 2 | 2  | —  | 2  | 3  | —  | 3  | 1  | —  | 3  | —  | — | 2  | 2  | 2  | —  | —  | 3  | —  |   |    |

Aj na južných svahoch Muránskej plošiny sme zistili hydrotermálne prejavy, najmä blízko starého Fe (Cu) výskytu vo werfene Hrdzavského okna. Zrudnenie je tu doprevádzané ankeritizáciou a spekularitizáciou werfenských bridlíc. Nový výskyt je na styku Foederata série a werfenu Hrdzavského okna, kde je pyritizácia doprevádzaná albitom a hematitom. Na povrchu sú pyrity už značne limonitizované. Pyritizácia má tu opäť frontálny charakter, môžeme ju sledovať s menšími prerušeniami na vzdialenosť cca 1,5 km. S maximálnymi koncentráciami pyritu sme sa stretli v záreze Hrdzavej doliny (pri chatkách), kde obsah síry vo vzorkách činil až 9 %. Mocnosť zrudnenia pre zasutenosť terénu sa nedá presne stanoviť.

Mimo líniu Pohorelská Maša—Hrdzavá dolina sa stretávame už len s menšími hydrotermálnymi prejavmi, napr. v doline medzi Veľkou a Malou Stoškou (zvýšené obsahy Pb a Zn); ďalej niekoľko m<sup>2</sup> výskyt hydrotermálnych rauwakov pri kóte 1147 a hydrotermálne vybielené pásmo dolomitov (čiastočne s vyšším obsahom Zn) cca 200 m SSZ od Hajnáša. Tieto výskytty v západnej časti Muránskej plošiny však nepovažujem za prejavy rozsiahlejšieho zrudnenia v hĺbke.

#### Sledovanie hlbinnnej mineralizácie

Za účelom sledovania hlbinného pokračovania povrchových hydrotermálnych anomalií sa uskutočnili viaceré plytšie vrty, hlavne v hydrotermálnom pásme južne od Pohorelskej Maše [vrty M-3 (152 m); M-4 (89 m); M-5 (168 m); M-6 (174 m); viď situačnú mapku].

Kedže zrudnenie maximálne zastihuje Foederata sériu, vrty boli založené tak, aby prevŕtali tento komplex. Vzhľadom na úklon vrstiev tejto série (40–45° k V) boli vrty M-3, M-4, M-5 situované na východ od povrchového hydrotermálneho pásma.

Foederata séria má tu pestrý litologický profil; viackrát striedajú sa v nej vápenito-dolomitické polohy so sericitickými, sericiticko-chloritickými a grafitickými fylitmi. Smerom do podložia prevládajú karbonáty. Celý komplex je epizonálne metamorfovaný — karbonáty mramorizované, bridlice premenené na fility. Foederata séria leží na epimetamorfovaných kvarcitoch, v podloží ktorých sú už kryštalické bridlice (granitizované biotitické pararuly s imbibičnými živcami).

Zrudnenie tu má metasomatický charakter a sústreduje sa maximálne na karbonáty Foederata série blízko styčnej zóny s podložnými kremencami. Zrudnenie je nerovnomerne rozptýlené v karbonátoch v podobe „vkrapleníkov“ (1–2 mm veľkosti), menších hniezd a žilníkov, čo poukazuje na infiltračný ráz metasomatízy. Okrem bázy Foederata série, ktorá je najviac zrudnená, rudné roztoky zasiahli aj vyššie horizonty; tu je však zrudnenie viac rozptýlené, slabšie. Zvýšené koncentrácie boli pozorované aj v podloži bitu-

minóznych polôh, ktoré zrejme slúžili ako nepriepustná clona pre ascendenčné hydrotermálne roztoky.

Hlavným zrudnením je *pyritizácia*, v doprovode s hydrotermálnym kalciom, ankeritom a kremeňom. Z ostatných sulfidov sa sporadicky v miestach s najintenzívnejšou mineralizáciou zistil aj chalkopyrit a tetraedrit, ktoré sú relatívne mladšie ako pyrit. Pyritizácia bola zachytená vo všetkých troch vrtoch, nikde však v bilančnom množstve; maximálne koncentrácie síry sa pohybovali okolo 5 %. Vzhľadom na metasomatický fenomén zrudnenia smerom bližšie k magmatickému zdroju mohla byť mineralizácia bohatšia.

Geochemický obraz zrudnenia podávajú spektrálne analýzy z mineralizovaných polôh vrtu M-3, M-4, M-5, vyhotovené v spektrochemickom laboratóriu GÚDŠ (tab. 5).

Okrem sprievodných stálych prvkov pyritového zrudnenia (Co, Ni, Cr, Cu) z ostatných hydrotermálnych prvkov sa zistili stopove len: Mo, Pb, Zn, Sb, Ag, Sn a B. Koncentrácia Cu (0,01 – 0,001 %) nenaznačuje, žeby okrem inkluzií v pyritoch medzi vystupovala aj v samostatnej sulfidickej fáze. Výskyt Sb v tejto mineralizácii je v súlade s výskytom tetraedritu (v tých prípadoch vzrastá i Cu). Pre tento typ zrudnenia býva príznačná skoro stála prítomnosť Mo; minerograficky sme sice nezistili žiadny samostatný Mo-minerál, ale nie je vylúčené, že pri zvýšení klarku Mo v hlbších partiách mohol byť prítomný i molybdenit. Čažko totiž predpokladáť, že Mo sa viaže na pyrity (porovnaj spektrálne analýzy separovaných pyritov). Koncentrácie Pb a Zn sa len málo odchyľujú od bežného hydrotermálneho klarku nepolymetalických zrudnení. Prítomnosť Sn vo vrtoch situovaných bližšie k juhu je zaujímavá z genetického hľadiska. Mohlo by sa tu totiž uvažovať o určitej spätosti s materskými granitovými intrúziami a o ich hlbnejšej lokalizácii. Výskyt Ag, resp. jeho klark neprevyšuje bežné hodnoty v horninách. Bór, posledný hydrotermálny prvek v tomto zrudnení a jeho pomerne vysoká koncentrácia (najmä vo vrte M-5) je zaujímavý vzhľadom na analogické pomery na rudných žilách Spišsko-gemerského rudoohoria.

Na základe štúdia vrátom M-3, M-4, M-5 uskutočnil sa v pokračovaní tohto hydrotermálneho pásma (cca 1,5 km J od vrstu M-5) ďalší vrt M-6. V jeho okolí je Foederata séria prikrytá mocným súvrstvím werfenu.

Vrt mal prevŕtať werfen i celú Foederata sériu a mal skončiť v podložných kremen-coch. Z metalogenetického hľadiska sa malo zistiť, či pyritové zrudnenie, zistené v ostatných vrtoch, pokračuje i ďalej na juh, resp. či pyritové zrudnenie nie je doprevádzané polymetalickým zrudnením podobného typu ako na starom polymetalickom rudnom výskyte Livius – Samuel na Lapinke. Žiaľ, z technických príčin (pre zlý výnos jadra) vrt bol predčasne ukončený, takže mnohé problémy metalogenézy Foederata série ostali otvorené.

Vrtom sa však zistilo, že werfen (mocnosť 118 m) zastupujú najprv bridlice seis, vystriedané kampilom (slienité vápence a bridlice) a nižšie opäť seisom (šedé a červené

bridlice). Ide tu zrejme o tektonické zdvojenie. Na styku werfenu s Foederata sériou je poloha (niekoľko metrov) mocných tektonických brekcií (hydrotermálne vybiehajúcich). Styk werfenu s Foederata sériou je tektonický. Werfen nie je postihnutý metamorfózou; naproti tomu celá Foederata séria, zastúpená sericitickými fylitmi a mramorizovanými vápencami a dolomitmi s polohami grafitických fylitov, je vždy epizonálne metamorfovaná. Medzi oboma útvarmi je uhlová diskordancia (úklon vrstiev Foederata série cca  $35^\circ$ , werfenu  $10^\circ$ ).

Vo vrte M-6 bolo zastihnuté až trojaké zrudnenie. Vo werfenských slienitých vápencoch sa zistili dve niekoľko dm polohy so slabším Fe (Cu) žilným zrudnením podobného typu ako na severnom a južnom úpäti Muránskej plošiny. Prevláda tu ankerit a siderit; k nim pristupuje spekularit so sporadickým chalkopyritom. Okolo rudných žíl je široký hydrotermálny dvor.

Druhý typ zrudnenia predstavujú niekoľkometrové polohy impregnačno-metasomatického pyritového zrudnenia v karbónskych sericitických fylitoch (Foederata séria). Spolu s pyritom vystupuje tu siderit a hydrotermálny kreameň. Pre rozdrvenosť jadra v zrudnených partiách sa základné parametre zrudnenia nedali vyhodnotiť. Zrejme však ide o pokračovanie frontálneho metasomatického pyritového zrudnenia, zachyteného vo vrtoch M-3, M-4, M-5.

Tretí typ (najhlbšie vo vrte M-6) tvorí impregnačno-metasomatické poly-metalické zrudnenie (slabších koncentrácií a mocností) v karbónskych dolomitoch (Foederata séria). Aj tu výnos jadra neboli dostačujúci pre celkové zhodnotenie. V nábrusovom materiáli sa zistil len chalkopyrit a tetraedrit; pravdepodobne však je tu prítomný aj galenit a sfalerit (viď spektrálne analýzy). Ide o podobný typ zrudnenia ako na starom polymetalickom výskyte na Lapinke. Žiaľ, otázka, či zrudnenie pokračuje smerom do hĺbky (najmä v najnádejnejšej styčnej zóne s podložnými kremencami) pre predčasné ukončenie vrtu zostala nevyjasnená. Vrt M-6 by bolo treba predĺžiť až do podložia s kremencami. Spektrálne analýzy vzoriek z vrtu M-6 sú na tab. 6.

Z geochemického hľadiska by som chcel poukázať na niektoré závislosti. Pozoruhodné je, že Sn vystupuje len v prvom a trefom type zrudnenia, kde možno predpokladať vyššiu termálnosť roztokov. Pyritové zrudnenie je dosť analogické s  $\text{FeS}_2$  mineralizáciou vrtov M-3, M-4 a M-5 (prítomnosť Co, Ni, Cr, Pb, Zn, Cu a B; neprítomnosť As). Tretí typ zrudnenia sa vyznačuje širokou asociáciou hydrotermálnych rudných a stopových prvkov. Okrem mineralogicky viazaných hlavných rudných elementov (Pb, Zn, Cu, Sb a As) je tu celý rad ďalších, pravdepodobne izomorfne viazaných: Bi, Ag, Hg, Cd, Mo, Sn, Ge a Ga.

Mimo hlavné zrudnené pásmo Pohorelská Maša—Hrdzavá dolina sme sledovali hlbinné pokračovanie geochemických indicií, zistených medzi Veľkou a Malou Stožkou, južne Závadky, a to vo vrte M-1 (90,5 m), založenom v strednotriasových vápencoch (prechádzajúcich do dolomitov) a ukončenom v kampane. V dolomitoch sa zistila 4 m poloha s hydrotermálnym obohatením. Ide

Spektrálne analýzy zo zried. partíf vrtov M-3, M-4 a M-5

Tab. 5.

| Vrt |         | Chem. č. | Si | Ca | Fe | Mg | Mn | Al | Ti | Sr | Ba | Li | Na | K | Zr | Ni | Co | Cr | Pb | Zn | Cu | Ag | Sb | Sn | Mo | V | Ga | Sc | P | B | La | Yb | Be |
|-----|---------|----------|----|----|----|----|----|----|----|----|----|----|----|---|----|----|----|----|----|----|----|----|----|----|----|---|----|----|---|---|----|----|----|
| M-3 | 34,5 m  | 967      | 6  | 6  | 6  | 5  | 4  | 5  | 4  | 3  | 3  | 3  | 4  | 5 | 2  | 3  | 2  | 3  | 2  | -  | 2  | 1  | -  | -  | 2  | 2 | 2  | 2  | - | 2 | -  | -  |    |
| M-3 | 39,1 m  | 966      | 5  | 6  | 6  | 5  | 4  | 4  | 3  | 2  | 3  | 2  | 3  | 4 | -  | 2  | -  | 2  | 2  | 3  | 2  | 2  | 3  | -  | 2  | 2 | 1  | -  | - | - | 1  | -  |    |
| M-3 | 42,4 m  | 965      | 6  | 6  | 6  | 5  | 3  | 5  | 4  | 3  | 3  | 2  | 3  | 4 | 3  | 3  | 2  | 2  | 3  | 3  | 3  | 2  | 3  | -  | 2  | 3 | 2  | 2  | 4 | 2 | 2  | -  | -  |
| M-3 | 110,4 m | 443      | 6  | 3  | 5  | 5  | 3  | 4  | 2  | -  | 1  | 2  | 4  | - | -  | 2  | 2  | 2  | 2  | 3  | 2  | 2  | -  | -  | 2  | 2 | 2  | -  | - | 3 | -  | -  |    |
| M-3 | 112,7 m | 441      | 6  | 5  | 5  | 5  | 3  | 5  | 3  | 2  | 2  | 2  | 4  | - | -  | 2  | 2  | 2  | 2  | 3  | 2  | 1  | -  | -  | 3  | 2 | 2  | -  | - | 3 | -  | -  |    |
| M-4 | 51,1 m  | 1158     | 6  | 6  | 6  | 5  | 3  | 4  | 2  | 2  | -  | 1  | 2  | - | -  | 2  | 2  | 2  | 2  | -  | -  | 1  | -  | -  | -  | 2 | -  | -  | - | 2 | -  | -  |    |
| M-4 | 52,8 m  | 1160     | 6  | 6  | 5  | 5  | 3  | 3  | 2  | 2  | 3  | 1  | 2  | - | -  | 2  | 2  | 2  | 2  | -  | -  | 1  | 1  | -  | -  | - | 1  | 2  | - | - | 2  | -  | -  |
| M-5 | 154,2 m | 2272     | 5  | 4  | 3  | 5  | 3  | 3  | 3  | -  | 1  | 1  | 4  | 4 | -  | 2  | 2  | 2  | 2  | -  | 2  | 1  | -  | 2  | 2  | 1 | 2  | -  | - | 3 | 1  | -  | -  |
| M-5 | 155,0 m | 2279     | 5  | 4  | 5  | 5  | 3  | 4  | 3  | 1  | -  | 1  | 3  | - | -  | 2  | -  | 2  | 2  | -  | 2  | 1  | -  | 1  | 2  | 2 | 1  | -  | - | 4 | -  | -  | -  |
| M-5 | 155,6 m | 1956     | 6  | 5  | 6  | 5  | 3  | 4  | 3  | 2  | -  | 2  | 4  | - | -  | 2  | 2  | 2  | 2  | 3  | 2  | 1  | -  | 2  | 3  | 2 | 2  | -  | - | 4 | 1  | -  | 2  |
| M-5 | 159,7 m | 2281     | 2  | 4  | 4  | 4  | -  | 4  | 3  | -  | -  | 3  | -  | - | 2  | -  | 1  | 3  | -  | 3  | -  | 1  | 3  | 2  | 2  | - | -  | 4  | - | - | -  | -  |    |

Spektrálne analýzy zo zrud. partíf vrtu M-6

Tab. 6.

| Vrt |         | Chem. č. | Si | Ca | Fe | Mg | Mn | Ti | Al | Na | K | Li | Sr | Ba | Zr | Co | Ni | Cr | V | Pb | Zn | Cu | As | Sb | Ag | Bi | Mo | Hg | Sn | Cd | Ga | B      | Ge | Sc | La |          |
|-----|---------|----------|----|----|----|----|----|----|----|----|---|----|----|----|----|----|----|----|---|----|----|----|----|----|----|----|----|----|----|----|----|--------|----|----|----|----------|
| M-6 | 79,6 m  | 1958     | 5  | 6  | 6  | 5  | 4  | 3  | 4  | 3  | - | 2  | 2  | 3  | -  | 2  | 2  | 1  | 2 | 1  | -  | 2  | -  | -  | 2  | -  | -  | 1  | -  | 1  | -  | -      | -  |    |    |          |
|     | 81,5 m  | 1961     | 4  | 6  | 6  | 5  | 4  | 3  | 3  | 2  | - | 1  | 2  | 2  | -  | 2  | 2  | 1  | - | -  | 2  | 3  | -  | 2  | -  | -  | 1  | -  | -  | -  | -  | I. typ |    |    |    |          |
|     | 81,8 m  | 1957     | 3  | 6  | 6  | 5  | 4  | 2  | 3  | -  | - | 1  | 2  | 2  | -  | 2  | 2  | 1  | - | -  | 3  | 2  | 3  | -  | 1  | -  | -  | 2  | -  | -  | -  | -      |    |    |    |          |
| M-6 | 136,5 m | 1962     | 5  | 2  | 6  | 4  | 3  | 4  | 3  | 4  | - | 2  | 1  | 2  | 2  | 3  | 3  | 1  | - | 3  | 3  | 3  | -  | 2  | -  | -  | -  | -  | 2  | -  | -  |        |    |    |    |          |
|     | 137,0 m | 439      | 6  | 5  | 6  | 5  | 4  | 4  | 6  | 5  | 5 | 2  | 3  | 2  | -  | 2  | 3  | 2  | 2 | 2  | 3  | 2  | -  | 1  | -  | -  | -  | -  | 2  | 2  | -  | 2      |    |    |    |          |
|     | 138,5 m | 2621     | 6  | 6  | 5  | 5  | 3  | 4  | 5  | 3  | 5 | 3  | 2  | 3  | 2  | 2  | 2  | 3  | 2 | 2  | 2  | 3  | 3  | -  | 2  | -  | -  | -  | 2  | 2  | -  | 2      | 2  |    |    |          |
| M-6 | 160,5 m | 2544     | 4  | 5  | 6  | 4  | 4  | 2  | 3  | 3  | 4 | -  | 2  | 3  | -  | -  | 2  | 2  | - | 4  | 5  | 5  | 4  | 4  | 4  | 4  | 3  | 2  | 2  | 2  | 3  | -      | 2  | 1  | -  | III. typ |

o žilnometasomatickú, rozptýlenú Fe (Zn) mineralizáciu (koncentrácie Zn dosahujú len desatiny percenta). Vplyvom atmosférili sa už nestretávame s primárnu rudnou paragenézou, ktorá asi odpovedala pyrit-sfaleritovej mineralizácii, ale len s nápadne sfarbenými šedohnedými dolomitmi kaver-nózno-práškovej konzistencie.

Tieto mineralizované partie charakterizuje len veľmi chudobná asociácia hydrotermálnych prvkov (Zn, Fe, Pb, Cu, Ag). Dokonca ani bór, tak charakteristický pre rudné výskyty v pásme Pohorelská Maša-Hrdzavá dolina, sa tu nezistil.

200 m severnejšie od vrchu M-1 bol situovaný vrt M-7 (212 m), ktorý mal zistieť, či mineralizácia vrchu M-1 nie je intenzívnejšia v podložnej Foederata sérii. Vrt však skončil negatívnym výsledkom. Z geologického hľadiska je zaujímavá skutočnosť, že Foederata séria (tvorená opäť karbonato-ilovitým sú-vrstvím) je tu až mezonálne metamorfovaná (hojné porfýroblasty biotitu). Medzi werfenom a Foederata sériou je markantný metamorfný skok.

### Geochémia pyritov

Pyrit, ako najrozšírenejší hydrotermálny minerál v oblasti Muránskej plošiny, sme podrobne študovali aj z hľadiska geochemického, a to vzorky z vrtov i povrchové. Čisté pyrity boli získané pomocou brómoformu, ryžovania a elektrómu. Z čistého koncentrátu bola stanovovaná síra a selén. Analýzy vyhotobil ÚVR, Kutná hora. Výsledky analýz sú v nasledovne:

| Lokalita |            | S      | Se     | Lokalita              | S           | Se     |        |
|----------|------------|--------|--------|-----------------------|-------------|--------|--------|
| Vrt M-3  | (34,50 m)  | 52,6 % | 49 g/t | Vrt M-6               | (133—137 m) | 52,0 % | 14 g/t |
| Vrt M-3  | (43,90 m)  | 52,3 % | 38 g/t | Magurka — halda       |             | 50,2 % | 17 g/t |
| Vrt M-3  | (44,50 m)  | 50,7 % | 38 g/t | I. výskyt v Hrdzavej  |             |        |        |
| Vrt M-3  | (110,70 m) | 52,2 % | 27 g/t | doline                |             | 49,8 % | 20 g/t |
| Vrt M-3  | (112,70 m) | 52,0 % | 21 g/t | II. výskyt v Hrdzavej |             |        |        |
| Vrt M-4  | (42,50 m)  | 53,5 % | 41 g/t | doline                |             | 37,5 % | 15 g/t |
| Vrt M-4  | (44,40 m)  | 50,4 % | 29 g/t |                       |             |        |        |

Z analýz vidieť, že tunajšie pyrity v porovnaní s obsahom síry majú pomerne značný obsah selénu; v južných oblastiach sú však chudobnejšie. Klesajúcemu tendenci obahu selénu pozorovať aj smerom do hĺbky. Selén, ako ľahko tekavý prvek sa zrejme hromadil vo vrchnejších partiách ložiska. Koncentrácia selénu v pyritoch z vrchu M-3 a M-4 je vyššia ako v pyritoch na Smolníku (pozri Babčan—Ilavský 1962). Pri dostatočne bohatej koncentrácií pyritového zrudnenia v oblasti Muránskej plošiny by sa dalo uvažovať aj o využití selénu.

Geochemický obraz separovaných pyritov podávajú spektrálne semikvantitatívne analýzy na tab. 7. Zo spektrálnych analýz vidíme, že mikrochemizmus pyritov z rôznych lokalít Muránskej plošiny je dosť podobný a vcelku chudobný na sprievodné stopové elementy.

Tab. 7

| Vzorka                     | chem. č. | Spektrálne analýzy separovaných pyritov |    |    |    |    |    |    |    |    |    |    |    |    |    |    |    |    |   |   |
|----------------------------|----------|---|----|----|----|----|----|----|----|----|----|----|----|----|----|----|----|----|---|---|
|                            |          | Fe                                      | Mg | Mn | Ti | Ca | Na | Li | Sr | Ba | Ni | Co | Cr | Cu | Pb | Zn | Ag | Mo | Y | B |
| Vrt M-3<br>(34,5 m)        | 1980     | 6                                       | 4  | 2  | 3  | 2  | 2  | 1  | 1  | 3  | 3  | 3  | 1  | 3  | 2  | 2  | 1  | -  | - | - |
| Vrt M-3<br>(43,9 m)        | 1976     | 6                                       | 3  | 1  | 4  | 2  | 2  | -  | 1  | 3  | 3  | 3  | 1  | 2  | -  | -  | -  | 1  | - | - |
| Vrt M-3<br>(44,5 m)        | 1973     | 6                                       | 3  | 2  | 4  | 2  | 1  | -  | 1  | 1  | 3  | 3  | 2  | -  | -  | -  | -  | 1  | 1 | - |
| Vrt M-3<br>(112,7 m)       | 1971     | 6                                       | 3  | 2  | 3  | 2  | 1  | 1  | 1  | 1  | 3  | 3  | 1  | 3  | 1  | -  | 1  | 1  | - | 2 |
| Vrt M-4<br>(42,9 m)        | 1947     | 6                                       | 3  | 2  | 3  | 2  | 2  | 1  | 1  | 2  | 3  | 3  | 1  | 2  | 1  | -  | 1  | 1  | 1 | - |
| Vrt M-4<br>(45 m)          | 1970     | 6                                       | 3  | 2  | 3  | 2  | 2  | 1  | 1  | 2  | 3  | 3  | 1  | 2  | -  | 3  | 1  | -  | 1 | - |
| Vrt M-6<br>(133 - 137,5 m) | 1979     | 6                                       | 3  | 2  | 3  | 2  | 2  | -  | 1  | 3  | 3  | 3  | 1  | 3  | 2  | -  | 1  | -  | 1 | 2 |
| Magurka<br>halda           | 1978     | 6                                       | 3  | 2  | 3  | 2  | 2  | -  | 1  | 1  | 3  | 3  | 1  | 2  | -  | -  | -  | 1  | 1 | - |
| Hrdzavá<br>dol. sev.       | 1975     | 6                                       | 2  | 1  | 4  | 2  | 3  | -  | 1  | 2  | 3  | 3  | 1  | 2  | -  | -  | -  | 1  | 1 | - |
| Hrdzavá<br>dol. juh        | 1972     | 6                                       | 2  | 1  | 4  | 2  | 2  | -  | 1  | 1  | 4  | 3  | 1  | 1  | -  | 2  | -  | 1  | - | - |

Pyrity majú stálu asociáciu izomorfne viazaných prvkov na  $\text{Fe}^{+2}$  ( $\text{Ni}$ ,  $\text{Co}$ ,  $\text{Mg}$ ,  $\text{Mn}$ ,  $\text{Ti}$ ); pomer  $\text{Ni}$  ku  $\text{Co}$  je približne rovnaký;  $\text{Cu}$  je pravdepodobne viazané formou neizomorfných pevných roztokov. Pomerne nízke koncentrácie  $\text{Mo}$  poukazujú na nesedimentárny pôvod pyritov. V porovnaní s analýzami celej rudniny obsah molybdénu je nižší. Z toho možno usudzovať, že hlavný podiel  $\text{Mo}$  je viazaný na sprievodné hydrotermálne minerály.  $\text{Ytrium}$  zdá sa byť typomorfným sprievodným vzácneným prvkom tunajších pyritov; kedže sa v okolitých horninách nezistil, mohol by slúžiť aj ako indikátor zrudnenia. Nápadný je nedostatok  $\text{As}$  a  $\text{V}$ , čo svedčí o neprítomnosti arzénopyritovej zložky, resp. samostatného arzénopyritu.

### Metalogenetické závery o oblasti Muránskej plošiny

Hydrotermálne prejavy, známe už starcom i novšie zistené rudné výskyty a hydrotermálne pásma, zachytené na povrchu a vrtnmi v oblasti Muránskej plošiny, sú výsledkom rozsiahlejších metalogenetických procesov. Hydrotermálne procesy maximálne postihli Foederata sériu (karbón), najmä jej karbonátový vývin. Werfen v nadloží tejto série svojím litologickým charakterom pôsobí ako nepriepustná clona pre prenikanie ascendentných hydrotermálnych roztokov do mezozoických vrstiev. Mezozoikum je mineralizované len zriedkavo, v zónach, kde priečna tektonika vytvorila vhodné (otvorené) pukliny vo werfene.

Rozlišujeme tu dva geneticky samostatné metalogenetické areály: (a) hydrotermálne pásmo, tiahnuce sa od Pohorelskej Maše na juh do Hrdzavej doliny; (b) hydrotermálne prejavy v západnej časti Muránskej plošiny (výskyty v oblasti Malej a Veľkej Stošky; pri k. 1147 a v oblasti Hajnáša).

V prvom areále (Pohorelská Maša—Hrdzavá dolina) sa koncentruje max. hydrotermálnych prejavov v oblasti Muránskej plošiny. Rudné výskyty tu patria trom typom: 1. metasomatické pyritové zrudnenie vo Foederata sérii; 2. metasomatické polymetalické zrudnenie vo Foederata sérii; 3. žilné  $\text{Fe}$  ( $\text{Cu}$ ) zrudnenie vo werfene na severných a južných svahoch plošiny.

Metasomatické pyritové zrudnenie predstavuje asi najstaršiu mineralizačnú fázu. Relatívne mladšie sú polymetalické ( $\text{Zn}$ — $\text{Pb}$ — $\text{Cu}$ — $\text{Ag}$ ) rudy vo Foederata sérii a  $\text{Fe}$ —( $\text{Cu}$ ) paragenéza vo werfene. Všetky tri typy mineralizácie spadajú asi do alpínskej metalogenetickej etapy (krieda).

V pruhu od Pohorelskej Maše na juh do Hrdzavej doliny (cca 10 km dlhom) sa menia i hydrotermálne prejavy, resp. intenzita zrudnenia. Na severe sa stretávame najprv s frontálnym metasomatickým pyritovým zrudnením vo Foederata sérii, pozorovateľným na povrchu i vo vrtoch na vzdialenosť cca 3 km. Smerom na juh sa pričleňuje k nemu polymetalické metasomatické zrudnenie vo Foederata sérii a  $\text{Fe}$  ( $\text{Cu}$ ) zrudnenie žilného typu vo werfene.

V pokračovaní ďalej na juh nasleduje bezrudná zóna, na povrchu sterilná. Muránske mezozoikum tu prikrýva staré štruktúry (Foederata sériu). S rudnými prejavmi sa opäť stretávame až na južných svahoch plošiny vo werfene Hrdzavého okna, a to opäť s Fe (Cu) mineralizáciou, podobnou (žilného typu) ako na sev. svahoch. Napokon najjužnejšie, opäť vo Foederata sérii, ide o frontálne metasomatické pyritové zrudnenie.

Metasomatické zrudnenie je vo Foederata sérii rozšírené frontálne, čo do perspektívnosti je najnádejnejšie; karbonáty boli metasomaticky zatláčané na veľkých areáloch. Hydrotermálne roztoky maximálne využívajú styk Foederata série s podložnými kremencami (na severe), poprípade s nadložným werfenom (na juhu). Tento styk zrejme zohral dôležitú úlohu pri prenikaní hydrotermálnych roztokov.

Hydrotermálne roztoky sa z rudodarného magmatického kŕbu dostávali na povrch asi pozdĺž priečnej hlinnej tektonickej línie (najpravdepodobnejšie S—J smeru). Keď dosiahli úroveň Foederata série, zmenili svoj vertikálny smer a postupovali ďalej konkordantne s vrstevnatostou tejto série. Styčné zóny pri tom boli optimálnym prostredím pre ascendenciu. Vďaka karbonátovému vývinu Foederata série a jej úklonu ( $30-45^\circ$  k V), pôsobením hydrotermálnych roztokov dochádza v nej k vrstevno-metasomatickým zmenám. Intenzita mineralizácie, v závislosti na infiltračnej metasomatóze, klesala smerom externým, t. j. k západu. Podľa celkového charakteru mineralizácie by smerom východným od vŕtmi zachyteného priebehu zrudnenia mineralizácia mohla vzrastať (pozri obr. 2).

Mineralizácia má v celom 10 km rudnom pásme zonálny charakter. V okrajových častiach pozorujeme nižšie termálne zrudnenia, s prevahou metasomatických pyritov. Ostatné sulfidy, hlavne tetraedrit a chalkopyrit, vystupujú len sporadicky, v miestach s najintenzívnejšou mineralizáciou. Vo vrte M-6 spolu s pyritovým zrudnením bol pozorovaný aj siderit, v južných častiach pásma, v Hrdzavej doline je hojný albit, čiastočne hematit.

Po geochemickej stránke pyritové zrudnenie charakterizujú prvky: Mo, Sb (Zn, Cu), Yb, Y, B. V separovaných pyritočach sme zistili vysoký obsah síry (cca 50 %) a selénu (30—40 g/t); Au sa nezistilo. Zaujímavé je, že obsah Se v pyritočach klesá smerom do hlbky (lahkotekavý); rovnakú tendenciu pozorovať aj u južných rudných výskytov (Hrdzavá dolina).

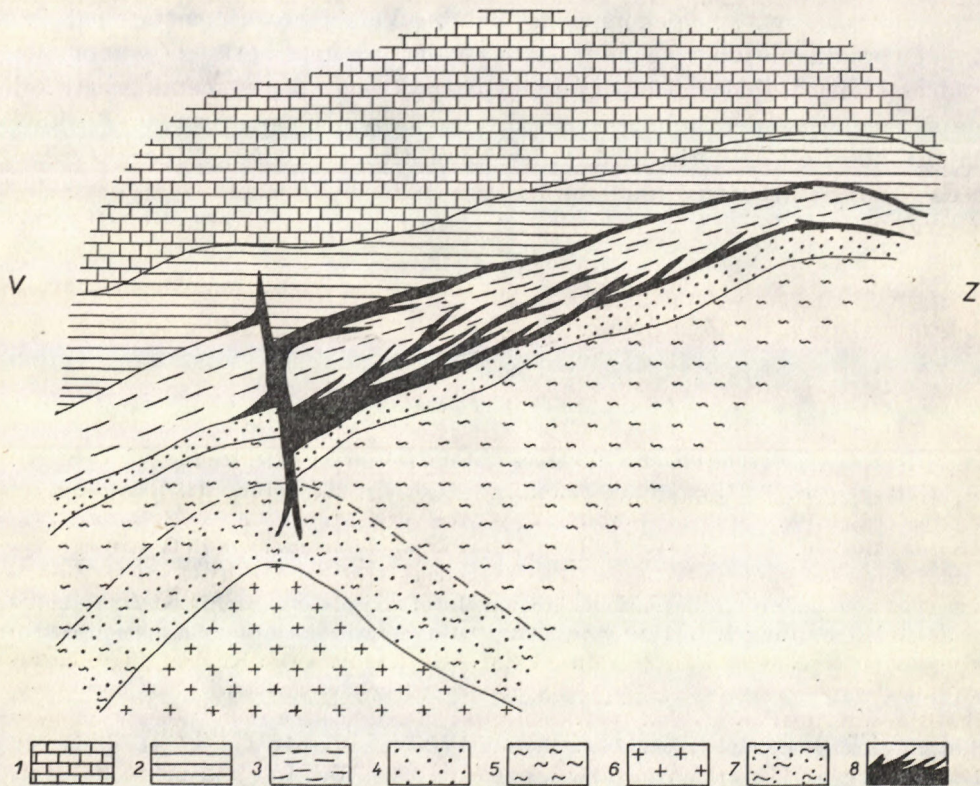
Od externých, nižšie termálnych zón s pyritovým zrudnením smerom k stredu Muránskej plošiny v pásme Pohorelská Maša—Hrdzavá dolina, nachádzame aj produkty druhej mineralizačnej fázy. Ide o vyššie termálnu paragenézu, v prvom prípade so sfaleritom, tetraedritom (schwazit), galenitom, chalkopyritom, sideritom, ankeritom, v druhom prípade s chalkopyritom, pyritom, hematitom, sideritom a ankeritom.

Polymetalickú paragenézu charakterizuje široká asociácia hydrotermálnych

elementov: Zn, Cu, Pb, Ag, Hg, Sb, As, Bi, Mo, Sn, Cd, Ge, Ga. Zrudnenie Fe (Cu) charakterizuje naproti tomu len skromná asociácia stopových prvkov: Cu, Pb, Ni, Co, Sn.

Žilné prejavy Fe (Cu) paragenézy vo werfene by mohli indikovať prípadné skryté metasomatické polymetalické zrudnenie v podložnej Foederata sérii.

Prítomnosť Sn v rudách tejto oblasti naznačuje, že magmatickým zdrojom mohli byť intrúzie granitov, resp. granodioritov. V oblasti Muránskej plošiny sice na povrchu nepoznáme takéto magmatické prejavy, ale ďalej na východ, v styčnej zóne gemeríd a vaporíd, ako aj v Spišsko-gemerskom rudohorí sú známe. K intrúzii mohlo dôjsť pod muránskym mezozoikom zhruba v oblasti Veľkého Cigáňa (k. 1255 m).



Obr. 2. Schematický geologický rez Muránskou plošinou s predpokladaným priebehom metasomatického zrudnenia. 1 — strednotriásové karbonáty; 2 — werfenské bridlice; 3 — sedimenty Foederata série; 4 — kremence obalovej série; 5 — kryštalické bridlice Fabovej hole; 6 — predpokladaná alpinská granitoidná intrúzia; 7 — kontaktný dvor; 8 — možný priebeh metasomatického zrudnenia.

Metalogenetické pomery Muránskej plošiny majú určitú analógiu so zrudnením Spišsko-gemerského rudoohoria. Prvá pyritová mineralizácia by mohla odpovedať sideritovému zrudneniu Spišsko-gemerského rudoohoria, polymetalická a Fe (Cu) paragenéza rejuvenačnej sulfidickej fáze Spišsko-gemerského rudoohoria. Pri mineralizácii v oblasti Muránskej plošiny v prvých etapách mal však vo vadóznych vodách prevahu sulfátový anión, na rozdiel od bikarbo-nátového v oblasti Spišsko-gemerského rudoohoria.

Prvá metalogenetická oblasť Muránskej plošiny (Pohorelská Maša – Hrdzavá dolina) si zaslhuje priesk. pozornosť – externé zóny na Se-nosné pyrity (s možnými vyššími koncentráciami Mo v hlbších partiách), interné zóny na poly-metalické metasomatické zrudnenie. Budúce vrty treba vŕtať až do obalových kremencov, resp. do kryštalínika.

Druhú oblasť tvoria rudné prejavy v západnej časti Muránskej plošiny, a to anomália v tektonickom okne Malej a Veľkej Stožky, metasomatické Zn–Fe zrudnenie vo vrte M-1, Zn-anomália pri kóte 1147 a Zn anomália v oblasti kóty Hajnaša. Tieto výskyty patria k samostatnej metalogenetickej etape; sú najpravdepodobnejšie späté s terciérnym magmatizmom. Blízkosť dajok andezitov a dioritických telies tomu tiež nasvedčuje. Ide prevažne o Fe–(Zn) paragenézu (chudobnú na sprievodné hydrotermálne stopové elementy). Sú to však iba výskyty menších rozmerov, nie natoľko nádejné ako v oblasti prvej.

Lektoroval prof. dr. Z. Pouba.

Geologický ústav D. Štúra,  
Bratislava

#### LITERATÚRA

- [1] Babčan J., 1960: Příspěvek k otázce zdrojů selenu v ČSSR. Rukopis – Geofond.
- [2] Bacsó J., 1964: Skarnové ložiská pri Tisovci. Geol. zprávy 32, Bratislava.
- [3] Betechtin A. G., 1965: Gidrotermalnye rastvory, ich priroda i procesy rudoobrazovaniya. Moskva.
- [4] Biely A., 1960: Zpráva o výskume na úkole XIV/02-Geol. výskum Muránskej plošiny. Archív GÚDŠ – rukopis.
- [5] Bystrický J., 1957: Zpráva o geologickom mapovaní Slovenského krasu a Muránskej plošiny. Archív GÚDŠ – rukopis.
- [6] Ginsburg I. I., 1957: Opyt razrabortki teoretičeskikh osnov geochemičeskikh metodov poiskov. Moskva.
- [7] Ilavský J. – Beňo J., 1958: Ku geológii a mineralógii niektorých výskytov Pb–Zn rúd v Spišsko-gemerskom rudoohorí. Geol. zprávy 14, Bratislava.
- [8] Ivanov M., 1953: Geologicko-petrografické a rudné pomery v S časti Spišsko-gemerského rudoohoria. Geol. Sborník IV/3–4, Bratislava.
- [9] Ivanov M., 1962: Príspievok k otázkam metalogenézy centr. Záp. Karpát. Geol. práce, Zošit 62, Bratislava.
- [10] Ivanov M., 1962: K pôvodu kryštalických bridľí a granitoidov v S časti veprí. Věstník ÚUG XXXVII/6, Praha.
- [11] Jarkovský J., 1963: Stopové prvky v pyritoch Západných Karpát – Bratislava. Zprávy o geol. výskumoch za r. 1963.
- [12] Knjazev I. I., 1954: Gidrotermalno-izmenennyje karbonatnyje porody. Moskva.
- [13] Koržinskij D. S., 1955: Očerk metasomaticeskich procesov. Moskva.
- [14] Lisý E., 1957: Zpráva o prevedenom vyhľadávacom prieskume

v r. 1956; Pohorelá Pb—Zn. Geofond, Bratislava. — [15] Maderspach L., 1916: A goramvölgyi (struzseniki) czikers-lelöhely. Bányászati es kohaszati lapok 49, Budapest. — [16] Pouba Zd., 1951: Olověno-zinkové rudy ze sev. úpatí Muránské plošiny. Rozpravy ČAV LXI Praha. — [17] Pouba Zd., 1953: Několik nových nálezů rud v mesozoických seriích u Šumiace a Švermova na Horehroní. Sborník ÚÚG, svazek XX, Praha. — [18] Varček C.—Regásek F., 1962: Zrudnenie v mezozoiku Slovenska. Geol. práce, Zošit 62, Bratislava.

MIROSLAV IVANOV

### METASOMATIC POLYMETALLIC AND PYRITE MINERALIZATION OF THE MURAŇ-PLATEAU

The present paper is dealing with metallogenical problems in the Muraň-Plateau area. The author comes to the conclusion, that pyrite and polymetallic ores belong to the alpine metallogenetical period and correspondet in time to the metallogenesis of Spišsko-gemerské rudoohorie Mts. The pyrite mineralization is more widespread and forms the first older phase of metallogenetical process (equivalent of siderite mineralization in the Spišsko-gemerské rudoohorie Mts.). The second poly-metallic mineralization, with the chief minerals: sphalerite, galenite, chalcopyrite, tetraedrite, belongs to the younger phase (equivalent of rejuvenation phase in the Spišsko-gemerské rudoohorie Mts.)

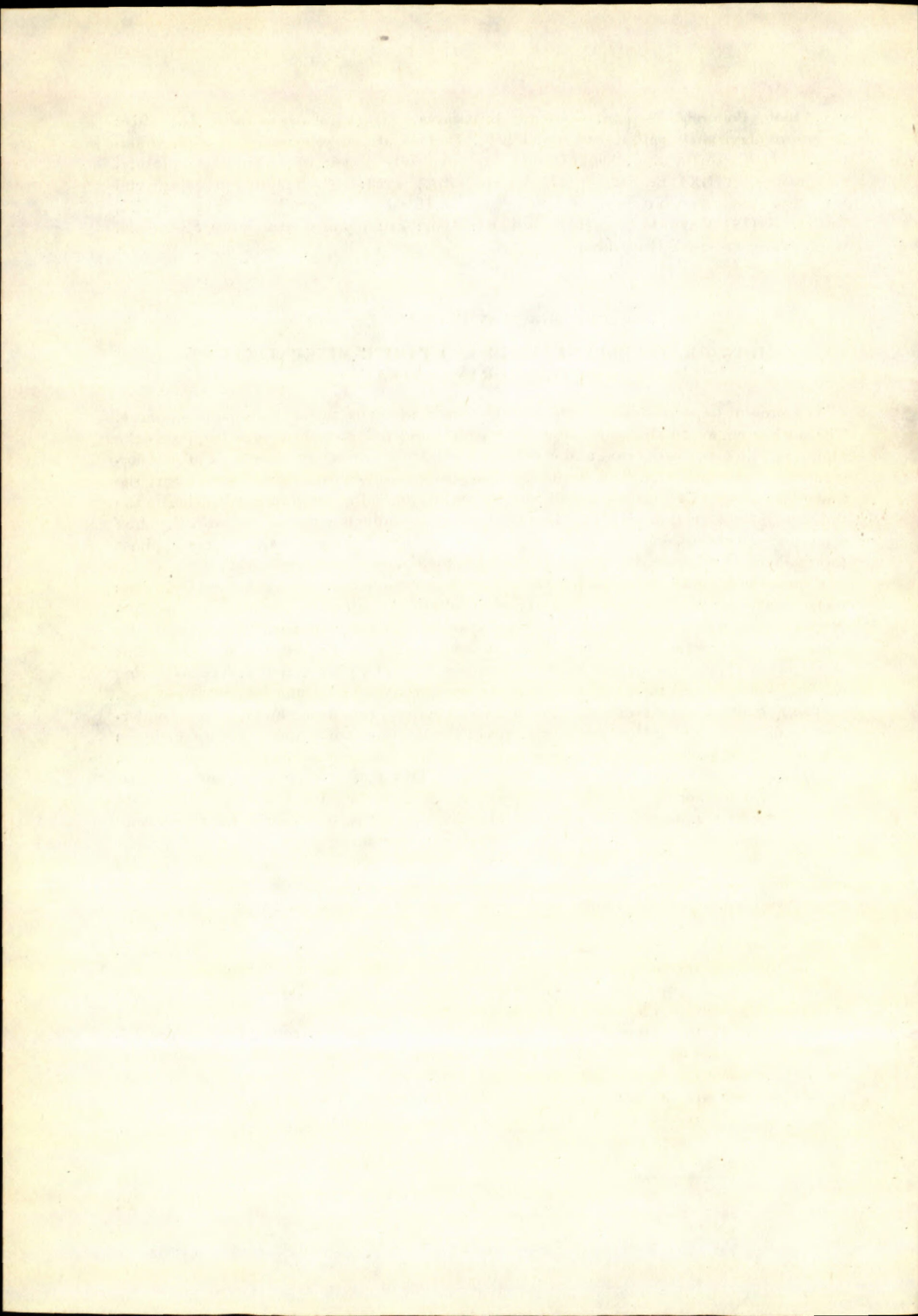
Character of both mineralizations is purely metasomatic. Hydrothermal solutions metasomatically replaced (concordantly with foliation) the carbonatic rocks of the Foederata series, which according to the author is of carboniferous age. The metasomatic bodies have a frontal character and are situated mainly in the lowermost parts of this stratigraphic horizon, near the line of contact with underlying quarzite. The overlying werfen — shales and mesozoic carbonates were not affected by metasomatic processes.

The Foederata series build by epimetamorphic schists, limestones and dolomite, underlies the unmetamorphic Mesozoic komplexes of the Muraň-plateau and locally its thickness reaches to 150 m. The general slopes of beds of the Foederata series is 40° eastwards. This structure is older than the mineralization. This fact is very important, because when the hydrothermal solutions had reached the carbonate horizon of the Foederata series, they were not only able to replace locally carbonates but they could also ascend upwards along the line of contact with underlying quartzite.

In this contribution the author further supposes that the hydrothermal solutions did not have purely juvenile character, but he considers them as a product of mineralized groundwaters under the influence of deep intrusions of acid granitoid rocks.

On the base of geochemical, mineralogical and tectonical properties, as well as of the results of drilling records the author assumes that relatively poor mineralization, which can be observed on the surface is only external manifestation of richer metasomatic mineralization of deeper and eastern parts of this area. The features of surface mineralization on the Muráň- Plateau and in its surrounding can be observed on a distance of about 10 km. In the external parts the metasomatic pyrite mineralization (with relatively high contents of Se-about 45 gr/t), and in the internal parts the metasomatic polymetallic ores, with wide scale of rare elements predominate. The mineralization has there zonal-character with higher thermal minerals in the central part.

D. Štúr Institute of Geology,  
Bratislava



IVAN KRAUS

## PETROGRAFICKO-MINERALOGICKÉ POMERY A GENÉZA ÍLOVÝCH SEDIMENTOV ŽIARSKEJ KOTLINY

### Úvod

V Žiarskej kotline sú pelitické sedimenty bohatu zastúpené, ale pomerne málo známe, najmä ich mineralogické zloženie. Vulkanický komplex, lemujući Žiarsku kotlinu je primárnym, „materským“ zdrojom ílových sedimentov. Preto tu majú prevahu íly montmorilonitického charakteru; len zriedkavo ide o íly monominerálne. Vedla montmorilonitu býva prítomný aj kaolinit a ilit, lokálne majúce prevahu (ilit zriedkavejšie).

Pulec (1963, 1964) člení výplň Žiarskej kotliny do dvoch sedimentačných cyklov. Prvý, starší reprezentujú piesčito-aleuritické íly so slojkami uhlia vo vrte Trubín 1, resp. silne priesčité íly a tufity vo vrte P-20 pri Žiari n/Hronom. V celom súvrství sú pyroxény a amfiboly neprítomné. Množstvo zbytkov *Hystriophphaeridae* svedčí podľa Planderovej (1963) o brackom prostredí; zatiaľ sa však nenašla žiadna makro ani mikrofauna. Pulec i Planderová (l. c.) usudzujú, že tieto sedimenty vznikli počas vrchného tortónu až spodného sarmatu.

Druhý, mladší cyklus zahrňuje limnokvarcity, bentonitizované ryolitové tufy, bentonity, íly, tufity, ako aj prevažne pelitické sedimenty vo vrtoch P-21 a P-22 obsahujúce vo variabilnom množstve vždy hyperstén. Planderová (1963) a Ciesarik — Planderová (1965) ho predbežne zaraďujú do stredného sarmatu až spodného panónu.

### Petrograficko-litologická charakteristika študovaných sedimentov Žiarskej kotliny

Pre mineralogické a litologicko-genetické štúdium som mal k dispozícii materiál z vrtov Trubín-1, P-20, P-21, P-22, ako aj vzorky z oblasti Starej Kremničky, Podhája, Slaskej a Lutily.

Vo vrte Trubín-1 sa nachádzajú sivozelené, masívne až vrstevnaté íly a ilovce, s preuhodenými zvyškami rastlín, resp. so slojkami a preplátkami lignitu. Štruktúra ilov je fytoorganogénna, prevažne aleuriticko-pelitická, s obsahom aleuritov od 5 do 40 % (kremeň, muskovit, v menšom množstve plagioklasy a karbonáty). Jemnodisperzná ilovitá hmota býva najmä v partiach diageneticky spevnených usmernená v šupinkovitý až lišťovitý agregát.

Vo vrte P-20 pri Žiari n/Hronom vystupujú silne piesčité a aleuritické, sivozelené íly a tufity; v intervale 145—207 m sú ryolitové tufy s pemzami o priemere 20 cm a vulkanickým sklom. Stupeň ich premeny je nepatrny.

Vrt P-21 pri obci Bukovina siaha do hĺbky 102,80 m. Ide tu prevažne o svetlosivé a sivozelené plastické íly, ojedinele s vložkami piesčitých aleuritov (so subangulárny kremeňom, muskovitom, glaukonitom a kalcitom). Jemnodisperzný agregát má typický, lišťovitý vývoj.

V intravulkanickej doline pri Jastrabej bol situovaný vrt P-22 do hĺbky 102,80 m. Vo vrchnej časti prevládajú piesčité tufity s ojedinelými slojkami lignitu a s polohami vrstevnatých, sivých, aleuritických ilovcov. Tieto majú fytoorganogénnu, aleuriticko-pelitickú štruktúru. Preuhodené zvyšky rastlín, spolu so subangulárny kremeňom tvoria asi 15 % horniny. Jemno až hrubo-disperzné agregáty ilovej hmoty lišťovitého vývoja zhášajú rovnobežne. V spodnej časti vrtu majú prevahu piesčité až plastické íly a uhoľné íly, s niekoľko cm preplátkami lignitu. V intervale 60, 40—70, 70 m sú prítomné sivobiele, slabopiesčité, lahlké íly, ktoré majú na prvý pohľad charakter diatomitických ilov. Opticky sa však schránky diatomácei nezistili. Ide o veľmi jemnodisperznú horninu s pelitickou štruktúrou, opalizovanú. Vo frakcii pod dva  $\mu$  sa prejavil len veľmi slabý, difúzny reflex, patriaci montmorilonitu.

Sprievodné horniny limnokvarcitov, t. j. pemzové ryolity, bentonitizované ryolitové tufy a bentonity, íly, uhoľné íly, slojky lignitu a tufity som študoval v okolí Starej Kremničky, Podhája, Slaskej a Lutily.

Vznik limnokvarcitov sa geneticky i časové spája s pemzovými ryolitmi; Fiala (1961) ich zaradil do IV. skupiny. Sú známe medzi Kopernicou—Lutilou—Bartošovou Lehota—Pitelovou a Starou Kremničkou.

Najväčší význam pre vznik bentonitov v Žiarskej kotline majú ryolitové tufy, ktoré sa vyvíjajú pozvolne z pemzových ryolitov (Ciesárik — Očenáš 1964). Ryolitové tufy sú rozšírené hlavne medzi Lutilou a Starou Kremničkou, pri Pitelovej a v S—J prahu od Hornej Vsi cez Dolnú Ves, Bartošovú Lehotku k Starej Kremničke. Sledovali sme ich hlavne v priestore ložiska Stará Kremnička—Kotlište, kde tvoria podložie i nadložie limnokvarcitov.

Podla Fialu (1961) tufy majú ryodacitový, ojedinele až dacitový (Jastrabská panvička) charakter a chemizmus. Bázickejšie polohy pritom plynule prechádzajú do poloh kyslejších. Táto skutočnosť sa napríklad medzi iným prejavuje nepatrnným, ale stabilným zastúpením amfibolu v ŤF tufov.

*Bentonitizácia ryolitových tufov* prebieha hlavne v bezprostr. blízkosti limnokvarcitov. Prvým stupňom premeny (pred bentonitizáciou) je devitrifi-

kácia vulkanického skla, čo sa dá sledovať najmä u menej premenených tufov (SŽ-14/2.30-3.30). Živce bývajú obyčajne čerstvé, príp. sericitizované; hojný je chalcedón, tvoriaci vláknité agregáty a vyplňa dutinky v základnej peliticko-sklovitej hmote. Pri intenzívnej bentonitzácii (SŽ-17/7.60) mení sa pôvodná štruktúra horniny na hrubo až jemnopelitickú štruktúru (len ojedinele sa vyskytuje kremeň, plagioklasy väčšinou nie sú prítomné).

Celkovo možno povedať, že bentonitzácia je v Žiarskej kotline priestorove úzko spojená so samotnými limnokvarcitmi. Potvrzuje to aj fakt, že najkvalitnejšie polohy bentonitov v oblasti ložiska Stará Kremnička sú práve medzi vrchnou a hlavnou polohou limnokvarcitov.

Preplavené bentonitické ľily tvoria najvrchnejšiu časť a v oblasti ložiska Stará Kremnička—Kotlište ležia nad bentonitzovanými ryolitovými tufmi a bentonitmi.

Ryolitové tufity sú vyvinuté prevažne v spodnej časti produktívneho komplexu. Vedľa tufového materiálu obsahujú valúny kremeňa, tmavých pyroxenných andezitov a kremencov [podľa Fialu (1961) vzácne aj valúny žuly]. V podloží limnokvarcitov sa často striedajú, alebo prechádzajú do tmavosivých až čiernych uholných ľilov s pomerne zriedkavými, tenkými (do 30 cm) polohami lignitu. Na kontakte limnokvarcitov bývajú silicifikované. Sporadicicky sa vyskytujú intenzívne druhotne silicifikované polohy diatomitov.

Medzi Slaskou a Lutilou, ako aj na lokalite Potočik, SV od ložiska Stará Kremnička—Kotlište sa vyskytujú svetlosivé až zelenohnedé, slabopiesčité až plastické, preplavené ľily, často značne znečistené Fe oxydmi. Obsahujú muskovit a úlomky limnokvarcitov, niekedy rozložené lapilky pemzy, príp. sú prestúpené uholnou sečkou a prechádzajú do uholných ľilov. Majú polyminerálny charakter. Vedľa dominujúceho montmorilonitu je prítomný ilit a kaolinit (najmä vo vrchných častiach).

#### *Využitie analýzy ľažkých minerálov pre objasnenie procesov bentonitzácie*

Štúdium ŤM nám umožňuje objasniť viaceré otázky, ktoré majú pre poznanie genézy bentonitov kľúčový význam, napr. či ide o primárne bentonity, alebo o sekundárne, premiestnené bentonitické ľily. Potom je to určenie petrografického charakteru materských hornín (pozri najmä Weawer 1963). Štúdiom asociácie ŤM v oblasti prieskumu na limnokvarcity v Žiarskej kotline sme predbežne určili dve základné oblasti s rozdielnou genézou pelitických sedimentov.

Prvá oblasť zahrňuje značnú časť ložiska Stará Kremnička—Kotlište, s bentonitzovanými ryolitovými tufmi a bentonitmi; proces bentonitzácie tu prebiehal po ich usadení vo vodnom prostredí na pôvodnom mieste. Asociáciu ŤM som študoval zo šachtíc SŽ-20, SŽ-14, SŽ-13, SŽ-17; analogické pomery budú zrejme všade, kde sú prítomné ryolitové tufy. Ide o monotónnu asociáciu idiomorfného zirkónu a biotitu. Tieto bentonity sú primárne. Koncentrácia oboch

minerálov (príp. ešte spolu s apatitom) súvisí s ich odolnosťou voči rozkladu v slabo alkalickom a alkalickom prostredí, v ktorom proces bentonitzácie prebieha. V kyslom prostredí sú už tieto minerály (menovite zirkón a apatit) menej odolné (Weawer 1963); overil som si to porovnávaním asociácie ŤM z vrtov SŽ-17 a ŽP-5. V prvom prípade ide o úplnú premenu ryolitového tufu v bentonit s dominujúcim montmorilonitom. Z neopaktných minerálov tu prevláda zirkón (69,7 %) a biotit (22 %). Vo vrte ŽP-5 ide o primárne úplne rozložený ryodacit (?) v takmer čistý kaolinit. V intervale najintenzívnejšieho rozkladu (od 9 do 13,80 m) ŤM vôbec nie sú prítomné.

Do druhej skupiny patria premiestnené íly a tufity, ktoré sa pravidelne striedajú s limnokvarcitemi, v oblasti Stará Kremnička—Potočik (22 d, Š-39, Š-32), v ktorých je prítomná dokonca asociácia, poukazujúca na prínos metamorfovaných hornín (staurolit, aktinolit). Ďalej sem patrí priestor v okolí Podhája a Slaskej (vrty VŽ-51, VŽ-57, VŽ-45, VŽ-61). Ide tu o omnoho pestrejšiu asociáciu ŤM ako v predošom prípade. Kontaminácia sa prejavuje predovšetkým minerálmi, patriacimi horninám intermediárneho charakteru. Nápadný je najmä pokles obsahu zirkónu, ktorý má rozhodujúci význam pri rozlišovaní primárnych bentonitov od preplavených montmorilonitických, alebo polyminerálnych flóv a tufitov. Druhé kritérium — stupeň opracovania, nie je už také zreteľné, lebo transport resedimentovaného materiálu neprebiehal na veľkú vzdialenosť.

Žiaľ, naše rozbory ŤM sa opierajú len o pomerne malý počet dokumentačných bodov; nemôžu preto úplne riešiť celú problematiku. Umožňujú však objasniť niektoré problémy, ktoré sa normálnym optickým štúdiom v polarizačnom mikroskopе z výbrusov riešiť nedajú.

#### Štúdium ílových sedimentov pomocou DTA

Variabilita v chemickom zložení montmorilonitu, kde dochádza v oktaedrickej i tetraedrickej koordinácii k značnej substitúcii, sa neprejavuje natoliko pri rtg. štúdiu, ako pri DTA. Štúdiom bentonitov Žiarskej kotliny touto metódou sa potvrdil určitý vplyv chemizmu montmorilonitu na priebeh krieviek DTA (opieram sa tu o vlastné mineralogické rozbory; časť DTA a kapacity výmeny iónov som prebral z práce Ciesarik — Očenáš 1964).

Pre lepšie pochopenie problematiky načrtнем schému priebehu DTA krieviek montmorilonitu, ktorý dominuje v prevažnej časti sedimentov Žiarskej kotliny.

Podstatná časť molekulárne viazané vody sa uvoľňuje v intervale od 20° do 300 °C. Priebeh tejto endotermnej reakcie (zvlášť typické „zdvojenie“ pri teplote okolo 220 °C) poukazuje na pevnnejšie viazanú vodu výmennými katiónmi, predovšetkým  $\text{Ca}^{+2}$  a  $\text{Mg}^{+2}$ . Strmý priebeh pravého ramena endotermnej reakcie, bez, alebo s minimálnym zdvojením (podľa Kontu 1957; Horvátha 1965) indikuje prítomnosť  $\text{Na}^+$  iónu v medzivrstvenom priestore. I keď len na základe tohto faktu nemožno robiť definitívne uzávery o prítomnosti toho, alebo iného katiónu, v prípade bentonitov Žiarskej kotliny ide o bentonity typu Mg—Ca.

Tab. 1. Kvantitatívne vyhodnotenie TM v študovaných ilových sedimentoch žiarskej kotlinky.

| Vzorka              | apatit | biotit | zirkón | turmalín | hypersíten | amfibol | rutil | zoizit | granát | staurolit | aktinolit | karbonáty | magnetit-ilmenit | limonit | pyrit | zakalené | poznámky                               |
|---------------------|--------|--------|--------|----------|------------|---------|-------|--------|--------|-----------|-----------|-----------|------------------|---------|-------|----------|--|
| VŽ 51/0,6           | 0,8    | 18     | 2      | 2,5      | 0,8        |         |       | 12,5   | 0,5    | +         |           | 17        | 46,5             |         |       |          |  |
| VŽ 51/17            | 0,4    | 0,7    |        | 0,2      | 0,7        |         |       |        |        |           | 0,4       | 0,2       | 0,2              | 96,1    |       |          |  |
| VŽ 51/36            | 1,2    | 1,6    | +      |          | 25,1       | 0,8     | +     | 0,7    | 0,8    |           | +         | 2         | 16               | 4       |       | 9,1      |  |
| VŽ 57/4,5           | +      | 1,9    | 3      | 0,5      | 0,5        |         |       | 3,1    | 1      |           | +         | +         | 40,5             | 2,4     |       | 47       | zirkón je opracovaný                   |
| VŽ 45/26,6          | 87,2   | 8      |        |          |            |         |       |        | 3,3    |           |           |           |                  |         |       |          |  |
| VŽ 45/30,7          | 2      | 21,8   | 11,2   |          | 5          | 0,6     |       | 5      | 2,8    |           | +         | 17        | 21               |         |       | 17,5     |  |
| ŽP 5/21             | 0,7    | 68,3   | 31     |          | 1          | 0,5     |       | 0,5    |        |           |           |           |                  |         |       |          | zirkón je idiomorfny                   |
| ŽP 1/21,7           | 29,5   | 26     |        |          | 0,8        | 0,8     |       | 6      | 4,1    |           |           | 15        | 16,4             | 1       |       |          | zirkón je opracovaný                   |
| VŽ 61/0,5           | 1,3    | 2      | 4,8    | 0,4      | 1          | 0,4     | 3,1   | 6,5    | 1      | +         |           | 1,2       | 41,3             | 34      | 2,8   |          |  |
| VŽ 61/52,6          | 13,5   | 6      |        |          |            |         |       | 2,8    |        |           |           | 2,8       | 54,9             | 20      |       |          |  |
| 22 d                |        | 4,7    | 47,8   | 0,9      |            |         | 0,4   | 2      | 0,4    |           |           |           | 22,2             | 6,7     | 0,5   | 15,1     | zirkón je opracovaný                   |
| Š 39                | 0,2    |        | 2      | 0,3      |            |         |       | +      | 14     |           |           |           |                  | 28,3    | 47,2  |          |  |
| Š 32                |        | 0,8    | 10,3   | 0,5      | 0,8        | 10,2    | 0,8   | 2,5    | 5,2    | 0,9       | 8         | 0,8       |                  | 53,1    |       | 14,1     | zirkón je opracovaný                   |
| SŽ 20/2,30<br>-3,30 | +      | 2      | 51,3   |          |            |         |       |        | 0,75   |           |           |           | 17               | 19      |       | 10       | zirkón je idiomorfny,<br>aj opracovaný |
| SŽ 20/14            | +      | 2      | 63     |          |            |         |       | +      |        |           |           |           | 12               | 3,5     |       | 18,5     |  |
| SŽ 14/4,5           | +      | 36,4   | 53     |          |            |         | +     |        | 0,3    |           |           |           | 3                | 2,5     |       | 5        | index lomu vulk. skla<br>1,49.         |
| SŽ 14/8             | +      | 19     | 41     |          |            |         |       |        | +      |           |           |           | 18               | 3,5     | 0,75  | 17       |  |
| SŽ 14/11,5          | +      | 28     | 49     |          |            |         |       |        | 2      |           |           |           | 0,75             | 6       | 8     | 6        |  |
| SŽ 14/12,5          | +      | 4      | 39     |          |            |         |       |        | 2      |           |           |           |                  |         |       | 55       |  |
| VŠ 13/3             | +      | 36     | 35     | +        |            |         |       |        | 2,5    |           |           |           | 15,5             | 11      |       |          |  |
| VŠ 13/13,5          |        | 2      | 98     |          |            |         |       |        |        |           |           |           |                  |         |       |          |  |
| VŠ 13/14,8          |        | 14,2   | 21     |          |            |         | +     | 10     | 1,75   |           |           |           |                  | 18      | 35    |          |  |
| VŠ 13/12,5          |        | 21     | 56,75  |          |            |         | 1,25  | +      |        |           |           |           | 12,5             | 10,5    | 3     | 4        |  |
| SŽ 17/7             | 0,2    | 22     | 69,7   | 0,5      |            |         |       |        | 0,8    |           |           |           | 1,8              | 2       |       | 3        |  |

Pomerne komplikovaný je priebeh kriviek v intervale 450—750 °C, kedy dochádza k dehydroxylácií. V zmysle prác Johnsa & Jonasa (1954) a Číčela (1963) možno z priebehu kriviek DTA u montmorilonitov v intervale 450—750 °C usudzovať na veľkosť substitúcie  $\text{Al}^{+3}$  za  $\text{Si}^{+4}$  v tetraedrickej koordinácii. Tento fakt možno využiť pri porovnaní s inými oblasťami, resp. pri úvahách o ich genéze. Podľa doterajších predstáv môže tu dôjsť k takýmto prípadom:

Montmorilonity so substitúciou od 0,07 do 0,36  $\text{Al}^{+3}$  na elementárnu bunku v tetraedrickej koordinácii majú len vyššiu dehydroxylačnú endotermu (pri 700°C); pri substitúciu 0,40—0,72  $\text{Al}^{+3}$  sú dve (medzi 500—600° a pri 700°C.); od 0,92 do 1,57 je prítomná len nižšia dehydroxylačná endotermá.

Okrem substitúcie  $\text{Al}^{+3}$  za  $\text{Si}^{+4}$  v tetraedrickej koordinácii, ovplyvňuje priebeh dehydroxylácie aj substitúcia  $\text{Fe}^{+3}$  za  $\text{Al}^{+3}$  v oktaedrickej koordinácii, čo sa napr. výrazne prejavuje u nontronitov. Prirodzene, tieto úvahy platia len pre čisté, monominerálne vzorky. Prímes ostatných ilových minerálov, ako ešte uvidíme, značne mení priebeh kriviek v oblasti dehydroxylácie.

Nakoniec pre montmorilonit je charakteristická tretia endotermá s extrémom pri teplote 800—900 °C. Tento extrém sa zatiaľ ešte stále neinterpretuje jednotne; prevláda väčšinou názor, že táto endotermá indikuje rozpad pôvodnej montmorilonitickej mriežky.

Krivky DTA boli zhotovené z navážky 0,2 g, pri rýchlosti rastu teploty 50°C/min., vo vertikálnej piecke s Pt—Pt/Rh termočlánkom a s plynulou automatickou registráciou. Čiastočne frakcie pod 40  $\mu$ ; niektoré, hlavne z vrtov Trubín-1, P-21 sa museli separovať na frakciu pod 2 mikrometre.

Celkovo môžeme študované vzorky ilov Žiarskej kotliny s prevahou montmorilonitu rozdeliť podľa charakteru kriviek DTA do troch skupín:

1. Vzorky, ktoré obsahujú z ilových minerálov len montmorilonit; sú to bentonitizované ryolitové tufy a bentonity z ložiska Stará Kremnička—Kotlište.

2. Vzorky, v ktorých dominuje montmorilonit, ale obsahujú malú prímes kaolinitu (do 10 %); ide opäť o bentonitizované ryolitové tufy a bentonity z ložiska Stará Kremnička—Kotlište, príp. preplavené íly s nepatrnnou prímesou kaolinitu, resp. ilitu (VŽ-57/11.90).

3. Všetky ostatné íly, vyskytujúce sa v spojitosti s limnokvarcitemi, príp. tvoriace sedimentárnu výplň Žiarskej kotliny. Obsahujú vedľa montmorilonitu aj ilit a kaolinit ako podstatnú prímes (do 50 %).

Najspoločnejšie môžeme interpretovať priebeh DTA kriviek u prvej skupiny. Patria sem vzorky VŠ-13/3, Zváraliská 49, Kr-1/240, ako aj SK-19/5.60, SK-19/2.40, SK-22/9.10 a SK-22/13.20, u ktorých sme sice neoverovali mineralogické zloženie rtg., ale podľa DTA kriviek a vysokých hodnôt kapacity výmeny iónov nad 60 m. e. na 100 g zeminy sú dosť čisté (nepatrnná prímes kaolinitu je nie vylúčená). Pri sledovaní kriviek DTA u týchto vzoriek sa stretnávame s tromi prípadmi:

U vzoriek VŠ-13/3 a SK-22/9.10 sú v oblasti dehydroxylácie vyvinuté obidve endotermá: nižšia s vrcholom v intervale 530°—565 °C, vyššia pri 690—705 °C. Predstavujú bentonity, ktoré vznikli intenzívou premenou ryolito-

vých tufov na ložisku Stará Kremnička – Kotlište. Stupeň substitúcie  $\text{Al}^{+3}$  za  $\text{Si}^{+4}$  je nízky (0,065); nemôžeme tu však vylúčiť prítomnosť voľného  $\text{SiO}_2$ , ktorý by mohol tento pomer do určitej miery skresliť [Číčel (1966) zistil metódou podľa Osthausa (1954) 0,566 tetraedrického  $\text{Al}^{+3}$  vo vzorke montmorilonitu zo Sklených Teplíc, ktorá mala obidve dehydroxylačné endotermy podobné].

U vzoriek Zváraliská 49, SK-19/2.40 a SK-19/5.60 je nižšia dehydroxylačná endoterma naznačená len zmenou nulovej polohy pri 510–530 °C, pričom zreteľný priebeh má len vyššiu endoterma v intervale 650–700 °C.

Nakoniec vzorky Kr-1/240 zo zóny premenených andezitov, kremnického žilného systému a SK-22/13.20 majú len vyššiu dehydroxylačnú endotermu v oblasti 700 °C.

V rámci týchto troch typov kriviek DTA sa nám nepodarilo zistiť dajakú súvislosť medzi stupňom substitúcie  $\text{Al}^{+3}$  za  $\text{Si}^{+4}$  v koordinácii IV a priebehom ich dehydroxylácie. Podľa doterajších poznatkov by sa stupeň substitúcie mal postupne znižovať od prvej až k tretej skupine, čo však v našom prípade nie je výrazné. Iste sa tu nepriaznivo prejavuje vplyv amorfínnych prímesí v montmorilonite, ktoré sa pri prepočte kryštalochemických vzorcov nepriamo metódou z klasických chemických analýz nedajú eliminovať; okrem toho frakciu pod 2 mikróny v potrebnom množstve sme mohli separovať iba z malého počtu vzoriek.

Do druhej skupiny zaraďujem vzorky, kde je prítomný aj kaolinit (zväčša do 10 %), zriedkavo ilit; sú to bentonitizované ryolitové tufy a bentonity z vrtov VŠ-17, VŠ-13, SŽ-20, SŽ-14, ďalej vzorky preplavených flov (VŽ-7/41,60) a VŽ-57/11,90). Číslu v tejto skupine majú vždy dobre vyvinuté obidve dehydroxylačné endotermy: nižšiu v intervale 510–555 °C, vyššiu pri 685–720 °C. Prítomnosť kaolinitu, resp. ilitu spôsobuje najmä prehlbovanie nižšej dehydroxylačnej endotermy [názorné u vzoriek SŽ-20(0,30–1,50) a SŽ-20(2,30–3,50), ktoré obsahujú viac kaolinitu, resp. vzorky SŽ-20(14,50), ktorá má kaolinitu menej]. Zatiaľ sme nezistili, aké minimálne množstvo kaolinitu môže už skresliť dehydroxyláciu montmorilonitu; nemožno totiž tento vplyv vždy generalizovať. Napr. vzorka VŠ-13/3 je monominerálna, obsahuje len montmorilonit a má obidve dehydroxylačné endotermy; naproti tomu vo vzorke VŠ-13(14,80) prítomnosť kaolinitu (zistená rtg.) sa neprejavuje nižšou dehydroxylačnou endotermou; ide tu iba o nepatrnnú zmenu nulovej polohy pri 500 °C.

Celkovo môžeme povedať, že bentonitizované ryolitové tufy a bentonity, v ktorých vedľa montmorilonitu je prítomný aj kaolinit sú na ložisku Stará Kremnička – Kotlište najrozšírenejšie. Tento moment sa odzrkadluje aj v hodnotách kapačity výmeny iónov (v priemere okolo 40 m. e. na 100 g zeminy).

Do tretej skupiny patria ostatné čísla výmeny iónov polyminerálneho charakteru, hlavne

preplavené bentonitické íly, známe na ložisku Kotlište. Ako vedľajšiu zložku obsahujú hlavne kaolinit, sporadicky aj ilit (vzorky SŽ-20/0,30—1,50, SK-32/2,50—4,40, SK-32/4,40—6,00, SK-32/6,00—8,00, SK-33/0,30—3 a SK-33/3—5,40). Patria sem aj preplavené íly bez bližšieho súvisu s primárnymi bentonitmi, ktoré obsahujú značné množstvo kaolinitu a hlavne ilitu (vzorky z vrtov a šachtíc VŽ-7, SŽ-33, VŽ-61, VŽ-45, VŽ-57, VŽ-51, Š-32, Š-39, Š-38, teda už mimo ložiskovú oblasť Stará Kremnička—Kotlište), ako aj vzorky sedimentárnej výplne Žiarskej kotliny (vrty Trubín-1, P-20, P-21, P-22).

Polyminerálny charakter týchto ílov sa prejavuje na krivkách DTA veľmi výrazne tým, že dehydroxylačná endoterma vrcholí v intervale 500—600 °C, najčastejšie pri teplote 530—560 °C; vyššiu dehydroxylačnú endotermu nemajú vyvinutú, alebo len sporadicky (čo je súčasne dôkazom zvýšeného obsahu montmorilonitu). Tak napr. vo vrte VŽ-7 do hĺbky 20 m je v íloch prítomný vedľa montmorilonitu kaolinit a ilit až okolo 50 % (napr. vo vzorke VŽ-7/10,70). Vo všetkých týchto vzorkách je len jedna dehydroxylačná endoterma pri teplote 550 °C. V hĺbke 41,80 m má prevahu montmorilonit a na krivke DTA objavuje sa vyššia dehydroxylačná endoterma pri 710 °C. Tretia endoterma pri 900 °C býva u týchto ílov vždy prítomná.

Na prvý pohľad, bez ďalšieho rtg. štúdia by sa mohlo z polohy dehydroxylačnej endotermy u tejto skupiny polyminerálnych ílov usudzovať na montmorilonity s vysokou substitúciou  $\text{Al}^{+3}$  za  $\text{Si}^{+4}$  v koordinácii IV, pretože všetky krivky sú podobné tým ktoré sa považujú za beidelitické. Nasvedčovali by tomu aj chemické analýzy. Preto sú, najmä pri nedostatočne identifikovaných vzorkách námietky, proti mnohým takto v literatúre označovaným ílom oprávnené.

Polyminerálny charakter týchto ílov sa okrem iného odráža v kapacite výmeny iónov, ktorá je v tomto prípade skutočne najnižšia (okolo 20, maximálne 30 m. e. na 100 g hmoty). Tieto íly v oblasti Stará Kremnička—Potôčik, Podháj, Slaská, Lutila by sa event. hodili na výrobu kameniny; v každom prípade sú veľmi citlivé voči sušeniu.

Na tab. 2 sú porovnávané výsledky DTA bentonitov zo Žiarskej a Zvolenskej kotliny; posledné majú len nižšiu dehydroxylačnú endotermu. Na základe vysokého stupňa substitúcie  $\text{Al}^{+3}$  za  $\text{Si}^{+4}$  v tetraedrickej koordinácii, ako aj pomeru Si : Al ich môžeme zaradiť (v zmysle klasifikácie Sedleckého 1945) k montmorilonitu 3, čiže majú beidelitický charakter. Naproti tomu čisté montmorilonitické bentonity Žiarskej kotliny krivkami DTA, kryštalochemickým vzorcom a pomerom Si : Al skôr pripomínajú bentonity z východného Slovenska. Majú však obidve dehydroxylačné endotermy (hoci nižšia je často málo výrazná). Podľa Horvátha (1964) bentonity s vyššou tetraedrickou substitúciou majú väčšiu schopnosť výmeny iónov, ale nepriaznivé ďalšie, technologicky dôležité parametre: sú málo väzné a nenapučiavajú. Kapacita výmeny iónov u najkvalitnejších bentonitov v Žiarskej kotlini je skutočne vysoká (nad 60 m. e. na 100 g hmoty), takže by sa mohli využiť ako sorbent v chemickom priemysle. Sú však rozšírené veľmi nepravidelne a v pomerne malom množstve.

Tab. 2. Extrémy na krvkách DTA bentonitov zo Žiarskej, Zvolenskej kotliny, Braňan (B. Číčel-I. Novák 1966) a východného Slovenska (I. Horváth 1965, 1966).

| Vzorka                              | T <sub>1</sub> | T <sub>2</sub> | T <sub>3</sub> | Výme-<br>na<br>báze | koord. IV |       | Mol.<br>pomer<br>Si : Al | Minerálne<br>zloženie                       |
|-------------------------------------|----------------|----------------|----------------|---------------------|-----------|-------|--------------------------|---|
|                                     |                |                |                |                     | Si        | Al    |                          |   |
| VŠ-13/3 Stará Kremn. - Kotlište     | 540 V          | 690 V          | 890 V          |                     | 7,935     | 0,065 | 5,97                     | montmorillonit                              |
| SK-22/5 - 9,10 St.                  |                |                |                |                     |           |       |                          |   |
| Kremn. - Kotlište                   | 565 V          | 705 V          | 870 V          | 60,85               |           |       |                          | montmorillonit                              |
| Zvaraliska 49                       | 510 Z          | 650 V          | 880 V          |                     | 7,857     | 0,143 | 6,05                     | montmorillonit                              |
| Sk-19/2,40 Stará Kremn. - Kotlište  | 530 Z          | 695 V          | 860 V          | 63,82               |           |       |                          | montmorillonit                              |
| SK-19/5,60 - 7,80                   |                |                |                |                     |           |       |                          |   |
| St. Kremn. - Kotl.                  | 530 Z          | 685 V          | 855 V          | 61,59               |           |       |                          | montmorillonit                              |
| Kr-1/240 Kremnica                   | -              | 700 V          | 870 V          |                     |           |       |                          | montmorillonit                              |
| SK-22/13,20 Stará Kremn. - Kotlište | -              | 710 V          | 890 V          | 62,07               |           |       |                          | montmorillonit                              |
| VŠ-13/13,5 Stará Kremn. - Kotlište  | 550 Z          | 690 Z          | 910 V          |                     | 7,949     | 0,051 | 5,54                     | montm. + málo kaolinitu                     |
| VŠ-13/14,8 Stará Kremn. - Kotlište  | 500 Z          | 710 V          | 910 V          |                     |           |       |                          | montm. + málo kaolinitu                     |
| VŽ-57/11,90                         | 510 Z          | 675 V          | 900 V          |                     | 7,647     | 0,353 | 5,04                     | montm. + veľmi málo illitu                  |
| VŽ-7/41,60                          | 530 V          | 710 V          | 890 V          |                     | 7,717     | 0,283 | 5,02                     | mont. + málo kaol. a illitu ešte nezist.    |
| SŽ-14/4,50 Stará Kremn. - Kotlište  | 555 V          | 660 Z          | 850 V          |                     |           |       |                          | zloženie rtg ešte nezist.                   |
| SŽ-14/8,00 Stará Kremn. - Kotlište  | 540 V          | 670 Z          | 890 V          |                     |           |       |                          | zloženie rtg.                               |
| SŽ-14/11,50 Stará Kremn. - Kotlište | 535 V          | 720 V          | 915 V          |                     |           |       |                          | montm. + málo kaolinitu                     |
| SŽ-20/2,30 - 3,30                   |                |                |                |                     |           |       |                          |   |
| St. Kremn. - Kotl.                  | 550 V          | 715 V          | 915 V          |                     |           |       |                          | montm. + prímes kaolinitu                   |
| SŽ-20/14,5 Stará Kremn. - Kotlište  | 540 V          | 695 V          | 890 V          |                     |           |       |                          | montm. + málo kaolinitu                     |
| SŽ-17/7,50 Stará Kremn. - Kotlište  | 510 V          | 700 V          | 900 V          | 47,10               |           |       |                          | montm. + málo kaolinitu                     |
| SŽ-17/3,20 - 3,50                   |                |                |                |                     |           |       |                          | montm. + málo kaolinitu                     |
| St. Kremn. - Kotl.                  | 530 V          | 695 V          | -              | 42,43               |           |       |                          | montm. + málo kaolinitu                     |
| Borová Hora                         |                |                |                |                     |           |       |                          | montmorill. beidellitic. typu               |
| B. H. 1.                            | 550 V          | -              | 860 V          | 41,64               | 7,127     | 0,873 | 4,09                     | montmorillonit.                             |
| Borová Hora R <sub>6</sub>          | 510 V          | -              | 830 Z          |                     |           |       |                          | beidellitic. typu                           |
| Borová Hora                         |                |                |                |                     |           |       |                          | montmorillonit.                             |
| B. H. 25.                           | 520 V          | -              | -              | 34,95               |           |       |                          | beidellitic. typu                           |
| Badín                               | 530 V          | -              | 880 Z          |                     | 7,23      | 0,77  | 3,56                     | beidellit                                   |
| Badín                               | 470 V          | -              | -              |                     | 7,25      | 0,75  |                          | nontromit                                   |
| Sampor                              | 490 V          |                | 860 V          |                     |           |       |                          | nontronit                                   |
| Braňany                             | 565 V          |                | 890 V          |                     | 7,102     | 0,898 | 4,22                     | montmorill. beidellit nontronitic-kého typu |
| P-7/113                             | 500 V          | 660 Z          | 840 Z          |                     | 7,441     | 0,559 |                          | nontronit (?)                               |
| P-7/286,5                           | 545 V          | 705 V          | 900 V          |                     | 6,908     | 1,092 | 3,49                     | montm. beidell.                             |
| P-7/289                             | 545 V          | 705 V          | 900 V          |                     | 7,066     | 0,934 | 3,83                     | typu + málo illitu a kaol.                  |
|                                     |                |                |                |                     |           |       |                          | montm. beidell. typu + málo illitu a kaol.  |

| Vzorka    | T <sub>1</sub> | T <sub>2</sub> | T <sub>3</sub> | Výme-<br>na<br>báze | koord. IV |       | Mol.<br>pomer<br>Si : Al | Minerálne<br>zloženie  |
|-----------|----------------|----------------|----------------|---------------------|-----------|-------|--------------------------|--|
|           |                |                |                |                     | Si        | Al    |                          |  |
| P-7/327   | Pstruša        | 540 V          | 710 V          | 940 V               |           |       |                          | montm. beidell.<br>typu + málo<br>illitu a kaol.   |
| P-7/354   |                | 540 V          | 670 V          | 940 V               |           |       |                          | montm. beidell.<br>typu + málo<br>illitu a kaol.   |
| P-7/386,5 |                | 540 V          | 690 V          | 920 V               | 7,205     | 0,795 | 3,67                     | montmorillonit-<br>beidell. typu   |
| P-7/446   |                | 570 V          | 700 V          | 910 V               |           |       |                          | montm. beidell.<br>typu + primes<br>kaolinitu, viac<br>ako v ostatných<br>vzorkách z vrchu<br>P-7. |
| P-7/473,5 |                | 550 V          | 670 Z          | 830 V               | 7,608     | 0,392 |                          | nontronit (?)  |
| Fintice   | —              | 670 V          | 860 V          | 56,7                | 7,809     | 0,190 | 6,09                     | montmorillonit   |
| Hrabovec  | —              | 695 V          | 880 V          | 57,6                | 7,848     | 0,152 | 5,46                     | montmorillonit   |
| Kuzmice   | —              | 725 V          | 900 V          | 57,2                | 7,341     | 0,658 |                          | montmorillonit   |
| Žipov     | —              | 715 V          | 890 V          | 48,6                | 7,968     | 0,031 | 5,35                     | montmorillonit   |

Vysvetlivky: T<sub>1</sub> = extrém nižšej dehydroxylačnej endotermie

T<sub>2</sub> = extrém vyšej dehydroxylačnej endotermie

T<sub>3</sub> = extrém tretej endotermie

V = dobre merateľná výchylka

Z = zmena nulovej polohy (nepatrna výchylka)

### Diskusia k prepočtom kryštalochemických vzorcov montmorilonitov

Obraz o rozložení jednotlivých kationov v štruktúre montmorilonitu získame vypočítaním jeho kryštalochemického vzorca. Prepočet kryštalochemických vzorcov u vrstevnatých silikátov je v podstate možný dvojakým spôsobom.

Nepriame metódy výpočtu kryštalochemických vzorcov vychádzajú z klasickej chemickej analýzy (pozri Ross-Hendricks 1945; Mc Connell 1950, 1951; Kelley 1955). Ich nevýhodou je, že aj pomerne malé množstvo iných ilových minerálov, prípadná kombinácia voľných kysličníkov môže nadobudnúť pri prepočte rovnaké vlastnosti, ako monominerálna vzorka. To znamená, že prítomnosť primesí sa touto metódou nedá zistieť.

Priama metóda pre stanovenie kryštalochemického vzorca je založená na rozklade študovaného minerálu v kyselinách (pozri Brindley-Youell 1951; Osthaus 1954, 1956; Číčel-Novák 1966; Horváth 1966).

Na tabuľke 3 uvádzam kryštalochemické vzorce montmorilonitických minerálov z bentonitov Žiarskej a Zvolenskej kotliny, ako aj z východoslovenského neogénu a z Braňan.

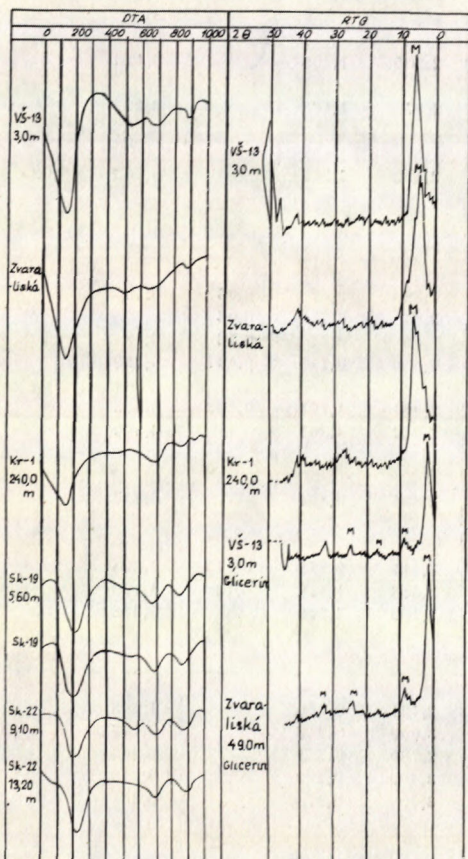
Montmorilonity z primárnych bentonitov Žiarskej kotliny majú stupeň substitúcie v koordinácii IV približne rovnaký ako montmorilonity z východného Slovenska. Prípadný obsah voľných kysličníkov v bentonitoch Žiarskej kot-

liny môže prirodzene čiastočne skresliť vzájomný pomer  $\text{Al}^{+3}$  a  $\text{Si}^{+4}$  v tetraedrickej koordinácii, ktorý sme získali prepočtom podľa Kelleyho (1955). Číčel – Novák (1966) pre bentonity Žiarskej kotliny priamou metódou vypočítali, že stupeň substitúcie  $\text{Al}^3$  v koordinácii IV nepresahuje 0,60.

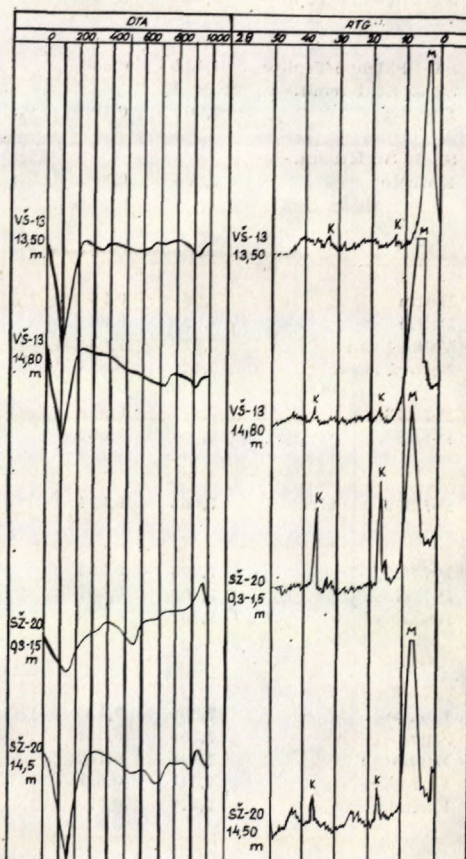
Ílové minerály Zvolenskej kotliny (badínska dolina, Borová hora vrt P-7 pri Pstruši) majú vyšší stupeň tetraedrickej substitúcie  $\text{Al}^{+3}$  za  $\text{Si}^{+4}$ , zväčša okolo 1. Ide prevažne o bentonity nontronit-beidelitického typu, ktoré môžeme porovnavať s bentonitom z Braňan.

### Röntgenografické štúdium

Pri mineralogickom výskume ílov v Žiarskej kotline sa ukázala röntgenografická analýza ílových minerálov najefektívnejšia. Difraktogramy boli zhodovené z práškových orientovaných preparátov, z frakcie pod  $2 \mu$ , priprave-



Obr. 1



Obr. 2

Obr. 1 – 6. Krivky DTA a difraktogramy ílových sedimentov Žiarskej kotliny.

Tab. 3

Kryštalochémiché vzorce minerálov zo

| Vzorka                                    | koordinácia IV |       |                  | koordinácia IV |                 |                 |       | Mg    |
|---|----------------|-------|------------------|----------------|-----------------|-----------------|-------|-------|
|   | Si             | Al    | Fe <sup>+3</sup> | Al             | Fe <sup>3</sup> | Fe <sup>2</sup> | Mg    |       |
| VŠ-13/3 St. Kremn. –<br>Kotlište          | 7,935          | 0,065 |                  | 2,640          | 0,671           |                 | 0,574 |       |
| VŠ-13/13,50 Stará<br>Kremn. – Kotlište    | 7,949          | 0,051 |                  | 2,877          | 0,375           |                 | 0,794 |       |
| Zváraliská 49.                            | 7,857          | 0,143 |                  | 2,635          | 0,736           |                 |       |       |
| VŽ-7/41,60 Stará<br>Kremn. – Kotlište     | 7,717          | 0,283 |                  | 2,854          | 0,675           |                 | 0,484 |       |
| VŽ-57/11,90<br>ŽP-5/7,90 – 8,00<br>Podháj | 7,647          | 0,353 |                  | 2,744          | 0,573           | 0,053           | 0,817 |       |
| Beidell                                   | 7,31           | 0,69  |                  | 3,08           | 0,53            | 0,01            |       |       |
| ST-4 Sklenné Teplice                      | 7,28           | 0,72  |                  | 2,92           | 1,00            |                 | 0,16  |       |
| ST-4 Sklenné Teplice                      | 7,96           | 0,04  |                  | 2,00           | 1,44            |                 | 0,53  |       |
| SŽ-33 St. Kremn. –<br>Kotlište            | 7,434          | 0,566 |                  | 2,205          | 1,298           |                 | 0,426 |       |
| SŽ-33 St. Kremn. –<br>Kotlište            | 7,90           | 0,10  | 0,135            | 2,57           | 1,16            |                 | 0,19  |       |
| SŽ-33 St. Kremn. –<br>Kotlište            | 7,268          | 0,606 |                  | 2,402          | 1,359           |                 | 0,253 | 0,025 |
| Badín                                     | 7,02           | 0,98  |                  | 0,88           | 2,67            | 0,05            | 0,50  |       |
| Badín                                     | 7,02           | 0,98  |                  | 3,04           | 0,77            | 0,03            |       |       |
| Velká Lúka                                | 6,97           | 1,03  |                  | 1,06           | 2,84            | 0,16            | 0,18  |       |
| Borová Hora                               | 7,127          | 0,873 |                  | 2,686          | 0,715           | 0,061           | 0,539 |       |
| P-7/113                                   | 7,441          | 0,559 |                  | 2,084          | 1,291           | 0,052           | 0,613 |       |
| P-7/286,5                                 | 6,908          | 1,092 |                  | 2,944          | 0,361           |                 | 0,500 |       |
| P-7/289                                   | Pstruša        | 7,066 | 0,934            |                | 2,834           | 0,854           |       | 0,487 |
| P-7/386,5                                 |                | 7,205 | 0,795            |                | 3,211           | 0,285           | 0,115 | 0,555 |
| P-7/473,5                                 |                | 7,608 | 0,392            |                | 1,518           | 1,542           | 0,129 | 1,129 |
| Braňany                                   |                | 7,102 | 0,898            |                | 2,499           | 1,246           |       | 0,318 |
| Fintice                                   | 7,809          | 0,190 |                  | 2,427          | 0,360           |                 | 1,203 |       |
| Žipov                                     | 7,968          | 0,031 |                  | 3,009          | 0,246           |                 | 0,747 |       |
| Hrabovec                                  | 7,848          | 0,152 |                  | 2,780          | 0,371           |                 | 0,853 |       |
| Kuzmice                                   | 7,341          | 0,658 |                  | 3,069          | 0,292           |                 | 0,640 |       |
| Kuzmice                                   | 7,91           | 0,09  |                  | 3,09           | 0,27            |                 | 0,60  |       |
| Kuzmice                                   |                | 7,860 | 0,140            |                | 3,108           | 0,230           |       | 0,620 |

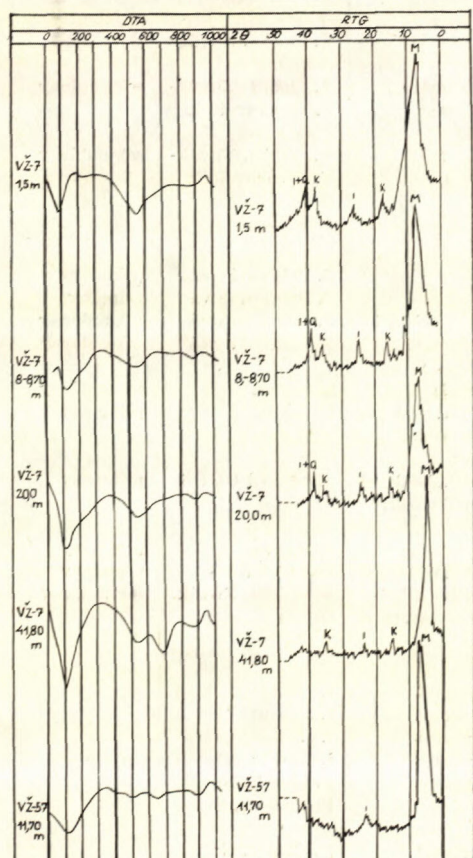
skupiny montmorilonitu z bentonitov

| koordinácia XII |       |       | spôsob prep.                         | miner. zlož.   | analyzoval                                      | genéza     |
|-----------------|-------|-------|--------------------------------------|--|---|------------|
| Ca              | Na    | K     |                                      |  |   |            |
| 0,462           | 0,025 |       | W. P. Kelley (1955)                  | montmorillonit   | Šaturová, GÚDŠ                                  | primárny   |
| 0,335           | 0,025 |       | W. P. Kelley (1955)                  | montm. + málo kaol.  | Šaturová, GÚDŠ                                  | primárny   |
| 0,371           | 0,037 | 0,038 | W. P. Kelley (1955)                  | montmorillonit   | Šaturová, GÚDŠ                                  | primárny   |
| 0,347           | 0,025 |       | W. P. Kelley (1955)                  | montm. + málo illitu<br>a kaolinitu                          | Šaturová, GÚDŠ                                  | sekundárny |
| 0,320           | 0,014 |       | W. P. Kelley (1955)                  | montm. + málo illitu   | Šaturová, GÚDŠ                                  | sekundárny |
| 0,30            |       |       | W. P. Kelley (1955)                  | montm. + málo<br>kaolin. a illitu                            | Polakovičová<br>VVÚGG                           | sekundárny |
| 0,40            |       |       | C. S. Rose-B. S.<br>Hendricka (1945) |  | E. S. Larsen-E. T.<br>Wherry (1925)             |            |
| 0,19            | 0,02  | 0,23  | W. P. Kelley (1955)                  | montm. + málo kao-<br>linitu                                 | B. Číčel-I. Novák-<br>F. Pivovarníček<br>(1965) |            |
| 0,273           |       | 0,331 | B. B. Osthause<br>(1954)             | montm. + málo kao-<br>linitu                                 | B. Číčel-I. Novák<br>(1966)                     |            |
| 0,14            | 0,03  | 0,23  | W. P. Kelley (1955)                  | montm. + málo<br>kaol. a illitu                              | B. Číčel-I. Novák-<br>F. Pivovarníček<br>(1965) | sekundárny |
| 0,212           |       | 0,346 | B. B. Osthause<br>(1954)             | montm. + málo<br>kaol a illitu                               | B. Číčel-I. Novák-<br>F. Pivovarníček<br>(1965) | sekundárny |
| 0,60            |       |       | W. P. Kelley (1955)                  | ntronit  | J. Polakovičová                                 | primárny   |
| 0,33            |       |       | W. P. Kelley (1955)                  | beidellit  | J. Polakovičová                                 | primárny   |
| 0,32            |       |       | W. P. Kelley (1955)                  | ntronit a beidellit  | J. Polakovičová                                 | sekundárny |
| 0,690           | 0,026 | 0,056 | W. P. Kelley (1955)                  | montmorillonit.<br>beidellit. typu                           | J. Polakovičová                                 | sekundárny |
| 0,372           | 0,239 | 0,095 | W. P. Kelley (1955)                  | ntronit (?)  | Šaturová  | sekundárny |
| 0,814           | 0,233 | 0,312 | W. P. Kelley (1955)                  | montmorill., beidellit.<br>typu. málo illitu                 | Šaturová  | primárny   |
| 0,294           | 0,201 | 0,095 | W. P. Kelley (1955)                  | a kaolinitu<br>montmorill., beidellit.<br>typu + málo illitu | Jirásková GÚDŠ                                  | primárny   |
| 0,363           | 0,115 | 0,115 | W. P. Kelley (1955)                  | a kaolinitu  | Šaturová  | primárny   |
| 0,167           |       |       | W. P. Kelley (1955)                  | montmorillonit   | Dvonč GÚDŠ                                      | primárny   |
| 0,487           |       | 0,352 | B. B. Osthause<br>(1954)             | ntronit (?)<br>montmorillonit bei-<br>dellit-ntronit. typu   | B. Číčel-I. Novák<br>(1966)                     | sekundárny |
| 0,359           | 0,619 | 0,082 | I. Horváth (1966)                    | montmorillonit   | I. Horváth (1966)                               |            |
| 0,228           | 0,265 | 0,045 | I. Horváth (1966)                    | montmorillonit   | I. Horváth (1966)                               |            |
| 0,269           | 0,415 | 0,035 | I. Horváth (1966)                    | montmorillonit   | I. Horváth (1966)                               |            |
| 0,223           | 0,793 | 0,051 | I. Horváth (1966)                    | montmorillonit   | I. Horváth (1966)                               |            |
| 0,16            | 0,47  |       | W. P. Kelley (1955)                  | montmorillonit   | B. Číčel-I. Novák-<br>F. Pivovarníček<br>(1966) |            |
| 0,187           | 0,329 |       | B. B. Osthause<br>(1954)             | montmorillonit   | B. Číčel-I. Novák<br>(1966)                     |            |

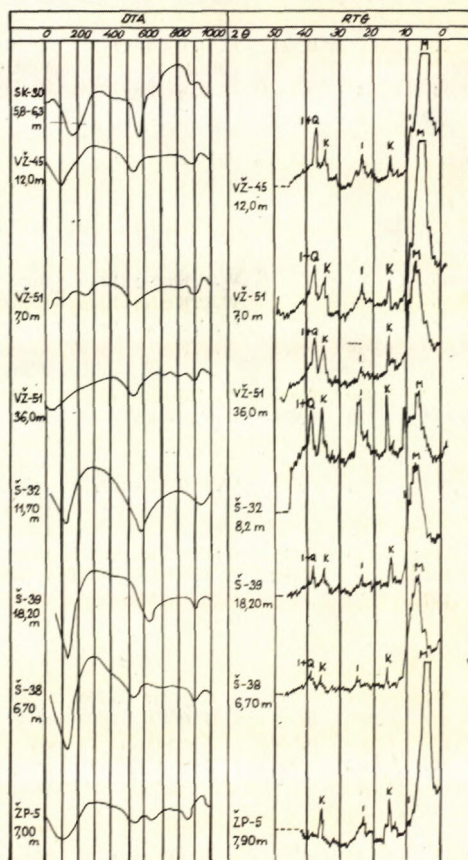
ných bežným spôsobom plavením, jednotne pre všetky vzorky. Preparáty sa študovali na difraktometri GON-3, pri týchto podmienkach: 40 kV, 10 mA, Fe K $\alpha$  žiarenie, výstupná clona 10, vstupná 2, časová konštantá 8 sek., ojedinele až 16 sek., posun 2°/min.

Montmorilonit, ako najrozšírenejší ílový minerál v sedimentoch Žiarskej kotlinky sa prejavuje vo všetkých vzorkách bazálnym reflexom v rozmedzí 12,6—15,1 Å. Hodnota bazálneho reflexu sa u neopracovaného montmorilonitu mení obvykle v intervale 12,4—15,1 Å, vplyvom vymeniteľných kationov v medzivrstevnom priestore a molekulárne viazanéj vody. Zmena hodnôt bazálneho reflexu vo vzorkách ílov Žiarskej kotliny sleduje určitú zákonitosť, ktorú môžeme vyjadriť nasledovne:

Hodnoty bazálnych reflexov u čistých montmorilonitov (VŠ-13/3, Zváraliská 49) alebo ak obsahujú len malú prímes kaolinitu, resp. ilitu (VŽ-57/11.90, ŠŽ-20/14.5, VŽ-7/41.8, ŽP-5/7.90) sa pohybujú v rozmedzí 14,8—15,1 Å; sú ostré a vysoké. Tieto hodnoty u vzo-



Obr. 3

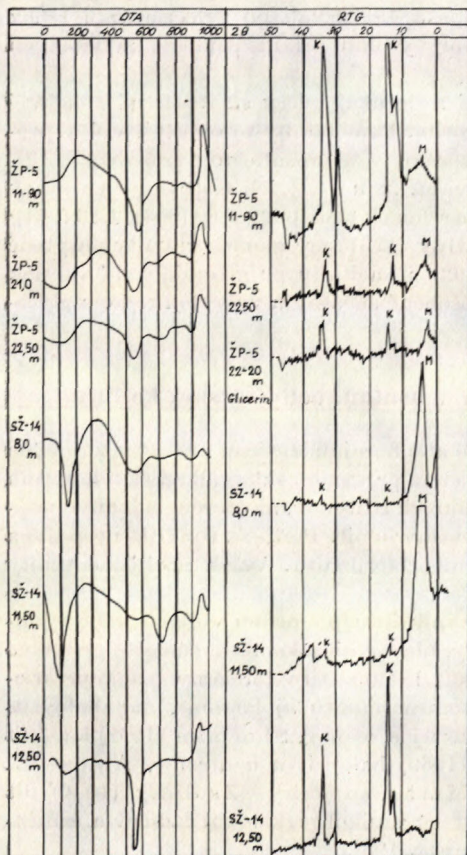


Obr. 4

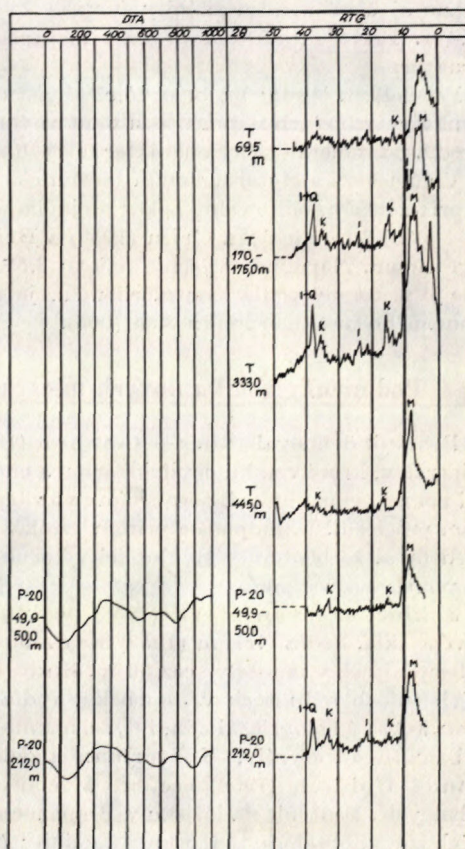
riek s podstatne väčšou prímesou kaolinitu, resp. ilitu (vrty Trubín-1, P-21, P-22, VŽ-51, VŽ-45, šachtice Š-38, Š-39, Š-32) sú posunuté k vyšším uhlovým hodnotám, takže ich reflexy sa pohybujú v rozmedzí  $12,59 - 13,84 \text{ \AA}$ . Zároveň sú značne difúzne, široké a nízke.

Roberson (1964) dáva do súvisu tvar a charakter bazálneho reflexu so stupňom usporiadania štruktúry montmorilonitu. Tvrdí, že intenzita a ostrosť reflexu je funkciou vnútorného usporiadania štruktúry. Dobré usporiadanie sa prejavuje orientáciou jednotlivých častic minerálu v smere osi *a* a *b*, resp. intenzívnym a ostrým reflexom. Neusporiadanosť vrstiev spôsobuje reflex difúzny, široký a nízky.

Na základe bazálnych reflexov u jednotlivých ľlových sedimentov Žiarskej kotlinky vyčleňujem dva typy s rozdielnou usporiadanosťou štruktúry: do prvej patrí montmorilonit z primárne bentonitizovaných ryolitových tufov a bentonitov v priestore Stará Kremnička – Kotlište. Uhlové hodnoty a celkový charakter bazálnych reflexov svedčia o jeho relatívne dobre usporiadanej štruktúre. Do druhej skupiny patrí montmorilonit z preplavených ľlov mimo oblasť



Obr. 5



Obr. 6

primárneho vzniku bentonitov. Usporiadanie štruktúry nie je také dobré.

Ako som už spomenul, v ľochoch Žiarskej kotliny sa okrem montmorilonitu bežne nachádza ilit, sludový ilový minerál dioktaedrického typu, ktorý sa prejavuje bazálnym reflexom pri  $10,1 \text{ \AA}$ . Súčasne je vždy vyvinutý reflex (002), pri  $4,9-5 \text{ \AA}$ . Weawer (1956) radí k tomuto minerálu reflex  $3,33 \text{ \AA}$  (003), zvlášť výrazný v silne znečistených vzorkách, pretože sa v ňom prejavuje kremeň ( $3,35 \text{ \AA}$ ) a živce ( $3,25 \text{ \AA}$ ). Kaolinit som identifikoval na základe bazálneho reflexu  $7,11$  a  $3,57 \text{ \AA}$  (002).

Niekteré vzorky sa sledovali po nasýtení glycerínom. Čistý montmorilonit (VŠ-13/3) alebo s malou prímesou kaolinitu (VŠ-13/13.5) získava reflex  $17,7 \text{ \AA}$ , čo je v súlade s platnými poznatkami. Vzorky, ktoré obsahujú okrem montmorilonitu aj väčšie množstvo kaolinitu a ilitu (ŽP-5/22.20, ŽP-5/7.9, SŽ-20/14.5, VŽ-7/1.50) získali po glycerínovaní reflex o hodnote  $18,4 \text{ \AA}$ . Schlocker – van Horn (1958) uvádzajú pri súčasnom posune ilitu z  $10,1$  na  $11 \text{ \AA}$  reflex  $18,4$  po sýtení glycerínom za dôkaz zmiešanej štruktúry typu ilit-montmorilonit. V našom prípade sa posun bazálneho reflexu ilitu neprejavil. Na druhej strane aj čisté montmorilonity (vzorka Zváraliská 49) získali po glycerínovaní reflex  $18,4 \text{ \AA}$ . Preto zatial tomuto javu neprípisujem význam pri identifikácii zmiešaných štruktúr.

Pri ďalšom štúdiu by bolo dôležité zistit, či a do akej miery sú rozšírené zmiešané štruktúry v ilových sedimentoch vnútorných kotlín. Pomohlo by to objasniť vplyv prostredia na mineralogický charakter ilových minerálov v sedimentačnom procese.

V súvislosti s glycerínovaním musím ešte uviesť, že u všetkých testovaných vzoriek sa pri montmorilonite veľmi pekne prejavila séria reflexov 8,85 (002), 5,90 (003), 4,33 (004), 3,54 (005), ktoré uvádzajú Grim (1953) a Brindley (1951) pre montmorilonity nasýtené glycerínom. Nápadné zvýšenie reflexu 3,57 (002) u kaolinitu po glycerínovaní vzoriek kde je prítomný vedla montmorilonitu, je spôsobené súčasným vplyvom reflexu glycerínovaného montmorilonitu 3,54 (005).

### Podmienky vzniku ilových minerálov v bentonitoch Žiarskej kotliny

Bentonit definovali Ross – Shannon (1926) ako horninu, zloženú prevažne z ilových minerálov, ktoré vznikli devitrifikáciou a chemickou premenou skla vulkanických hornín pri povrchovom vetraní, pôsobením hydrotermálnych roztokov, alebo rozkladom vo vodnom prostredí. Najhojnnejšie pritom vzniká montmorilonit. Preto sa rozšírila nesprávna predstava, že bentonity sú zložené výlučne z montmorilonitu. Avšak takéto bentonity sú pomerne zriedkavé.

Schlocker – van Horn (1958) popisujú vznik ilitu premenou vulkanického ryolitového skla. Podľa Grima (1953) ilové minerály, hlavne ilit a kaolinit, sú často prítomní v bentonitoch v množstve cez 50 %. Sudo (1952, 1959) zistil v terciérnych agglomeratických tufoch a tufitoch v Japonsku, vedla montmorilonit aj kaolinit, metahaloyzit, hydratovaný haloyzit, alofán, ilit, seladonit, chlority a zeolity; Sherman (1952) kaolinit a bauxitové minerály, Hosterman a ďalší (1960) haloyzit a nontronit, Ames – L. Sand – Goldich (1958) hectorit a zeolity, Mattyasovszky – Zsolnay (1946) ilit a haloyzit. Bentonit na ložisku v Braňanoch, ktorý vznikol rozkladom čadičov a čadičových tufov, obsahuje tiež prímes kaolinitu (Konta 1957).

Preto považujem v Žiarskej kotlini za bentonit horninu, ktorá vznikla premenou vulkanického materiálu bez ohľadu na jeho mineralogický charakter; ich materskou horninou

nou sú predovšetkým ryolitové tufy. Sporadicky bývajú bentonitizované aj pemzové ryolity, avšak ich praktický význam je zanedbatelný. Aj bentonitizované ryolitové tufy a bentonity sú len zriedkavo monominerálne (zložené iba z montmorilonitu); častejšie obsahujú prímes kaolinitu. Na druhej strane vo vrte ŽP-5 sú bentonity zložené vo vrchnej časti výlučne z kaolinitu. To znamená, že v bentonitech Žiarskej kotlinky vystupujú vedľa seba montmorilonit a kaolinit v premenlivom pomere. Preto rozoberiem podmienky vzniku kaolinitu pri bentonitizácii ryolitových tufov.

Podľa Jureviča – Sokolovej (1965) kaolinit vzniká pri bentonitizácii v počiatocných štádiach rozkladu vulkanického skla. Naproti tomu Ginzburg (1958, 1963) považuje kaolinit za konečný produkt rozpadu materských hornín, okrem voľných hydératov Al, ktoré vznikajú za špeciálnych podmienok, v záverečnom procese tvorby ilových minerálov. Grim – Loughnan (1962) konštatujú v primárnych zónach zvetrania smerom k povrchu postupnú premenu ilitu a montmorilonitu v kaolinit v závislosti od intenzity cirkulácie povrchových vôd. V súvise so vznikom ilových minerálov sa potom pripisuje veľký význam koncentrácií  $\text{Ca}^{+2}$   $\text{Mg}^{+2}$   $\text{Na}^{+}$   $\text{K}^{+}$ . Napr. Vachtl – Žemlička (1959) zistili v profile fosilného vetrania olivinického čadiča smerom k povrchu postupné, ale veľmi výrazné pribúdanie kaolinitu na úkor montmorilonitu (pozri tiež Malecha 1960).

Ako som už spomenul, na ložisku Stará Kremnička – Kotlište je v bentonitech vedľa montmorilonitu bežne prítomný aj kaolinit (v malom množstve); jeho podmienky vzniku sú zatiaľ nejasné. Najprv som sa domnieval, že sa koncentruje v bielych, rozložených úlomkoch pemzy uprostred masy žltozeleného bentonitu. Avšak vyseparovaná ilová frakcia z úlomkov pemzy neobsahovala vôbec kaolinit, hoci v mase pôvodného bentonitu bol prítomný. Aj predpoklad, že kaolinit vznikal v počiatocnom štádiu rozkladu, t. j. v slabo bentonitizovaných tufoch, alebo naopak, pri intenzívnej premene – v samotných bentonitech, vylučujem, lebo ho nachádzame v rovnakých koncentráciách v obidvoch typoch. Môžeme uvažovať o dvoch alternatívach: buď vznikal v procese bentonitizácie, teda spolu s montmorilonitom, alebo oddelene od procesu bentonitizácie, v dôsledku neskoršej cirkulácie a presakovania povrchových vôd cez bentonitizované vrstvy. Zatiaľ ani pre jednu alternatívu v bentonitech s malým obsahom kaolinitu nemáme dosť presvedčivých dôkazov.

Iná je situácia tam, kde v bentonitech kaolinit prevláda. Izáková – Gregor – Ciesarik (1965) uvádzajú takýto prípad zo šachtice SŽ-24 (15–16,6 m) v podloží limnokvarcitu; ja som ho zistil vo vrte ŽP-5 (k. Podháj, S od Žiaru n/Hronom), o ktorý sa opieram pri ďalších svojich úvahách.

Vo vrte (pozri profil) v bezprostrednom podloží limnokvarcitu je 50 cm poloha preplaveného, tmavohnedého, plastického bentonitického ilu (ŽP-5/7,90–8 m), ktorý obsahuje vedľa dominujúceho montmorilonitu aj rtg. dobre identifikovateľný kaolinit a ilit. Potom nasleduje profil, v ktorom sa dá sledovať kaolinizácia pôvodnej materskej horniny (ryolit, alebo ryodacit). Na prvý pohľad je markantné postupné slabnutie premeny smerom do hlbky. V intervale 8,40–18 m je materská hornina premenená v snehobielu ilovú hmotu. Z pôvodných minerálov je zachovaný jedine kremeň; živce sú úplne rozložené, rovnako ako biotit. Najintenzívnejšia premena siaha do hlbky 13 m. V elektrónoch mikroskope sme zistili, že kaolinit je veľmi jemnodisperzny, tvorí však pseudo-hexagonálne, pekne obmedzené tabulkty, poukazujúce na relatívne vysokú kryštalinitu.

Na elektrónových mikrofotografiách nevidno prítomnosť montmorilonitu. O jeho prípadnom nepatrne malom obsahu by sa mohlo usudzovať z rtg. záznamu, kde sa prejavuje veľmi nevýrazný, difúzny reflex v oblasti 13,84 Å.

V intervale 13–18,20 m postupne intenzita premeny klesá, hornina nadobúda kompaktnejší ráz. Začína sa objavovať vybielený biotit. V intervale 18,20–21 m má hornina sivozieliu farbu so slabým zelenkavým nádyhom. Opticky sa už dajú sledovať intenzívne kaolinizované živee. Základná pelitická hmota je v celom profile jemnodisperzná, izotrópna, biotit len slabšie vybielený, postupne stále menej rozložený. Tento minerál je veľmi citlivý ukazovateľ premeny už pri makroskopickom pozorovaní.

V hlbších častiach vrtu stupeň kryštalinity kaolinitu viditeľne slabne. Súčasne vzrastá obsah montmorilonitu. Poukazuje na to jednak prvá endoterma pri 180 °C, ale hlavne prehľbjujúca sa dehydroxylačná endoterma pri teplote 700–720 °C na krivke DTA z intervalu 22,50 m. Zvlášť zjavné je to pri porovnaní dehydroxylačnej endotermy v intervale 700–720 °C zo vzorky ŽP-5/21 a ŽP-5/22,50. Vo vzorke z intervalu 22,50 m sa bazálny reflex po sýtení glycerínom posúva na 18,4 Å a súčasne vzrastá jeho intenzita.

V hlbke 25 m má hornina sivozieliu farbu. Množstvo biotitu nápadne vzrastá. V hlbšej časti vrtu som už nemal možnosť sledovať charakter tejto premeny. Podľa dokumentácie GP v intervale 27–30 m sa nachádza kompaktný ryolit s rozloženou základnou hmotou.

Takýto priebeh kaolinizácie pri premene vulkanických hornín v Žiarskej kotline v spojitosti s bentonitmi je zaiste prekvapujúci. Pomáha nám však objasniť podmienky vzniku kaolinitu, ktorý tu nepochybne vznikol na mieste. Pri našich úvahách musíme vychádzať z faktu, že smerom do hlbky sa intenzita premeny zmenšuje a že v hlbších častiach menej intenzívne rozložených vzrastá obsah montmorilonitu, resp., že celý komplex leží pod polohou limnovkvarcitu, vychádzajúcemu na povrch (v bezprostrednom podloží je len tenká vrstvička preplaveného flu). Vo vzorke ŽP-5(11,90), ktorá reprezentuje najintenzívnejší stupeň premeny, obsah kaolinitu sa môže pohybovať od 90 do 95 %, v hlbke 22,50 niečo málo nad 50 %. Na základe toho sa domnievam, že pri tejto premene sa uplatnil vplyv okolitého prostredia na charakter ſlových minerálov. Intenzívna cirkulácia povrchových vôd v bezprostrednom podloží limnovkvarcitu spôsobila predovšetkým v intervale 8,40–13,00 m intenzívny odnos Ca<sup>+</sup><sub>2</sub> a najmä Mg<sup>+</sup><sub>2</sub>, čím sa vytvorila kyslá reakcia prostredia priaznivá pre vznik kaolinitu. V hlbších častiach profilu intenzita vyluhovania i rozkladu materských hornín poklesla. Konkrétnym prejavom týchto čiastočne zmeneňných podmienok je pribúdanie montmorilonitu. Zvlášť by som chcel upozorniť na skutočnosť, že tvorba dvojice minerálov kaolinit-montmorilonit je ovplyvňovaná prítomnosťou Mg<sup>+</sup><sub>2</sub> v prostredí vzniku; obsah MgO vo vzorke z hlbky 11,90 m vzrastá z 0,42 % na 0,74 % (v hlbke 22,50 m).

### Zmeny v mineralogickom zložení ſlov Žiarskej kotliny

Proces tvorby ſlových minerálov prebiehal *v dvoch etapách*: do prvej patrí *primárny vznik ſlových minerálov v procese hypergenézy* (primárnosť je daná vznikom *in situ*); najhodnejší je práve v kôrach vetrania. Vznik ſlových minerá-

lov je v tomto úseku kontrolovaný predovšetkým klímom, materskou horninou, morfológiou a charakterom prostredia.

Do druhej etapy patrí celý proces sedimentácie v širšom zmysle slova, vrátane transportu ílových minerálov z miest primárneho vzniku, vlastnej sedimentácie a diagenetického štadu. Názory na genézu ílových minerálov v procese sedimentácie nie sú jednotné. Podľa jedných mineralogické zloženie ílov je ovplyvnené hlavne charakterom okolitého prostredia nielen v procese ich primárneho vzniku, ale aj v etape sedimentácie. Iní považujú íly prevažne za alotigenné minerály, ktorých mineralogické zloženie je určované hlavne procesmi, podmieňujúcimi ich vznik v kôre vetrania; v podstate neuznávajú väčší vplyv okolitého prostredia.

Z tohto zorného uha musíme posudzovať aj genézu ílových minerálov vo vnútorných kotlinách, a rekonštruovať priebeh ich vzniku v celom časovom úseku, t. j. od ich vzniku v primárnych kôrach vetrania až po diagenetické štadum.

Fosílné kôry zvetrávania vo vulkanickom komplexe, ktorý obklopuje vnútorné kotliny vrátane Žiarskej, sa nezachovali. Jediný proces primárneho vzniku ílových minerálov, ktorý môžeme dobre sledovať v tejto oblasti, prebiehal pri bentonitizácii ryolitových tufov v spojitosti so vznikom limnokvarcitov. Pri procese bentonitizácie v Žiarskej kotlini sa uplatnil vplyv materských hornín i okolitého prostredia.

Pemzovité ryolitové tufy majú najpriaznivejšie vlastnosti z hľadiska bentonitizácie z dvoch príčin: 1. majú priaznivé granulometrické zloženie, obsahujú prevažne minerály menšie ako 1 mm; okrem toho ide o materiál, ktorý počas sedimentácie vo vodnom prostredí nadobudol vysokú pórovitosť; 2. sú zložené zväčša z vulkanického skla, teda zo súčiastok ľahko reaktívnych, optimálnych pre vznik ílových minerálov, hlavne montmorilonitu.

Vplyv okolitého prostredia na mineralogické zloženie bentonitov som sledoval pri premene ryolitových tufov v závislosti od dvoch faktorov: prvý faktor je *uhloňná sedimentácia*. Ako vieme, proces tvorby uhlia prebieha v kyslom prostredí rašelinových vôd, bohatých na humínové kyseliny. V šachtici SŽ-14 bentonitizovaný ryolitový tuf obsahuje montmorilonit s malou prímesou kaolinitu. V podloží limnokvarcitu, v intervale 12,50 – 13 m prechádza v tmavosivý, silne rozložený tuf s preuhloňnenými a súčasne silicifikovanými zvyškami rastlín, pričom zároveň nadobúda kaolinitický charakter. Aj tmavosivý uhoľný íl vo vrte SK-30/5,80 – 6,30 obsahuje prevažne kaolinit.

Ako druhý faktor vystupuje *cirkulácia povrchových vôd*, ktorá spôsobila odnos predovšetkým  $Mg^{+2}$ ; tým sa vytvorilo kyslé prostredie, takže pri intenzívnom rozklade materských hornín vznikal čistý kaolinit. Ako príklad môžu slúžiť pomery vo vrte ŽP-5 (pozri predošlú stat). Z porovnania chemických analýz bentonitov Žiarskej kotliny usudzujem, že proces tvorby montmorilo-

nitu bezprostredne súvisí predovšetkým s obsahom Mg<sup>+2</sup>. Z pokusov Nolla (1930) a z premeny vulkanických skiel (Houser – Renolds 1939) je známe, že (na rozdiel od K<sup>+</sup>, Na<sup>+</sup>, alebo Ca<sup>+2</sup>) ióny Mg<sup>+2</sup> majú aj pri relatívne menšej pôsobnosti okolitého prostredia rozhodujúci vplyv na tvorbu montmorilonitu. Nasvedčuje tomu aj spodná časť profilu vo vrte ŽP-5, kde sa takmer dvojnásobne zvyšuje obsah MgO a súčasne sa objavuje montmorilonit.

Teraz sa budem zaoberať druhou časťou problému: *ako sa chovajú íly v samotnom procese sedimentácie*. Za tým účelom som analyzoval vzorky ľlov z vrtov Trubín-1, P-20, P-21, P-22, resp. z ľlov, striedajúcich sa s limnokvarcitmi medzi Slaskou a Lutilou (ide o íly preplavené).

Rovnako ako pri skúmaní primárnej bentonitizácie ryolitových tufov, aj zmeny mineralogického zloženia preplavených ľlov (resp. pôsobenie ďalšieho faktora – vplyv diagenetických procesov) sme sledovali vo vertikálnom smere. Zvlášť vo vrte Trubín-1, sa dá dobre overiť zmena mineralogického charakteru ľlov v závislosti od okolitého prostredia (veľmi časté slojky lignitu), resp. od hlbky uloženia. V celom profile vrtu (450 m) sme nezistili žiadnu zákonitosť ani v jednom, ani v druhom smere. Osobitnú pozornosť som venoval tým partiám, ktoré majú v tesnom podloží a nadloží slojky lignitu. Ani v jednom prípade sa nezistil zvýšený obsah kaolinitu. Naopak, v tomto vrte viac ako v ostatných bez uhoľnej sedimentácie naprosto dominuje montmorilonit. Ani smerom do hlbky sa zastúpenie jednotlivých ľlových minerálov nemení (najlepšie to dokumentujú vzorky T<sub>1</sub>/64,7 a T<sub>1</sub>/420, ktoré obsahujú prakticky len montmorilonit).

Kým v oblasti s primárnou bentonitizáciou sme miestami zistili priamu závislosť medzi tvorbou uhlia a vznikom kaolinitu, ani vo vrte Trubín-1, ani v preplavených ľloch a tufitoch takúto závislosť nepozorovať. Napr. vo vrte VŽ-45, v intervale 15.4 až 30.75 m sa nachádzajú preplástky lignitu, doprevádzané uhoľnými ľlmi; kaolinit však je nie prítomný.

Diagenetické zmeny v mineralogickom zložení ľlov sa odrážajú medzi iným aj v zmiešaných štruktúrach. Ľlové minerály typu zmiešaných štruktúr sú známe hlavne v starých sedimentoch; napr. tzv. K-bentonity v ordoviku a devóne USA majú zmiešané štruktúry typu ilit-montmorilonit. Podla Weawera (1956) v sedimentárnych sériách USA vyše 70 % vzoriek má zmiešané štruktúry. Powers (1959) uvádza so zväčšujúcou sa hlbkou premenu montmorilonitu v ilit cez zmiešané štruktúry. Vo vzorkach zo sedimentárnej výplne Žiarskej kotliny sme zatiaľ bezpečne nezistili zmiešané štruktúry, hoci ich existenciu nevylučujem.

Zatiaľ môžem konštatovať, že *premiestnené íly* Žiarskej kotliny študovaných oblastí majú *prakticky zhodné mineralogické zloženie*: dominuje montmorilonit, v menšom množstve je prítomný kaolinit a ilit. Nedochádza tu teda k žiadnym zmenám v mineralogickom zložení ľlových minerálov v procese sedimentácie

a diagenézy. Naopak, tieto ſlové sedimenty odrážajú procesy, ktoré prebiehalí pri ich rozklade v primárnych kôrach vetrania. Nemôžeme ich považovať za registrátora charakteru prostredia sedimentácie, ani robiť paleogeografické, resp. stratigrafickokorelačné uzávery na základe ich mineralogického zloženia.

\*

Na záver nás musí napadnúť otázka, prečo sa v študovaných kotlinách ne-prejavili žiadne výraznejšie zmeny v mineralogickom zložení ſlových minerálov po ich uložení. V tejto súvislosti chcel by som zdôrazniť tri faktory.

Prvým je skutočnosť, že *ide o jazernú oblasť brackého až sladkovodného charakteru*, kde sa samotné prostredie sedimentácie v procese vývoja podstatne nemenilo. Podľa Pulca (1963) v staršom období bola panva spojená s mor-ským vývojom Podunajskej nížiny. Preto prípadne zmeny tu môžeme očakávať jedine v postupnom vysladzovaní panvy. Treba však brať do úvahy, že išlo celkovo o malé časové rozpäťie; zmeny v salinitе neboli tiež nijako výrazné; preto nemohli ovplyvniť mineralogický charakter ſlových sedimentov.

Druhým faktorom sú *materské oblasti znosu*, ktoré majú prakticky monotypný charakter (výlučne vulkanické horniny). V staršom sedimentačnom cykle (vrty Trubín-1 a P-20) sice nenachádzame asociáciu minerálov v ŤF, ktorá by poukazovala na materské horniny andezitového charakteru. Ale na základe porovnania mineralogického charakteru ſlov tohto súvrstvia s mladším sedimentačným cyklom, kde je vždy prítomný pyroxén, predpokladám, že ſlové sedimenty v celej výplni Žiarskej kotliny pochádzajú z vulkanických hornín. Mladšia sedimentárna výplň má totiž rovnaký mineralogický charakter ako staršia. Ak by prišli do úvahy ako materské horniny granite, prípadne kryštalické bridlice, muselo by sa to prejavíť odlišným mineralogickým zložením (ako napr. v oblasti poltárskej formácie).

Tretí, nie menej dôležitý faktor, je *tektonický vývoj oblasti*, ktorý ovplyvňuje nielen mineralogický charakter sedimentov vnútorných kotlín, ale má aj širší regionálny význam. Markantne sa prejavuje v štádiu primárneho vzniku ſlov i v procese ich sedimentácie. V dobre vyvinutých kôrach vetrania obyčajne prebieha intenzívne nepretržité zvetrávanie počas dlhého obdobia. Charakter ſlových minerálov sa tu mení v závislosti od faciálnych zmien. Iná je situácia v oblastiach tektonicky aktívnych, kde obyčajne nevznikajú dobre vyvinuté kôry zvetrávania. Mineralogický charakter ſlov tam bezprostredne súvisí s materskými horninami. Počas sedimentácie býva zastúpená určitá stála asociácia ſlových minerálov, čo sa výrazne prejavuje práve v oblasti vnútorných kotlín. Charakter sedimentárnej výplne Žiarskej kotliny, najmä časté vykliňovanie vrstiev, diagonálne a krížové zvrstvenie a granulometrická pestrosť poukazujú na rýchlu sedimentáciu. Proces zvetrávania a s tým súvisiaceho rozkladu vulkanických hornín, resp. vzniku ſlových minerálov v primárnych

kôrach zvetrávania sa nedá spoľahlivo rekonštruovať. Predpokladáme, že rozklad primárnych minerálov dospel len do štátia vzniku montmorilonitu, resp. ilitu, čo napokon spôsobil aj samotný charakter materských hornín. Rýchla a intenzívna denudácia produktov rozkladu, resp. rýchla sedimentácia potom spôsobili, že sa z mineralogického hľadiska charakter ilových sedimentov v podstate nemenil, a to ani v závislosti od prostredia sedimentácie, ani od prípadných zmien v materských horninách v rámci vulkanitov (andezity—ryolity).

### Rozdelenie ilových sedimentov Žiarskej kotliny

Na základe doterajšieho štúdia sa môžu ilové sedimenty Žiarskej kotliny rozdeliť do štyroch základných skupín, ktoré sa navzájom líšia od seba litologicky, geneticky i mineralogickým zložením.

Do prvej skupiny patria *primárne bentonitizované ryolitové tufy*, ktoré pri intenzívnej premene pozvoľne prechádzajú do bentonitov. Max. sú vyvinuté na limnokvarcitovom ložisku Stará Kremnička—Kotlište. Zriedkavo sú monominerálne (zložené len z montmorilonitu); zväčša obsahujú malú prímes kaolinitu, miestami vzniká takmer čistý kaolinit (napr. vo vrte ŽP-5).

Premiestnením primárne bentonitizovaných ryolitových tufov a bentonitov na krátku vzdialenosť, v období erózie vrchnej limnokvarcitovej polohy vznikli silne piesčité až plastické bentonitické īly s ostrohrannými úlomkami limnokvarcitov, valúnmi ryolitov a andezitov. Tvoria prevažne najvrchnejšiu časť profilov na ložisku Stará Kremnička—Kotlište, v bezprostrednom nadloží bentonitizovaných ryolitových tufov a bentonitov. Rtg. analýzou sa v nich nezistil ilit. Obsahujú však podstatne viac kaolinitu ako primárne bentonity.

Potom sú to *tufitické īly a tufity, uholné īly, piesčité a plastické īly*; prvé sa vyskytujú hlavne v podloží hlavnej polohy limnokvarcitov. Piesčité a plastické īly som študoval na lokalite Stará Kremnička—Potôčik a medzi Podhájom, Lutilou a Slaskou. Ide o preplavené sedimenty; ich mineralogické zloženie je veľmi monotónne, rovnaké vo všetkých vzorkách. Prevahu má montmorilonit so značným zastúpením ilitu a kaolinitu. Prítomnosť ilitu potvrdzuje, že ide o īly pretransportované. Podotýkam, že niekedy viesť hranicu medzi bentonitickými īlmi a touto skupinou polyminerálnych ilov je veľmi problematické.

Nakoniec sú to *piesčito-aleuritické īly a ilovce*, často s tenkými prepláštiami lignitu, ktoré tvoria hlavnú časť sedimentárnej výplne Žiarskej kotliny. Mineralogickým zložením a azda aj spôsobom vzniku sú podobné predošej skupine. Líšia sa hlavne geologickou pozíciou. Pulec (1963) a Ciesarik—Planderová (1965) ich považujú za staršie ako pelitické sedimenty doprevádzajúce limnokvarcity. Predpokladám, že boli transportované na väčšiu vzdialenosť a časove nesúviseli tak bezprostredne s limnokvarcitemi ako predošlá skupina. Z tohto dôvodu ich aj zaraďujem do samostatnej skupiny.

## *Genéza bentonitov Žiarskej kotliny*

Otázkou vzniku bentonitov v Žiarskej kotline sa zaoberali Ciesarik – Očenáš (1964). Vychádzajú z názorov Slávika (1964) o vzniku bentonitov na východnom Slovensku, kde pritom spolupôsobili 3 procesy: halmyrolytický rozklad sopečného vulkanického materiálu v morskom prostredí; zvetrávanie a splavovanie jemnozrnného kyslého tufitického materiálu do vodného bazénu; deštrukčný vplyv presakujúcich povrchových vôd.

Ciesarik – Očenáš (1964) rozhodujúci vplyv pripisujú presakujúcim povrchovým vodám. Halmyrolytický rozklad aplikujú len na niektoré polohy montmorilonitických flov z vrtov VŽ-6 a VŽ-7 na okraji ložiska Stará Kremnička. Zvetrávaním a splavovaním jemného pelitického materiálu do vodného bazénu vznikli podľa nich bentonitické īly v nadloží limnokvarcitových polôh.

Pokiaľ ide o halmyrolyzu, nazdávam sa, že tento proces (prebiehajúci v hlbokomorském prostredí) nemožno predpokladať pre plytkovodný limnický režim, v akom prebiehal bentonitizácia v Žiarskej kotlinе. Napokon vo vrte VŽ-7 sa nachádzajú preplavené polyminerálne īly s podstatnou prímesou kaolinitu a ilitu, obdobne ako v priestore medzi Lutilou a Slaskou.

Zo štúdia flových sedimentov v Žiarskej kotlinе je zjavná úzka priestorová spojitosť medzi bentonitmi a limnokvarcitmi. V tej súvislosti sa podrobnejšie zmienim o časovej spojitosťi medzi vznikom obidvoch komplexov; najprv ale uvediem najdôležitejšie názory na vznik limnokvarcitov.

Fiala (1961) považuje limnokvarcity za produkty prenikania hydrotermálnych roztokov pozdĺž puklín a zlomových linií pri sv. okraji Žiarskej kotliny, po extrúzii ryodatacitov a pemzových ryolitov. Pritom zdôrazňuje gejzírovity charakter celého procesu, ktorý sa prejavuje kupovitým, terasovitým a kaskádovitým tvarom. Predpokladá genetickú súvislosť limnokvarcitov so zlatonosnými kremnickými rudnými žilami, ktorú podopiera príbuznou asociáciou prvkov v spektrálnych analýzach.

Ciesarik – Očenáš (1964) upresňujú tento názor na základe pomerov na ložisku pri Starej Kremničke. Tu prenikali termálne roztoky bohaté na kyselinu kremičitú do už existujúceho vodného bazénu močiarovitého charakteru. Nejde teda o gejzírový charakter vzniku limnokvarcitov. Vylučuje to aj veľký plošný rozsah, niekoľko pomerne mocných polôh nad sebou, doprovodné slojky uhlia a silná organická pigmentácia limnokvarcitov.

Proces tvorby bentonitov môžeme považovať vo vzťahu k limnokvarcitom za syn-genetický, alebo epigenetický.

Pri prvej alternatíve by proces bentonitizácie ryolitových tufov musel byť vyvolaný samotným vznikom limnokvarcitov. Podľa Bardossyho (1959) a Krauskopfa (1959) rozpustnosť  $\text{SiO}_2$  v amorfnej forme je sice možná v celom rozsahu prirodzených hodnôt pH, ale prudko vzrástá pri pH 9. Preto je pravdepodobné, že hydrotermálne roztoky v Žiarskej kotlinе, ktoré transportovali  $\text{SiO}_2$  vo forme pravých (najskôr ale koloidných) roztokov) mali alkalický charakter. Podľa Slávika (1964) ložiskové vody na bentonitovom ložisku Lastovce majú hodnotu pH 6,8–7,0. Abrázne pH (podľa metódy Stevensa – Carrona 1948) v nontronitizovaných pyroxenických andezitech pri Badfne sa pohybujú tiež v tomto rozmedzí. Aj hodnoty pH v zálive jazera močiarovitého charakteru so subtropicou, vlhkou klímom (Ciesarik – Planderová 1965), v ktorom vznikli limnokvarcity, boli o niečo nižšie ako 7. Ak sa alkalické roztoky s vysokou koncentráciou rozpustného  $\text{SiO}_2$  dostali do takéhoto prostredia, došlo tu k hromadnému vyzrážaniu kyseliny kremičitej. Ak sa bohatým prínosom týchto roztokov zvýšila koncentrácia pH

v samotnom bazéne, potom predovšetkým v intervale medzi vznikom hlavnej a vrchnej limnokvarecovej polohy mohlo event. dôjsť k rozkladu a bentonitizácii ryolitových tufov. Tento predpoklad má však niektoré sporné stránky.

Je otázne či prínos alkalických roztokov obohatených o  $\text{SiO}_2$  skutočne zvýšil charakter pH vo vodnom bazéne až na hodnoty vhodné pre vznik montmorilonitu. Okrem toho pri premene vulkanického skla na montmorilonit musí prebiehať odnos  $\text{SiO}_2$ , čo nie je v súlade so súčasným vznikom limnokvarecítov.

Preto sa domnievam, že pri vzniku bentonitov sa v Žiarskej kotline významnejšie uplatnili cirkulujúce povrchové vody, pričom limnokvarecity mali pri tomto procese veľmi dôležitú úlohu. Cirkulácia povrchových vôd, mohla lokálne prebiehať vertikálne, cez tektonicky porušené zóny limnokvarecitu, ale ako celok považujem limnokvarecity za súvrstvie málo prieplustné. Intenzívnejšia bola cirkulácia po úklone medzi hlavnou a vrchnou polohou limnokvarecítov v ryolitových tufoch, kde má bentonitizácia najväčšiu intenzitu a rozsah. Pri intenzívnej prevažne vertikálnej cirkulácii sa vytvorili špeciálne podmienky (odnos alkálií), čo sa prejavilo vznikom čistého kaolinitu (napr. vo vrte ŽP-5, alebo SŽ-24).

Z uvedeného vyplýva, že časová spojitosť medzi vznikom limnokvarecítov a bentonitov je málo pravdepodobná, ale o to zjavnejšia je ich priestorová spojitosť. Rozsiahlejšia primárna bentonitizácia Žiarskej kotliny je zatiaľ známa len v spojitosti s limnokvarecítmi, hlavne v oblasti Starej Kremničky, kde súčasne majú aj limnokvarecity najväčší rozsah. Bentonitizované ryolitové tufy a bentonity sa v oblasti Starej Kremničky vyskytujú predovšetkým medzi nadložnou „vrchnou“ a podložnou „hlavnou“ polohou limnokvarecítov. Kde je nie prítomný limnokvarecít (SK-36), k bentonitizácii ryolitových tufov nedochádza.

Na základe petrograficko-mineralogického štúdia ílových sedimentov Žiarskej kotliny predkladám nakoniec nasledovné závery:

[1] Primárny proces bentonitizácie je na ložisku pri Starej Kremničke viazaný na premenu ryolitových tufov. Oproti premiestneným bentonitickým ílom, tufitom, tufitickým ílom a polyminerálnym ílom s rôznym podielom piesčitej frakcie sa ryolitové tufy vyznačujú stabilnou a sociáciou TM (zirkón – biotit), lepším stupňom usporiadанosti mriežky montmorilonitu a iba malou prímesou kaolinitu. Zriedkavejšie sú prítomné čisté, monominerálne bentonity (zložené iba z montmorilonitu).

[2] Podľa kriviek DTA, kryštalochémických vzorcov a pomeru Si : Al montmorilonity v bentonitech Žiarskej kotliny majú prechodné postavenie medzi bentonitmi nontronit-beidellitického typu (známymi vo Zvolenskej kotlini) a montmorilonitmi s nízkou tetraedrickou substitúciou v bentonitech východného Slovenska.

[3] Vplyv prostredia vyjadrený predovšetkým koncentráciou pH ovplyvňoval tvorbu ílových minerálov len pri ich primárnom vzniku in situ. V dôsledku týchto zmien vznikli za určitých podmienok bentonity s vysokým obsahom kaolinitu. U premiestnených ílových sedimentov dostupných štúdiu sa v celej oblasti Žiarskej kotliny nezistili výraznejšie zmeny v ich mineralogickom zložení počas sedimentácie a diagenézy.

[4] Pri genéze bentonitov na lokalite Stará Kremnička vychádzam z ich úzkej priestorovej spojitosťi s limnokvarcitemi. K bentonitizácii došlo vplyvom cirkulácie povrchových vôd cez súvrstvie ryolitových tufov, predovšetkým medzi hlavnou a vrchnou polohou limnokvarcítov.

Nakoniec ďakujem B. Číčelovi za cenné rady a pripomienky k práci, D. Očenášovi a J. Beňovi za poskytnutie materiálov zo študovanej oblasti a R. Gavendovi za vyhotovenie difraktogramov.

Lektoroval inž. B. Číčel.

## LITERATÚRA

- [1] Ames L. L.—Sand L. B.—Goldich S. S., 1958: A contribution on the Hector California bentonite deposite. *Econ. Geol.*, 53, 1, str. 22—37. — [2] Bardossy G., 1959: The geochemistry of Hungarian bauxites. *Acta Geol. Acad. Scient. Hung.*, 6, str. 1—47. — [3] Brestenská E., 1960: Vysvetlivky ku geologickej mape 1 : 200.000 list Nitra. — [4] Brindley G. W., 1951: X-ray identification and crystal structures of clay minerals. *Mineralogical Society London*. — [5] Brindley G. W.—Youell F. Y., 1951: A chemical determination of the tetrahedral and octahedral aluminium ions in a silicate. *Acta Cryst.*, 4, str. 495—497. — [6] Ciesarik M.—Očenáš D., 1964: Stará Kremnička — limnokvarcit. Záverečná zpráva a výpočet zásob. Rukopis: Geofond Bratislava. — [7] Ciesarik M.—Planderová E., 1965: Geologická pozícia limnokvarcitov ložiska Stará Kremnička. *Geologické práce, Zprávy* 35, str. 87—98. — [8] Číčel B., 1963: On the problem of bond strenght of OH group in layer silicates. *Geologické práce, Zprávy* 30, str. 249—272. — [9] Číčel B.—Novák I.—Pivovarníček F., 1965: Rozpúšťanie montmorillonitu v HCl a možnosti jeho použitia pri štúdiu aktivácie. *Silikaty* 9, str. 130—140. — [10] Číčel B.—Novák I., 1966: Rozklad montmorillonitu v HCl a kryštalochemické vzorce. *Výskumná zpráva ŠPV*. Ústav anorganickej chémie SAV, Bratislava str. 63—95. — [11] Číčel B.—Novák I., 1966: Vplyv chemickej analýzy a prímesí na vypočítané rozloženie katiónov v štruktúre vrstevnatých silikátov. *Výskumná zpráva ŠPV*. Ústav anorganickej chémie SAV Bratislava, str. 96—131. — [12] Fiala F., 1961: Geologicko-petrografický výskum centrální a jižní části Kremnických hor za léta 1955—1960. Záverečná zpráva. Geofond Bratislava. — [13] Ginzburg I. I., 1958: Nekotoryje fiziko-chimičeskieje momenty v obrazovaniji glin. Issledovaniya i ispolzovaniye glin. Lvov. str. 135—142. — [14] Ginzburg I. I., 1963: Voprosy energetiky reakcij procesov vyvetrivanija nekotorych aljumosilikatov. Kora vyvetrivanija 5, str. 87—119. — [15] Grim R. E., 1953: Clay Mineralogy. New York-London-Toronto str. 348. — [16] Grim R. E.—Loughnan F. C., 1962: Clay minerals in sediments from Sydney Harbour, Austr. *Journ. of Sed. Petrology* 32, 2, str. 240—248. — [17] Horváth I., 1964: Termochemická charakteristika najdôležitejších východoslovenských bentonitov. *Silikaty* 8, str. 53—58. — [18] Horváth I., 1965: Niektoré vlastnosti montmorillonitických koncentrátov východoslovenského neogénu. *Geologické práce, Zprávy* 37, str. 153—162. — [19] Horváth I., 1966: Kryštalochemická štruktúra montmorillonitov východného Slovenska, možnosť jej využitia a význam. *Silikaty* 2, str. 152—161. — [20] Hosterman J. W.—Scheid V. E.—Allen V. T.—Sohn I. G., 1960: Investigations of some clay deposits in Washington and Idaho. *U. S. Geol. Survey Bull.* 1091, str. 147. — [21] Houser E. A.—Renolds H. H., 1939: Alteration

of glase to montmorillonite. Amer. Min. 24, str. 590—598. — [22] Izáková K.—Gregor M.—Ciesarik M. 1965: Die slowakischen aktiven Erden im Gebiet Žiar n/Hromec. Geol. Sbor. SAV 16, 2, str. 303—315. — [23] Johns W. D.—Jonas E. C., 1954: Some observations on the relation between isomorphism and properties of clays. Journ. Geol. 62, 163—171. — [24] Jurevič L. A.—Sokolova A. L., 1965: Formirovaniye mineralov tonkikh frakej verchnepliocenovych peplovych tufov Prebalchanskogo rajona jugo-zapadnoj Turkmenii. Litologija i polez. iskopaemye 6, str. 20—33. — [25] Kelley W. P., 1955: Interpretation of chemical analyses of clays. Clays and Clay Technology. Calif. Div. Min. Bull. 169, str. 92—94. — [26] Konta J. 1957: Jílové minerály Československa. Nakl. ČSAV, Praha, str. 319. — [27] Krauskopf K. B., 1959: The geochemistry of silica in sedimentary environments. Silica in Sediments, Soc. Econ. Palae. and Min. Symp. 7, str. 4—18. — [28] Malecha A., 1960: Vývoj tertiéru v jižní části žatecké oblasti. Sbor. UUG odd. geol. 27, str. 247—291. — [29] Mattyasovszky—Zsolnay L., 1946: Illite, montmorillonite and volcanic ash as whiteware body ingredients. Amer. Ceramic. Soc. J., 29, str. 254—260. — [30] Mc Connell D., 1950: The crystal chemistry of montmorillonite. Amer. Min. 35, str. 166—172. — [31] Mc Connell D., 1951: The crystal chemistry of the montmorillonite II. Clay Min. Bull. 1, str. 179—188. — [32] Noll W., 1930: Synthese von Montmorilloniten. Chem. Erde, 10, str. 129—154. — [33] Osthaus B. B., 1945: Chemical determination of tetrahedral ions in nontronite and montmorillonite. Clay and Clay Min. Nat. Acad. Sci. Publ. 327, str. 404—417. — [34] Osthaus B. B., 1956: Kinetic studies on montmorillonites and nontronite by acid dissolution technique. Clays and Clay Min. Nat. Acad. Sci. Publ. 456, str. 301—321. — [35] Planderová E., 1963: Zpráva o palynologickém výzkume v Žiarskej kotline.: Rukopis. Archív GÚDŠ Bratislava, str. 1—8. — [36] Planderová E.—Vass D., 1966 Nové názory na stratigrafické zaradenie vrchnotortonskej vulkanickej série na južnom Slovensku. Geol. práce, Zprávy 38, str. 121—126. — [37] Powers M. C., 1959: Adjustment of clays to chemical change and the concept of the equivalence level. Clays and Clay Min., 6-th Nat. Conf., str. 309—326. — [38] Pulec M., 1963: Ročná zpráva o výzkume tertiéru v Žiarskej kotline. Rukopis, archív GÚDŠ Bratislava, str. 1—34. — [39] Pulec M., 1964: Sedimentárno-petrografický výskum Žiarskej kotliny. Rukopis, archív GÚDŠ Bratislava, str. 1—17. — [40] Roberson H. E., 1964: Petrology of tertiary bentonites of Texas. Journ. of Sed. Petrology 34, 2, str. 401—411. — [41] Ross C. E.—Shannon E. V., 1926: Minerals of bentonite and related clays and their physical properties. Amer. Ceram. Soc. Journ., 9, str. 77—96. — [42] Ross C. E.—Hendricks S. B., 1945: Minerals of the montmorillonite group. U. S. Geol. Surv. Prof. Pap. 205 B, str. 23—79. — [43] Sedleckij I. D., 1945: Kolloidno-disperznaja mineralogija. Izd. AN SSSR, Moskva—Leningrad. — [44] Seneš J., 1955: Záverečná zpráva o základnom geologickom výzkume stredného a južného Slovenska za rok 1955 (oblasť Štúrovo, Križska kotlina, južné Slovensko). Rukopis; archív GÚDŠ Bratislava. — [45] Sherman G. D., 1952: The genesis and morphology of the alumina rich laterite clays (Hawai). Amer. Inst. Mining. Metall. Eng., symp., annual meeting, str. 154—161. — [46] Schlocker J.—van Horn R., 1958: Alteration of volcanic ash near Denver, Colorado. Journ. of Sed. Petrology 28, 1, str. 31—35. — [47] Slavík J., 1960: Príspevok k riešeniu vzťahov v geologickej stavbe hornonitrianskej a žiarskej kotliny. Goelog. Sbor. SAV 11, 1, str. 111—118. — [48] Slávik J., 1964: Geológia a genéza ložísk niektorých pelítov v neogéne východného Slovenska. Geol. práce, zošit 63, str. 221—237. — [49] Stevens R. E.—Carson M. K., 1948: Simple field test for distinguishing minerals by abrasion pH. Am. Min. 33, str. 31—49. — [50] Sudo T., 1952: Clays minerals formed by alteration of volcanic glass from Japan. Comité intern. pour l'étude des argiles. Fas. 18, X. Congres

geol. inter. Alger., str. 123—135. — [51] Sudo T., 1959: Mineralogical study on clays of Japan. Maruzen Co., LTD Tokyo, str. 328. — [52] Štúr D., 1867: Beiträge zur Kenntnis der Flora des Süßwasserquartzes der Congerien und Ceritienschichten in ungarischen Becken. Jahrbuch der k. k. geol. Reichsanstalt XIV, str. 77—188. — [53] Teschler G., 1924: Die alten Geiser von Kremnitz, ihr Limnoquarzit und der goldführende Quarz. Deutsche Zeitung für die Slowakei, 3 Jahrgang 109, 110, 111. — [54] Vachtl J.—Žemlička J., 1959: K charakteristice fosilního větrání na jižním okraji mostecké hnědouhelné pánve. Sbor. UUG, odd. geol. 25, str. 313—330. — [55] Weawer C. E., 1956: The distribution and identification of mixed layer clays in sedimentary rocks. Amer. Min. 41, str. 202—221. — [56] Weawer C. E., 1963: Interpretative value of heavy minerals from bentonites. Journ. of Sed. Petrology 33, 2, str. 343—349.

IVAN KRAUS

### PETROGRAPHISCHE-MINERALOGISCHE VERHÄLTNISSE UND GENESE DER TONSEDIMENTE IM ŽIAR-KESSEL

Im Žiar-Kessel in der Mittelslowakei sind die pelitischen Ablagerungen ziemlich reich vertreten, aber nur wenig bekannt, besonders hinsichtlich ihrer mineralogischen Zusammensetzung. Der vulkanische Komplex, der den Žiar-Kessel umsäumt, ist als primäre Urquelle der Tonablagerungen anzusehen. Darum dominieren da überwiegend Tone montmorillonitischen Charakters; nur selten treffen wir monominerale Tone. Neben Montmorillonit ist üblich auch Kaolinit und Illit vertreten, die örtlich auch eine dominierende Position einnehmen können (Illit nur seltener).

Auf Grund der eingehenden petrographisch-mineralogischen Studien der Tonablagerungen im Žiar-Kessel gelangten wir zu folgenden Schlüssen:

(1) Der primäre Prozess der Benthonitisierung bei Vorkommen von Stará Kremnička ist an die Umwandlung der Rhyolithtuffe gebunden. Gegenüber den versetzten benthonitischen Tonen, Tuffiten, tuffitischen Tonen und polyminalen Tonen mit verschiedener Sandbeimischung ist die Assoziation der Schwerminerale bei den Rhyolith-Tuffen (Zirkon-Biotit) viel beständiger, die Gitterregelung des Montmorillonits viel reifer und die Kaolinit-Beimischung nur gering. Nur selten findet man reine monominerale Benthonite (zusammengesetzt nur aus Montmorillonit).

(2) Den DTA-Kurven, und dem Verhältnis Si : Al zufolge nehmen die Montmorillonite in den Benthoniten des Žiar-Kessels eine Übergangstellung zwischen den Benthoniten des nontronit-beidellitischen Types (die im benachbarten Zvolen-Kessel bekannt sind) und jenen der Ostslowakei (mit niedriger Tetraedrit-Substitution) ein.

(3) Der Einfluss des Milieu (ausgedrückt vor allem durch die pH-Konzentration) auf die Bildung der Tonminerale beschränkte sich lediglich bei ihrer primären Entstehung in situ. Infolge dieser Umwandlungen konnten unter bestimmten Bedingungen Benthonite mit hohem Kaolinit-Gehalt entstehen. Bei den versetzten Tonablagerungen, die wir im Raume des Žiar-Kessels studieren konnten, wurden keine grösseren Veränderungen der mineralogischen Zusammensetzung während der Ablagerung und Diagenese beobachtet.

(4) Bei der Beurteilung der Genese von Benthoniten in Stará Kremnička stütze ich mich an den räumlichen Zusammenhang mit den dortigen Limnoquarziten. Zur Benthonitisierung kam es vor allem unter dem Einfluss der Zirkulation der Oberflächenwässer, bzw. ihrer Infiltration (Durchgang) durch die Schichtfolge der Rhyolithtuffe, besonders zwischen dem oberen und Haupthorizont der Limnoquarzite.

Der Arbeit sind die DTA-Kurven und Diffraktogramme der wesentlichsten Proben der Tonablagerungen im Žiar-Kessel (Abb. 1—6 im slowakischen Text), wie auch mengenmässige Vertretung der Schwerminerale (auf Tab. 1), Extremwerte der DTA-Kurven der Benthonite vom Žiar-Kessel, Zvolen-Kessel und aus der Ostslowakei [Tab. 2; Erläuterung:  $T_1$  = Extrem der niedrigeren Dehydroxilationsendotherme;  $T_2$  = Extrem der höheren Dehydroxylationsendotherme;  $T_3$  = Extrem der dritten Endotherme; V = gut messbare Abweichung; Z = unbedeutende Änderung der Grundlage (unbedeutende Abweichung)], wie auch kristallochemische Formeln der Minerale der Montmorillonitgruppe aus den Benthoniten des Žiar- u. Zvolen-Kessels, wie auch aus der Ostslowakei und Braňany (Tab. 3) beigeschlossen.

MICHAL MAHEL

## TEKTONOGRUPY — NOVÁ TEKTONICKÁ KATEGÓRIA

Pri rozpracovaní princípov pre tektonickú mapu karpato-balkansko-dinárnych oblastí ukázala sa potreba vyčleniť takú tektonickú kategóriu, ktorá by pomohla vyjadriť na jednej strane osobitnosti a spoločné znaky stavby jednotlivých segmentov i celých geotektonických zón na strane druhej. V alpidách sa pri tektonickej rajonizácii ponúka ako základná charakterizačná kategória v prvom rade tektonická jednotka, lebo práve hojnosť tektonických jednotiek patrí medzi osobitnosti alpinskej sústavy. Tektonické jednotky vytvorili sa účinkom tangenciálnych sôl tým, že vrchnejšie komplexy sa zväčša odlepili od svojho podkladu a prekonali deformáciu, pričom často sa dostali do príkrovovej pozície. Bližšia analýza pomerov vo východných Alpách, západných a južných Karpatoch, na Balkáne i v Dinaridach však ukázala, že väčšina tektonických jednotiek je rozšírená len v tom-ktorom segmente; nemôžno ich teda použiť ako porovnávaciu bázu. Ani triedenie a kategorizácia tektonických jednotiek nie je dosť ustálená. Mnohé, dokonca i klasické tektonické jednotky v Západných Karpatoch (napr. krížňanská, prípadne sliezska) sa po podrobnejšom výskume ukazujú ako súbor čiastkových jednotiek so vzťahmi a radovým významom nie vždy jasnými. Iné tektonické jednotky sú zas súčasťou väčších celkov — *tektonických jednotiek vyššieho radu*.

Pre účely paraleлизácie Východných Álp a Západných Karpát už dávnejšie sa využívajú *faciálne zóny*, vyčlenené predovšetkým na základe vývoja triasu. Paraleлизácia na tejto báze je však bezrozsponá prakticky len v južnejších tektonických jednotkách, budovaných triasovými komplexami. Zvlášť zjavná je jednoznačná genetická príbuznosť — pôvod z jednotnej rozsiahlejšej faciálnej zóny (geotektonickej zóny) jednotiek Oberostalpinu a južnejších karpat-ských jednotiek (chočská, severogemeridná, juhogemeridná). U severnejších

tektonických jednotiek s významnejším podielom mladších členov sú pri paralelizácii značne rozdielne názory.

Názorným príkladom toho je krížanská jednotka Západných Karpát; jedni ju paralelizujú s Unterostalpinom na základe faciálnych komplexov triasu (Tollman 1958, 1966), druhí s Mitelostalpinom viac na základe geometrie (Andrusov 1965) a tretí s frankenfeldským príkrovom (Kober 1931; Cornelius 1942; Prey 1966) na základe vývinu jury. Tieto rozpory sú zaprímené používaním rozdielných kritérií, vyplývajúcich hlavne z rozdielneho rozloženia jury a spodnej kriedy v Západných Karpatoch a vo Východných Alpách, resp. ich pomeru k triasu.

V Západných Karpatoch mocné komplexy jury a spodnej kriedy sú charakteristické pre severnejšie jednotky; os geosynklinály v štádiu faciálnej pestrosti a premenlivosti sa premiestnila do severnejšej geotektonickej zóny (Maheľ 1964). Naopak, vo Východných Alpách jura a spodná krieda analogických fácií buduje najsevernejšiu okrajovú jednotku južnej zóny — Oberostalpin, frankenfeldský, sčasti lunzský príkrov. Os geosynklinály v pomere k štádiu vápencovo-dolomitickému (stredný a vrchný trias) sa i tu premiestnila k severu, ale zostala v rámci južnej geotektonickej zóny austroalpinskej (Oberostalpin), v jej severnej okrajovej časti. Rozsah premiestňovania faciálnych zón v jednotlivých štádiach nie je vo Východných Alpách natoľko rozvinutý ako v Západných Karpatoch (Maheľ 1963). Základným znakom geosynklinály alpinského typu je však nestály paleogeografický obraz so štadiálnym premiestňovaním osi geosynklinály, lenže nerovnomerným v jednotlivých segmentoch. V dôsledku toho pomer a rozsah faciálnych súborov jednotlivých vývinových štádií nie je u susedných segmentov rovnaký.

S obdobným protirečením sa stretávame pri paralelizácii tatrid s východoalpskými jednotkami. Podľa niektorých Unterostalpin je pokračovaním tatrid k západu (Kober 1923; Cornelius 1942; Andrusov 1960, 1966; Prey 1966), podľa iných ide tu o náväznosť peninika (briansonais — Hochstegen-facies) na tatridy (Tollman 1963, 1966; Kotański 1963). Pri tom v obidvoch prípadoch sa vychádza hlavne z fácií triasu (vždy iných), ale i z paleogeografic. typu, z prerušenia sedimentácie (Tollman), resp. z geantiklinálneho charakteru (Andrusov 1966). V konečných dôsledkoch tieto názorové rozdiely sú spôsobené i rozdielnym zaradovaním flyšového pásma: podľa jedných leží v peniniku, podľa druhých v južných častiach helvetika. Najkriklavnejšia rozdielnosť kritérií je pri paralelizácii vonkajších jednotiek, kde na jednu roveň sa dávajú jednotky s rozdielnou náplňou, helvetidy, bradlové pásma i flyšové pásma (Tollman).

Pri hľadaní jednotnejších kritérií (so širšou bázou) pre paralelizáciu opierali sme sa o základné znaky alpinskej geosynklinály, a to: horizontálnu členitosť, štadiálnu premenu paleogeografického obrazu, veľkú pestrosť tektonických

štýlov v závislosti od pestrosti faciálnych súborov i od priestorového postavenia. Takto nám vyvstala nová tektonická kategória, ktorú sme nazvali **tektonogrupy**.

Tektonogrupy predstavujú paragenetické súbory fácií určitého vývinového štátia, prípadne vývinovej periódy, bližšie určujúce paleotektonický typ sedimentačného prostredia, ale i tektonický štýl štruktúrnych elementov, so zreteľom na ich podiel pri tvorbe tektonických jednotiek. Ide teda o komplexy, v ktorých sa odráža ráz tektonických pomerov, za akých vznikli, pričom svojou materiálovou náplňou vytvárajú *podklad pre formovanie tektonických elementov*.

Typ tektonogrup v *dimenzii času* odráža zmeny paleogeografického obrazu geosynklinály. Pre jednotlivé vývinové štádiá sú totiž charakteristické určité *typy tektonogrup*. V štádiu spodnodetritickom a vápencovo-dolomitickom (t. j. v perme a v triase) súbory fácií bližšie určujú paleogeografickú zonárnosť vyššieho radu (austroalpský typ, centrálnoalpský, centrálnokarpatský, germánsky, peninský, vnútrodinaridný, centrodinaridný atď.), ale i zón nižšieho radu (Drauzone — Slovenský kras; Unterostalpin — križňanská jednotka a pod.). V štádiu faciálnej pestrosti a premenlivosti predstavuje jura — spodná krieda faciálne súbory rozmanitejšie a hojnnejšie. Často v niektorých zónach vystupujú vedľa seba navzájom skĺbené súbory antagonistických fácií, typu priehlbénin a kordilier. Vo flyšovej periode (s vývinovými štadiami raného flyša, vrcholového flyša a pozdného flyša) dostávajú sa do popredia vzťahy medzi faciálnymi súbormi flyša s. s., piesčitého flyša, vápencového flyša, divokého flyša a neflyšovými (nekompetentnými). V najmladších vývinových štadiách (štádium staršej — morskej molasy, štádium mladšej — brackej molasy a postgeosynklinálne štádium) typ tektonogrup korešponduje s typom panvy (vnútorná čelná priehlbina, vonkajšia čelná priehlbina; intramontánne — intermontánne, superponované panvy).

Už sme však spomenuli, že typ paleotektonického režimu, za akého faciálne súbory vznikli, je len jednou črtou tektonogrup, ku ktorej patria aj znaky tektonických prejavov — tektonického pulzu v charaktere zvrstvenia, v zmenách i vo vzťahoch jednotlivých fácií. V tomto zmysle majú tektonogrupy veľa spoločného s tektotopmi, resp. tektofáciami v zmysle Krumbeina — Clossa (1954), prípadne so subformáciami sovietskych geológov. Každá tektonogrupa však obsahuje spravidla *niekolko tektofácií*.\*

Nemenej dôležitá však je druhá — *štruktúrna stránka*. Tektonogrupy vytvárajú materiálovú náplň pre tektonický štýl, s vlastnou schopnosťou vrásniť

\* Tektotopy sú komplexy, ktoré odrážajú tektonické podmienky vzniku (práve tak ako litotop litofaciálne a biotop biologické). Inými slovami: sú to komplexy vzniklé na určitem mieste pod vplyvom určitého typu tektonickej aktivity. Mapa tektofácií, podávajúca zmeny tektotopov v priestore, vyznačuje rozsah paleotektonických elementov v rámci ktorých prebiehala sedimentácia (Krumbein — Closs 1956).

a pohybovať sa; určujú tak možnosti, prípadne ráz vrásnivého procesu, a to podľa mechanických vlastností faciálnych súborov v rámci jednotlivých tektonogrup, vzťahmi fácií, ich rozmiestnením podľa kompetentnosti a pod.

Tektonogrupy majú pre ne typický tektonický štýl. Napr. slieňovcová tektonogrupa (jura — spodná krieda) má najčastejšie štýl prešmykových vrás — digitácií; tektonogrupa pestrých vápencov kordilierového typu prejavuje sa šošovkovitým až bradlovitým tektonickým štýlom. Tektonogrupa slieňovcov a bridlíc euxinského typu má najčastejšie štýl monoklín; tektonogrupa flyša s. s. štýl makrovŕás atď.

Úloha faciálnych súborov pri tektonickom formovaní a stavbe závisí v značnej miere aj od ich hrúbky. Názorným príkladom toho sú faciálne súbory jury a spodnej kriedy v tektonických jednotkách vnútorných Karpát. V južnejších jednotkách je podiel týchto členov malý; neprejavujú sa výraznejšie v stavbe, nevytvárajú význačnejšie štruktúry. Žiadne tektonogrupy tu nevyčleňujeme. Naopak, v severných jednotkách dosahujú značných mocností; uplatňujú sa na stavbe, tvoriac čiastkové tektonické jednotky a pestré štýly.

Z priestorového postavenia tektogrúp do značnej miery vyplýva aj *stupeň ich deformácie*. Platí tu závislosť medzi paleogeografickým postavením a stupňom tektonickej deformácie. Napr. vápencovo-dolomitické komplexy austro-alpského typu (stredný — vrchný trias) v Madarskom Stredohorí nie sú zvrásnené. V Slovenskom kraze a v Drauzone vytvárajú vrásy regionálneho rozsahu, dolámané prešmykmi. V severogemeridnom a chočskom príkrove, i v príkrovoch severných vápencových Álp vápencovo-dolomitické komplexy vytvárajú vrásový štýl na podklade veľkých šupín. V krížňanskej jednotke vápencovo-dolomitické komplexy predstavujú pevnnejší podstavec (z mocnejších šupín) pre tektonicky vrásnitelnejší pestrý nadložný komplex jury a spodnej kriedy. Každý z týchto vápencovo-dolomitických komplexov sa líši obsahom, ale hlavne pôvodom i terajším priestorovým postavením i rozličným susedstvom. Každý predstavuje inú tektonogrupu.

Väčšina tektonogrupí sa pri utváraní tektonických jednotiek osamostatňuje a vytvára tak *čiastkové celky* i *tektonické jednotky*. Názorným príkladom toho je melafyrová séria Západných Karpát, permotriásový pruh pri južnom okraj severných Vápencových Álp.

*Pri vyčleňovaní tektonogrup vychádzame jednak z kritérií faciálno-litologických* (obdobne ako u tektofácií), s osobitným zreteľom na typ a na vzájomné vzťahy fácií a hlavne na paleogeografický charakter priestoru vzniku. Vedľa toho v nie menšej miere kladieme dôraz i na ich úlohu *pri formovaní tektonického štýlu* a tektonických jednotiek. Z toho vyplýva, že nie všetky faciálne súbory jednotlivých vývinových štadií považujeme za tektonogrupy, ale len také, ktoré objasňujú dôležité tektonické elementy a význačné vývojové a štruktúrne fenomény.

Tektonogrupy nám:

- [1] bližšie u rčujú typ geosynklinály, jej vývoj i stahovanie osí;
- [2] tým, že sú vlastne materiálnym vyjadrením vývojových štadií, s bližším vyznačením náplne, tektonogrupy bližšie naznačujú priebeh faciálnych, či geotektonických zón, ich zmeny od segmentu k segmentu, resp. od štadia k štadiu;

[3] poukazujú na základný materiálový obsah tektonických jednotiek, na ich špecifickosť i na príčiny delenia na jednotky nižšieho radu v dôsledku odlišnej materiálnej náplne;

[4] sú ukazovateľmi tektonického štýlu, lebo pre jednotlivé tektonogrupy je charakteristický určitý tektonický štýl.

[5] tektonogrupy sú veličiny, predstavujúce spoločného menovateľa pre porovnanie tektonického štýlu, pôvodu a postavenia, ale i rozsahu (hrúbkou) zastúpenia jednotlivých vývojových štadií v susedných segmentoch. Tým umožňujú poznať spoločné znaky i rozdiely nielen v susedných segmentoch, ale i v susedných tektonických jednotkách.

\*

Pokúsme sa teraz paraleлизovať západokarpatské a východoalpské jednotky, tentoraz na báze tektonogrup. Juhogemeridná jednotka má analogon v Drauzone, severogemeridná v Hochalpiniku (podstatne viac diferencovanom); chočská v príkrovoch Prealpinika (bez frankenfeldského); má však svoje špecifikum v čiastkovej jednotke, budovanej prevažne melafyrovou sériou. Krížňanská jednotka nemá úplný analogon vo Východných Alpách. Obdobné tektonogrupy, štadiá faciálnej pestrosti a premenlivosti (jura — spodná krieda) — pravda vo väčšom rozsahu — má s frankenfeldským príkrovom. Má však inú tektonicko-genetickú príslušnosť. Frankenfeldský príkrov predstavuje okrajovú časť, čiastkovú jednotku vyššieho tektonického celku — Oberostalpinu; krížňanský príkrov daleko rozsiahlejší a tektonicky členitejší patrí inému severnejšiemu celku. V zmysle tektonickom krížňanská jednotka je špecifický útvar Západných Karpát (Maheľ 1963); nemá analogon ani vo Východných Karpatoch. V zmysle paleogeografickom, jej sedimentačný priestor mal západné pokračovanie počas juri, čiastočne i v spodnej kriede v pásmu frankenfeldskom. V triase však naväzoval na sedimentačný priestor Unterostalpinu, meniac smerom k západu (a to už v Malých Karpatoch) pozvolne svoj charakter — typ karpatský v typ centrálnokarpatský. Obalová jednotka nemá v zmysle tektonickom analogon vo Východných Alpách. Pravda, jej sedimentačný priestor smerom k západu naväzoval na priestor rozložený južne od sedimentačnej zóny peninských, a ďalej k západu giesenských bradiel. Jej triasové tektonogrupy ako faciálne súbori sú obdobné ako v briansonskej zóne peninika (Debelmas 1960); juráskospodnokriedové sú však osobitné.

Pienidy sú sice pokračovaním helvetika, ale ich tektonické postavenie, pomer k flyšovému pásmu je iný, rovnako ako ich tektonogrupy. Treba poznamenať, že i jursko-spodnokriedové komplexy samotného helvetika sú v jednotlivých segmentoch rozdielne; napr. v švajčiarskom úseku a Voralbergu sú iné ako v rakúskej grestenskej bradlovej zóne (Prey 1965). Aj flyšové pásmo Západných Karpát a Álp má iné postavenie, iný vzťah k jednotkám interní (vo Východných Alpách je menej autonomné tektonicky, morfogeneticky i vývojom). Naviac, podiel flyšových tektonogrúp v Alpách je podstatne menší ako v Karpatoch; súvisí to s časovými a priestorovými rozdielmi jednotlivých fáz vrásnenia, resp. v ich rozdielnej intenzite.

V diskusii o princípoch pripravovanej tektonickej mapy karpato-balkánskych oblastí boli námitky, že použitie tektonogrúp sa viac hodí pre mapy paleogeografické ako pre tektonické. Tieto námitky by boli správne, keby sa náplň tektonogrúp zúžila na tektofácie, t. j. iba na paleotektonický typ, na výber faciálnych súborov. Tektonogrupy však udávajú vývojový charakter i produkt deformácie — štruktúrny charakter, výsledok štruktúrneho procesu. Preto sa domnievame, že tektonická mapa použitím tektonogrúp ako jedného z hlavných princípov, vyzdvihne viac jej štruktúrnu stránku.

*Geologický ústav D. Štúra,  
Bratislava*

TIBOR BUDAY—VÁCLAV ŠPIČKA

**PALEOGEOGRAFIE A TEKTogeneze severních výběžků  
podunajské pánve a jejich perspektivnost  
pro naftu a plyn**

**Výtah:** V práci se řeší rozsah a vymezení hlavních jednotek v relielu podloží a je proveden rozbor všech tektonických prvků, které určují paleogeografii a tektogenezi zálivů během neogénu. Důležité je vymezení hlavních elevačních a depresních jednotek jednak sz—jv, jednak zjjz—vsv tektoniky. V piešťanském zálivu je proveden detailnější rozbor funkce hlavních zlomů v období torton—pliocén. Závěrem se hodnotí perspektivnost zálivů pro naftu a plyn.

**Úvod**

Severní výběžky Podunajské pánve — topolčanský a piešťanský záliv patří z hlediska hlubinné stavby a řešení perspektivnosti pro naftu a plyn k nejméně prozkoumaným oblastem v pánvi. Stávající podklady sice neumožňují provést souborné a vyčerpávající zhodnocení geologických poměrů s ohledem na detailní stavbu a členění, jsou však dostačující pro stanovení a vymezení hlavních principů paleogeografie a tektogeneze zálivů. Shrnutí všech dosavadních údajů a jejich širší celkové zhodnocení, které je předmětem předkládané práce, jsme považovali za nutné pro možnost vytýčení hlavních směrů pro další průzkumné a výzkumné práce.

Z hlediska principů stavby, vývoje a tektonického členění celé Podunajské pánve jsou nejvýznamnější práce Z. Adama—M. Dlabače (1961), M. Dlabače (1963, 1964) a T. Budaye (1963, 1963a, in T. Buday—I. Cicha—J. Seněš 1965).

V tektonickém členění se uvažují pro torton (svrchní torton) a mladší neogén zlomy podélného systému s funkcí počínaje koncem tortonu (svrchního tortonu). Příčné zlomy se považují v zásadě za předtortonské. Dozvuky sz.—jv. tektoniky se uvádějí v zóně aglutinancí a zdůrazňuje se nápadná shoda v uspořádání vrstevních elevací v mladším miocénu se směrem příčné sz.—jv. tektoniky. V piešťanském zálivu se uvažuje s pokračováním zlomů z trnavského zálivu (především zlom dechlický, budmerický, vištucký a systém zlomů trnavských), do topolčanského zálivu se předpokládá pokračování zlomů seredských, majcichovských a velkozálužských.

Nejdůležitějším výsledkem prací T. Budaye je stanovení různorodosti Podunajské pánve, s podstatnými změnami též v období tortonu-pliocénu.

V označení tortonských (svrchnotortonských) vrstev a jejich detailním členění vycházíme z výsledků prací I. Cichy – J. Tejkala (1965) a V. Špičky (1966a). Torton podle toho dělíme na spodní a svrchní oddíl, ve spodním oddílu se rozlišují bazální vištucké a vyšší pelitické špačinecké vrstvy (zóna aglutinancií), svrchní oddíl se označuje souhrnně jako bolivino-buliminová zóna či bučanské vrstvy. Z hlediska paleogeografie a tektonogeneze je důležitým zjištěním intensivní funkce hlavních zlomů počínaje spodním oddílem tortonu (V. Špička 1966, 1966a).

Z hlediska geologické stavby a relielu podloží jsme navázali na zpracování T. Budaye – V. Špičky (1964). Perspektivnost předtercierního podloží pro naftu a plyn řešil I. Pagáč (1964, 1965).

Pro zpracování jsme použili generální mapy ČSSR, list Wien – Bratislava (T. Buday – B. Cambel – M. Maheř 1962), Gottwaldov (T. Buday s kol. 1963), Žilina (M. Maheř s kol. 1962) a Nitra (M. Kuthan s kol. 1963).

Nejdůležitějším podkladem pro naše zpracování, v navázání na všechny existující údaje z okrajů pánve a z vrtního resp. seismického průzkumu poskytly gravimetrické podklady. Výsledky dosavadních gravimetrických měření zhodnotili A. Šutor, V. Čekan, F. Špak (1957), J. Ibrmajer – L. Mottlová (1960, 1963), Blížkovský M. – Adam Z. (1962), M. Blížkovský (1963) a F. Hadamovský – Z. Adam (1964). Závažné výsledky přinesla práce M. Blížkovského (1963), který podle interpretace map vyšších derivací tíže rozlišuje vedle jednotek převládajícího jjz. – ssv. směru ještě samostatné systémy jednotek zjjz. – vsv., sz. – jv. a s. – j. směru.

Reflexně seismický průzkum byl v obou zálievech proveden pouze v nejjižnější části a má převážně regionální povahu. Jeho výsledky zhodnotili J. Šamánek – J. Baláš (1957), Z. Adam – J. Kadlecík (1961), O. Vašek, J. Vašek, M. Beinhauerová, Z. Adam (1962) a L. Pavelka, Z. Adam, J. Vašek (1963), K. Holzbauer – R. Lukášová – Z. Adam – J. Vašek (1964) a Z. Adam (1964, 1965). V interpretaci hlubinné stavby včetně průběhu hlavních zlomů jsou v piestanském zálivu dosti zásadní rozdíly. V topolčanském zálivu průzkum prokázal pokračování majcichovských, seredských a velkozálužských zlomů a rišnovecké prohlubně do zálivu a asymetrickou stavbu zálivu s nejhlubšími místy u seredských zlomů.

Výsledky mělkého a středního hlubokého strukturního průzkumu zhodnotili M. Dlabač (1960), J. Hromec (1961), I. Pagáč (1961), B. Gaža – St. Lunga (1964) a St. Lunga (1963, 1964, 1965).

Výsledky hlubinného a hlubokého strukturního průzkumu zhodnotili I. Pagáč (1961, 1965), B. Gaža (1963, 1964, 1964a) a B. Gaža – St. Lunga (1964). Jedná se o zhodnocení vrtů v těsné blízkosti nebo v nejjižnějším úseku zálivů.

V podrobném hodnocení starších prací odkazujeme na rukopisnou práci (T. Buday – V. Špička 1965). Pokud jsme použili výsledky prací pro naše závěry, uvedeme jejich citaci, příp. včetně detailnějšího rozboru v textu.

### Popis geologické mapy podloží

Geologickou mapu relielu podloží jsme sestavili v navázání na starší zpracování T. Budaye – V. Špičky (1964) a jeho výsledky jsme v oblasti zálivů poněkud opravili a upřesnili. Vycházeli jsme především z výsledků vrtního průzkumu při srovnání s těhovým polem a ze základních zákonitostí v průběhu a rozložení jednotek na povrchu podle geologické mapy ČSSR v měř. 1:200.000. Při interpretaci těhového pole vycházíme ze základního předpokla-

du, že tíhové pole ovlivňují vedle mocností neogenní výplně, tj. relielu podloží v závislosti na průběhu elevačních a depresních jednotek, především litologické změny v podloží. Kladné anomálie vyznačují především přítomnost vápenců a dolomitů chočské jednotky v přímém podloží neogénu, zatím co paleogenní deprese a rét, keuper a křídové sedimenty křižnanské jednotky podmiňují relativní úbytek tíže.

Na mapě (příl. 1) jsme vymezili tyto jednotky:

[1] Paleogén centrálněkarpatských depresí vrtně byl prokázán vrtbou Nižná-1 v piešťanském zálivu (B. Gaža 1964a). Hlavní rozšíření předpokládáme v okolí této vrtby, se zúžením a menšími mocnostmi v prostoru kladné tíhové anomálie u Borovců, a v místech negativní anomálie u Ostrova. S. ukončení interpretujeme zhruba na spojnici s. omezení paleogénu na okrajích pánve u Hrádku a Bzince, tj. na přičné hlucké zoně. J. ukončení předpokládáme v prostoru obce Kátlovce, na v. úbočí elevace u Krupé.

F. Chmelík (1964) interpretuje v podloží zálivu důležitou tektonickou linii probíhající od N. Mesta n. Vahom zhruba s.—j. směrem přes vrtbu Nižná-1. Předpokládá, že tato linie odděluje miogeosynklinální vývoj přibradlového paleogénu myjavsko-žilinské jednotky včetně přechodních zon na Z od epiplatformního vývoje vnitrokarpatského paleogénu na V. Pro interpretaci této linie jsme zpracováním nezískali žádné podklady. Pozornost zasluhuje pouze zhruba s předpokládanou linií paralelní průběhu mladého bohunického zlomu, který by mohl být odrazem této mobilní zóny v podloží.

Největší rozšíření má paleogén v bánovské kotlině, v prostoru negativních anomálií u Bánovců n. Bebr. a Partzánského. Bez paleogenního pokryvu vůbec nebo s paleogénem v minimální mocnosti interpretujeme kladnou tíhovou anomálii u Chudé Lehoty. Nejjižněji předpokládáme rozšíření paleogénu v prostoru negativních anomálií u Prašic a Rajčan.

[2] Mezozoikum chočské jednotky vrtně bylo prokázáno pouze v piešťanském zálivu hlubinnými vrtbami u Krupé a cf-vrtbami Piešťany 82, 83 a 84 (B. Gaža 1964a, T. Buday—V. Špička 1964, I. Pagáč 1964, 1965, St. Lunga 1964)\*.

V piešťanském zálivu jej předpokládáme při z. okraji, u M. Karpat, s výjimkou depresní zóny v pokračování brezovské deprese, v s. části u N. Mesta n. Váh. a v prostoru positivní tíhové anomálie u Borovců. Hranici proti křižnanské sérii a obalovým jednotkám interpretujeme zhruba na j. úbočí elevace u Krupé a kladné tíhové anomálie u Borovců.

V topolčanském zálivu jej interpretujeme v prostoru kladné tíhové anomálie u Chudé Lehoty. Rozhraní proti křižnanské a obalové jednotce interpretujeme

\* V roce 1965 byla dokončena vrtba Dubová-1, která vrtala v podloží v intervalu 1350—2945 m a zastihla chočskou jednotku jednak v relielu, jednak v hlubší tektonické šupině (R. Čajka s kol. 1966).

na spojnici mezi hranicemi zjištěnými na okraji pánve, která probíhá přes Bošany a Topolčany.

[3] Mezozoikum križňanské a obalových jednotek vrtně bylo prokázáno vrtbami Špačince 5 (B. Gaža 1964), Trakovice-1 a cf-600 Topolčany-4 u Jelšovečů (St. Lunga 1965)\*.

V piešťanském zálivu, v navázání na vrtbu Šp-5 sem řadíme především negativní tíhové anomálie v okolí D. Dubové a jv. od Veselé. Předpokládáme, že ve srovnání s vápencovo-dolomitickými masami chočské jednotky se zde menšími hodnotami tíže projevuje převaha slinitojílovitého vývoje svrchního triasu a spodní a střední křídy.

Hranici proti j. krystaliniku a granitoidům interpretujeme zhruba propojením hranic na okrajích, s. od kladných tíhových anomálií u Zvončína, Špačinců a Bučan. Původně interpretovanou hranici (T. Buday — V. Špička 1964) lze poněkud opravit novým výsledkem hlubinného průzkumu u Trakovice.

V topolčanském zálivu jej interpretujeme v celém j. úseku, j. od Topolčan, tj. včetně území vrtu Obdokovce-1. Hranici proti krystaliniku a granitoidům je obtížné stanovit. T. Buday — V. Špička (1964) ji vedou od Hlohovce směrem na Preselany. S přihlédnutím k výsledkům vrtů cf 600 — Topolčany a Trakovice-1 se však jeví pravděpodobnější druhá možnost řešení, jak na ni upozornil I. Pagáč (1964).

Hranice mezozoika proti krystaliniku a granitoidům probíhá tedy zhruba jz. od příčné, sudetsky orientované depresní zóny, kterou lze ztotožnit s ludinskou linií K. Telegdi Rotha (T. Buday 1963).

[4] Granitoidy a krystalinikum vyskytují se v relielu podloží prakticky mimo rozsah zálivů a proto se jimi blíže nezabýváme. Byly zastiženy vrtbami V. Zálužie-1, cf 600 Hlohovec-2 a cf-600 Topolčany-1, j. od H. Otruskovic (B. Gaža — St. Lunga 1964, St. Lunga 1965). V topolčanském zálivu je v relielu podloží interpretujeme na tíhovém hřbetu u Preselan. V hodnocení litologické povahy hornin podložních jednotek odkazujeme na práce T. Budaye s kol. (1962), T. Budaye — B. Cambela — M. Maheľa (1962), M. Kuthana s kol. (1963) a T. Budaye — V. Špičky (1964). Nedostatek údajů neumožňuje dosud detailní členění jednotek podle převládající litologické nebo tektonické povahy.

Hranice mezi podložními jednotkami probíhají napříč piešťanským a topol-

\* Po ukončení zpracování byly vyvrtány vrtby Trakovice-1 a Obdokovce-1. Vrt Trakovice-1 (u obce Trakovice při jv. ukončení piešťanského zálivu) navrtal križňanskou a obalovou jednotku v int. 1515—2200 m (B. Gaža 1966). Vrt Obdokovce-1 v topolčanském zálivu zastihl v int. 2270—2500 m šedé dolomitické vápence stř. triasu, jejichž jednoznačná tektonická příslušnost není vyřešena (B. Gaža 1966a).

čanským zálivem a nejsou tedy souběžné s okrajovými jadernými pohořími M. Karpat, Povážského Inovce a Tribče v jejich dnešní podobě. Hranice sledují především dva samostatné tektonické směry, a to sz.—jv. a zjjz.—vsv. Pouze podřadně, zřetelně v báňovské kotlině se projevují s.—j. směry. Jjjz.—ssv. směry, souběžné s okrajovými jadernými pohořími v dnešní podobě, se projevují pouze podřadně a zřejmě druhotně. Jsou odrazem výzdvihu okrajových megaantiklinorií a poklesu centrální zóny v orogenetické fázi před tortonem a v dalším vývoji a tím podmíněné diferenční denudace.

*Sz. — jv. a zjv — vsv. směry* se projevují nejen na průběhu hranic mezi podložními jednotkami, nýbrž též na uspořádání positivních a negativních tihových anomalií, které lze považovat za odraz elevačních a depresních jednotek v podloží a v neogenní výplni. Lze je sledovat zřetelně i v části pánve, kde je podloží budováno krystalinikem a granitoidy (M. Blížovský 1963). Lze předpokládat, že tyto tektonické směry mají předneoidní založení. Projevují se dále zřetelně též v rozšíření, příp. členění svrchnokřídových a paleogenních depresí. Z toho lze usuzovat na jejich výrazné oživení při pohybech austrijské, subhercynské a laramijské fáze alpínského vrásnění. S výrazným uplatněním těchto jednotek lze v neogénu především počítat u předtortonských vrstev. K jejich oživení dochází též v orogenetické fázi mezi lanzendorfskou sérií a tortonem, s hlavním uplatněním v bazálních částech tortonu (M. Dlabač 1964), příp. v dalším vývoji.

*Jjjz. — ssv. tektonické jednotky a linie* vznikly pravděpodobně teprve v orogenetické fázi mezi lanzendorfskou sérií a tortonem. Současně s nimi vznikla megaantiklinoria jaderných pohoří v dnešní podobě a zlomy, které oddělují stabilní kry včetně předneogenního okraje od mobilních depresních zón.

Ve vertikálním členění reliefu podloží je tedy nutno počítat s uplatněním vlivu elevačních a depresních jednotek různého směru a založení. Je možno předpokládat, že tyto jednotky svou rozdílnou mobilitou také během vývoje neogénu ovlivňují v proměnlivé míře stavbu neogénu.

Podle tihového obrazu s použitím všech údajů, získaných základním geologickým výzkumem a hlubinným průzkumem lze vymezit tyto elevační a depresní jednotky (viz příl. 2):

(a) *Sz. — jv. jednotky (sudetsky orientované):*

*Piešťanský záliv* (od S k J)

1. Okrajová elevační jednotka v prostoru N. Mesta n. Vahom. K J je omezena pravděpodobně příčnými zlomy ze systému hluckých poruch. Končí na ní rozšíření paleogénu. Území až k Ostrovu nelze detailně pro nedostatek údajů členit.

2. Deprese v širším okolí Ostrova: patří k ní negativní tihová anomalie u Ostrova. Na okraji pánve je na ni vázáno hlavní rozšíření paleogénu a svrchní křída brezovské deprese a paleogenní deprese u Hrádku.

3. Elevační jednotka v okolí Borovců: vyznačuje se výběžkem mezozaika ve formě hráště směrem do pánve u Šterus a positivní tihovou anomálií u Borovců.

4. Depresní jednotka u obce Veselé: projevuje se negativními tihovými anomáliemi sv. od Nižné a jv. od Veselé.

5. Elevační jednotka v prostoru Nižné: je vyznačena tihovým hřbetem probíhajícím přes Nižnou a V. Kostolany.

6. Depresní jednotka jablonická: je vázána na pokračování jablonické deprese z oblasti Vídeňské pánve (T. Buday – V. Špička 1959). Projevuje se ponorením megantiklinorií jaderných pohoří podle sz.–jv. linie pod neogenní výplň pánve a tím podmíněným jz. ukončením zálivů. K JZ končí tato jednotka na příčné elevaci zóně vyznačené nejvýrazněji elevací v prostoru Križovany – Majcichov. Tuto jednotku lze dále členit na dílčí jednotky. Jako samostatná dílčí jednotka se jeví elevace u Kr upě s průběhem k JV do prostoru Bučan – Trakovice, ozeměná na S i J dílčími depresemi.

Příčné jednotky jsou dobře sledovatelné v tihovém obrazu např. v mapách druhých derivací též dle Elkinsovy formule  $s = 1,5 \text{ km}$  a  $s = 0,75 \text{ km}$  (M. Blížkovský 1963).

Zajímavé jsou tihové poměry v oblasti pozitivní anomálie u Borovců. V mapě dle Elkinsovy formule  $s = 1,5 \text{ km}$  je vyvinuta pouze jediná anomálie. V mapě dle  $s = 0,75 \text{ km}$  je anomálie vyznačena 2 samostatnými maximy, z nichž s. je posunuto o cca 2 km k Z. Domnívame se, že se jedná o horizontální posun, podmíněný příčnou tektonickou linií. Předpokládáme, že příčný zlom ovlivňuje též průběh zlomů omezujících hlavní podélné elevaci a depresní jednotky.

#### Topolčanský záliv:

1. Depresní jednotka v prostoru Bánovců n. Bebr. – projevuje se výraznou negativní tihovou anomálií v báňovské kotlině, v okolí Bánovců n. Bebr. a negativní anomálií u Partizánského. Je vyznačena rozšířením paleogénu a zálivem neogénu s pokračováním do novácké pánve.

2. Elevační jednotka v okolí Chudé Lehoty:

Je vyznačena tihovým hřbetem mezi negativními anomáliemi s. od Prašic a u Žabokrek n. Nitrou, uzavřenou kladnou anomálií u Chudé Lehoty a výběžkem mezozaika směrem do pánve jv. od Žabokrek.

3. Depresní jednotka u Prašic: Projevuje se tihovými negativními anomáliemi u Prašic a Rajčán a zálivem neogénu na okraji pánve u Janovy Vsi.

4. Elevační jednotka v prostoru Topolčan je vyznačena tihovými hřbety se sz.–jv. průběhem přes okolí Topolčan.

5. Depresní jednotka v okolí Oponic:

Projevuje se minimálními hodnotami též v jjz.–ssv. depresemi rišnovecké jv. od Nitr. Blatnic a v průběhu isolinií též ve srovnání se s. elevací topolčanskou a j. elevací preseleckou.

6. Elevační jednotka v okolí Preselan:

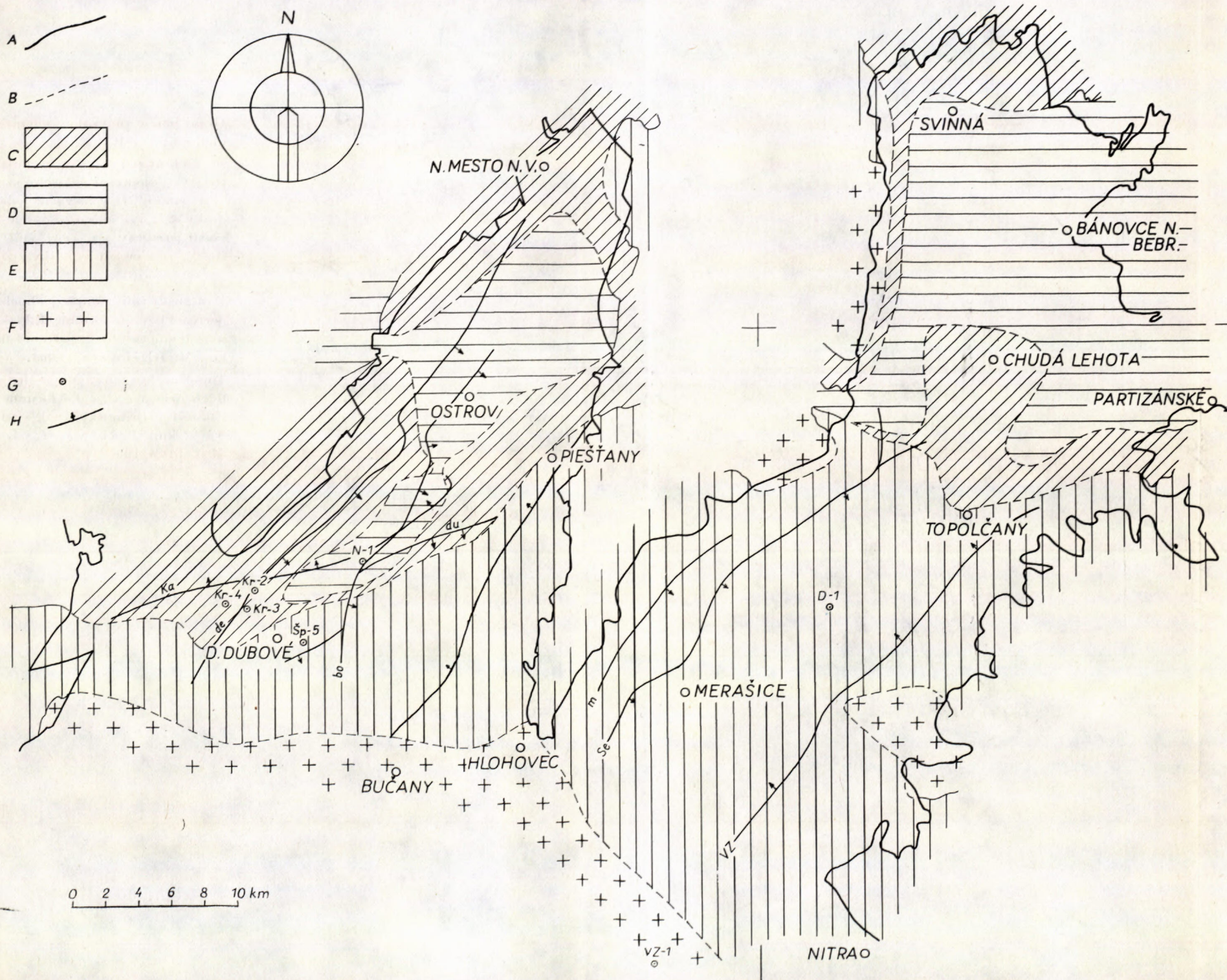
Je vyznačena tihovým hřbetem v prostoru rišnovecké deprese a v okolí Preselan.

7. Depresní jednotka u Sokolníků: Je na ni vázáno hlavní minimum též u Merašic, projevuje se výrazně v tihovém obrazu (viz též F. Hadamovský – Z. Adam 1964) v prostoru sz. od Sokolníků a zálivem neogénu na okraji pánve.

Mapa pieštanského a topolčanského zálivu se znázorněním podložních jednotek.

Sestavili: T. Buday — V. Špička

Příloha 1



Okraj pánve převzat z generálních map ČSSR

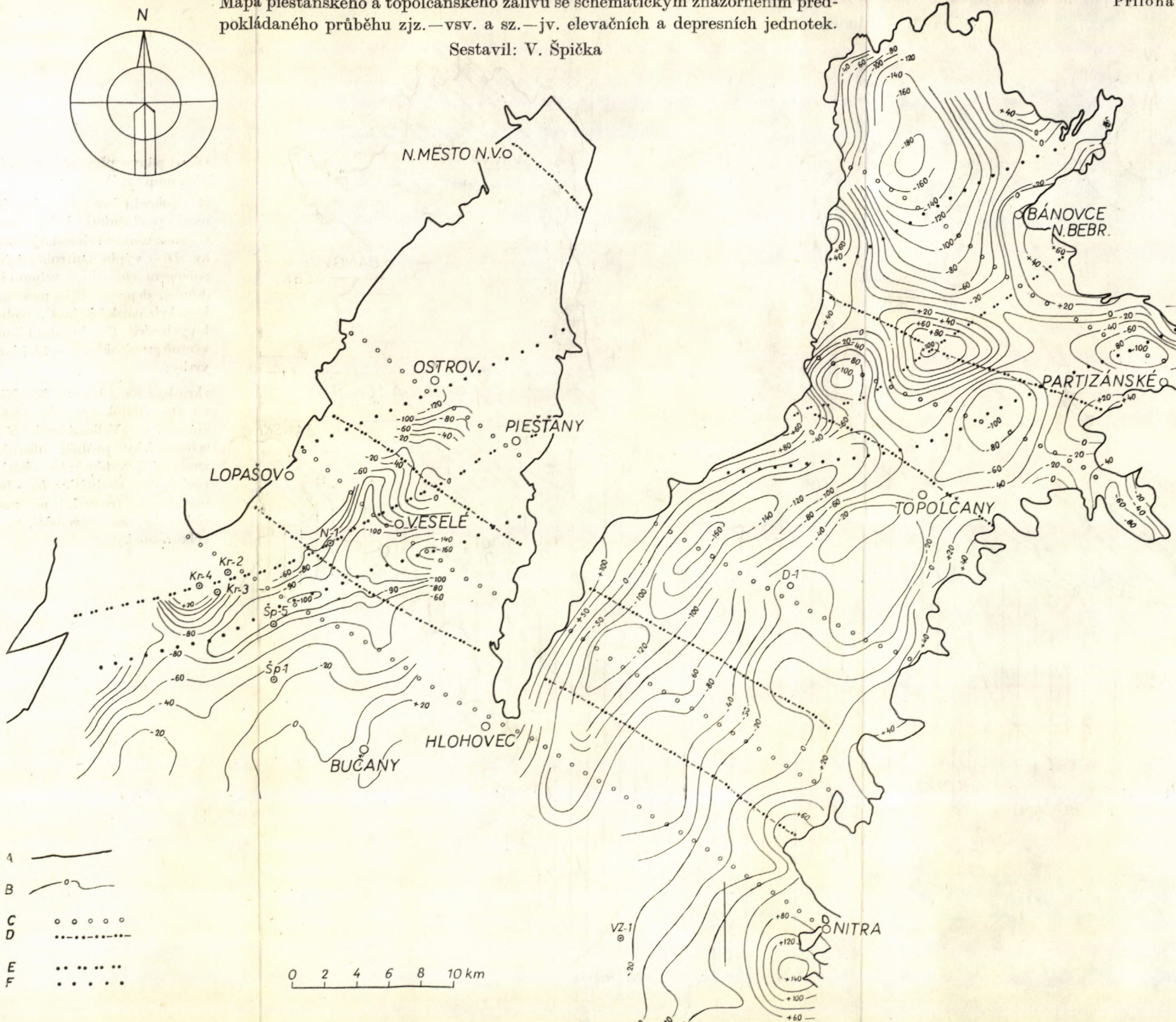
A — okraj pánve, B — hranice mezi podložními jednotkami, C — mezozoikum chočské jednotky, D — výplň vnitrohorských paleogenních příp. svrchno-křídových depresí, E — mezozoikum križiánské jednotky a obalových sérií, F — krystalinikum včetně granitoidů, G — hlubinné vrty;

zkratky: Kr — Krupá, N — Nižná, O — Obdokovce, Šp — Špačince, VZ — Velké Zálužie, H — schematický průběh hlavních zlomových systémů: ka — kátlovický, de — dechtičký, bo — bohunický, t — trnavský, m — majcichovský, se — seredský, vz — velkozálužský

Příloha 2

Mapa piešťanského a topolčanského zálivu se schematickým znázorněním před-pokládaného průběhu zjjz.—vsv. a sz.—jv. elevačních a depresních jednotek.

Sestavil: V. Špička



Okraj pánve převzat z generál-ních map ČSSR.

A — okraj pánve, B — isolinie tíže; C — depresní jednotky sz.—jv. směru, D — elevační jednotky sz.—jv. směru. E — elevační jednotky zjjz.—vsv. směru, F — depresní jednotky zjjz.—vsv. směru.

Piešťanský záliv: Mapa druhých derivací tíže dle formule Elkinsovy (jednotky  $10^{-15}$  cgs) s = 1,5 km. M. Blížkovský 1963.

Topoľčanský záliv: Mapa druhých derivací tíže dle formule Elkinsovy (jednotky  $10^{-15}$  cgs) S = 2 km. J. Ibrmajer — L. Mottlová 1960.

#### 8. Elevační jednotka v prostoru Jelšovců:

Projevuje se výrazně tříhovým hřbetem v okolí Jelšovců a výběžkem mezozoika směrem do pánve, ve srovnání s výše uvedenou s. a j. depresí.

#### 9. Depresní jednotka v okolí Lužianek:

Projevuje se výrazně v tříhovém obrazu ve srovnání s elevací jelšoveckou (F. Hada-movský – Z. Adam 1964). Podmiňuje ponoření Tribče k JZ pod neogén.

Zajímavý je s.–j. tříhový hřbet u H. Obdokovců, který naznačuje průběh s.–j. elevační jednotky přes Preselany na Jelšovce a Mlynarce a tím na křížení s.–j. a příčné tektoniky.

Vliv příčné sz.–jv. tektoniky se projevuje též v seismických podkladech. Na některých profilech, nejzřetelněji u okraje pánve, lze dobře identifikovat příčnou elevaci preselanskou a jelšoveckou.

Dobře je vliv příčné tektoniky prokázán na jablonické depresi s pokračováním do deprese u Lužianek a na elevacích v prostoru Nižné, Krupé a u Trakovic.

#### (b) Zjjz. – vsv. až z. – v. jednotky:

##### *Pieslanský záliv* (od S k J):

1. Depresní jednotka v okolí obce Vrbovce: je vyznačena paleogenní depresí, negativní tříhovou anomálií a zjjz. – vsv. průběhem isolinií tříže u Ostrova.

2. Elevační jednotka v prostoru Kátloveců: projevuje se elevacemi a kladnými tříhovými anomáliemi na kátlovecké hráště u H. Krupé, Nižné a Borovců.

3. Depresní jednotka v okolí D. Dubové: je vyznačena výraznými negativními anomáliemi a depresemi s maximální mocností neogénu v oblasti špačinecké a jv. od Veselé.

##### *Topolčanský záliv*:

V j. úseku je identifikace zjjz. – vsv. tektoniky velmi obtížná a za současněho stavu neprověditeLNá. V s. úseku a v báňovské kotlině ji však můžeme spolehlivě sledovat. Můžeme zde od S k J vymezit tyto jednotky:

1. Depresní jednotka v prostoru obce Uhrovce: je vyznačena výraznou paleogenní depresí a zálivem neogénu sv. od Bánovců n. Bebr., podle tříhového obrazu ji lze sledovat ze s. okolí Uhrovčů směrem na Zlatníky.

2. Elevační jednotka v okolí Pravotic: lze ji sledovat podle tříhového obrazu od Pravotic přes Chudou Lehotu k ZZJ.

3. Depresní jednotka v prostoru Rajčan: její průběh předpokládáme podle tříhového obrazu ze s. okolí Partizánského směrem na Rajčány a Bojnou.

Sz. – jv. i zjjz. – vsv. až z. – v. jednotky jsou vzhledem k podélnému jjz. – ssv. protažení a omezení zálivů příčné. Probíhají napříč přes zálivy i mega-antiklinoria jaderných pohoří. Jsou vázány na tektoniku hlubokého před-neoidního založení a ve starším podloží jsou součástí regionálně sledovatelných jednotek (viz příl. č. 2).

Lze předpokládat, že tyto jednotky ovlivňují jak relief podloží, tak stavbu neogénu, a to především v předtortonských vrstvách a dále v bazálních čás-

tech tortonu. Ve vývoji neogénu se zřejmě uplatňuje vliv v proměnlivé kombinaci a vzájemných vztazích různých tektonických jednotek.

#### (c) Jjz.—ssv. tektonika

Elevační a depresní jednotky a zlomy jjz.—ssv. tektoniky jsou směrově shodné s dnešním protažením a omezením zálivů. U této tektoniky jsme nezjistily žádné indicie, které by prokazatelně svědčily na spojitost s hlubší stavbou podloží. Zdá se, že se jedná o jednotky vzniklé teprve během vývoje neogénu, v orogenetické fázi mezi lanzendorfskou sérií a tortonem.

V piešťanském zálivu můžeme vymezit centrální depresi, která je ssv. pokračováním trnavské prohlubně (Z. Adam — M. Dlabač 1961). Deprese je oddělena na Z okrajovým malokarpatským systémem dechtického zlomu a na V systémem trnavským od okrajových konsolidovaných ker.

V topolčanském zálivu lze vyčlenit centrální depresi v pokračování rišno-vecké prohlubně, z. okrajovou kru z. od systému majcichovského a seredského a v. okrajovou kru v. od systému velkozálužského (Z. Adam — M. Dlabač 1961).

#### (d) Severo-jižní jednotky

Identifikace s.—j. tektoniky je velmi obtížná. Zdá se, že k jejímu oživení došlo především v pliocénu. Výrazně se s.—j. tektonika projevuje na z. omezení bánovské kotliny, můžeme na ni usuzovat též z uspořádání pozitivních a negativních gravimetrických anomálií. Pozoruhodná je např. vzpomínaná s.—j. elevační jednotka v topolčanském zálivu s průběhem přes Obdokovce a Mlynárce. V piešťanském zálivu lze např. vymezit s.—j. jednotku s elevacemi Krupá, Cifer a Králová. S.—j. směr má v určitém úseku bohunický zlom.

Relief podloží, jeho vertikální členitost a rozdelení na dílčí bloky byly podstatnou měrou ovlivněny vývojem v neogénu. Diferencované pohyby podložních bloků podmínily zvláště v období počínaje tortonem intenzivní kernou i bezzlomovou diferenční subsidenci, která byla nejintensivnější ve spodním oddílu tortonu a oživila se mezi zónou aglutinancií a bolivino-buliminovou zónou, příp. v dalším vývoji. Převládající význam měly jjz.—ssv. zlomy a jednotky, oživily se však také zlomy a jednotky shodné se starými zjjz.—vsv., sz.—jv. a s.—j. tektonickými směry.

V mapě (příl. č. 1) jsme znázornili schematický průběh hlavních zlomových systémů, které ovlivňují vertikální členění podloží. V piešťanském zálivu se jedná o okrajový systém dechický a trnavský a o zlomy kátlovecký, bohunický a dubovanský, v topolčanském zálivu o okrajové systémy majcichovsko-seredský a velkozálužský.

## **Stavba a členění předtortonských a tortonských vrstev**

O předtortonských vrstvách máme poznatky pouze z okrajů pánve. V piešťanském zálivu jsou na okrajích pánve prokázány spodní burdigal a karpat, které byly navrtány též na hlubinných vrtbách v prostoru H. Krupé a Nižné. V báňovské kotlině je známo rozšíření spodního burdigalu v sz.—jv. pruhu. O přítomnosti lanzendorfské série scházejí jakékoliv údaje.

Ve shodě s názory řady autorů (T. Buday 1963 atd.) lze předpokládat, že v předtortonských vrstvách měla pánev jjz.—vsv. protažení s uplatněním vlivu sz.—jv. směrů. Hlavní rozšíření bylo patrně vázáno na paleogenní, příp. svrchnokřídové deprese, jak na to svědčí hojně výskyty spodního burdigalu, příp. též karpatu vázané na pokračování brezovské deprese k V, jak v piešťanském zálivu na okraji pánve, tak v báňovské kotlině. Zálivy v dnešní podobě před tortonem ještě neexistovaly.

V souhlase s minimálním počtem údajů nemáme dosud žádné znalosti o funkci směrných jjz.—vsv. a příčných sz.—jv. zlomů v předtortonských vrstvách na území zálivů.

Dnešní zálivy mají převládající jjz.—ssv. protažení, jsou omezeny mega-antiklinorií jaderných pohoří M. Karpat, P. Inovce a Tribče převážně téhož směru a mimo okrajové konsolidované kry jsou na povrchu vyplněny pliocénem.

Pro řešení hlubinné stavby jsme zvolili bázi tortonu. Jedná se o výrazné rozhraní, které má též z hlediska perspektiv pro živice zásadní význam v souvislosti s bazálními vrstvami tortonu.

Jak jsme již uvedli, jjz.—ssv. jednotky a zlomy nejeví genetický vztah ke stavbě podložních jednotek ani předtortonských vrstev. Vznik jjz.—ssv. omezení zálivů a s ním paralelního tektonického členění, které jsou v tortonu a mladším neogénu převládající, klademe do orogenetické fáze mezi lanzendorfskou sérií a tortonem (T. Buday—V. Špička 1964). Počínaje spodním oddílem tortonu předpokládáme vývoj charakterizovaný relativním výzdvihem antiklinoriálních pásem M. Karpat, Pov. Inovce a Tribče, včetně okrajových konsolidovaných ker (s malými mocnostmi neogénu, převážně v okrajové facii) a synsedimentárním kerným vklesáváním ústřední, zlomově omezené deprese. V obou zálivech lze tak z hlediska jjz.—ssv. tektoniky vyčlenit centrální depresi oddělenou zlomově od okrajových konsolidovaných ker včetně předneogenního okraje.

Ve spodním oddílu tortonu byly intensivně činné okrajové zlomy, ze kterých se v průběhu dalšího vývoje (oživení starého zlomu včetně vzniku nových odštěpných a doprovodných zlomů na rozhraní mezi zónou aglutinancí a bolivino-buliminovou zonou a v mladším neogénu, zvl. v panonu a pontu) staly složité zlomové systémy (V. Špička 1966).

K identifikaci průběhu zlomů a stanovení jejich významu pro stavbu a členění tortonu je nutno předeslat, že jsou k dispozici pouze sporé údaje neumožňující dosud vyřešení všech problémů. Při nedostatku údajů z hlubinných vrteb nelze považovat zjištění mělkého strukturního průzkumu za dostačující pro jednoznačné vymezení a stanovení významu zlomů pro hlubinnou stavbu.

O hlavních zlomech, které lze považovat za významné pro vývoj, stavbu a členění zálivů byly dosud získány tyto poznatky:

### Pieštanský záliv

#### *Dechtický zlomový systém*

U Hor. Dubové na kátlovecké hrásti má úhrnnou výšku skoku na bázi tortonu až kolem 800 m. Zlom je činný především ve spodním oddílu tortonu a ve vyšší části špačineckých vrstev (zóny aglutinace) vyznívá. Úplně vyznívají odštěpné zlomy (B. Gaža 1964), zatím co hlavní zlom je činný i v dalším vývoji. Funkce v zóně bolivino-buliminové je však minimální (na vysoké kře je na vrtbě Kr-4 zóna mocná 110 m, na pokleslé kře hlavní větve zlomu na vrtbě Kr-3 asi 180 m — B. Gaža 1963; proti zvětšení mocnosti spodního oddílu tortonu z 350 m na 1200 m je funkce minimální).

Torton na vysoké kře dechtického zlomu dosahuje podle výsledků hlubinných vrteb u Hor. Krupé mocnosti až přes 500 m. Předtortonský (proti karpatu) resp. předneogenní okraj pánve je tvořen smolenickým zlomem. Až do okolí Naháče je v pokleslé kře u tohoto zlomu prokázaná zóna aglutinace v typickém mořském vývoji. Zdá se tedy, že smolenický zlom je výraznou poruchou, s možnou funkcí od počátku tortonu.

Ve shodě s pracemi J. Hromce (1961), I. Pagáče (1961) a St. Lungy (1963, 1964) lze předpokládat pokračování smolenického a dechtického zlomu do pieštanského zálivu. U Dehtic byly vrtbou cf Šp-99 zastiženy mezi předneogenním okrajem a dechtickým zlomem hrubé vápnité štěrky. S přihlédnutím k vývoji neogénu u Dol. Lopašova lze předpokládat, že zde byla zastižena okrajová kraj s rudimentárním vývojem neogénu. Teprve v. od ní lze interpretovat dechtický zlom. Poněvadž smolenický zlom je až do prostoru Naháče poměrně výrazný, lze předpokládat spojení hlavní větve smolenického zlomu jv. od Dehtic se zlomem dechtickým. Tím se vytváří hlavní okrajový zlom, který nazýváme jako dechtický.

Mezi Dehticemi a Kátlovci omezuje dechtický systém na Z kru s panonem, sarmatem a tortonem. Provrtaná mocnost činí na vrtbě cf 600 Šp-14 sz. od Nižné 600 m, přičemž byly zastiženy nejníže sedimenty bolivino-buliminové zóny. Sv. od Dehtic není průběh zlomu znám.

U Dol. Lopašova, na vrtbách cf. Pie-82, 83 a 84 nasedá v hl. 100 – 260 m torton v okrajové brackické až vyslaně facii na mezozoikum. V jeho nadloží jsou pestré vrstvy nejasné stratigrafické příslušnosti, které na vrtbě cf Pie-84 situované nejblíže k okraji, nasedají

přímo na podloží. Hojné pestré polohy, zjištěné v sarmatu směrem jv., s postupným přibýváním pestrosti k okraji, nasvědčují tomu, že se jedná nejpravděpodobněji o okrajovou lagunární facii sarmatu, která se směrem k okraji stává postupně až převládající resp. jedinou facií. Průběh dechtického systému lze tedy předpokládat teprve v. od Dol. Lopašova. Směrem sv. interpretujeme hlavní průběh zlomu směrem k Vrbové, a to v. od pozitivní gravimetrické anomálie, kterou interpretují J. Ibrmajer — L. Mottlová (1960) jz. od Vrbové. Směrem sv. se zlom pravděpodobně napojuje na zlom, který v úseku mezi Vrbovým a Novým Mestom n. Vahom odděluje karpat od vlastního piešťanského zálivu (T. Buday — B. Cambel — M. Maheľ 1962; T. Buday s kol. 1963).

Podle výše uvedených zjištění lze hlavní funkci dechtického zlomu předpokládat ve spodním oddílu tortonu. U Dol. Lopašova se zlom v sarmatu a pliocénu podle výsledků cf-strukturního průzkumu již neprojevuje (St. Lunga 1964). Zdá se tedy, že funkce systému v sarmatu a pliocénu k SV vyznívá. Funkci pravděpodobně přejímají zlomy ze systému bohunického zlomu. Předpokládáme, že dechnický systém odděluje v regionálním měřítku depresní zónu zálivu od okrajové konsolidované kry.

#### *Trnavský zlomový systém*

Máme o něm velmi málo údajů. Domníváme se, že hlavní zlom systému odděluje různě širokou okrajovou kru od vlastní depresní zóny zálivu. S jeho průběhem lze uvažovat směrem na Piešťany a Novou Ves n. Vahom. Předpokládáme, že byl činný již od počátku tortonu a považujeme jej za jeden z prvků, určujících od počátku tortonu paleogeografii a tektogenezi zálivu. Pro řešení geneze, funkce i průběhu systému mohou být získány cenné poznatky vyřešením geologických poměrů v oblasti Bučan.

Výsledky v piešťanském zálivu ukazují, že v orogenetické fázi před tortonem a v dalším vývoji se oživují též staré, v hlubokém podloží zakotvené jednotky i zlomy zjz.—vsv., s.—j. a příp. též sz.—jv. směru (zlomy posledního směru nejsou zatím známé).

K zjz.—vsv. zlomům řadíme zlom dubovanský a kátlovecký a některé zlomy pravděpodobně pouze pliocenního stáří (budmerický zlom — B. Gaža 1964). V zásadě lze říci, že tyto zlomy si převážně zachovávají svůj směr pouze v centrální depresi, zatím co v blízkosti okrajů se stáčejí do směru hlavních jjz.—ssv. zlomů oddělujících okrajové kry a souklonně s nimi splývají. Z velké části nemají tyto neogenní zlomy regionální průběh, nezávislý na zlomech jjz.—ssv. systému.

Pro hlubinnou stavbu přikládáme význam zlomu dubovanskému a kátloveckému.

#### *Dubovanský zlom*

Představuje zjz.—vsv. poruchu. Podle hodnocení v oblasti Špačinců je intenzivně činný ve spodním oddílu tortonu a ve vyšší části zóny aglutinancií

vyznívá (B. Gaža 1964). Předpokládáme, že zlom probíhá zjjz.—vsv. směrem a tvoří s. omezení hlavní depresní zóny v prostoru D. Dubové—Veselé. V dnešním obrazu v. od D. Dubové splývá zlom souklonně se zlomem bohunickým a v. od Nižné se od něho znova odštěpuje.

#### Kátlovecký zlom

Tvoří s. omezení kátlovecké hrástě a je znám v úseku mezi Lošoncem a Veselé (St. Lunga 1964). Jeho průběh předpokládáme zhruba k Pieštanům. Jednu větev nelze vyloučit s průběhem přes Trebatice, Vel. Revištie směrem k Hor. Stredě.

Zlom je oživením staré zjjz.—vsv. linie. Je výrazně činný v pliocénu, zvětšená mocnost bolivino-buliminové zóny na jeho pokleslé kře, na vrtbě Nižná-1, ve srovnání s vrcholovými částmi kátlovecké hrástě (z 200 na 700 m) svědčí též na funkci v zóně bolivino-buliminové.

Uplatnění vlivu zjjz.—vsv. tektoniky pozorujeme na kátlovecké hrásti výrazně ve spodním oddílu tortonu. Projevuje se především postupným, zřejmě synsedimentárním narůstáním mocnosti spodního oddílu tortonu od S k J, zesíleným ještě dubovanským zlomem. Na pokleslou kru dubovanského zlomu jsou vázány maximální mocnosti spodního oddílu tortonu, prokázáné vrtbami u Špačinců. Zda byla kátlovecká hrášť omezena již ve spodním oddílu tortonu zlomově též na S, není přesně známo. Dosavadní výsledky svědčí na funkci teprve počínaje bolivino-buliminovou zónou.

Z hlediska členění centrální deprese zaslhuje pozornosti *bohunický zlom*. V úseku mezi Nižnou a Bohunicemi má typický s.—j. průběh, zdá se, že se místy stáčí do jjz.—ssv. směru. Průběh zlomu byl zjištěn J. Hromcem (1961) a St. Lungou (1963, 1964), jejichž interpretaci jsem pro řešení hlinibinné stavby převzal.

Zlom byl zastižen vrtbami Nižná-1 a Špačince. Spojení se starým dubovanským zlomem a nedostatek hodnověrých údajů z pokleslé kry znemožňuje jednoznačně stanovit dobu funkce tohoto zlomu. Předpokládáme, že zlom byl činný teprve počínaje bolivino-buliminovou zónou a především v pliocénu. Pozornosti zaslhuje skutečnost, že zlom není směrově shodný s převládající vrstevní stavbou, nýbrž probíhá nezávisle na ní a seče ji napříč. Může se jednat o zlom ze systému s.—j. poruch, které se oživovaly především v pliocénu.

Ve stavbě a členění tortonu a mladšího neogénu v piešťanském zálivu má převládající význam jjz.—ssv. tektonika, z hlediska vymezení okrajových ker a centrální deprese s maximální mocností vrstev. Stavba vzhledem k omezujícím zlomům se jeví v zásadě jako symetrická, s monoklinálním stoupáním vrstev jednak k dechtickému, jednak k trnavskému systému.

Značný význam mají též elevační a depresní jednotky, příp. zlomy zjjz.—vsv. a sz.—jv. směru. Výrazně se uplatňuje především zjjz.—vsv. jednotka kátlo-

vecké hráště a deprese j. od ní. S. od hráště probíhá pravděpodobně deprese v okolí Vrbovců. Vzhledem k dnešní ose zálivu příčné jednotky zjjz.—vsv. i sv.—jv. směru mají v kombinaci s jjz.—ssv. tektonikou základní význam pro vývoj nepravých vrás. strukturních prvků ve stavbě tortonu a mladšího neogénu. S nejvýraznějším vlivem příčných prvků lze počítat především v bazálních částech tortonu, s vyzníváním směrem do nadloží, jak na to upozorňuje pro sz.—jv. prvky M. Dlabač (1964). Vlivem kombinace směrově různých prvků je jednoduchá monoklinální stavba komplikována vznikem uzavřených strukturních elevací a depresí. Nejvýraznější strukturní prvky elevační nebo depresní, lze očekávat v místech křížení směrově různých, ale přitom stejnocenných prvků (T. Buday—V. Špička 1959).

V souhlase s tím předpokládáme nejvýraznější elevace pro bázi tortonu v místech křížení vrcholových částí kátlovecké hráště se sz.—jv. elevačními jednotkami a dále v nejvyšších polohách u okrajových zlomů v kombinaci se sz.—jv. příp. zjjz.—vsv. tektonikou.

Torton byl v mořském vývoji a v dostatečné mocnosti prokázán nejseverněji v okolí Nižné, v prostoru kátlovecké hráště. Byl zde též zjištěn písčitý vývoj bazálního obzoru [tortonu]. Směrem s. nejsou k dispozici žádné poznatky. S. od Borovců lze však předpokládat průběh depresních jednotek, ve kterých není důvod uvažovat s podstatným změlením zálivu. Předpokládáme, že transgrese spodního oddílu tortonu v mořském vývoji mohla zasáhnout v depresi zálivu až zhruba k okrajové elevační jednotce sz.—jv. směru v prostoru N. Mesta n. Vahom. Tato kra mohla být zaplavena příp. teprve v pliocénu, kdy dochází k poklesu dosud konsolidovaných oblastí, včetně prodloužení funkce okrajových zlomů (analogie Vídeňské pánve a Hornomoravského úvalu). Bližší údaje pro hodnocení vývoje a mocnosti neogénu v zálivu scházejí a mohou být získány pouze dalšími výzkumnými a průzkumnými pracemi.

### Topolčanský záliv

Pro stavbu a členění má převládající význam jjz.—ssv. tektonika. Tíhový průzkum a seismické podklady z j. části (Z. Adam 1964, 1965) prokazují výraznou asymetrickou stavbu centrální deprese, s nejhlbšími místy u z. okraje a s monoklinálním stoupáním vrstev k V.

Centrální deprese je od okrajových konsolidovaných ker, vyznačených přímou transgresí pliocénu na předneogenní podloží (St. Lunga 1965), oddělena výrazně majcichovským a seredským systémem na Z a velkozálužským systémem na V. Asymetrická stavba prohlubně prokazuje intensivnější poklesy podle zlomů při z. okraji (Z. Adam 1963, 1964). Silně diferencovaná subsidence s maximální mocností vrstev při z. okraji a synsedimentární redukcí k V je patrná především v tortonu, zatímco v sarmatu a pliocénu jsou již rozdíly v subsidenci relativně menší.

Pro stanovení funkce zlomů v tortonu nemáme přímé doklady. Podle revize seismických podkladů z j. části zálivu předpokládáme např. ve srovnání s hodnocením K. Holzbauera — R. Lukášové — Z. Adama — J. Vaška (1964) a Z. Adama (1964, 1965), nesrovnatelně vyšší mocnosti tortonu než na vrtbách V. Zalužie-1 (nezastihla normální nekrácený profil) a Sered (vysoké kry) a celkově větší hloubku reliefu podloží. Maximální rozdíly v diferenční subsidenci můžeme očekávat v tortonu včetně spodního oddílu tortonu. Svědčí na to nejlépe seismickými podklady prokázaná diferencovaná subsidence, nejintensivnější právě v nejhlbších částech neogénu, které lze přiřadit ke spodnímu oddílu tortonu. Poněvadž počátek vzniku topolčanského zálivu včetně souběžné zlomové tektoniky je nutno klást do orogenetické fáze mezi lanzerdorskou sérií a tortonem, je možno uvažovat s nejintensivnější funkcí hlavních zlomů od počátku tortonu. K výraznému oživení dochází pravděpodobně též koncem spodního oddílu tortonu.

Výšku skoku zlomů na bázi tortonu v prostoru Merašic odhadujeme předběžně u majcichovského zlomu na cca 1 km, u seredského zlomu na cca 2 km a u hlavního velkozálužského zlomu, omezujícího depresi na V na cca 1 km. Předpokládáme, že mocnosti tortonu, zvláště jeho spodního oddílu narůstají intenzivně podle zlomů a jsou nesrovnatelně vyšší než na vrtbách Velké Zálužie-1 (nezastihla normální nekrácený profil) a Sered (vysoké kry).

Asymetrickou stavbu deprese lze předpokládat až do okolí Topolčan. Důležité je, že zlomy okrajových systémů ovlivnily patrně vývoj, stavbu a členění počínaje tortonem, a to zvláště v jeho spodním oddílu. Monoklinální stavba jjz.—ssv. deprese, s nejvyššími polohami u v. okraje vznikla zřejmě synsedimentárně, v závislosti na rozdílné mobilitě podloží, a bude se patrně projevovat též ve faciálním vývoji. V místech křížení nejvyšších poloh monoklinály u velkozálužského systému s vymezenými příčnými jednotkami lze předpokládat vznik uzavřených strukturních prvků. Na zvlnění osy jjz.—ssv. monoklinálny svědčí též prvé výsledky seismického průzkumu. Možnost uzavřených elevačních struktur, vázaných na sz.—jv. příčné jednotky se jeví především z. od Preselan a Jelšovců. S vlivem příčné tektoniky lze uvažovat především v bazálních částech tortonu, s vyzníváním směrem do nadloží a s novým oživením v pliocénu.

S. od Topolčan se bude ve stavbě a členění podle tíhového obrazu projevovat především vliv výše vymezených jjz.—vsv. a sz.—jv. jednotek, příp. vliv s.—j. tektoniky.

Pro řešení otázky přítomnosti a vývoje předtortonských vrstev nejsou k dispozici žádné podklady.

Hlavním problémem je otázka vývoje tortonu v zálivu. Na vrtbě V. Zálužie-1 byl v podloží sladkovodního vývoje navrtán mořský torton zóny aglutinancií v mocnosti cca 400 m. Předpokládá se, že spodní část tortonu včetně

báze je odříznuta zlomem (B. Gaža—St. Lunga 1964). V báňovské kotlině je znám pouze sladkovodní vývoj. Při maximálním rozsahu transgrese spodního oddílu tortonu předpokládáme, že s. omezení mořského vývoje tortonu by mohly tvořit teprve sz.—jv. a zjjz.—vsv. elevační jednotky v prostoru Chudé Lehota. Území směrem s., které se v paleogénu, burdigal-helvetu a patrně též karpatu projevovalo jako deprese, vázaná na depresní jednotky zjjz.—vsv. i sz.—jv. směru, mohlo být konsolidováno pohyby před tortonem, s oživením mobility v pozdějším vývoji. Může se jednat o analogii s poměry ve Vídeňské pánvi, kde na rozhraní zóny aglutinancí a zóny bolivino-buliminové a dále v sarmatu a pliocénu pozorujeme zaplavení s. dosud konsolidovaných oblastí, včetně protažení funkce zlomových systémů (V. Špička 1966)\*.

### Celkové zhodnocení paleogeografie a tektogeneze zálivu

V dnešním omezení, stavbě a členění zálivů mají převládající význam mladé jjz.—ssv. tektonické jednotky a je omezující zlomy. Jejich vznik klademe do orogenetické fáze mezi lanzendorfskou sérií a tortonem. Uplatňuje se synsedimentárně počínaje spodním oddílem tortonu a epigeneticky ovlivňují vertikální členění předtortonských vrstev včetně reliefu předneogenního podloží.

V obou záliech můžeme vymezit střední depresní zónu, tj. hlavní depresi a okrajové konsolidované kry s umírněnou subsidencí, které jsou vlastně součástí okraje, tvořeného jadernými pohořími. Tyto okrajové kry byly často v tortonu ještě souší a byly zaplaveny (především úseky přiléhající k depresní zóně) teprve v sarmatu nebo pliocénu, příp. v době maximální subsidence po vyznění kerné i bezzlomové diferenciace v tortonu. Předpokladáme, že po vyznění nejvýznamnější orogenetické fáze před tortonem byly od počátku tortonu činné zlomy, které oddělovaly depresní zónu s maximální subsidencí od oblasti okrajových konsolidovaných ker.

V diferenční subsidenci závislé na rozdílné mobilitě podloží a podmiňující a ovlivňující stavbu neogénu a relief podloží jsou rozdíly mezi pieštanským a topolčanským zálivem.

V trnavském i pieštanském zálivu probíhá centrum deprese zhruba uprostřed mezi M. Karpaty a Inovcem a inoveckou hráští. Maximální subsidence je v centrální části a ubývá jí směrem k okrajům. Zvláště stavba vůči z. okraji tvořenému M. Karpaty je syntetická se stoupáním a ubýváním mocnosti vrstev směrem k okraji. Obdobně je syntetickou též stavba vůči v. okraji, i když zde nemáme vždy dostatek podkladů pro jednoznačné posouzení stavby.

V topolčanském zálivu je charakteristický intenzivnější pokles z. okraje,

\* Nové výsledky vrtby Obdokovce-1 nejsou s tímto hodnocením v rozporu. Mořský vývoj tortonu zde byl zastižen v intervalu 2005—2270 m, přičemž se interpretuje zlomové krácení profilu (B. Gaža 1966).

tj. Inovce ve srovnání s v. okrajem. Centrální část deprese leží v blízkosti z. okraje pánve.

Tyto rozdíly ve stavbě, podmíněné odlišnou pozicí nejmobilnějších centrálních částí, jsou zřejmě podmíněny geneticky pohyby orogenetické fáze před tortonem. Založení rozdílné stavby může být v souvislosti s odlišnou pozicí starých tektonických prvků, které ovlivnily rozdílnou mobilitu podloží při založení nové jjz.—ssv. tektoniky.

V paleogeografii a tektogenezi zálivů se uplatňují významně též staré, v hlubokém předneoidním podloží zakotvené tektonické prvky, které jsou periodicky oživovány při alpinských horotvorných pochodech. V neogénu lze počítat s jejich nejvýraznějším uplatněním v předtortonských vrstvách, ve spodních částech tortonu a v pliocénu. Jedná se o zjjz.—vsv. a sz.—jv. tektonické prvky.

V zálivech se podařilo vymezit řadu elevačních a depresních jednotek sz.—jv. a zjjz.—vsv. směru. Některé z nich mají regionální platnost. Ze zjjz.—vsv. jednotek se jedná především o depresi v okolí Ostrova a Bánovců n. Bebr. a depresi v prostoru Dubové s průběhem k Partizánskému. Obě deprese jsou odděleny výraznou elevační zónou. Ze sz.—jv. jednotek patří k nejvýraznějším jv. pokračování jablonické deprese a hluckého poruchového pásmo. Zdá se, že hlucká zóna odděluje v generelu j. pro neogén mobilnější oblasti od s. okrajových a konsolidovaných ker. Ve Vídeňské pánvi je sv. od něho vyvinut nejsevernější výběžek pánve, v němž jsou zastoupeny pouze nejmladší sedimenty pontu a levantu. V piešťanském zálivu se domníváme, že pásmo odděluje j., v tortonu klesající a depresní oblast od s. elevační jednotky, která byla zaplavena příp. až v pliocénu. V topolčanském zálivu je na příčné pásmo vázán elevační hřbet. J. od něho je vyvinut pro torton mořský záliv, s. od něj pouze sladkovodní a kontinentální vývoj a místy pouze pliocén.

K zaplavení okrajové oblasti s. od příčné poruchové zóny dochází zřejmě především v období výrazného oživení resp. oslabení vlivu všech mobilních linií a jednotek zakotvených v podloží. Lze říci, že určitá jednotka podmínila v dalším vývoji mobilitu a pokles oblasti, přičemž tato mobilita měla za následek též oživení a uplatnění vlivu i dalších jednotek. Pokles a záplava končí na další příčné zóně, která zůstala konsolidovanou a stabilisovanou jednotkou. Podle regionálního obrazu vidíme, že tato zóna má různou pozici a proto je též rozsah zaplavené oblasti s. od příčné hlucké zóny proměnlivý. K tomuto pochodu dochází především v pliocénu za spolupůsobení různých tektonických jednotek. V pliocénu se záplava rozšiřuje i do oblastí, které byly dosud konsolidované a okrajové.

Např. v oblasti Vídeňské pánve je pokles vázán zhruba na oblast v. od elevační s.—j. osvětimanské kry. V piešťanském zálivu je rozsah záplavy pouze minimální a postihl zřejmě prakticky pouze oblast příčného mobilního pásmo.

V topolčanském zálivu je výrazným elevačním hřbetem, na jehož konfiguraci se zřejmě podílela jak sz.—jv., tak zjjz.—vsv. tektonika. Relativní depresí, na kterou může být vázáno však pouze jen sladkovodní jezero, se stává oblast s. od tohoto hřbetu. V jejím poklesu se uplatnil provořadě vliv s.—j. tektoniky, který podmínil pokles oblasti ovlivněný samozřejmě poklesem území s. a j. od příčných nebo podélných zjjz.—vsv. konsolidovaných jednotek.

Paleogeografie a tektogeneze zálivů je výslednicí kombinace 4 směrově i geneticky odlišných tektonických prvků.

### K perspektivnosti zálivu pro naftu a plynu

Řešení perspektivnosti zálivů je též s přihlédnutím k negativním výsledkům v celé pánvi značně obtížným problémem. Piešťanský záliv navazuje na trnavskou prohlubeň, kde byly získány poměrně hojné stopy živic. V blízkosti zálivů resp. v jejich j. části byla navrácena perspektivní souvrství tortonu.

Celkově lze říci, že za perspektivní můžeme v obou zálivech považovat pouze centrální depresi jjz.—ssv. směru, omezenou okrajovými krami, které jsou vyznačeny malou mocností neogénu a tvoří vlastně součást okraje pánve. Tuto depresi lze považovat rozměry, stavbou a perspektivností v hrubých rysích za analogickou s moravskou ústřední prohlubní ve Vídeňské pánvi. Je zde ovšem zásadní rozdíl v tom, že podloží neogénu zálivů zde netvoří i během neogénu silně mobilní vnější flyšové Karpaty, nýbrž relativně konsolidované centrálně karpatské jednotky.

Perspektivnost zálivů pro neogén je nutno posuzovat především z hlediska těchto faktorů:

1. *Otázka přítomnosti nejperspektivnějšího souvrství mořského tortonu.* Mořský torton je možno předpokládat ve velké části zálivů zhruba k linii spojující Nové Mesto n. V. a Topolčany. V bazálních vrstvách tortonu lze očekávat vhodné kolektory. V tomto ohledu byl získán příznivý výsledek na vrtbě Nižná-1. Při diferencované subsidenci jsou pravděpodobné litologickými změnami podmíněné zóny vyklínění.

Z hlediska přítomnosti a vývoje tortonu lze hodnotit zálivy v zásadě příznivě.\*

2. *Otázka možnosti vzniku uzavřených struktur.* Z tohoto hlediska lze očekávat v zásadě příznivé poměry. Uzavřené elevační struktury zde mohou vzniknout následkem kombinovaného vlivu směrově různých elevačních jednotek,

\* Proti kladnému hodnocení nesvědčí ani výsledek nové vrtby Obdokovce-1. Mořský vývoj zde byl zastižen v mocnosti 265 m, přičemž nepřítomnost bazálního souvrství se vysvětluje tektonicky (B. Gaža 1966a). Mocnost tortonu lze tedy pokládat za dostatečnou. Pro srovnání je možno uvést, že na ložisku Hrušky ve Vídeňské pánvi jsou pelity zóny aglutinancí mocné maximálně cca 200 m.

jednak hlubokého předneoidního založení (zjz.—vsv., sz.—jv., s.—j.), jednak vzniklých mezi lanzendorfskou sérií a tortonem. Elevační struktury mají při převládající jjz.—ssv. tektonice možnost těsnění u zlomů s velkou výškou skoku.

Samostatným problémem je v rámci těchto struktur možnost vzniku uzavřených pastí pro vznik akumulace nafty a plynu. V tomto ohledu jsou málo příznivé poměry z hlediska výskytu sladkých vod, které jsou vysvětlovány komunikací s povrchem. Jednoznačně nelze však tuto otázku zatím vyřešit.

V pieštanském zálivu vidíme hlavní perspektivy s. od depresní špačinecké oblasti v přilehlých elevacích na regionální elevační jednotce kátlovecké (interpretace elevace mezi Nižnou a Dubovany) a směrem s. na dalších možných uzavřených strukturách (u dechtického zlomu u D. Lopašova, v prostoru Borovců atd.).

V topolčanském zálivu považujeme za perspektivní především vrcholové části monoklinální centrální deprese v kombinaci se sz.—jv. jednotkami v okolí Preselan a Jelšovců a svahy resp. vrcholové části elevačních jednotek v prostoru Chudé Lehota, s možným vyklíněním mořského tortonu a vznikem uzavřených struktur různého typu.

Perspektivnost pro naftu a plyn nelze vyloučit též pro podloží příp. hlubší miocén ve vysokých polohách reliefu podloží a v rámci starých regionálně sledovatelných elevačních jednotek.

Pro vyřešení teoretických otázek i perspektivnosti pro naftu a plyn je nezbytné provést v celém rozsahu zálivů regionální gravimetrický a seismický průzkum a vyvrtat nezávislé hlubinné vrtby nezbytné pro interpretaci a vyjasnění geologických poměrů.

## Závěr

Provedené zhodnocení dosavadních údajů ukazuje, že otázky související s vyřešením paleogeografie a tektogeneze zálivů a jejich perspektivnosti pro naftu a plyn jsou značně rozsáhlé a složité. Jejich řešení je dosud pouze v počátečním stadiu.

Pro objasnění geologických poměrů budou nutné nejen výzkumné, nýbrž též ekonomicky velmi náročné průzkumné práce. V navázání na geofyzikální průzkum může hlavní problémy hlubinné stavby vyřešit pouze hlubinný průzkum. Poněvadž pro naftu a plyn jsou nejperspektivnější nejhlbší vrstvy tortonu, příp. jejich podloží, jedná se o ekonomicky značně nákladné práce. Hlavní úkol prvních vrtů je nutno spatřovat v získání normálního úplného profilu, jehož znalost je nezbytným předpokladem pro další práce. Výsledky, které byly dosud získány v tomto ohledu pro řešení poměrů v topolčanském zálivu (V. Zalužie-1, Obdokovce-1), jsou z tohoto hlediska málo uspokojivé.

## LITERATURA

- [1] Adam Z., 1964: Zpráva o geologických výsledcích geofyzikálního průzkumu v Podunajské nížině, Zprávy o geol. výzkumech v roce 1963, ÚÚG, Bratislava. — [2] Adam Z., 1965: Zpráva o geologických výsledcích geofyzikálního průzkumu v Podunajské nížině, Zprávy o geologických výskumoch v roku 1964. Bratislava. — [3] Adam Z. — Dlabač M., 1959: Geologická interpretace reflexní seismického měření v MDN, tektonické členění a rozbor struktur. Geofond Praha. — [4] Adam Z. — Dlabač M., 1961: Nové poznatky o tektonice Podunajské nížiny, Věstník ÚÚG, XXXVI, Praha. — [5] Adam Z. — Kadlecík J., 1961: Detailní zpracování reflexní seismického měření v sz. části Podunajské nížiny. Geofond Praha. — [6] Blížkovský M., 1963: Interpretace map vyšších derivací tříz v západní části Podunajské nížiny, — Geofond Praha. — [7] Blížkovský M. — Adam Z. — Odstrčil J. — Větrovská B., 1959: Závěrečná zpráva o gravimetrickém průzkumu prováděném v roce 1958, oblast MDN — Trnava. Geofond Praha. — [8] Blížkovský M. — Adam Z., 1962: Detailní gravimetrický průzkum severní části Podunajské nížiny (Pieštanský záliv). Geofond Praha. — [9] Brestenská Ed., 1963: Základný geologický výzkum pliocénu a vrchného miocénu SV části Podunajské nížiny. Zprávy o geologických výskumoch v roku 1963, ÚÚG, Bratislava. — [10] Buday T., 1961: Der tektonische Werdegang der Neogenbecken der Westkarpaten und ihr Baustil. Geologické práce, Zošit 60, Bratislava. — [11] Buday T., 1963: Tektogeneze karpatských neogenních pánví a jejich stavební styl. Geofond Praha. — [12] Buday T. — Cambel B. — Mahej M., 1962: Vysvetlivky k prehľadnej geologickej mape ČSSR 1:200.000 Wien — Bratislava. Praha. — [13] Buday T. — Cicha I. — Seneš J., 1965: Miozán der Westkarpaten — Bratislava. — [14] Buday T. s kol., 1963: Vysvetlivky k přehledné geologické mapě ČSSR 1:200.000, M-33-XXX, Gottwaldov, Praha. — [15] Buday T. — Menčík E. — Špička V., 1965: Geology of the basement of some West Carpathian neogenen basins. Geol. práce, Zprávy 37, Bratislava. — [16] Buday T. — Špička V., 1959: Geologický vývoj slovenských částí Vídeňské pánve ve světle podrobných výzkumů lakšárské elevace. Rozpravy ČSAV, řada MPV, 69, Praha. — [17] Buday T. — Špička V., 1964: Geologická stavba a relief podloží Podunajské pánve. Geofond Praha. — [18] Buday T. — Špička V., 1965: K problému geneze severních výběžků Podunajské pánve a jejich perspektivnosti pro naftu a plyn. Geofond Praha. — [19] Cicha I. — Tejkal J., 1965: Zum Problem d. sgn. Tortonischen Schichten im Miozán d. Westkarpaten. Geol. práce, Zprávy 36, Bratislava. — [20] Čajka R. — Pagáč I. — Kolesík J. — Kocák A. — Šteflík S., 1966: Zpráva o výsledcích geologicko-průzkumných prací a těžbě nafty a zemního plynu za rok 1965. Geofond Praha. — [21] Dlabač M., 1960: Duplicitní zpracování cf-průzkumu v oblasti Špačince. Geofond Praha. — [22] Dlabač M., 1961: Závěrečná zpráva souborného úkolu: Řešení vzniku a vyhledávání ložisek nafty a plynu v Malé dunajské nížině. Geologické zhodnocení. Geofond Praha. — [23] Dlabač M., 1963: Vztah zlomové tektoniky k lithologickému vývoji souvrství v miocénu a pliocénu Podunajské nížiny. Věstník ÚÚG, roč. XXXVIII, Praha. — [24] Dlabač M., 1964: Některé základní poznatky geologie nafty a zemního plynu v Podunajské nížině. Práce ústavu ČND, sv. XXI, publ. 93—98, Praha. — [25] Gaža B., 1963: Geologická zpráva o hlbokom vrtnom prieskume na kátloveckej hráští v r. 1961—62. Geofond Praha. — [26] Gaža B., 1964: Zpráva o pionierskom prieskume v oblasti Špačince v r. 1964. Geofond Praha. — [27] Gaža B., 1964a: Zpráva o hlbinnom prieskume kátloveckej hráště v r. 1963. Geofond Praha. — [28] Gaža B., 1966: Geologické zhodnotenie hlbokého štruktúrne stratigrafického vrtu Obdokovce-1. Geofond Praha. — [29] Gaža B., 1966a: Geologické zhodnotenie hlbokého

štruktúrne-stratigrafického vrtu Trakovice-I. Geofond Praha. — [30] Gaža B. — Lunga St., 1964: Zpráva o štruktúrnom prieskume elevacie V. Zálužie v roku 1963. Geofond Praha. — [31] Gaža B. — Lunga St. — Pagáč I. 1964: Nové výsledky z prieskumu v Podunajskej pánvi. Zprávy o geol. výzk. v r. 1963, Bratislava. — [32] Hadamovský F. — Adam Z., 1964: Výročná zpráva o detailním gravimetrickém měření provedeném v roce 1963 v MDN. Geofond Praha. — [33] Holzbauer K. — Lukášová R. — Adam Z. — Vašek J., 1964: Zpráva o reflexně seismickém průzkumu prováděném v roce 1963: Geofond Praha. — [34] Hromec J., 1961: Zpráva o štruktúrnom prieskume oblasti Bohdanovce—Špačince za rok 1959—60. Geofond Praha. — [35] Chmelík F., 1963: Geologie vnitrokarpatského paleogénu mezi Ružomberkom a Prešovem. Rukopis, Archiv ÚÚG Praha. — [36] Ibrmajer J. — Mottlová L., 1960: Zhodnocení gravimetrických a magnetických materiálů MDN. Geofond Praha. — [37] Kuthan M. s kol., 1963: Vysvetlivky k prehľadnej geologickej mape ČSSR 1:200.000 M-34-XXXI, Nitra—Bratislava. — [38] Lunga St., 1963: Zpráva o strukturním průzkumu v pieštanském zálivu za rok 1962. Geofond Praha. — [39] Lunga st., 1964: Geologická zpráva o štruktúrnom prieskume v pieštanském zálive za rok 1963. Geofond Praha. — [40] Lunga St., 1965: Geologická zpráva o strukturním průzkumu v Topolčanském zálivu za rok 1964. Geofond Praha. — [41] Mahel M. s kol., 1962: Vysvetlivky k prehľadnej geologickej mape ČSSR 1:200.000, M-34-XXV Žilina—Bratislava. — [42] Matějka A., 1949: Přehled geologických poměrů MDN. Geofond Praha. — [43] Müller K., 1957: Regionální magnetický průzkum a tektonická stavba MDN. Geofond Praha. — [44] Pagáč I., 1961: Zhodnocení průzkumu elevační oblasti Špačince. Geofond Praha. — [45] Pagáč I. 1964: Perspektiva živic v mezozoiku pod neogénom Podunajskej pánvy. Geol. průzkum, VI, 12, Praha. — [46] Pagáč I., 1965: Geologické zhodnotenie pieštanského výbežku a návrh dalších prieskumných prací. Geofond Praha. — [47] Pavelka L. — Adam Z. — Vašek J., 1963: Zpráva o reflexně seismickém průzkumu v Podunajské nížině, oblast trnavské prohlubně v roce 1962. Geofond Praha. — [48] Šamánek J. — Baláš J., 1957: Závěrečná zpráva o seismickém průzkumu prováděném v roce 1956, oblast MDN. Geofond Praha. — [49] Šutor A. — Čekan V. — Špak Fr., 1957: Závěrečná zpráva o tříhovém měření v oblasti Topolčany prováděném v oblasti Topolčany v roce 1956. Oblast MDN. Archiv ČND, závod geofyziky Brno. — [50] Vašek O. — Vašek J. — Beinhauerová M. — Adam Z., 1962: Zpráva o reflexně seismickém průzkumu v MDN, oblast trnavské prohlubně v roce 1961. Geofond Praha. — [51] Vejrostová M. — Adam Z., 1964: Zpráva o komplexním zpracování seismického měření v západní části Podunajské nížiny. Geofond Praha. — [52] Špička V., 1966: Paleogeografie a tektogeneze Vídeňské pánve a příspěvek k její naftové geologické problematice. Rozpravy ČSAV, ř. MPV, roč. 76, seš. 12, Praha. — [53] Špička V., 1966a: Příspěvek k paleogeografii a tektogenezi tortonu v Podunajské pánvi. Věstník ÚÚG Praha. XLII č. 1.

TIBOR BUDAY — VÁCLAV ŠPIČKA

## ZUR PALÄOGEOGRAPHIE UND TEKTOGENESE DER NÖRDLICHEN AUSLÄUFER DES DONAUBECKENS

In der vorliegenden Arbeit wird die Paläogeographie und tektogenetische Entwicklung des Piešťany - und Topolčany-Ausläufers vom Donaubecken in der Westslowakei behandelt. Beim vorneogenen Untergrund ist die Verbreitung der Grundeinheiten des Liegend-reliefs aufgezeichnet (siehe Beil. 1). Die Grenzen zwischen diesen Einheiten verlaufen quer durch die Ausläufer des Beckens und nicht parallel mit dem Rand der Kerngebirge.

Die Ausläufer des Beckens bildeten sich erst während der orogenetischen Prozesse zwischen der Absetzung der Lanzendorfer Serie und der Torton-Zeit.

Die paläogeographische und tektonische Entwicklung im Torton und in späteren neogenen Stufen ist durch die neu entstandenen SSW—NNE gerichteten Elevationen und Depressionen, bzw. durch die sie begrenzenden Bruchlinien bestimmt. In beiden Buchten unterscheiden wir *die Innendepressionen und konsolidierte Randschollen*, die zusammen mit dem vorneogenen Randgebiet eine Einheit bilden mit der Tendenz zur relativen Erhebung. Die geologischen Einheiten und Brüche dieses Systems, die angefangen mit dem tieferen Torton synsedimentär zur Geltung kommen, beeinflussten epigenetisch auch die Vertikalgliederung der vortortonischen Schichten, inclusive des vorneogenen Untergrundes.

Das Relief des Untergrundes und die Entwicklung, bzw. Bau des Neogens ist durch alte, im tiefen vorneogenen Untergrund wurzelnde NW—SE, WSW—ENE und N—S gerichtete Einheiten beeinflusst. In den vortortonischen Schichten kommen vor allem die WSW—ENE und NW—SE verlaufenden Einheiten zur Geltung; die tektonischen Bewegungen auf diesen Linien wurden auch während der orogenetischen Prozesse zwischen der Absetzung der Lanzendorfer Serie und der Torton-Zeit, bzw. auch später erneuert. Mit ihrem Einfluss ist vor allem anfangs der Torton-Zeit, incl. tieferer Sandschalerzone und im Pliozän zu rechnen. Auch die synsedimentäre Tätigkeit der WSW—ENE Brüche wurde nachgewiesen (der Bruch von Kátlovce und Dubovany in der Piešťany-Bucht). Später wurde der Verlauf der WSW—ENE Brüche vom Einfluss der SSW—NNE Bruchtektonik abhängig; nahe des konsolidierten Randes übernehmen die Brüche diese Richtung.

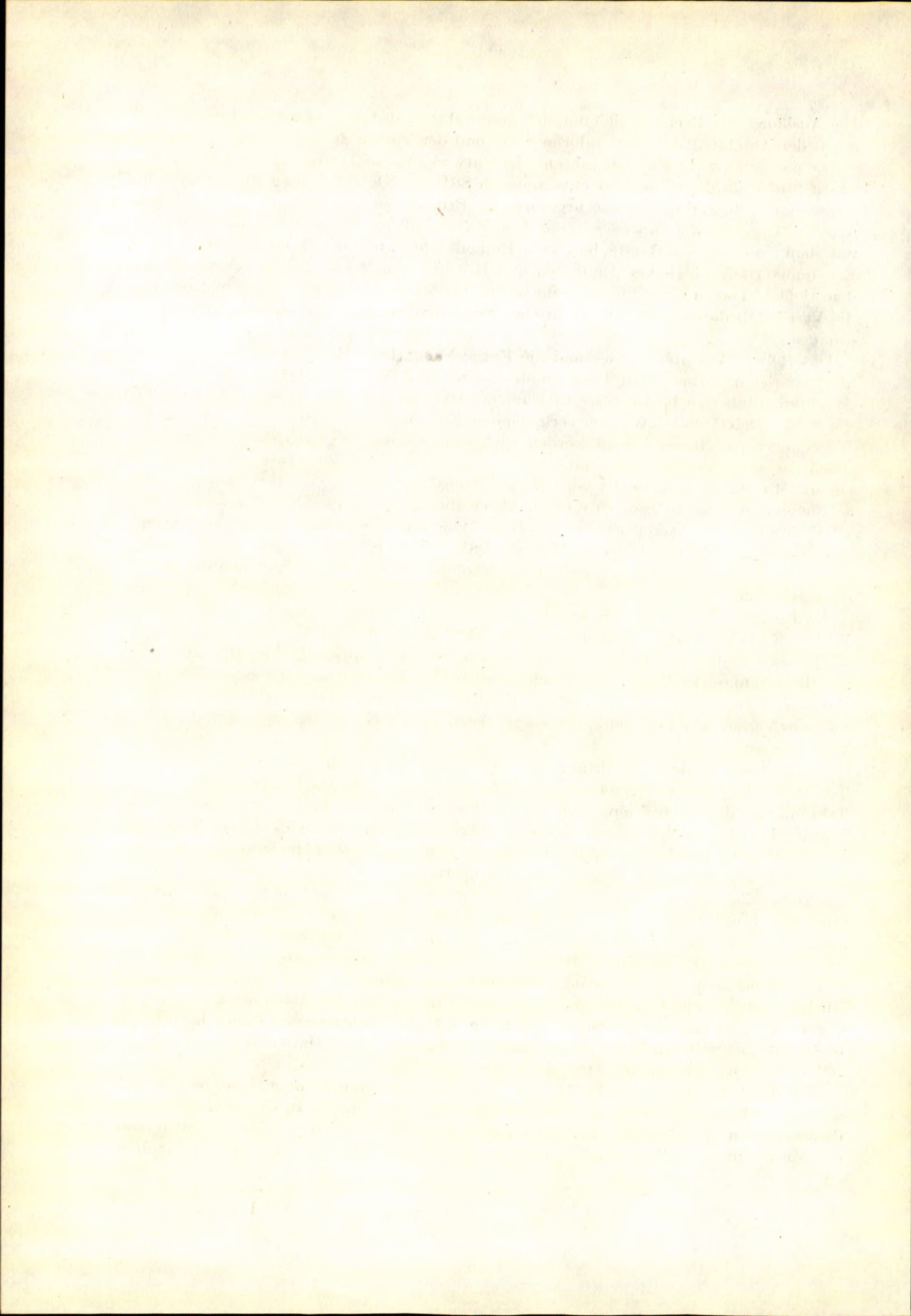
In der Arbeit werden auch Teilelevationen und Teildepressionen der NW—SE und WSW—ENE Richtung ausgegliedert (siehe Beil. 2).

Die nord-südlichen Elemente wurden wahrscheinlich hauptsächlich im Pliozän belebt. Auf ihren Einfluss schliessen wir örtlich aus dem Verlauf des vorneogenen Beckenrandes (im Kessel von Bánovce) und aus der Regelung der gravimetrischen Anomalien, bzw. aus dem Verlauf der Isolinien. Eine solche Belebung der N—S Elemente kann der Bruch von Bohunice vertreten.

Im weiteren wird die Funktion, bzw. die Genese und Verlauf aller wesentlichen im Torton und im späteren Neogen aktiven Brüche analysiert. Als Folge der SSW—NNE Tektonik ist die Zentraldepression in der Piešťany-Bucht von den Randschollen (im Westen) in Dechtice-System und in Osten in Trnava-System, in der Bucht von Topoľčany in ein Majcichov—Sered-System in Westen, und in Vlké Zalužie-System in Osten gegliedert. Die grösste Aktivität erreichten die Hauptbrüche dieser Systeme am Anfang der Torton-Zeit, als es zur maximalen Differenzierung der Subsidenz kam. Der WSW—ENE Bruch von Kátlovce war vom Anfang der Ablagerung der Bolívina-Bulimina-Zone an, der von Dubovany im tieferen Torton tätig. In der höheren Sandschalerzone löscht der letztere aus. Der Bruch von Bohunice kann nur eine pliozäne Störung vorstellen.

Im allgemeinen wird die paläogeographische und tektogenetische Entwicklung beider Buchte, der Bau und Gliederung der neogenen Füllung und das Relief des Untergrundes durch vier verschiedene tektonische Systeme (was die Richtung und Genese anbelangt) bestimmt. Die grössere Bedeutung kommt den regional ausgedehnten WSW—ENE und NW—SE Elevationen und Depressionen zu.

Was das Vorkommen der Erdöl- und Erdgaslagerstätten anbelangt, kann man in einigen Buchtabschnitten günstige geschlossene Strukturen finden. In dieser Hinsicht dienen die Aufmerksamkeit die älteren regional verbreiteten Elevationen, wo auch dank der Mitwirkung der jüngeren Tektonik geeignete Strukturen gebildet werden konnten.



MILOŠ SIBLÍK

## RAMENONOŽCI NORU Z LOKALITY DRNAVA (SLOVENSKÝ KRAS)

Předložená práce se zabývá zpracováním svrchnotriasových ramenonožců z klasické lokality Bleskový prameň u Drnavy ve Slovenském krasu, odkud svého času popsal ramenonožcovou faunu včetně několika nových druhů A. Bittner (1890). Spolupráci pracovníků Geologického ústavu D. Štúra a Geologického ústavu SAV v Bratislavě bylo roku 1964 provedeno nové odkrytí této lokality, v té době již značně zašlé. Při paleontologických sbírech hlavně v letech 1964 a 1965 byl získán rozsáhlý materiál, zahrnující více živočišných skupin, který je v současné době specialisty zpracováván. Výsledky studia ramenonožců jsou uvedeny v tomto článku. Kromě mých vlastních sběrů, uložených v Geologickém ústavu ČSAV v Praze, jsem měl k dispozici díky laskavosti pracovníků výše uvedených bratislavských ústavů i jejich bohaté sběry. Hlavní část zkamenělin, získaných novými sběry v Drnavě, je uložena ve sbírkách Geologického ústavu SAV v Bratislavě.

Lokalita Bleskový prameň u Drnavy je v literatuře známa svou t. zv. *smíšenou faunou noricko-rétského stáří*. Nesnadnost přesného stratigrafického zařazení lokality je způsobena nálezy ramenonožců, známými dosud jen z rétu, a současně nacházenými amonity norického stáří [sevat — zpracování odtud souborně E. Mojsisovicem (1896), resp. částečně revizováni D. Andrusovem a J. Kováčikem (1955) a v současné době V. Andrusovovou (dosud nepublikováno)]. Nové sběry na lokalitě dokázaly, že fauna ramenonožců a amonitů se vyskytuje opravdu společně, čímž byla vyloučena domněnka, že nesrovnatosti, týkající se stáří lokality, mohly být způsobeny smícháním fauny pocházející ze dvou nebo více poloh.

Na podobné problémy t. zv. smíšených noricko-rétských faun narazil u nás již na př. M. Mahel (1957) ve Stratenské hornatině. Obdobné problematické fauny jsou popsány i z Bulharska, Rumunska a Sovětského svazu. Podrobně se jimi zabýval A. S. Dagys při monografickém zpracování svrchnotriassových ramenonožců jižních částí Sov. svazu (1963). Poněvadž společenstvu amonitů se přisuzuje rozhodující význam pro stratigrafické hodnocení lokalit, musíme připustit norické stáří i pro některé druhy ramenonožců, považované

dosud za pouze rétské. K stejnemu závěru dospěl u řady druhů A. S. Dagys (1963). V podstatě však jde o pochopitelný fakt, neboť ramenonožcové fauny rétu byly ve srovnání s norem v minulosti častěji sledovány, a jednotlivým druhům v rétu nacházeným se proto často přisuzovala i hodnota vůdčích rétských zkamenělin.

V nových sbírech z lokality Bleskový prameň u Drnavy jsem určil následující ramenonožce: *Zeilleria norica* (Suess), *Zeilleria elliptica* (Zugm.), *Zeilleria austriaca* (Zugm.), *Aulacothyropsis conspicua* (Bitt.), *Rhaetina pyriformis* (Suess), *Lobothyris hungarica* (Bitt.), *Triadithyris gregariaeformis* (Zugm.), *Thecospira sturzenbaumi* (Bitt.), *Neoretzia superbescens* (Bitt.), „*Retzia*“ aff. *arara* Laube, ? *Pexidella* aff. *strohmayeri* (Suess), *Koninckina leopoldiaustriae* Bitt., *Lepismatina austriaca* (Suess), *Zugmayerella kossenensis* (Zugm.), *Laballa suessi* (Winkler), *Guseriplia acerrima* (Bitt.), *Sinucosta subtilicostata* (Bitt.), *Halorella amphitoma* (Bronn), ? *Euxinella* sp., „*Rhynchonella*“ *fissicostata* Suess, „*Rhynchonella*“ *subrimosa* (Schafh.). Většina jsou druhy, které musíme dnes považovat za noricko-rétské. Pouze *Halorella amphitoma* je vysloveně norickým druhem. Jen v noru byly nalezeny i některé další druhy z Drnavy, ale ty se vyskytují velmi zřídka, takže nemohou být ke stratigrafickým závěrům zatím použity. Chybí druhy, které se jinde v čs. Karpatech vyskytují v doprovodu rétského společenstva mlžů, a které zatím můžeme považovat za charakteristické pro rét. Jedná se hlavně o druh *Rhaetina gregaria* (Suess) a *Austrirhynchia cornigera* (Schafh.).

Výplně schránek ramenonožců z drnavské lokality jsou překrystalovány, což ztížilo nebo i znemožnilo získat všechny potřebné údaje o vnitřní stavbě jednotlivých druhů.

#### POPIS RAMENONOŽCOVÉ FAUNY

##### *Zeilleria* Bayle, 1878

###### *Zeilleria norica* (Suess, 1859)

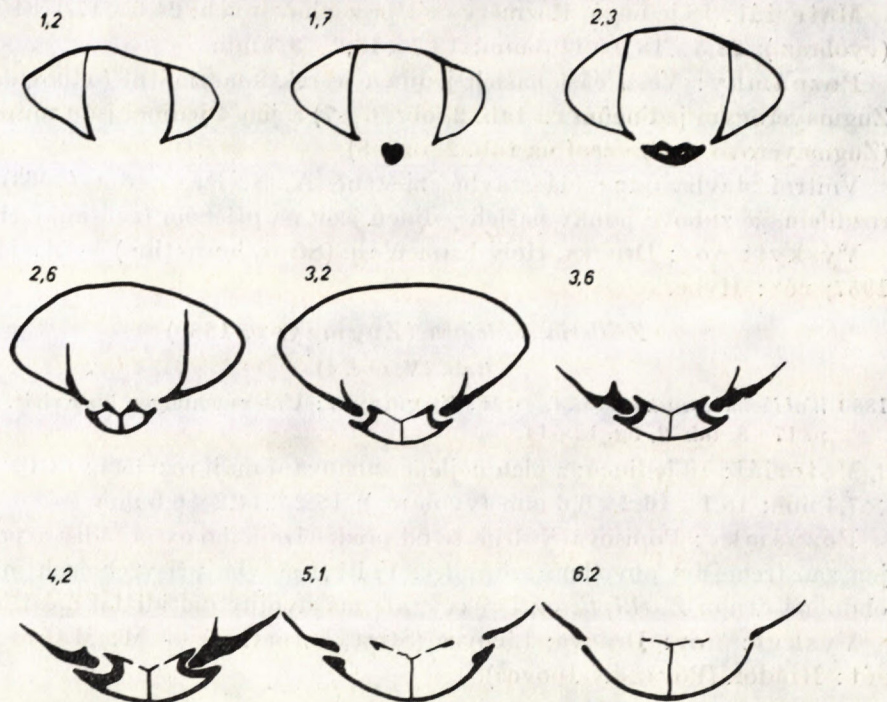
(text. obr. 1; tab. I, obr. 2)

1854 *Terebratula cornuta* Sowerby.— E. Suess: Über die Brach. etc., p. 38—40, tab. 2, fig. 10; tab. 3, fig. 1—5.

1859 *Waldheimia norica* Suess (*T. cornuta* Sow. Suess).— A. Suess in v. Hauer: Jura im NO Ungarn, p. 46.

1963 *Zeilleria norica* (Suess).— A. S. Dagys: Vérchnětrias. brach. etc., p. 197—8, tab. 29, fig. 9—10.

Materiál: 160 jader se zbytky misek. Rozměry některých charakteristicických jedinců:  $34,1 \times 27,1 \times 14,2$  mm;  $28,0 \times 19,5 \times 15,5$  mm;  $26,0 \times 24,0 \times 15,5$  mm;  $24,9 \times 22,3 \times 11,2$  mm (vyobraz.);  $18,1 \times 15,3 \times 11,0$  mm;  $12,3 \times 10,2 \times 5,8$  mm.



Obr. 1. *Zeilleria norica* (Suess). Seriální řezy znázorňující vnitřní stavbu. Délka jedince 27,5 mm. Hřbetní septum dosahuje do 9,9 mm;  $\times 3$ . — Všechny text. obrázky vnitřní stavby jsou orientovány hřbetní miskou dolu.

**Poznámky:** Vnitřní stavba — Zubové lišty jsou subparallelní a dosti krátké. Zámkové destičky nejsou zřetelně odděleny od vnitřních stěn zubových jamek. Septaliové destičky vytváří široké a mělké septalium; jejich vnitřní části zůstávají poměrně dlouho ve spojení se septem. Délka lišťovitého hřbetního septa odpovídá asi jedné třetině celkové délky jedinců.

Popisovaný druh se liší od ostatních triasových zeillerií strangulátními schránkami (přítomností brázd na obou miskách) a značně vtaženým-konkávním předním okrajem schránky (na hřbetním pohledu).

**Výskyt:** nor: Drnava; rét: Hybe a j.

#### *Zeilleria elliptica* (Zugmayer, 1880)

(tab. I, obr. 1)

1880 *Waldheimia elliptica* n. f. — H. Zugmayer: Untersuchungen über rhät. Brach. p. 17, tab. 2, fig. 6—8, 10.

1963 *Zeilleria elliptica* (Zugmayer). — A. S. Dagys: Věrchnětrias. brach. etc., p. 192—3, text-fig. 92, tab. 28, fig. 10—13.

Materiál: 18 jedinců. Rozměry nejlépe zachovaných:  $24,9 \times 17,1 \times 10,6$  mm (vyobraz.);  $23,5 \times 18,0 \times 11,5$  mm;  $19,7 \times 13,2 \times 9,3$  mm.

Poznámky: Větší část našich jedinců je rektimarginální (odpovídá tedy Zugmayerovým jedincům na tab. 2, obr. 6—7) a jen 4 jedinci jsou uniplikátní (Zugmayerovo vyobrazení na tab. 2, obr. 8).

Vnitřní stavba odpovídá stavbě, zjištěné A. S. Dagysem (1963) s tím rozdílem, že zubové jamky našich jedinců jsou na příčném řezu mnohem širší.

Výskyt: nor: Drnava, Holý Kameň a j. (Strat. hornatina) — M. Maheľ, 1957; rét: Hybe.

#### *Zeilleria austriaca* (Zugmayer, 1880)

(tab. IV, obr. 4)

1880 *Waldheimia austriaca* n. f. — H. Zugmayer: Untersuchungen über rhät. Brach., p. 17—8, tab. 2, fig. 12—14.

Materiál: 16 jedinců; z nich nejlépe zachovaní mají rozměry:  $18,1 \times 18,0 \times 7,4$  mm;  $18,1 \times 16,2 \times 6,6$  mm (vyobraz.);  $15,2 \times 14,2 \times 6,6$  mm.

Poznámky: Popisovaný druh se od předcházejícího externě liší v podstatě jen zaostřenějším obvodem schránky. Vnitřní stavba při vrcholech misek je obdobná druhu *Z. elliptica* z Drnavy, ale má dvojité deltidální destičky.

Výskyt: nor: Drnava; Lipovec (Strat. hornatina) — M. Maheľ, 1957; rét: Hrádok (Považský Inovec).

#### *Aulacothyropsis* Dagys, 1959

##### *Aulacothyropsis conspicua* (Bittner, 1890)

1890 *Waldheimia (Aulacothyrus) conspicua* nov. spec. — A. Bittner: Brachiopoden etc., p. 279, tab. 26, fig. 4—6.

1957 *Waldheimia (Aulacothyrus) conspicua* Bittner — M. Maheľ: Geológia Strat. horn., p. 174, tab. 7, fig. 5—7.

Materiál: 2 poškozená jádra. Rozměry: cca  $15,5 \times 13,7 \times 9,2$  mm; cca  $9,5 \times 9,0 \times 4,3$  mm.

Poznámky: Naši jedinci mají ve srovnání s původními vyobrazeními Bittnerovými maximální šířku posunutou do přední třetiny schránky. Dorzální septum dosahuje téměř až k přednímu okraji schránky.

Výskyt: nor: Drnava; Holý Kameň, Červená skala, Geravy (Strat. hornatina) — M. Maheľ, 1957.

#### *Rhaetina* Waagen, 1882

##### *Rhaetina pyriformis* (Suess, 1854)

(text. obr. 2; tab. I, obr. 3)

1854 *Terebratula pyriformis* Suess. — E. Suess: Über die Brach. etc., p. 41, tab. 3, fig. 6—8.

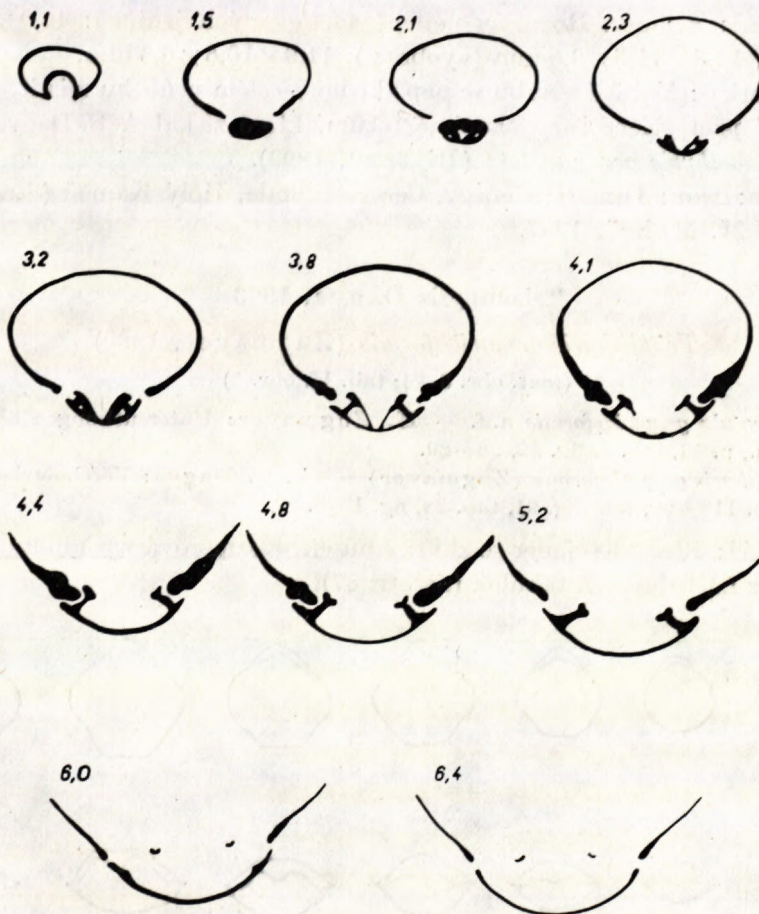
1890 *Terebratula piriformis* Suess. — A. Bittner: Brachiopoden etc., p. 278, tab. 26, fig. 1.

1957 *Terebratula pyriformis* Suess. — M. Maheř: Geológia Strat. hornatiny, p. 173, tab. 6, fig. 1—2.

1963 *Rhaetina pyriformis* (Suess) — A. S. Dagys: Věrchnětrias. brach. etc., p. 145—7, text-fig. 64, tab. 22, fig. 1—5.

Materiál: 145 jader. Charakteristické exempláře mají rozměry:  $42,1 \times 31,2 \times 17,0$  mm;  $23,1 \times 18,4 \times 10,0$  mm (vyobraz.);  $13,0 \times 9,5 \times 6,4$  mm.

Poznámky: Vnitřní stavba: Stvolový prstenec je vždy dobře vyvinut. Zubý jsou silné, kyjovitého tvaru, dentikula nízká a zaoblená. Zámkové destičky jsou šikmě a přecházejí zřetelně do septaliových destiček, které se protilehlými konci dotýkají dna misky. Výjimečně se septaliové destičky nejprve vzájemně spojí a stýkají se s miskou pomocí nízké mediální přepážky, takže vzniká mělké „septalium“.



Obr. 2. *Rhaetina pyriformis* (Suess). Seriální řezy znázorňující vnitřní stavbu. Délka jedince  $21,2$  mm  $\times 3$ .

Naši jedinci mají ve srovnání s jedinci A. S. Dagys (1963, text. obr. 64) mnohem kratší septaliové destičky a silnější zuby.

Výskyt: nor: Drnava; nor, resp. nor-rét: Havrania Skala, Dobšinská ľadová jaskyňa, Holý Kameň (Strat. hornatina) — M. Maheľ, 1957; rét: Hybe, Bystrý potok u Lubochně, sedlo pod Ždiarskou Vidľou (Belanské Tatry) a j.

#### **Lobothyris Buckman, 1914**

##### *Lobothyris hungarica* (Bittner, 1890)

(tab. I, obr. 4)

1890 *Terebratula hungarica* nov. spec. — A. Bittner: Brachiopoden etc., p. 278—9 tab. 26, fig. 2—3.

Materiál: 8 jader. Rozměry nejlépe zachovaných jedinců:  $16,0 \times 14,9 \times 9,4$  mm;  $12,8 \times 11,5 \times 8,0$  mm (vyobraz.);  $11,9 \times 10,5 \times 6,8$  mm.

Poznámky: Vnitřní stavbu se nepodařilo v celém průběhu zjistit. V zámkové části jsou příčné řezy obdobné řezům, které získal A. S. Dagys (1963) u druhu *Lobothyris praepunctata* (Bittner, 1890).

Výskyt: nor: Drnava; Geravy, Červená Skala, Holý Kameň (Strat. hornatina) — M. Maheľ, 1957.

#### **Triadithyris Dagys, 1963**

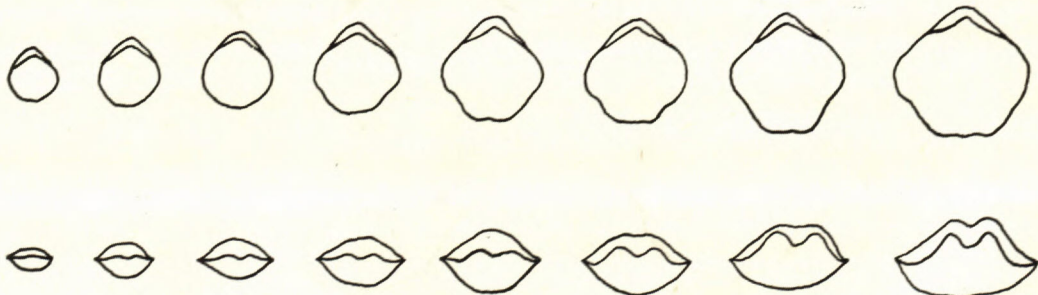
##### *Triadithyris gregariaeformis* (Zugmayer, 1880)

(text. obr. 3—4; tab. II, obr. 5)

1880 *Terebratula gregariaeformis* n. f. — H. Zugmayer: Untersuchungen über rhät Brach., p. 13, tab. 1, fig. 22, 26—29.

1963 *Triadithyris gregariaeformis* (Zugmayer) — A. S. Dagys: Vérchnětrias. brach. etc., p. 118—90, text-fig. 91, tab. 28, fig. 1—9.

Materiál: Přes 3300 jader se zbytky misek. Rozměrová variabilita jedinců je patrná z následujících tabulek (na str. 87).



Obr. 3. *Triadithyris gregariaeformis* (Zugm.). Růstová řada (hřbetní miska nahore)  $\times 1$ .

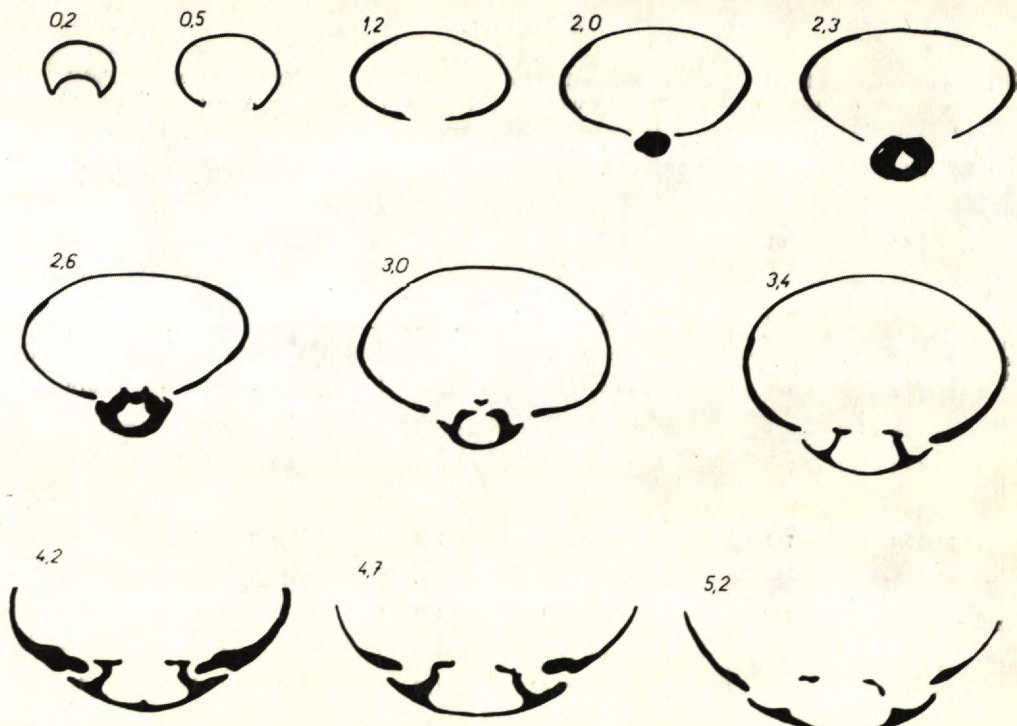
Tabuľka 1.

| Délka schránky<br>v mm | Počet<br>jedinců | Šířka schránky<br>v mm | Počet<br>jedinců | Výška schránky<br>v mm | Počet<br>jedinců |
|------------------------|------------------|------------------------|------------------|------------------------|------------------|
| 5,5 – 7,4              | 5                | 4,5 – 6,4              | 8                | 2,5 – 3,9              | 20               |
| 7,5 – 9,4              | 61               | 6,5 – 8,4              | 80               | 4,0 – 5,4              | 217              |
| 9,5 – 11,4             | 250              | 8,5 – 10,4             | 121              | 5,5 – 6,9              | 482              |
| 11,5 – 13,4            | 463              | 10,5 – 12,4            | 523              | 7,0 – 8,4              | 919              |
| 13,5 – 15,4            | 782              | 12,5 – 14,4            | 692              | 8,5 – 9,9              | 708              |
| 15,5 – 17,4            | 701              | 14,5 – 16,4            | 733              | 10,0 – 11,4            | 436              |
| 17,5 – 19,4            | 412              | 16,5 – 18,4            | 420              | 11,5 – 12,9            | 135              |
| 19,5 – 21,4            | 110              | 18,5 – 20,4            | 128              | 13,0 – 14,4            | 16               |
| 21,5 – 23,4            | 23               | 20,5 – 22,4            | 24               | 14,5 – 15,9            | 15               |
| 23,5 – 25,4            | 5                |                        | 2729             | 16,0 – 17,4            | 4                |
|                        | 2812             |                        |                  |                        | 2952             |

**Poznámky:** Vnitřní stavba je charakterizována přítomností stvolového prstence a dvojlaločného zámkového výběžku, vodorovnými zámkovými destičkami a velkými zubovými jamkami. Nápadné oddělení tenkých zámkových destiček od značně vyvinutých vnitřních stěn zubových jamek, o kterém se zmínil A. S. Dagys (1963), nebylo u našich jedinců zjištěno. Zubové lišty a hřebetní septum chybějí.

Značná variabilita schránek popisovaného druhu je z našeho rozsáhlého materiálu patrná a zcela odpovídá poznatkům, které učinil A. S. Dagys (1963).

**Výskyt:** nor: Drnava. Podle A. S. Dagyse (1963) se vyskytuje i v rétu.



Obr. 4. *Triadithyris gregariaeformis* (Zugm.). Seriální řezy znázorňující vnitřní stavbu.  
Délka jedince 18,2 mm.  $\times 4,5$ .

#### **Thecospira Zugmayer, 1880**

*Thecospira sturzenbaumi* (Bittner, 1890)

(tab. II, obr. 1)

1890 *Thecidium* (? *Thecospira*) *Stürzenbaumii* nov. spec. — A. Bittner: Brachiopoden etc., p. 280, tab. 26, fig. 16.

Materiál: 4 břišní misky. Vyobrazená miska má rozměry  $20,0 \times 25,3 \times 7,5$  mm.

Výskyt: nor: Drnava.

#### **Neoretzia Dagys, 1963**

*Neoretzia superbescens* (Bittner, 1890)

(tab. IV, obr. 1)

1890 *Retzia superbescens* nov. spec. — A. Bittner: Brachiopoden etc., p. 281–2, tab. 26, fig. 13–15.

1957 *Retzia superbescens* Bittner. — M. Mahel: Geológia Strat. hornatiny, p. 171–2, tab. 5, fig. 5–7.

1963 *Neoretzia superbescens* (Bittner) — A. S. Dagys: Věrchnětrias. brach., p. 131–4, tab. 20, fig. 4–10; tab. 21, fig. 1–2; text—fig. 59.

**Materiál:** 29 jedinců. Vyobrazený jedinec má rozměry 20,5 (délka hřbetní misky  $16,4 \times 17,9 \times 12,8$  mm. Obdobně rozměry jiných jedinců jsou 24,0 ( $20,8 \times 17,5 \times 12,3$  mm; 17,0 ( $14,7 \times 15,6 \times 10,4$  mm.

**Poznámky:** Vnitřní stavba posterální části schránky našich jedinců odpovídá řezům, získaným A. S. Dagysem (1963, text. obr. 59) s rozdílem, že jedinci z Drnavy nemají pozorovatelný stvolový prstenec a mají zřetelně kratší hřbetní septum.

Popisovanému druhu je nejbližší rétský druh *Neoretzia (?) superba* (Suess), který se vyznačuje větvenými žebry.

**Výskyt:** nor: Drnava; Geravy (Strat. hornatina) — M. Maheř, 1957.

### **Retzia King, 1850; s. l.**

,,Retzia“ aff. *arara* Laube, 1866

(tab. II, obr. 4)

**Materiál:** 1 jádro s odlomeným vrcholem břišní misky. Rozměry: délka hřb. misky 13,0; šířka schránky cca 11,5; výška schránky 9,1 mm.

**Poznámky:** Nalezený jedinec se liší od druhu „*Retzia“ arara* Laube především větší velikostí (délka Laubeho originálu je 7 mm), přímým předním okrajem a širšími brázdami obou misek. Charakter vrcholu břišní misky není pro poškození možno stanovit.

**Výskyt:** nor: Drnava. Druh „*R.“ arara* je udáván z karnu (C. Diener, 1920).

### **Pexidella Bittner, 1890**

? *Pexidella* aff. *strohmayeri* (Suess, 1855)

(tab. II, obr. 3)

**Materiál:** 1 jádro s rozměry?  $16,5 \times 11,6 \times 10,3$  mm.

**Poznámky:** Náš jedinec se liší větší velikostí a málo výraznou plikací od jedince, kterého z Drnavy popsal a vyobrazil A. Bittner (1890) jako *Spiriger Strohmayeri* Suess (na vysvětlivkách k Bittnerovým tabulím je označen *S. cfr. Strohmayeri*). Pravá *P. strohmayeri* (Suess) je však poměrně širší a má vysokou nebo alespoň výraznou plikaci. Vrchol její břišní misky není tak silně vyvinut jako u jedinců z Drnavy.

**Výskyt:** nor: Drnava.

### **Koninckina Davidson, 1853**

*Koninckina leopoldiaustriæ* Bittner, 1890

(tab. II, obr. 2)

1890 *Koninckina Leopoldi Austriae* nov. spec. — A. Bittner: Brachiopoden etc., p. 232—3, tab. 16, fig. 1—4.

Materiál: 2 poškozená jádra břišní misky. Vyobrazený jedinec má rozměry  $19,1 \times 27,0$  mm.

Výskyt: nor: Drnava.

### **Lepismatina Wang, 1955**

#### *Lepismatina austriaca* (Suess, 1854)

(tab. III, obr. 2–3)

1854 *Spirifer Münsteri* Davidson var. *austriaca* — E. Suess: Über die Brach. etc., p. 51, tab. 2, fig. 4–5.

1963 *Lepismatina austriaca* (Suess) — A. S. Dagys: Vérchnětrias. brach. etc., p. 95–7, text-fig. 43, tab. 11, fig. 7–9.

Materiál: 6 jader břišních misek a 5 hřbetních misek. Rozměry břišních:  $21,0 \times 19,8$  mm; cca  $15,0 \times$  cca  $15,0$  mm (vyobraz.). Rozměry hřbetních:  $14,7 \times 18,1$  mm;  $9,5 \times 14,0$  mm (vyobraz.).

Výskyt: nor: Drnava; nor-rét: Dobšinská Iad. jaskyňa (Strat. hornatina) — M. Maheľ, 1957; rét: Hybe.

### **Zugmayerella Dagys, 1963**

#### *Zugmayerella kossenensis* (Zugmayer, 1880)

1880 *Spiriferina Kössenensis* n. f. — H. Zugmayer: Untersuchungen über rhät. Brach., p. 28–9, tab. 3, fig. 2–3, 5, 13.

1963 *Zugmayerella koessenensis* (Zugmayer). — A. S. Dagys: Vérchnětrias. brach. etc., p. 100–2, text-fig. 45, tab. 13, fig. 1–4.

1964 „*Cyrtina*“ *kossenensis* (Zugmayer) — J. Pevný: Brachiopody etc., p. 160–1, tab. 4, fig. 4.

Materiál: 1 poškozené jádro břišní misky s rozlohou cca  $22,0 \times 18,5$  mm.

Výskyt: nor: Drnava; rét: Hybe, Bystrý potok u Lubochně, Plavecký Peter (Malé Karpaty) — J. Pevný, 1964.

### **Laballa Dagys, 1962**

#### *Laballa suessi* (Winkler, 1859)

(tab. III, obr. 1)

1880 *Spiriferina Suessi* — H. Zugmayer: Untersuchungen über rhät. Brach., p. 29, tab. 3, fig. 14–19.

1957 *Cyrtina suessii* Winkler. — M. Maheľ: Geológia Strat. hornatiny, p. 168–9, tab. 5, fig. 11.

1963 *Laballa suessi* (Winkler). — A. S. Dagys: Vérchnětrias. brach. etc., p. 88–91, text-fig. 39–40, tab. 9, fig. 4–9.

Materiál: 10 částečně poškozených jedinců a 1 hřbetní miska. Rozměry lépe zachovaných jedinců: ? (délka hřb. misky  $20,7 \times 27,0 \times$  cca  $21,0$  mm (vyobraz.);  $19,8 (18,9) \times 22,1 \times 18,0$  mm;  $14,9 (13,9) \times 26,3 \times 18,9$  mm).

Výskyt: ? karn: Sil. Brezová (Slov. kras) — J. Bystrický, 1964;  
nor: Drnava; nor-rét: Dobšinská Iad. jaskyňa (Strat. hornatina) —  
M. Maheľ, 1957.

### Guseriplia Dagys, 1963

#### *Guseriplia acerrima* (Bittner, 1890)

(tab. III, obr. 5—6)

1890 *Spiriferina Emmrichii* Suess var. *acerrima*. — A. Bittner: Brachiopoden etc.  
p. 284, tab. 26, fig. 9—10.

1957 *Spiriferina emmrichi acerrima* Bittner. — M. Maheľ: Geológia Strat. hornatiny,  
p. 166, tab. 5, fig. 3—4.

Materiál: 24 jader břišních misk a 5 hřbetních misk. Rozměry břišních:  
 $22,3 \times 23,2$  mm;  $19,0 \times$  cca  $24,0$  mm (vyobrazen);  $18,2 \times 19,4$  mm. Rozměry  
hřbetních:  $16,0 \times 24,1$  mm;  $15,3 \times$  cca  $25,5$  mm (vyobr.);  $13,2 \times 18,9$  mm.

Poznámky: A. Bittner (1890) popsal v rámci druhu *Spiriferina emmrichi* z Drnavy dvě „variety“ — jemně žebírkatou (viz níže jako *Sinucosta subtilicostata*) a hruběji žebernatou, která je zde popisována jako *Guseriplia acerrima*, a do jejíž synonymiky pravděpodobně náleží i *Guseriplia bittneri* Dagys, 1963.

*G. acerrima* se externě liší od rétského druhu *Sinucosta emmrichi* (Suess) celkově menší velikostí, napřímenějším a více odstávajícím vrcholem břišní misky, širší dobře ohraničenou areou a ostřejšími žebry. Samostatnost rodu *Guseriplia* a *Sinucosta* není dosud uspokojivě vyřešena. Tento fakt se objevuje i v Treatise on Invertebrate Paleontology — H, 1965, kde je *Guseriplia* s otazníkem kladena do synonymiky rodu *Sinucosta*.

Výskyt: nor: Drnava; nor-rét: Holý Kameň, Červená Skala, Gačovská Skala (Strat. hornatina) — M. Maheľ, 1957.

### Sinucosta Dagys, 1963

#### *Sinucosta subtilicostata* (Bittner, 1890)

(tab. III, obr. 4)

1890 *Spiriferina Emmrichi* Suess var. *subtilicostata* Bittn. — A. Bittner: Brachiopoden etc., p. 284, tab. 26, fig. 11.

1890 *Spiriferina (Cyrtina?) Boeckhii* nov. spec. — A. Bittner: ibid., p. 285, tab. 26, fig. 8.

1957 *Spiriferina emmrichi subtilicostata* Bittner. — M. Maheľ: Geológia Strat. hornatiny, p. 166—7.

Materiál: 2 jedinci. Vyobrazený má rozměry  $18,6$  (délka hřb. misky  $15,3$ )  $\times 18,9 \times 13,5$  mm. Druhý, mladý jedinec měří  $9,0 \times 10,1 \times 7,4$  mm.

Poznámky: Nás větší jedinec se liší téměř přímým zámkovým okrajem a vyšším a užším vrcholem břišní misky od Bittnerova holotypu. Menší jedinec, který nepochybě patří popisovanému druhu, je téměř totožný s popisem

a vyobrazením jiného nového Bittnerova druhu — *Spiriferina (Cyrtina?) Boeckhii*, stanoveného na základě nálezu jednoho jedince. Na Bittnerově vyobrazení tohoto jedince nejsou sice patrná slabá žebírka na břišní misce, v popisu je však jejich přítomnost zmíněna. *Spiriferina (Cyrtina?) Boeckhii* spadá tak zřejmě do synonymiky druhu *S. subtilicostata*.

Popisovaný druh se liší od druhu *S. emmrichi* (Suess) mnohem slabšími žebírkami na miskách a celkově značně menšími rozměry.

Výskyt: nor: Drnava; nor, resp. nor-rét: Holý Kameň, Gačovská Skala, Dobšinská ľadová jaskyňa, Havrania Skala (Strat. hornatina) — M. Maheľ, 1957.

### **Halorella Bittner, 1884**

#### *Halorella amphitoma* (Bronn, 1832)

1890 *Halorella amphitoma* Bronn. — A. Bittner: Brachiopoden etc., p. 183—5, tab. 18, fig. 3—9; tab. 19, fig. 1—25; tab. 20, fig. 1—19.

1957 *Halorella amphitoma* Bronn. — M. Maheľ: Geológia Strat. hornatiny, p. 163—4, tab. 5, fig. 1—2.

1963 *Halorella amphitoma* (Bronn). — A. S. Dagys: Vérchnětrias. brach. etc., text-fig. 17—19, tab. 5, fig. 8—12; tab. 6, fig. 1—12; tab. 7, fig. 1—3 (cum syn.).

Materiál: 1 jádro s rozměry  $?9,5 \times 11,6 \times 5,5$  mm.

Poznámky: Nalezený jedinec je nedospělý, s mělkou brázdou na hřbetní misce, břišní miska bez brázdy. Od většiny jedinců A. Bittnera se náš jedinec odlišuje ostřejším lomením zámkového okraje, a tím se shoduje s četnými jedinci A. S. Dagyse. Tento autor připomíná velkou proměnlivost tvaru schránek popisovaného druhu, týkající se hlavně celkového obrysу schránky, počtu žeber a výraznosti brázd. Uvádí, že pro mladé jedince je přítomnost brázdy na hřbetní misce charakteristická, a že během růstu tato brázda u části jedinců vymizí nebo jindy zůstává zachována a vyvíjí se zároveň s brázdou břišní misky, která se objevuje později.

Výskyt: ?karn: Sil. Brezová (Slov. kras) — J. Bystrický, 1964; nor: Drnava; Brezina, Matka Božia, Dobšinská ľad. jaskyňa, Geravy (Strat. hornatina) — M. Maheľ, 1957.

### **? Euxinella sp.**

Materiál: 3 jedinci, z nichž největší měří  $18,2 \times 21,3 \times 14,4$  mm.

Poznámky: Schránky jsou zavalitější, mají větší počet žeber ve srovnání s druhem „*Rh.*“ *fissicostata*, a chybí jim také výrazný val hřbetní misky.

Vnitřní stavba je charakterizována dvojitými deltidiálními destičkami, neprítomností septalia a hřbetního septa, a je značně podobná vnitřní stavbě jedinců druhu „*Rh.*“ *fissicostata* z Drnavy.

Výskyt: nor: Drnava.

**Rhynchonella Fischer, 1809; s. l.**

,,Rhynchonella“ fissicostata Suess, 1854

(text. obr. 5–6; tab. IV, obr. 2)

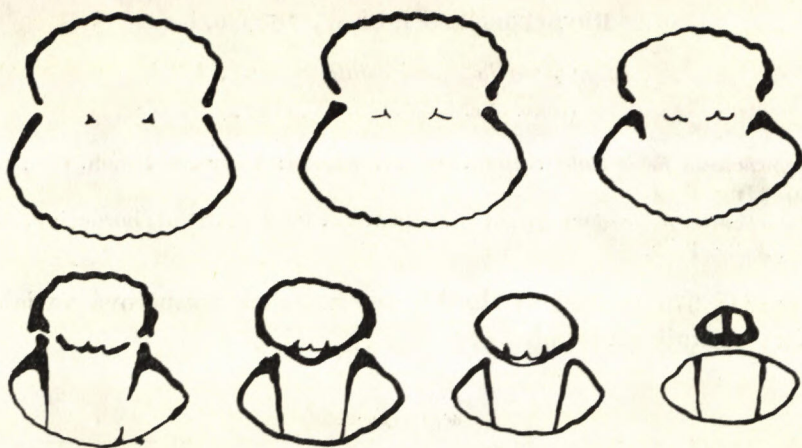
1854 *Rhynchonella fissicostata* Suess. — E. Suess: Über die Brach. etc., p. 58–9,  
tab. 4, fig. 1–4.

1957 *Rhynchonella fissicostata* Suess — M. Maheř: Geológia Strat. hornatiny, p. 157–8,  
tab. 3, fig. 1–3.

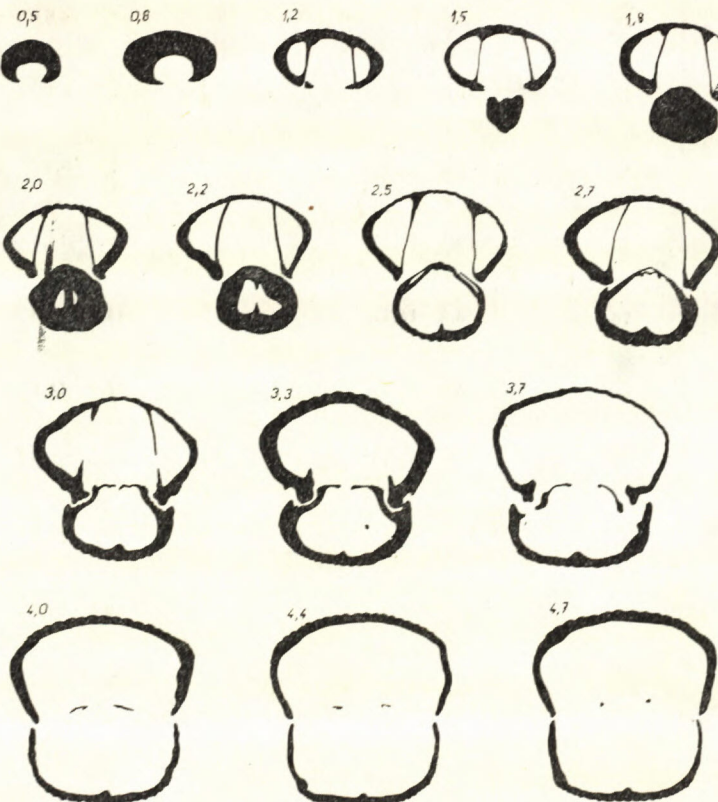
Materiál: 370 jedinců se zbytky misek. Jejich rozměrová variabilita je  
zřejmá z následujících tabulek.

Tabuľka 2.

| Délka schránky<br>v mm | Počet<br>jedinců | Šířka schránky<br>v mm | Počet<br>jedinců | Výška schránky<br>v mm | Počet<br>jedinců |
|------------------------|------------------|------------------------|------------------|------------------------|------------------|
| 6,5 – 8,4              | 16               | 5,5 – 7,4              | 5                | 3,0 – 4,9              | 12               |
| 8,5 – 10,4             | 11               | 7,5 – 9,4              | 5                | 5,0 – 6,9              | 23               |
| 10,5 – 12,4            | 19               | 9,5 – 11,4             | 9                | 7,0 – 8,9              | 37               |
| 12,5 – 14,4            | 45               | 11,5 – 13,4            | 22               | 9,0 – 10,9             | 68               |
| 14,5 – 16,4            | 76               | 13,5 – 15,4            | 53               | 11,0 – 12,9            | 95               |
| 16,5 – 18,4            | 86               | 15,5 – 17,4            | 45               | 13,0 – 14,9            | 61               |
| 18,5 – 20,4            | 51               | 17,5 – 19,4            | 76               | 15,0 – 16,9            | 32               |
| 20,5 – 22,4            | 11               | 19,5 – 21,4            | 56               | 17,0 – 18,9            | 13               |
| 22,5 – 24,4            | 4                | 21,5 – 23,4            | 23               | 19,0 – 20,9            | 7                |
|                        | 319              | 23,5 – 25,4            | 12               |                        | 348              |
|                        |                  | 25,5 – 27,4            | 3                |                        |                  |
|                        |                  |                        | 309              |                        |                  |



Obr. 5. „*Rhynchonella*“ *fissicostata* Suess. Vnitřní stavba mladého jedince. Délka jedince 10,2 mm.  $\times 5$ .



Obr. 6. „*Rhynchonella*“ *fissicostata* Suess. Seriální řezy znázorňující vnitřní stavbu. Délka jedince 15,8 mm.  $\times 3$ .

**Poznámky:** Počet žeber se pohybuje mezi 12—22 na jednu misku, z toho 3—9 (nejčastěji 6) připadá na val hřebtní misky. V některých případech je patrné rozdvojení žeber, a to přibližně v poloviční délce misek.

**Vnitřní stavba:** Poměrně dlouhé zubové lišty na průřezu dorzálně konvergují, u některých jedinců jsou subparalelní. Vertikální zuby jsou krenulátní, dentikula výrazná, ale krátká. Stvolový prstenec nebyl pozorován. Zámkové destičky jsou vodorovné, nezřetelně oddělené od vnitřních stěn zubových jamek. Vnější stěny zubových jamek jsou značně vyvinuty. K vytvoření septalia nedochází. Nízký euseptoid je vyvinut v celé zadní třetině hřebtní misky. Krura jsou raduliferního typu.

Popisovaný druh byl v poslední době kladen k rodu *Septaliphoria* Leidhold, 1921. Podle sdělení D. A. B. Pearsona (Imperial College London), který studoval materiál druhu „*Rh.*“ *fissicostata* na původních lokalitách Suessových, je toto zařazování nesprávné a jde pravděpodobně o nový rod. Pro to svědčí i zpracování typického druhu rodu *Septaliphoria* — *S. arduennensis* (Oppel) — (A. Childs, London, nepublikováno).

**Výskyt:** nor: Drnava; nor, resp. nor-rét: Dobšinská Iad. jaskyňa, Geravy, Holý Kameň, Havrania skala (Strat. hornatina) — M. Maheľ, 1957; rét: Plavecký Peter (M. Karpaty) — J. Pevný, 1964; Hybe, Mojtíň (Stráž. hornatina), Bystrý potok u Lubochňě.

,,Rhynchonella“ *subrimosa* (Schafhäutl, 1851)

(tab. IV, obr. 3)

1854 *Rhynchonella subrimosa* Schafhäutl. — E. Suess: Über die Brach. etc., p. 54—5, tab. 4, fig. 5—11.

1957 *Rhynchonella subrimosa* (Schafhäutl). — M. Maheľ: Geológia Strat. hornatiny, p. 160—1, tab. 4, fig. 1—4.

**Materiál:** 2 jádra; vyobrazené má rozměry  $13,0 \times 14,2 \times 11,2$  mm.

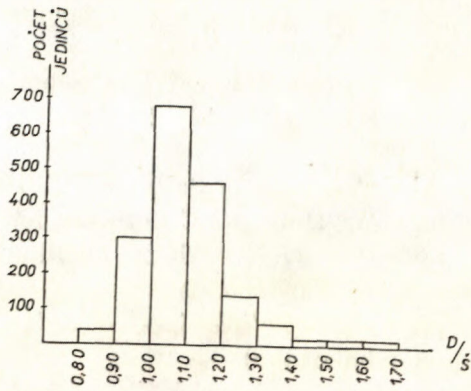
**Výskyt:** nor: Drnava; nor-rét: Havrania skala, Geravy (Strat. hornatina) — M. Maheľ, 1957; rét: Plavecký Peter (Malé Karpaty) — J. Pevný, 1964; Hybe.

*Geologický ústav ČSAV, Praha*

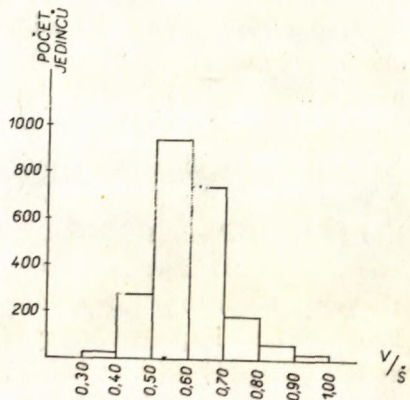
#### LITERATURA

- [1] Bystrický J., 1964: Slovenský kras. Stratigrafia a Dasycladaceae mezozoika Slovenského krasu. 1—204, Bratislava. — [2] Dagys A. S., 1963: Věrchnětriasový brachiopody juga SSSR. 1—248, Izdatelstvo Akademijí nauk, Moskva (zde další literatura). — [3] Maheľ M., 1957: Geológia Stratenskej hornatiny. Geologické práce, zoš. 48a, 1—201, Bratislava. — [4] Pevný J., 1964: Brachiopody severnej časti Malých Karpát. Geologické práce, Zprávy 33, 157—172, Bratislava.

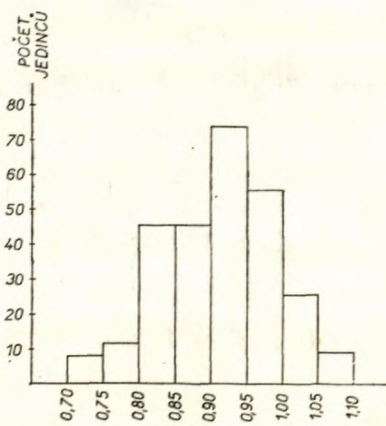
Grafické znázornění poměru délky (výšky) a šířky u druhu *Triadithyris gregariaeformis* a „*Rhynchonella*“ *fissicostata*



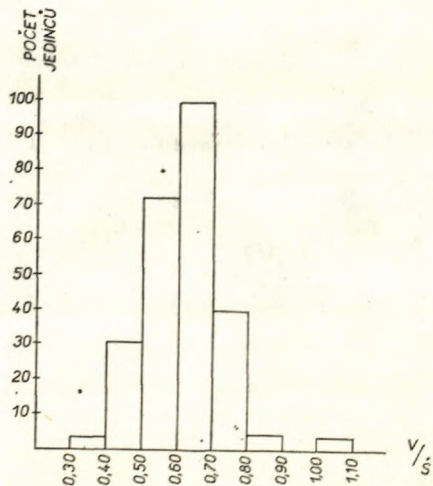
(a) *Triadithyris gregariaeformis* (Zugm.)  
— poměr délka : šířka.



(b) Jako sub (a), poměr výška šířka.



(c) „*Rhynchonella*“ *fissicostata* Suess —  
poměr délka : šířka



(d) Jako sub (c), poměr výška : šířka.

**THE BRACHIOPODS OF THE NORIAN LOCALITY DRNAVA  
(SOUTHERN SLOVAKIA).**

Among the new rich brachiopod material from the A. Bittner's (1890) locality „Bleskový prameň“ near the village of Drnava in the Southern Slovakia I determined the following species: *Zeilleria norica* (Suess), *Zeilleria elliptica* (Zugm.), *Zeilleria austriaca* (Zugm.), *Aulacothyropsis conspicua* (Bitt.), *Rhaetina pyriformis* (Suess), *Lobothyris hungarica* (Bitt.), *Triadithyris gregariaeformis* (Zugm.), *Thecospira sturzenbaumi* (Bitt.), *Neoretzia superbescens* (Bitt.), „*Retzia*“ aff. *arara* Laube, ?*Pexidella* aff. *strohmayeri* (Suess), *Koninckina leopoldiaustriae* Bitt., *Lepismatina austriaca* (Suess), *Zugmayerella kossenensis* (Zugm.), *Laballa suessi* (Winkler), *Guseriplia acerrima* (Bitt.), *Sinucosta subtilicostata* (Bitt.), *Halorella amphitoma* (Bronn), ?*Euxinella* sp., „*Rhynchonella*“ *fissicostata* Suess, „*Rhynchonella*“ *subrimosa* (Schafh.). Some brachiopods of the so-called Rhaetian type are found here associated with the Norian ammonites. The study showed that it is necessary to admit the Norian age for some brachiopod species, considered before to be only the Rhaetian elements.

Vysvětlivky k tabulím I—IV.

**Tab. I.**

1. *Zeilleria elliptica* (Zugm.). Inv. č. MS-7. × 1,5.
2. *Zeilleria norica* (Suess). GÚ SAV. × 1,5.
3. *Rhaetina pyriformis* (Suess). Inv. č. MS-8. × 1,5.
4. *Lobothyris hungarica* (Bittner). GÚ SAV. × 1,5.

**Tab. II.**

1. *Thecospira sturzenbaumi* (Bitt.). Inv. č. MS-10. × 1,5.
2. *Koninckina leopoldiaustriae* Bitt. Inv. č. MS-13. × 2,3.
3. ?*Pexidella* aff. *strohmayeri* (Suess). Inv. č. MS-11. × 1,5.
4. „*Retzia*“ aff. *arara* Laube. Inv. č. MS-12. × 1,5.
5. *Triadithyris gregariaeformis* (Zugm.). GÚ SAV. × 1,5.

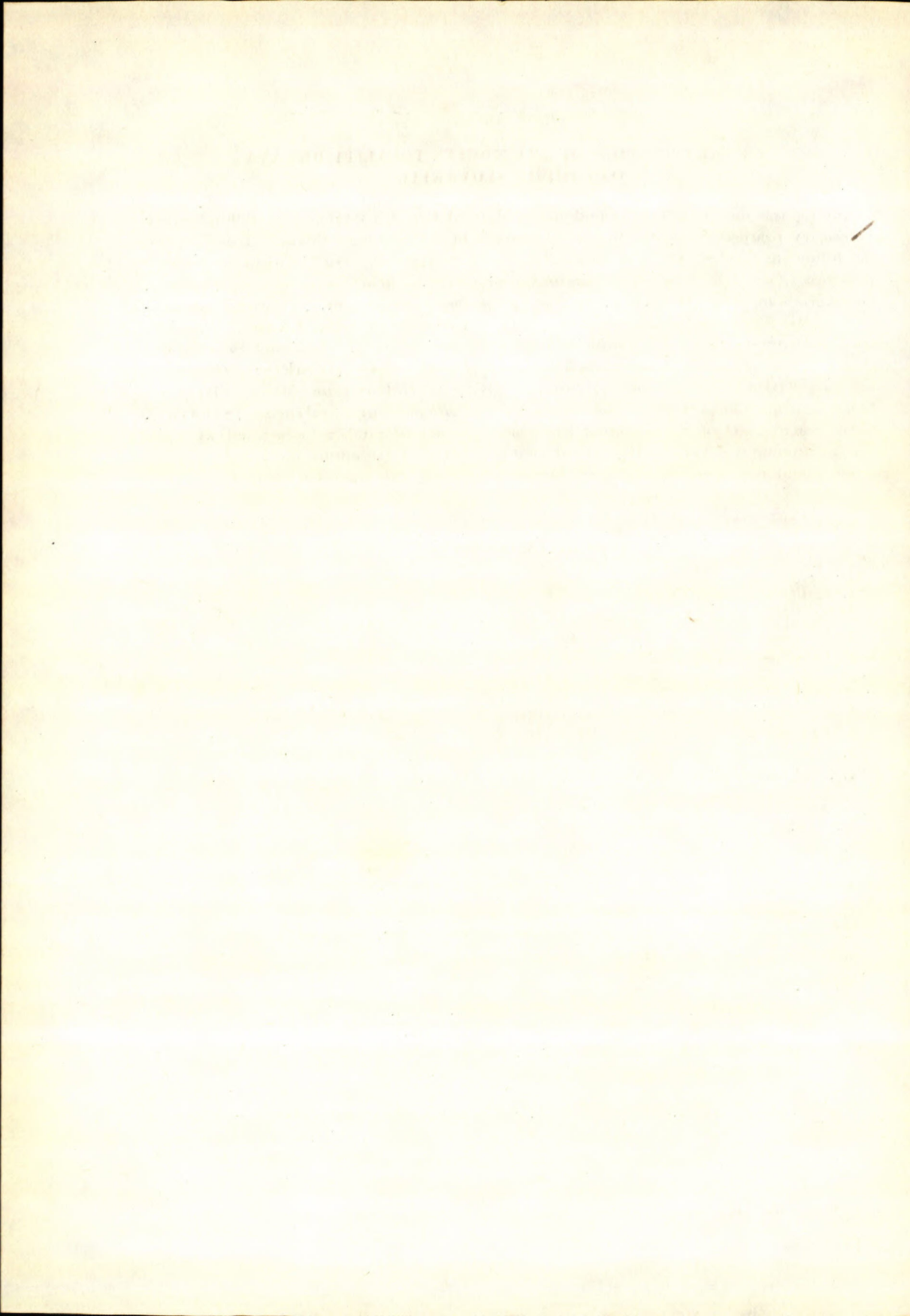
**Tab. III.**

1. *Laballa suessi* (Winkler). Inv. č. MS-15. × 1,5.
2. *Lepismatina austriaca* (Suess) — hřb. miska. Inv. č. MS-4a. × 2,3.
3. *Lepismatina austriaca* (Suess) — břiš. miska. Inv. č. MS-4b. × 1,5.
4. *Sinucosta subtilicostata* (Bitt.). Inv. č. MS-9. × 1,5.
5. *Guseriplia acerrima* (Bitt.) — hřb. miska. Inv. č. MS-6. × 1,5.
6. *Guseriplia acerrima* (Bitt.) — břiš. miska. GÚ SAV. × 1,5.

**Tab. IV.**

1. *Neoretzia superbescens* (Bitt.). Inv. č. MS-16. × 1,5.
2. „*Rhynchonella*“ *fissicostata* Suess. GÚ SAV. × 1,5.
3. „*Rhynchonella*“ *subrimosa* (Schafh.). Inv. č. MS-71. × 1,5.
4. *Zeilleria austriaca* (Zugm.). Inv. č. MS-5. × 1,5.

Foto na tab. I—IV L. Záporožcová. Jedinci byli pobělováni a orientováni hřbetní miskou nahoru. Uložení GÚ SAV značí sbírky Geologického ústavu SAV v Bratislavě; takto neoznačení jedinci jsou uloženi v Geologickém ústavu ČSAV v Praze.



G. KOLOSVÁRY

## VI. ANGABE ZUR KENNTNIS DER TRIASKORALLEN UND DER BEGLEITENDEN FAUNA DER ČSSR

Im März 1966 erhielt ich weiteres Material von Triaskorallen und der begleitenden Fauna zur Aufarbeitung vom Geologischen Institut Dionysus Šur in Bratislava (und zwar von Herrn Professor Dr. M. Mahel) aus Kleinen Karpaten, Strážov- und Jablonica-Gebirge. Es wurden weitere Neuigkeiten gefunden.

### Spongiarien

*Amblysiphonella* cf. *vesiculososa* Sieber (non Waagen et Wentzel)

Strážov-Gebirge: Omšenie, östl. d. Bžovík-Quelle in Nachbarschaft der Dolomite und Kovačeková Tal; N. Abh. des Žihlavník, weisse Kalke-Slatinka n/Bebravou von hellen Kalken, s. Abh. des Baška-Berges.

Amblysiphonellen sind permische Spongien. Nur *A. lorentheysi*, spec. indet., Vinassa, *timorica* und *vesiculososa* sind auch obertriassisch (8). Ich meine aber, dass sie auch die Mitteltrias durchgelebt haben müssten. — Röhrendurchmesser 8—25 mm; Zentralrohr max. 9×13 mm (schmal), so dass hier eine andere Art ausgeschlossen erscheint (13). Röhrenlänge cca 100 mm. Manche Exemplare rund, oder kugelartig, 15×15 mm gross. Nach Kühn (8) kommt die Art *A. vesiculososa* in Rhät der Osternhornguppe vor. Begleitende Fauna: Lamellibranchiaten, Gastropoden und Bryozoen.

Es wurden noch unbestimmbare Überreste von Spongien aus Kleinen Karpaten gefunden (Plavecké Podhradie unterhalb der Dolomite in Karlova Tal und s. der K. 541.5 Báborska; nördl. d. Podhradská Tales, höhere Lagen der weissen mitteltriassischen Kalke). Einige Funde ähneln sich der *Barroisia*. Begleitfauna: Hydrozoen, Gastropoden, Madreporarien und Lamellibranchiaten.

## Hydrozoen

### *Spongiomorpha dendroidea* Kühn

Kleine Karpaten: Plavecké Podhradie, Karlová Tal unter dem engen Dolomitstreifen in hellen Kalken.

Nach Flügel (4) und Kühn (7) leben diese Formen bis Oberjura. Unsere Art ist eine mitteltriassische, von Kühn aus Siebenbürgen beschrieben. Charakteristisch sind 1 mm hohe und 0.2 mm breite, kleine Höcker auf der Oberfläche der Hydrozoen-Kolonie.

### *Lamellata* sp. indet.

Kleine Karpaten: Plavecké Podhradie s. der K. 541.5 Báborská, nördl. des Podhradská Tales, höhere Lagen der weissen mitteltriassischen Kalke.

Näher unbestimmbare Überreste im Kalke eingebettet. Begleitfauna: Spongien, Gastropoden, Lamellibranchiaten und Madreporarien.

## Madreporarien

### *Myriophyllia* cf. *smolenicae* Kolosváry

Strážov-Gebirge: Omšenie, Kováčeková Tal, nördl. Abh. des Žihlavník, weisse Kalke.

Die Charakteristik des Genus siehe bei J. Alloiteau (1) p. 119, 250 und 282: *Myriophyllia* d' Orb. 1899. — Wand septothekal oder synaptikulär ausgebildet. Die Coenosepten sind vorhanden und Endothek besteht aus Dissepimenten; Septen bekörnelt.

|         | Durchmesser | Septen | Haupt-septen | Cyclus | Septen                | Kolumelle     |
|---------|-------------|--------|--------------|--------|-----------------------|---------------|
| Typ     | 11 × 11 mm  | 34     | 2            | 3      | dick u. starr         | klein         |
| Omšenie | 11 × 12 mm  | 50     | 2            | 3      | dick u. starr kompakt | klein substyl |

### *Myriophyllia* cf. *jekeliusi* Kühn

Strážov-Gebirge: Slatinka n/Bebravou, südl. Abh. des Baška-Berges in hellen Kalken.

Mehrere Exemplare gruppenweise vorkommend, in Kalken eingebettet und auserodiert samt zerbrochenen Koloniefragmenten von *Thecosmilia dawsoni* und Gastropoden. Die Kolumelle gross, spongiös. Die Septen von III. Ord. rudimentär ausgebildet und bekörnelt.

|          | Höhe   | Durchmess.   | Septen | Epithek | Haupt-septen | Cyclus | Septen-zahl |
|----------|--------|--------------|--------|---------|--------------|--------|-------------|
| Typ      | 5–8 mm | 1.5 × 3 mm   | ?      | stark   | 6            | 6      | ?           |
| Slatinka | ?      | 2.5 × 2.5 mm | grob   | stark   | 6            | 3      | 20–22       |

*Stylophyllopsis* sp. indet.

Kleine Karpaten: Plavecké Podhradie, Karlová Tal, unter dem engen Dolomitstreifen, helle Kalke.

Polypendurchmesser  $10 \times 11$  mm, Epithek dünn, Stachel-Septen vom jugendlichen Charakter, Anzahl nicht feststellbar. Septen von III. Ordn. rudimentär, auch fehlend. Samt *Thecosmilia badiotica*, *Cassianostroma*. Nach Kühn (8) unterscheidet sich *Stylophyllopsis* von *Stylophyllum* durch die Septen, die ziemlich steil gegen das Zentrum zu fallen. Nach Kühn (8) ist *Stylophyllum* für Nor und *Stylophyllopsis* für Rhät von stratigraphischer Bedeutung. Meiner Meinung nach kommt sie sporadisches auch in der Mittelrias vor.

*Montlivaltia* sp. indet.

Mehrere Überreste und jugendliche Polypen stammen aus: Kleinen Karpaten (Plavecké Podhradie, Karlová Tal unter dem engen Dolomitstreifen, und südlich der K. 541.5 Báborská, nördl. des Podhradské Tales in hellen Kalken).

*Montlivaltia obliqua* (Münster)

Kleine Karpaten: Smolenice, nördl. Abh. des Čelo-Berges in hellen Kalken; Plavecké Podhradie s. der K. 541.5 Báborská nördl. des Podhradské Tales, obere Lagen der weissen mitteltriassischen Kalke; SW Plavecké Podhradie in hellen Kalken unter den Dolomiten in Karlová Tal.

Junge und semiadulte Polypen-Überreste in Kalken eingebettet und mehr oder minder schräg ausgewittert (näheres in Lit. 13). — Ein mit  $9 \times 8$  mm bzw.  $6 \times 6$  mm Kelch- bzw. Basisbreite und 12 mm rumpfhoher Polyp innerhalb einer „leeren“ Gastropoden-Schale im Kalke, d. h. doppelt eingebettet und von mir geschliffen. Begleitfauna: Gastropoden, Lamellibranchiaten, Spongien, sowie Hydrozoen.

*Montlivaltia* cf. *marmorea* Frech

Kleine Karpaten: Plavecký Peter, am Kamme des Veterlin Berges in dunkleren Kalken.

Eine einzige eingebettete jugendliche Koralle mit gleich und dünn entwickelten feinen Septen aller Ordnungen. Rumpfhöhe des Polypes 35 mm,

Kelchgegendbreite 30 mm, stark ausgewittert (näheres in Lit. 13). Die Art ist nur obertriassisch. Die Begleitfauna: Gastropoden, Lamellibranchiaten, Madreporarien.

*Montlivaltia norica norica* Frech; Squires; Kolosváry (13, 16).

Kleine Karpaten: Smolenice im mittleren Teile des Čelo-Kammes in dunkelgrauen Kalken; Plavecký Peter am Kamme des Veterlin-Berges in dunklen Kalken; Plavecké Podhradie, Karlová Tal unter dem engen Dolomitstreifen in hellen Kalken, südl. der K. 541.5; Báborská im Podhradská Tale, höhere Lagen der weissen mitteltriassischen Kalke.

Eine sehr variable, elastische Art der Mittel und Obertrias. Es wurden 1—2 polyzentrische Formen, z. T. nur Steinkerne (Pseudomorphosen) gefunden. Maximalschlange des Polypes fand ich zur Zeit in 14—20 cm Höhe. Manche Polypen (im Kalke eingebettet) mit stereoplasmatischen Verdickungen z. T. peripherisch oder zentrisch. Begleitfauna: Gastropoden, Lamellibranchiaten, sowie Madreporarien.

*Montlivaltia norica slovakensis* Kolosváry

Kleine Karpaten: dunkle Kalke am Kamme des Veterlin-Berges.

Ich habe diese Subart schon in der ČSSR'schen oberen Trias zweimal gefunden. Dies ist der dritte Fund. Charakteristisch durch lobulären Kelchrand und ausserordentlich dicke Septen von I. Ordn. Endothek dicht. Die Unterart scheint ausschliesslich obertriassisch zu sein.

*Montlivaltia montis hierosolymorum* Papp

Kleine Karpaten: Smolenice, nördl. Abh. des Čelo Berges in hellen Kalken.

Ein einziges Polyp im Kalke eingebettet, dem Papp'schen Typ (15) ganz entsprechend. Kelchbild mit hyperbolischem Septensystem. Durchmesser des Fundes 12×14 mm. In der Basisgegend sind die Hyperbole in der Richtung der dorsoventralen Linie ausgebildet, im Kelche in Richtung der Lateralien. Kühn (7) fand die Art auch in Siebenbürgen, Papp beschrieb sie aus Pannionien — Mitteltrias. Gefunden zusammen mit Conophyllien und *Montlivaltia obliqua*.

*Thecosmilia* sp. indet.

Kleine Karpaten (Plavecký Peter am Kamme des Veterlin-Berges in dunklen Kalken; Plavecké Podhradie südl. der K. 541.5 Báborská, weisse mitteltriassische Kalke); Strážov-Gebirge (Slatinka b/Bebravou, südl. Abh. des Baška Berges in hellen Kalken; Omšenie, Kováčeková Tal, nördl. Abh. des Žihlavník in weissen Kalken) — unbestimmbare Überreste samt Lamellibranchiaten, Hydrozoen, Spongiern, Madreporarien und Crinoideen.

*Thecosmilia cf. dawsoni* (Clapp & Shiner)

Synonymen (16): *Calamophyllia dawsoni* Calpp & Shiner; *Thecosmilia delicatula* (Frech); *Rhabdophyllia delicatula* Frech, *Thecosmilia recondita* (Laube).

Kleine Karpaten: Plavecký Mikuláš, nahe des Mikuláš Tales im Streifen der dunklen Kalke.

Strážov-Gebirge: Slatinka n/Bebravou, südl. Abh. des Baška-Berges in hellen Kalken; Ostrica bei K. 749.7 östl. Ende des Kammes Slatinka.

Kolonie  $7 \times 8$  cm breit,  $6 \times 7$  cm hoch; Rumpfhöhe im Kalke völlig eingebettet, stark verkalkt. Polypendurchmesser 2–5 mm, Septenzahl 36–40, Röhrenmaximum 40 mm. Kolonie fecherartig ausstrahlend. Epithek mehr oder minder ausgebildet. Ein peripherischer Endothekalring ist wahrzunehmen. Kolumelle sehr gross. Polypen auch dichotomisch verzweigend, Knospung auch variabel. Die Art ist in Obertrias von Idaho (Squires 16), im Rhät von Vorarlberg (Kühn 8) und in St. Cassian in der Mitteltrias bekannt. Vorgefunden samt Gastropoden.

*Thecosmilia badiotica* Volz

Kleine Karpaten: Plavecké Podhradie, helle Kalke, Karlová-Tal unter dem engen Dolomitstreifen.

Polypenköpfe zerstreut, im Kalke eingebettet und umgeben von Spurenresten von (?) *Cassianostroma-Hydrozoen*. Diese Assoziation wurde von Flügel (3) zum erstenmal entdeckt. Polypendurchmesser 6–8 mm; Polypenverjüngung von zweierlei Art vorhanden: a) Wandbildung vom Zentrum und b) von der Peripherie ausgehend.

*Protoheterastraea (Hexastraea) magna* Kühn

Jablonica-Gebirge: Hradište pod Vrátnom im verlassenen Steinbruch, in hellen Kalken.

Mehrere schlecht erhaltene Überreste; Durchmesser 7–7,5 mm; manche Röhrchen mit Durchmesser von  $10 \times 11$  mm. Das Zentralende der Septen spindelförmig verdickt, Septen fein und ein bißchen gebogen. Rhytmische Querwachstumslinien vorhanden.

*Margarosmilia confluens* (Münster)

Kleine Karpaten: Plavecké Podhradie, im Karlová Tal in weissen Kalken.

Eine übliche Art der Mitteltrias, in Pannonien vorherrschend (Papp 15). Es sind 1–2 und polyzentrische Formen vorhanden, alle mit konstantem charakteristischen Merkmal, d. h. in der Mitte der Septen mit spindelförmigen Verdickungen. Samt Hydrozoen und Madreporarien.

*Procyclolites podhradiensis* n. sp.

Genus-Synonym: *Myriophyllia*

Kleine Karpaten: Plavecké Podhradie unter den Dolomiten im Karlová Tal in hellen Kalken.

Ein isoliertes solo Polyp, flach turbinär. Kelchdurchmesser  $14 \times 16$  mm, Höhe 10 mm. Kelch mit lobulären (schwach lobulären) Kelchkonturen. Protostomium und Basis dezentrisch. Auf 1 mm sind 5—7 Septenbasen zu zählen. Septen-Poren auf 1 mm ebenfalls 5—7 in Reihen. Nach J. Alloiteau (1 p. 337) hat *Procyclolites* (Frech 1890) eine turbinäre Gestalt. Wand archaeothekal. Lebenszeit des Genus: Trias-Lias (siehe auch K. Kanmera 6). — Die sechs Protosepten sind sichtbar.

Eine vergleichende Tabelle der Protocycloliten der Trias nach Angaben der Lit. (1), (6) und (7) ist folgend:

| Art                           | Form              | Septen                  | Endothek         | Polypen  | Septen Basen | Diameter             | Höhe  | Septenanzahl |
|-------------------------------|-------------------|-------------------------|------------------|----------|--------------|----------------------|-------|--------------|
| P. triadicus<br>Fr. Ob. Trias | Turb.             | Juv. perf.<br>Ad. komp. | Tief u.<br>axial | 3 zentr. | 3—4<br>1 mm  | $35 \times 55$<br>mm | 40 mm | 130—135      |
| P. timoricus<br>Ob. Trias     | Flach<br>turb.    | ?                       | ?                | 1 zentr. | 3—4<br>1 mm  | ?                    | ?     | 134          |
| bei<br>K. Kanmera             | Dichoto-<br>misch | Juv. perf.<br>Ad. komp. | ?                | 6 zentr. | 5—7<br>1 mm  | $6 \times 6$<br>mm   | ?     | 70           |
| bei Kühn                      | Flach<br>turb.    | gezähnelt               | Tief             | 1 zentr. | ?            | $25 \times 25$<br>mm | 9 mm  | 174          |
| ČSSR                          | Flach<br>turb.    | Perf.                   | dicht            | 1 zentr. | 5—7<br>1 mm  | $14 \times 16$<br>mm | 10 mm | 448          |

Die Arten *P. badiotica*, *P. gracilis* und *P. dichotoma* sind nicht Procycloliten, sondern: *gracilis* ist: *Myriophyllia münsteri*; *dichotoma* ist: *Myriophyllia pygmaea*. Nach Kühn (7) besteht der Unterschied darin, dass die Septenleisten bei *Procyclolites* vorhanden sind, bei *Myriophyllia* fehlen. Die spongiöse Kolumelle ist bei *Procyclolites* vorhanden, bei *Myriophyllia* ist die Kolumelle ganz kompakt ausgebildet. Die Septen sind granulär und grob, Septenkonfluenzen kommen auch vor; Wand archaeothekal und hauptsächlich dünn.

*Conophyllum cf. recondita* (Laube) Volz

Kleine Karpaten: nahe des Čelo-Berges in hellen Kalken.

Kelchdurchmesser nur 2,5 mm (konstantkonservativ). Rhytmische Wachstumslinien vorhanden, äussere Längsrippung fehlt. Nach Alloiteau (1, p. 104) *Conophyllum d'Orb.* 1849 kommt in triassischen Schichten St. Cassian vor

(Synonym: *Omphalophallia* Laube 1865). — Septensystem triadisch labil, d. h. semibilateral oder semiradial. Viele Septen verschmelzen sich untereinander. Kolumelle klein, Polypenhöhe 5—6 mm; Form schlank, Basis spitzig. Samt Lamellibranchiaten.

### *Conophyllia* cf. *radiciformis* (Klipstein) Volz

Kleine Karpaten: Plavecké Podhradie unter den Dolomiten im Karlová Tal in hellen Kalken.

Strážov-Gebirge: Omšenie, Kováčeková Tal nöndl. Abh. des Žihlavník Berges in hellen Kalken.

Polypenkelchdurchmesser schwankt zwischen 5 und 7,5 mm. Die Höhe des Polypes variiert bis zu 15 mm. Basis spitzig, Polyp schlank, mit rytmischen Wachstumslinien versehen. Polypenköpfe rundlich ausgewittert; Polypen kommen oft in Vergesellschaftung gruppenweise vor. Kolumelle klein oder 0,5 mm; Septenzahl variabel, manchmal schwer zu bestimmen. Eine Bilateraliät, d. h. triadische Labilität des Septensystems ist festzustellen; die Septen verschmelzen sich untereinander oft asymmetrisch. Begleitfauna: Gastropoden, Lamellibranchiaten und Crinoideen.

### Bryozoen

#### *Stomatopora* sp. indet.

Strážov-Gebirge: Slatinka n/Bebravou südl. Abh. des Baška-Berges in hellen Kalken.

Röhren charakteristisch, die Kolonien auf eine *Amblysiphonella* cf. *vesiculososa* epizoisch aufgewachsen. Auch in Schliffungen scheint sie mit dem Papp'schen (15) Objekt identisch zu sein d. h. ohne Septen und ohne Fundamentallamellen in Röhren, aber mit charakteristischen Löchern für Tentakelkranz. Papp erwähnt mitteltriassische *Stomatopora* aus der Veszprémer Mittelrias Pannoniens, welche eine *Toechastraea oppeli*-Korallenkolonie umfasst [d. h. bewachsen hatte (15)].

### Zusammenfassung

- [1] *Amblysiphonella vesiculososa* scheint bereits in der Mittelrias aufzutreten.
- [2] *Spongiomorpha dendroidea* eine mitteltriassische Hydrozoe ist neu für die fossile Fauna der ČSSR.
- [3] *Myriophyllia jekeliusi*, *Montlivaltia montis hierosolymorum*, *Thecosmilia dawsoni*, *Protoheterastraea (Hexastraea) magna*, *Conophyllia recondita* und *radiciformis* sind alle neu für die fossile Madreporarien-Fauna der ČSSR.
- [4] *Procyclolites podhradiensis* n. sp. wurde bereits beschrieben.
- [5] *Stomatopora* sp. indet. ist als Genus neu für die fossile Fauna der ČSSR.

[6] Die hiesige Fauna ist im allgemeinen eine mitteltriassische. Nur: *Montlivaltia marmorea*, *Montlivaltia norica slovakensis*, *Thecosmilia dawsoni* in dunklen Kalken weisen darauf hin, dass auch ein Vorhandensein postladinischer Zeitepoche in Betracht kommen kann.

### Eine vergleichende Studie über die Triaskorallen der Karpaten und Pannonländer

Es werden hier nur die dominierend, subdominierend und influent vorkommenden Triaskorallenarten behandelt. Die subinfluenten Arten haben einen minderwertigen statistischen Wert, so dass sie hier nicht besprochen werden. Ich erwähne nur diejenigen Triaskorallenarten, die vorherrschend erscheinen, wie folgt: *Montlivaltia obliqua* (Münster), *Thecosmilia subdichotoma* Münster, *Thecosmilia badiotica* Volz, *Margarosmilia confluens* (Münster), *Craspedophyllia alpina* Volz, *Montlivaltia norica norica* Frech—Squires—Kolosváry aus Mittelrias. — *Montlivaltia marmorea* Frech, *Montlivaltia norica norica* Frech—Squires—Kolosváry, *Thecosmilia clathrata* (Emmrich), *Thecosmilia defilippi* [Stoppani] und *Calamophyliopsis (Hymenophyllia) fenestrata* (Reuss) Kühn aus der oberen Trias.

Die Triaskorallenfauna der Alpenländer ist wohlbekannt, d. h. am besten durchforscht. Die Triaskorallenfauna der Karpatenländer (ČSSR) wird systematisch seit 1955 von mir successiverweise untersucht. Die Triaskorallenfauna der Pannonländer (ungarisches Mittelgebirgsystem) ist am wenigstens studiert worden. Es steht mir aber seit 1955 genügendes Material zur Verfügung.

Die Unterschiede sind im ganz allgemeinen statistisch und weisen hauptsächlich auf Faziesverhältnisse der zwei grossen Areale hin. Vergleichen wir nun die Daten zusammen.

#### Mittel-Trias

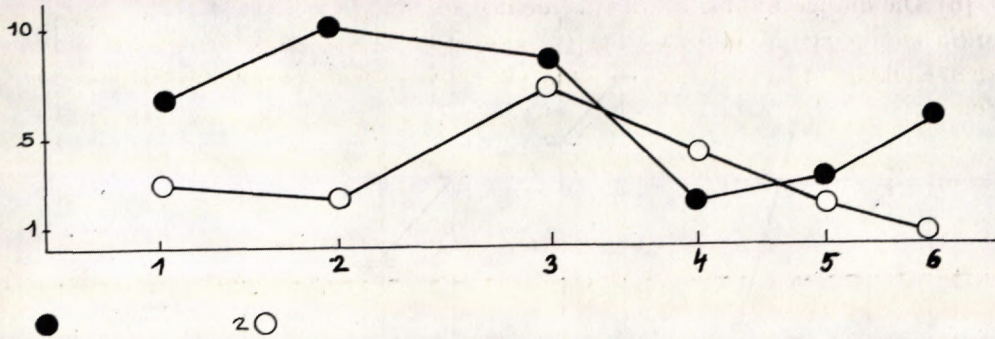
Nach verschiedenen Fundortsangaben (1—15) vikariieren die sechs Arten folgenderweise (siehe Graph 1).

Die eindeutig dominierende Art ist *Thecosmilia badiotica* mit oftmaligem bankbildenden Vorkommen, hauptsächlich in Pannonländer. Die Art *Thecosmilia subdichotoma* scheint in den Karpatenländern zu dominieren.

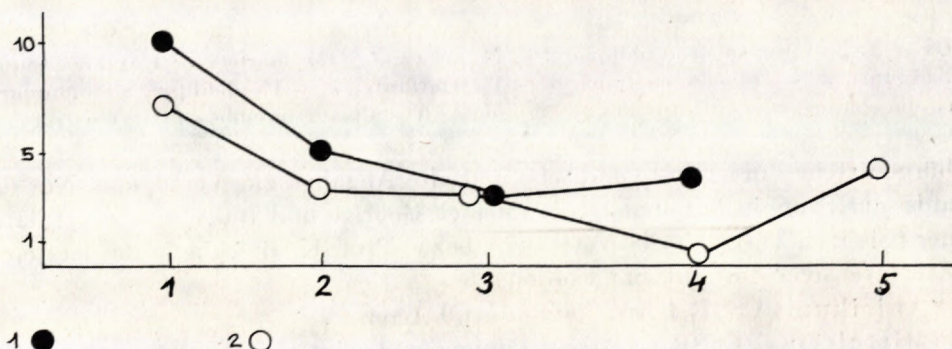
#### Obere Trias

Nach verschiedenen Fundortsanzahlen (1—17) sind auf Graphikon 2 die Dominanzverhältnisse folgend.

Die Dominanz der Art *Montlivaltia norica norica* ist unzweifelhaft, da diese Art eine sehr variable, sehr elastische und überhaupt sehr accommodativ verbreitete, d. h. progressiv-werdende Koralle ist. Sie scheint ihre Blütezeit schon



Graf 1. 1 — *Montlivaltia obliqua*, 2 — *Thecosmilia subdichotoma*, 3 — *Thecosmilia badiotica*, 4 — *Margarosm. confl.*, 5 — *Craspedophyllia alpina*, 6 — *Montlivaltia norica*. Leere Kreise: Pannonländer, volle Kreise: Karpatenraum.



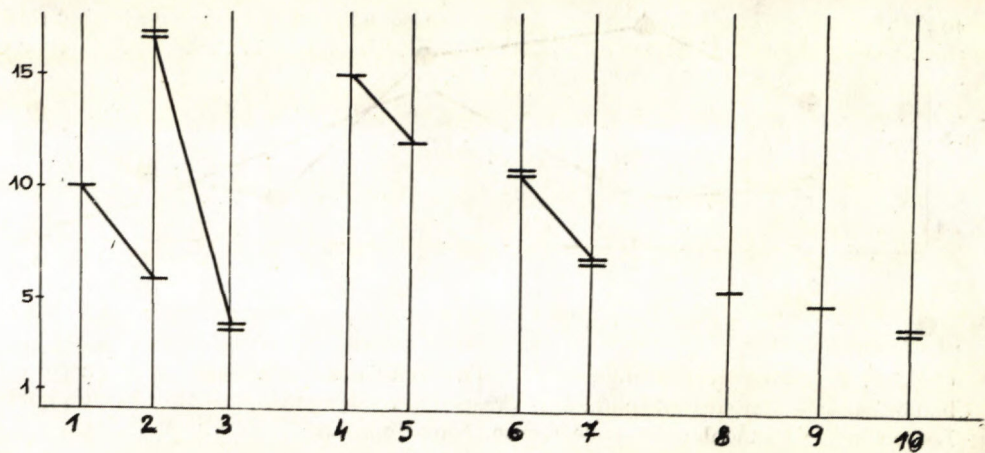
Graf 2. 1 — *Montlivaltia norica*, 2 — *Thecosmilia clathrata*, 3 — *Thecosmilia defilippi*  
4 — *Montlivaltia marmorea*, 5 — *Calamophyliopsis (H.) fenestrata*

in der Mitteltrias angefangen zu haben, hauptsächlich in den Karpatenländer-Fazien.

Wenn wir nun die mitteltriassischen Angaben (samt obertriassischen) auf Graphikon 3 aufzeichnen (nach Dominanz einzelner Arten von links nach rechts) so kommen wir zu folgenden Resultaten:

Man sieht, dass *Montlivaltia norica norica* in der Mitteltrias einsetzt und mit Anfangselastizität in der Oberen Trias vorherrschte. Graphikon 3 zeigt auch verschiedene Tendenz der Dominanz von *Montlivaltia* und *Thecosmilia*.

Ich muss aber noch bemerken, dass die Forschungsintensitäten in den drei Ländern nicht die gleiche war. Am besten ist zur Zeit die Slowakei durchforscht, wo Prof. Dr. M. Mahel ein ausserordentlich schönes Material aufgesammelt hatte. Im Anisikum waren wenige, in der Mitteltrias sehr viele und in der Oberen Trias auch viele Funde entdeckt. In Pannongiern ist die Forschungsintensität betreffs der Korallen sehr im Rückstand und von Sieben-



Graf 3. 1 — *Montlivaltia obliqua*, 2 — *M. norica*, 3 — *M. marmorea*, 4 — *Thecosmilia badiotica*, 5 — *Th. subdichotoma*, 6 — *Th. clathrata*, 7 — *Th. defilippi*, 8 — *Margarosmilia confluens*, 9 — *Craspedophyllia alpina*, 10 — *Calamophyliopsis (H.) penetrata*.

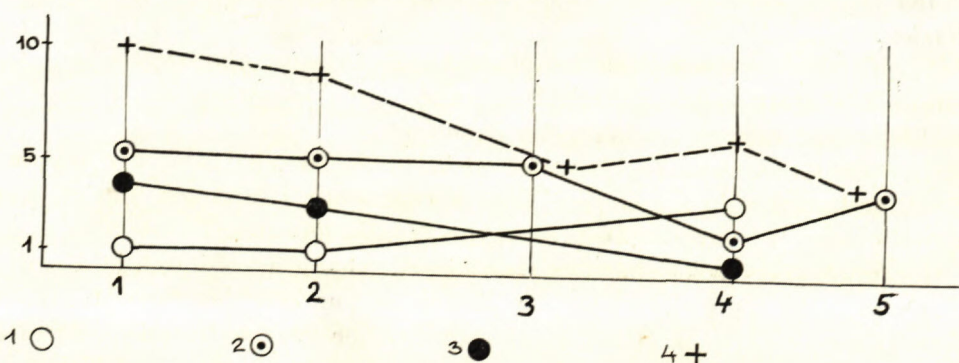
bürgen stehen uns nur sporadische und alte Angaben zur Verfügung. Nur die anisische Stufe in Pannongländern (Mecsek-Gebrige und Bükkgebirge) ist dank der fleissigen Tätigkeit des Verfassers, bzw. Prof. K. Baloghs in der letzteren Zeit intensiver durchforscht worden.

Anisikum: ČSSR 1 Art; Pannonien 9 Arten,

Mitteltrias: ČSSR 25 Arten; Pannonien 18 Arten,

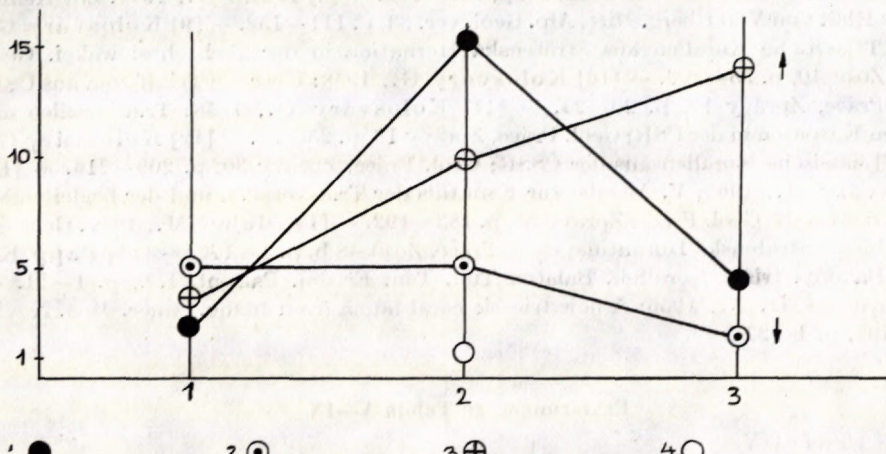
Obere Trias: ČSSR 15 Arten; Pannonien 10 Arten; Siebenbürgen 3 Arten

Die 5 dominierenden — influenten Genera differenzieren sich nach Artenanzahl und Zeitperioden folgenderweise (4):



Graf 4. 1 — *Thecosmilia*, 2 — *Montlivaltia*, 3 — *Craspedophyllia*, 4 — *Conophyllia*, 5 — *Margarosmilia*. Die Stufen: 1 — Anisikum, 2 — Mitteltrias, 3 — Obere Trias, 4 — Gesamtangaben.

Sehen wir nun die Verhältnisse zwischen solo, gruppenweise vorkommenden, kolonisierten Korallen der zwei Länder zusammen, wie folgt:



Graf 5. Phylogenetische Skizze: 1 — Anisikum, 2 — Mitteltrias, 3 — Obere Trias; 1 — solo Korallen, 2 — gruppenweise vorkommenden Korallen, 3 — kolonienbildende Korallen, 4 — meandrinisierte (desindividualisierte) Korallen.

Im Anisikum sehen wir nun enge Nachbarschaft in Zahlmässigkeit; in der Mitteltrias wurde die Zersplitterung und in der Oberen Trias Progression und Regression in einer phylogenetischer Einheit festgestellt. Die Kolonisation ist als eine progressive, das solo Leben eine alte Eigenschaft zu betrachten.

Ich habe insgesamt 375 Forschungsobjekte durchstudiert, 105 davon aus Pannóniengauen von Anisikum wurden von mir und von Herrn Prof. K. Balogh gesammelt. Aus der pannóniengauischen Mitteltrias stammen 66 Objekte her, teilweise von mir, von Herrn Fr. Legányi und Herrn Prof. K. Balogh aufgesammelt. Aus der pannóniengauischen Obertrias habe ich 21 Objekte und aus der karpatländischen Trias zusammen 183 Objekte, die Herr Prof. Dr. M. Mahef gefunden hatte, durchforscht.

#### LITERATUR

- [1] Alloiteau J., 1957: Contribution à la systematique des Madreporaires fossiles. Centr. Nat. Rech. Sci. Paris T. I—II. — [2] Fenniger A. & Hötzl H., 1965: Die Hydrozoa und Tabulosa der Tressenstein- und Plassenkalk. Mitt. Mus. Bergbau 27, p. 1—61. — [3] Flügel E., 1960: Cassianostroma n. gen. die erste Hydrozoe aus den Cassianer Schichten (Oberladin) der Südalpen. N. Jahrb. Geol. Pal. M. H. 2, p. 49—59. — [4] Flügel E. & Sy E., 1959: Die Hydrozoen der Trias. N. Jahrb. Geol. Pal. Abh. 109. I. p. 1—108. — [5] Heritsch F. & Kühn O., 1936: Geschiebe von Triaskorallen vom Plabutsch bei Graz. Mitt. Natw. ver. Steierm. 73, p. 19—32. — [6] Kanmera K.,

1964: Triassic corals from the Konosé group in Kyushu. Mem. Fac. Sci. K. Univ. Ser. D. Geol. 15. 1. p. 117—147. — [7] Kühn O., 1932/35: Die Anthozoen ... der Trias von Brasov. An. Inst. Geol. Roman. 17, p. 109—132. — [8] Kühn O., 1940: Zur Kenntnis des Rhät von Vorarlberg. Mitt. Alp. Geol. ver. 33, p. 111—152. — [9] Kolosváry G., 1957: Triassische Korallen aus Stratenská Hornatina in der Tschechoslowakei. Geol. Práce Zošit 10, p. 95—106. — [10] Kolosváry G., 1958: Über die Triasfauna aus ČSR; Geol. Práce, Zprávy 13, p. 20—24. — [11] Kolosváry G., 1958: Triaskorallen aus Kleinen Karpaten in der ČSR; Geol. Práce, Zprávy 13, p. 25—32. — [12] Kolosváry G., 1963: Triassische Korallen aus der ČSSR; Geol. Práce, Zprávy 30, p. 209—216. — [13] Kolosváry G., 1965: V. Angabe zur Kenntnis der Triaskorallen und der begleitenden Fauna der ČSSR; Geol. Práce, Zprávy 38, p. 183—192. — [14] Maheř M., 1957: Geologie des Gebirges Stratenská Hornatina; Geol. Práce, Zošit 48 b, p. 1—176. — [15] Papp K., 1900: Bakonyi triász Korállok. Balaton Tud. Tan. Eredm. Paleont. I. i., p. 1—21. — [16] Squires D. F., 1956: A new triassic coral fauna from Idaho. Amer. Mus. Novit. No: 1797, p. 1—27.

### Erklärungen zu Tafeln V—IX

#### Tafel V

- Abb. 1. *Montlivaltia norica norica*, Kelchteil-Schliffung.
- Abb. 2. *Montlivaltia montis hierosolymorum*, ausgewittert.
- Abb. 3. *Myriophyllia jekeliusi*, Kelch, ausgewittert.
- Abb. 4. *Myriophyllia jekeliusi*, kelch, ausgewittert.

#### Tafel VI

- Abb. 1. *Montlivaltia marmorea*, Kelchteil-Schliffung.
- Abb. 2. *Thecosmilia dawsoni*, Kolonie-Teil geschlifft.
- Abb. 3. *Thecosmilia dawsoni*, Polypenköpfe rundlich ausgewittert

#### Tafel VII

- Abb. 1. *Procyclolites podhradiensis*, Kelch ausgewittert.
- Abb. 2. *Protoheterastrea (H.) magma*, Rohr ausgewittert.
- Abb. 3. *Thecosmilia badiotica*, Kelch mit zentraler Wandverjüngung (ausgewittert).
- Abb. 4. *Conophyllia radiciformis*, Kelch ausgewittert.

#### Tafel VIII

Fig. 1. *Myriophyllia jekeliusi*, Kelch  $2,5 \times 2,5$  mm. — 2. *M. smolenicae*, Kelch  $10 \times 11$  mm. — 3. *Conophyllia radiciformis*, Kelch  $3 \times 3$  mm. — 4. *C. radiciformis*, Kelch  $4 \times 4$  mm. — 5. *C. recondita*, Kelch  $2 \times 2$  mm. — 6. *Montlivaltia montis hierosolymorum*  $12 \times 14$  mm.

#### Tafel IX

1—3. *Thecosmilia dawsoni* Kelche 2—3 mm. — 4—5. *Protoheterastrea (H.) magma* grosse und kleine Kelche ( $7 \times 9$  bzw.  $2 \times 2,5$  mm). — 6. *Procyclolites podhradiensis* schematische Darstellungen. — 7—9. dtto Septenteilen mit Archaeothek(a). — 10. dtto Septenporen. — 11. *Thecosmilia dawsoni*  $4 \times 4$  mm (Endotnek nicht dargestellt). — 12. *Conophyllia radiciformis*  $3,5 \times 4,5$  mm (Endothek nicht dargestellt). Gez.: Verfasser.

FELICITAS JURÁŠOVÁ

## COCCOLITHOPHORIDA (FLAGELLATA) NA LOKALITE BISKUPICE

Predložená práca je príspevkom k poznaniu nannoplanktonu v zlínskych vrstvách vsetínskej vývoja v račanskej jednotke magurského flyša. V rámci systematického spracovania niekoľkých lokalít týchto vrstiev bolo nazhromaždené množstvo horninového materiálu, ktorý bol v prípade lokality Biskupice (tehelňa) využitý i pre výskum nannoplanktonu. Celkove sme spracovali 84 vzoriek, z toho 61 vzoriek z vápnitých florcov, (II EC = druhý element cyklu v zmysle N. B. Vassojeviča 1948) a 23 vzoriek z nevápnitých florcov (III EC).

### Metodika práce

Pre výskum zlínskych vrstiev z profilu Biskupice sme použili metódu najjednoduchšej prípravy materiálu. Z určitého typu horniny sme rozdrobili malé množstvo materiálu a nechali namočené v destilovanej vode (cca 12 hodín). Pred odobratím vzorky materiál sme dôkladne zamiešali, aby sa čiastočky nannoplanktonu uvoľnili. Pomocou štetca nanášali sme suspenziu na krycie sklíčko. Po vysušení kvapky materiál bol zabalzamovaný a upevnený ďalším sklíčkom. Takto pripravený preparát je lepenkou pripevnený na podložné sklíčko. Touto metódou zhotovené preparáty nemôžu slúžiť na porovnanie množstva nannofosílií v určitom type horniny. V budúcnosti sa preto budeme snažiť z každej vzorky odobrať rovnaké množstvo suspenzie.

*Coccophorida* sú známe už od roku 1836, kedy Ehrenberg poukazuje na prítomnosť drobných „drúz kryštálov“ v sedimentoch. Do roku 1954 sa mnohí autori zaoberali popisovaním jednotlivých foriem. Systematiku spracovali hlavne Tan Sin Hok (1927) a Deflandre (1952, 1954).

Na stratigrafickú hodnotu týchto drobných organizmov upozornil Bramlette & Riedel (1954). Neskoršie práce sú zamerané väčšinou na sledovanie nannoplanktonu v závislosti na stratigrafii (Šamraj & Lazareva 1956; Martini 1958, 1959, 1961; Brön-

nimann & Stradner 1960; Bramlette & Sullivan 1961; Manivit 1959; Hay & Schaub 1960; Bouché 1962; Levin 1965; Benešová – Hanzlíková 1962; Bystrická 1963, 1964, 1965).

Kedzie význam nannofosílií pre stratigrafiu stále vzrástá, podávame v krátkosti prehľad charakteristických druhov pre jednotlivé stratigrafické stupne paleogénu.

Spodná hranica coccolithophorid nie je dosiaľ jasné. Bramlette & Riedel (1954) predpokladajú, že predjurkské nálezy sú veľmi pochybné; až začiatkom kriedy sú nálezy početnejšie. Formy popisované ako *Discoaster* sú známe až z kriedy.

Martini (1961) v dane JZ Francúzska popisuje nannoplankton s hojnym zastúpením druhu *Nannotetraster staurophorus* (Gardet) Martini & Stradner. Vo vyšších časťach sa hojne vyskytujú *Braarudosphaera bigelovi* Deflandre a *Micrantholithus formicatus* Martini. V Rakúsku Stradner (1964) ako vedúci druh pre dan popisuje *Coccolithus helis* Stradner.

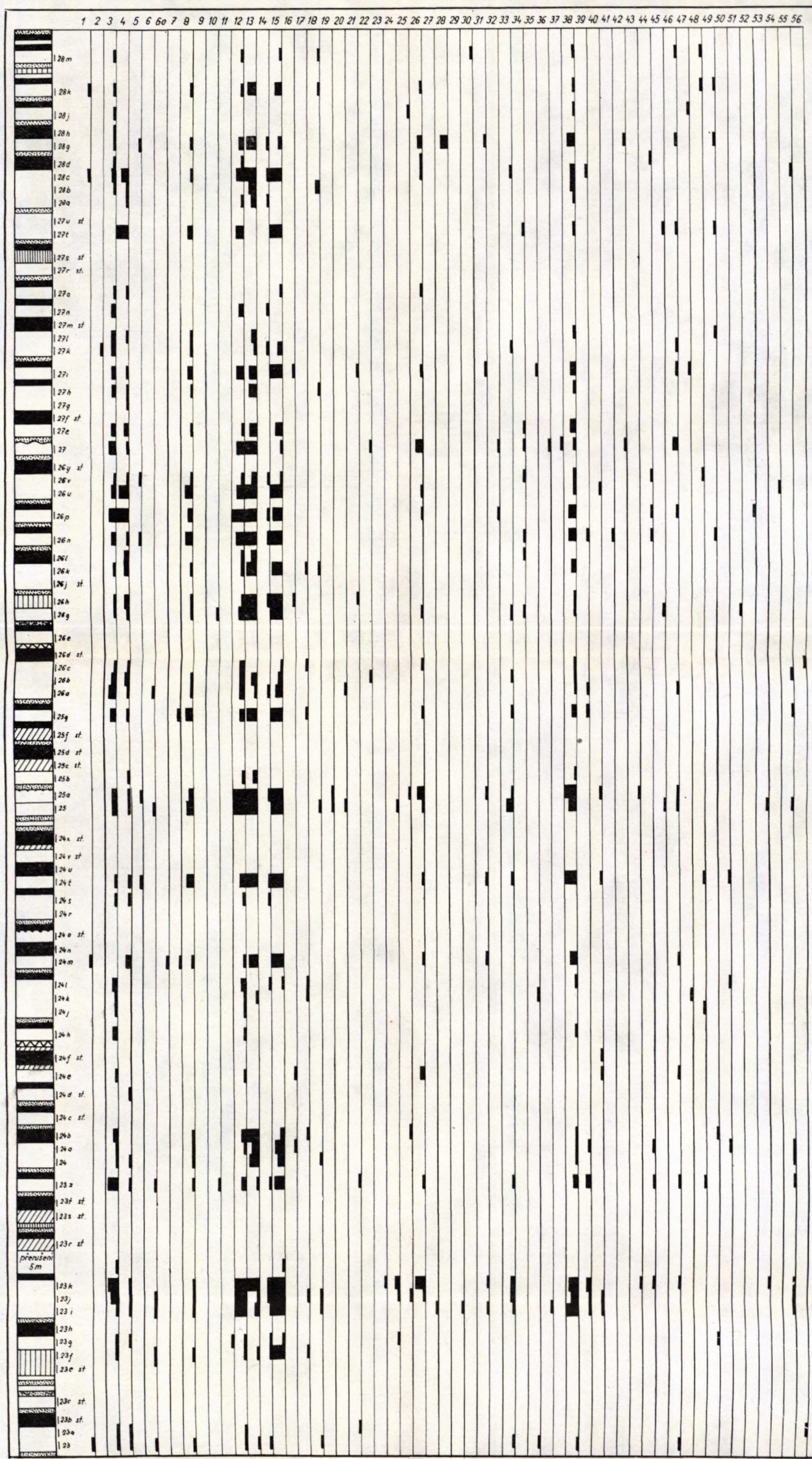
V paleocéne všeobecne prevláda *Discoaster multiradiatus* Bramlette & Riedel, i keď miestami sa tento druh začína hromadne vyskytovať až v strednej časti paleocénu. Výnimcoľne Hay & Schaub (1960), ktorí pre spodný a stredný paleocén uvádzajú *Discoaster multiradiatus* Bramlette & Riedel, vo vrchnom paleocéne popisujú asociácie s prevládaním *Marthasterites tribrachiatus* (Bramlette & Riedel) Deflandre, *Discoaster barbadiensis* Tan Sin Hok, *Discoaster deflandrei* Bramlette & Riedel a malé druhy *Discoaster lodoensis* Bramlette & Riedel. Toto spoločenstvo je charakteristické už pre spodný eocén. Martini (1961) z JZ Francúzska uvádza pre celý paleocén charakteristický *Discoaster multiradiatus* Bramlette & Riedel. Spodnú časť od vrchnej odlišuje na základe početného zastúpenia druhu *Discoaster nobilis* Martini (v spodnej časti) a *Discoaster perpolitus* Martini a *Disocaster splendidus* Martini (vo vrchnej časti paleocénu). Pre celý paleocén udáva ešte chýbanie *Braarudosphaera bigelovi* Deflandre.

Bramlette & Sullivan (1961) v Kalifornii hojně zastúpenie *Discoaster multiradiatus* Bramlette & Riedel nachádzajú až vo vrchnej časti paleocénu. Pre spodný paleocén sú charakteristické druhy *Heliolithus riedeli* Bramlette & Sullivan, *Discoaster helianthus* Bramlette & Sullivan a *Zygolithus junctus* Bramlette & Sullivan. V Rakúsku podla Stradnera (1964) najspodnejší paleocén, navážajúci na dan, obsahuje len coccidity (*Coccolithus helis* Stradner, *C. crassus* Bramlette & Sullivan, *C. danicus* Brotzen). Hojné výskytu *Discoaster multiradiatus* svedčia o vyššom až najvyššom paleocéne. V samotnej multiradiatovej zóne odlišuje podla Haya (1961) spodnú zónu bez *Marthasterites* a vrchnú zónu s *Marthasterites bramlettei* Brönnimann & Stradner a *Marthasterites contortus* (Stradner) Deflandre.

Bystrická (1963) za význačný pre spodný paleocén považuje *Discoaster gemmeus* Stradner. *Discoaster multiradiatus* Bramlette & Riedel sa začína objavovať až vo vrchnej časti spodného paleocénu. V strednom paleocéne prevláda *Discoaster multiradiatus* Bramlette & Riedel a charakteristický je tiež *Heliolithus riedeli* Bramlette & Sullivan. *Discoaster gemmeus* Stradner je sporadický. Vrchný paleocén na Slovensku nebol skúmaný.

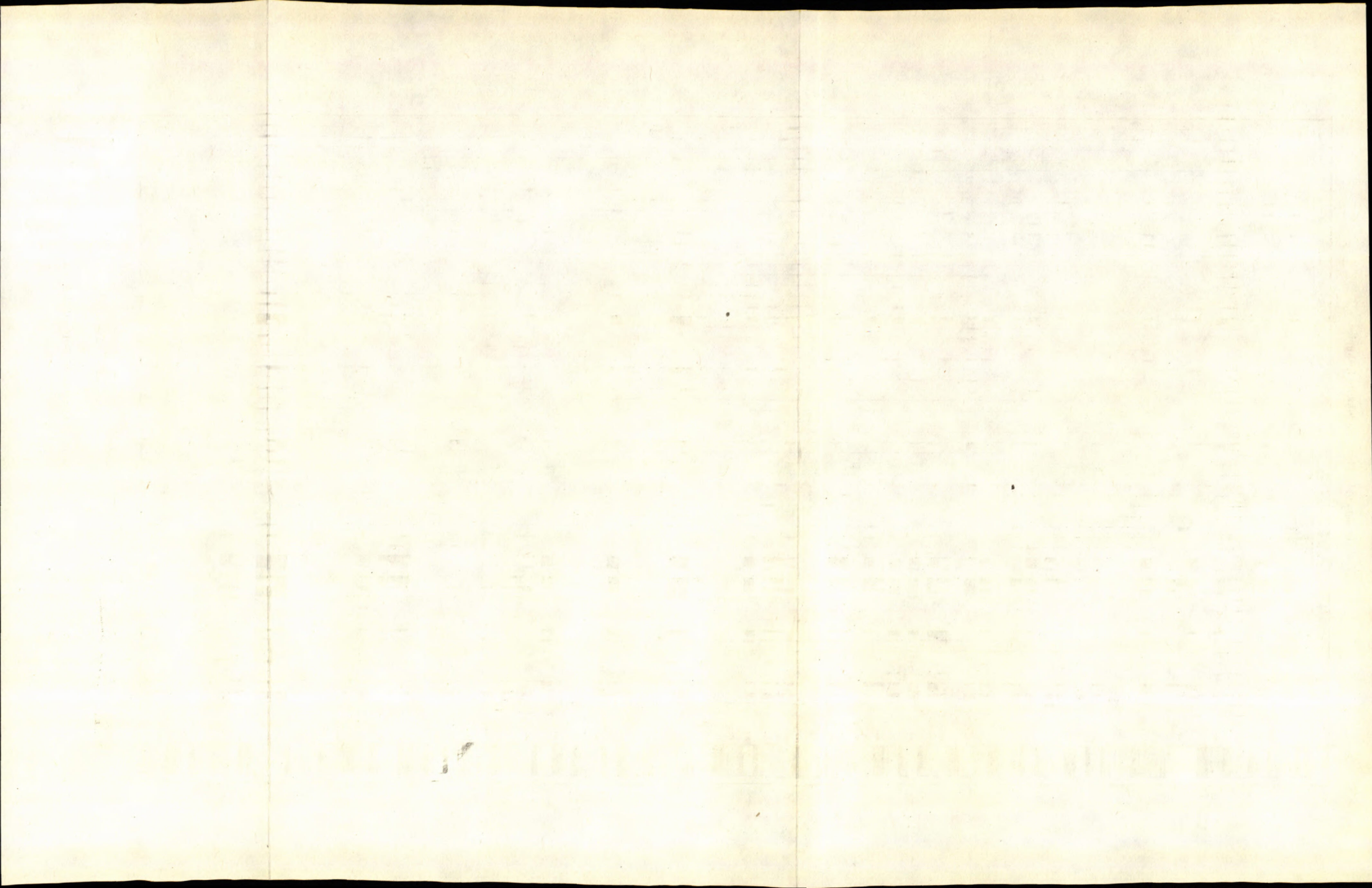
Spodný eocén nie je všade rovnako rozdeľovaný. Niektorí autori ho rozdeľujú na tri časti, iní na 2. Martini (1959) v SZ Nemecku rozdeľuje spodný eocén na 3 časti. V spodnom eocéne<sub>1</sub> a <sub>2</sub> nannoplankton nie je vyvinutý; spodný eocén<sub>3</sub> obsahuje druhy charakteristické pre spodný eocén s *Marthasterites tribrachiatus* (Bramlette & Riedel) Deflandre, *Discoaster lodoensis* Bramlette & Riedel, *Discoaster barbadiensis* Tan Sin Hok, *Zygolithus dubius* Deflandre, atd. V juhozápadnom Francúzsku Martini (1961) rozlišuje v spodnom eocéne spodnú časť s druhmi, vyskytujúcimi sa v paleocéne s *Discoaster multiradiatus* Bramlette & Riedel. Vrchná časť obsahuje už charakte-

Výskyty nannoplanktonu na lokalite Biskupice.



1—3 flovec (zelený, šedý, hnědý); 4—6 vápnitý flovec (hnědý, šedý mäkký, šedý pevný);  
7—9 pieskovec (hrubo, stredne jemnozrnný); 10-pelosiderit.

nad 15  
11-15  
7-10  
4-6  
1-3



ristický spodnoeocénny druh *Marthasterites tribachiatus* (Bramlett & Riedel) Deflandre, *Micrantholithes inaequalis* Martini a *Discoaster stradneri* Martini.

Spodnú časť spodného eocénu s *Discoaster multiradiatus* Bramlette & Riedel nachádzajú Brönnimann & Stradner (1960) na Kube. Doprovodné druhy sú *Marthasterites contortus* (Stradner) Deflandre, *Marthasterites bramlettei* Brönnimann & Stradner a *Marthasterites riedeli* Brönnimann & Stradner. Spoločenstvo s *Marthasterites tribachiatus* (Bramlette & Riedel) Deflandre a *Discoaster lodoensis* Bramlette & Riedel bez *Discoaster multiradiatus* popisujú zo strednej časti spodného eocénu. Vrchná časť spodného eocénu až stredný eocén je význačná bohatým rozvojom nannoplanktonu.

Spodný eocén Kalifornie, popisovaný Bramlette & Sullivanom (1961) s hojným zastúpením *Marthasterites tribachiatus* (Bramlette & Riedel) Deflandre odpovedá európskemu spodnému eocénu. Z význačných doprovodných druhov uvádzajú *Chiphragmalithus calatus* Bramlette & Sullivan, *Discoaster diastypus* Bramlette & Sullivan a *Rhabdosphaera truncata* Bramlette & Sullivan.

Na Slovensku pre spodný eocén doložený mikrofaunou je charakteristický v spodnej časti druh *Marthasterites tribachiatus* (Bramlette & Riedel) Deflandre, ku ktorému vyššie pristupuje *Discoaster lodoensis* Bramlette & Riedel. Bohato sa začína rozvíjať discoasteridná zložka, ktorá v strednom eocéne nadobúda značného rozvoja.

V strednom eocéne nastáva najväčší rozvoj nannoplanktonu; všeobecne celý stredný eocén je charakterizovaný v Európe (Martini 1959–1961; Stradner 1962; Bystrická 1965) druhmi *Discoaster barbadiensis* Tan Sin Hok, *Discoaster saipanensis* Bramlette & Riedel a braarudosphaerami. Pre strednú časť je charakteristické značné zastúpenie druhov *Braarudosphaera bigelovi* Deflandre, *Micrantholithus vesper* Deflandre a *Micrantholithus flos* Deflandre; pre vrchnú časť ubúdanie druhov. Stále prevládajú *Discoaster barbadiensis* Tan Sin Hok, *Zygolithus dubius* Deflandre, *Discoaster saipanensis* Braml. & Riedel, *Discoaster lodoensis* Braml. & Riedel, *Braarudosphaera bigelovi* Deflandre, ale v menšom množstve. Ostatné druhy sú sporadické, alebo úplne chýbajú. V Kalifornii Bramlette & Sullivan (1961) charakterizujú stredný eocén druhmi *Coccolithus expansus* Braml. & Sullivan, *Disco lithus distinctus* Bramlette & Sullivan, *Discolithus panarium* Deflandre, *Discoaster nonradiatus* Klumpp, *Discoaster sublodoensis* Bramlette & Sullivan, vo vyšších častiach v jednotke 5 *Discolithus exilis* Bramlette & Sullivan, *Disco lithus fimbriatus* Bramlette & Sullivan a *Rhabdosphaera inflata* Bramlette & Sullivan.

Vrchný eocén sa podľa Martiniho (1959) v západnom Nemecku rozdeľuje na dve časti. Pre spodnú časť je charakteristický *Discoaster crassus* Martini a hojný *Discoaster barbadiensis* Tan Sin Hok, *Braarudosphaera bigelovi* Deflandre a *Zygolithus dubius* Deflandre, pre vrchnú časť *Istmolithus recurvus* Deflandre.

V JZ Francúzsku v bartone Martini (1961) popisuje asociácie bohaté na *Discoaster barbadiensis* Tan Sin Hok a *Braarudosphaera bigelovi* Deflandre a porovnáva ich s nemeckým spodným vrchným eocénom. Podľa Brönnimanna a Stradnera vrchný eocén Kuby (zóna Jacobo) obsahuje hojne *Discoaster barbadiensis* Tan Sin Hok, pričom ostatná nannoifauna je veľmi zle zachovaná. V Yazzo formácii Mississippi vrchný eocén podľa Levina (1965) charakterizuje druh *Istmolithus recurvus* Deflandre; bohatou sú zastúpené coccolity a z discoasteridných druhov *Discoaster saipanensis* Bramlette & Riedel, *Discoaster gemmifer* Stradner, *Discoaster distinctus* Martini, atď.

Stradner (1964) v Rakúsku pre vrchný eocén považuje za vedúce druhy *Istmolithus recurvus* Deflandre a *Zygolithus aureus* Stradner. Výrazná je hlavne prevaha coccolitov nad discoasteridami. Z coccolitov sú zastúpené hojne *Coccolithus eopelagicus* (Bram-

lette & Riedel) Stradner, *Coccolithus placomorphus* Kamptner a *Zygrhablithus bijugatus* Deflandre; z discoasterid *Discoaster saipanensis* Bramlette & Riedel, *Discoaster tani tani* Bramlette & Riedel a *Trochoaster simplex* Klumpp.

Na Slovensku pre vrchný eocén je podľa Bystrickej (1964) charakteristická asociácia s *Istmolithus recurvus* Deflandre, *Discoaster barbadiensis* Tan Sin Hok, *Discoaster saipanensis* Bramlette & Riedel, *Discoaster deflandrei* Bramlette & Riedel, *Discoaster tani* Bramlette & Riedel a *Discoaster trinus* Stradner. Rozdelenie vrchného eocénu, podobne ako v Nemecku na spodnú a vrchnú časť na základe nannoplanktonu nebolo možné.

### Lokalita Biskupice

Zlíniske vrstvy lokality Biskupice obsahujú bohaté spoločenstvo nannoplanktonu, ktorý zväčša pozostáva z pravých coccolitov. Doterajšia metóda odberu materiálu je nevhodná pre výskum nannoplanktonu v závislosti na type horniny. Jeho rozmiestnenie v cykle je opačné ako u mikrofauny. Mikrofauna je najbohatšie nahromadená v najvrchnejšej časti tretieho elementu cyklu, nannofauna na konci druhého elementu cyklu, hoci takmer všetky váp. ilovce obsahujú početnú nannofaunu. Pomer sterilných vzoriek k pelitom vidíme z týchto údajov: z 84 vzoriek 24 bolo sterilných. Zo 16 vzoriek ilovcov (19,5 %) bolo 10 vzoriek (62,5 %) sterilných. Z vápnitých ilovcov sa odobralo 66 vzoriek (80,5 %), z čoho 14 (21,2 %) bolo sterilných.

Nannoplankton v zlíniskych vrstvách na lokalite Biskupice zastupujú početné druhy. Za autochtónne môžeme považovať z pravých coccolitov *Discolithus fimbriatus* Bramlette & Sullivan, *Coccolithus crassus* Bramlette & Sullivan, *C. grandis* Bramlette & Riedel, *C. eopelagicus* (Bramlette & Riedel) Stradner, *C. placomorphus* Kamptner, *Zyglolithus dubius* Deflandre, hlavne podľa početného zastúpenia v priebehu celého profilu. Druhy čelade *Braarudosphaeridae* sú zastúpené len ojedinele. Vo väčšom množstve v spodnej časti profilu nachádzame *Clathrolithus spinosus* Martini, známy zo spodného až stredného eocénu. Druhy čelade *Discoasteridae* sú stratigraficky najcennejšie. Hoci medzi nimi nachádzame veľké množstvo redeponovaného materiálu, i tak podľa priebežnosti a početnosti môžeme určiť charakteristické druhy. Početnejšie sú hlavne *Discoaster barbadiensis* Tan Sin Hok a *Discoaster germanicus* Martini. Priebežne v celom profile nachádzame *Discoaster distinctus* Martini, *D. saipanensis* Bramlette & Riedel, *D. deflandrei* Bramlette & Riedel. Charakteristické druhy pre vrchný eocén *Istmolithus recurvus* Deflandre a *Discoaster crassus* Martini nachádzame len ojedinele, úlomkovite; nevieme preto, či im môžeme priklaňať stratigrafický význam.

Stratigrafické rozšírenie druhov na lokalite Biskupice

| Druh   | paleocén | eocén |       |       | oligocén |
|--|----------|-------|-------|-------|----------|
|  |          | sp.   | str.  | vrch. |          |
| 1 <i>Discolithus distinctus</i> B. & S.            |          |       |       |       |          |
| 2 <i>Discolithus exilis</i> B. & S.                |          |       |       |       |          |
| 3 <i>Discolithus fimbriatus</i> B. & S.            |          |       |       |       |          |
| 4 <i>Discolithus panarium</i> D.                   |          |       |       |       |          |
| 5 <i>Discolithus sp.</i>                           |          |       |       |       |          |
| 6 <i>Zygotolithus chiastus</i> B. & S.             |          |       |       |       |          |
| 6a <i>Zygotolithus concinus</i> M.                 |          |       |       |       |          |
| 7 <i>Zygotolithus cf. distentus</i> B. & S.        |          |       |       |       |          |
| 8 <i>Zygotolithus dubius</i> D.                    |          |       |       |       |          |
| 9 <i>Zygrhablithus bijugatus</i> D.                |          |       |       |       |          |
| 10 <i>Zygrhablithus simplex</i> B. & S.            |          | ----- |       |       |          |
| 11 <i>Coccoolithus consuetus</i> B. & S.           |          |       |       |       |          |
| 12 <i>Coccoolithus crassus</i> B. & S.             |          |       |       |       |          |
| 13 <i>Coccoolithus copelagicus</i> (B. & R.) St.   |          |       |       |       |          |
| 14 <i>Coccoolithus grandis</i> B. & R.             |          |       |       |       |          |
| 15 <i>Coccoolithus placomorphus</i> K.             |          |       |       |       |          |
| 16 <i>Coccoolithus solitus</i> B. & S.             |          |       |       |       |          |
| 17 <i>Coccoolithus sp.</i>                         |          |       |       |       |          |
| 18 <i>Coccoolithus staurion</i> B. & S.            |          |       |       |       |          |
| 19 <i>Braarudosphaera bigelovii</i> B. & R.        |          |       |       |       |          |
| 20 <i>Braarudosphaera discula</i> B. & R.          |          |       |       |       |          |
| 21 <i>Micrantholithus sp.</i>                      |          |       | ----- |       |          |
| 22 <i>Chiphramalithus quadratus</i> B. & S.        |          |       |       |       |          |
| 23 <i>Clathrolithus ellipticus</i> D.              |          |       |       |       |          |
| 24 <i>Clathrolithus spinosus</i> M.                |          |       |       |       |          |
| 25 <i>Discoaster aff. aster</i> B. & R.            |          |       |       |       |          |
| 26 <i>Discoaster barbadiensis</i> T. S. H.         |          |       |       |       |          |
| 27 <i>Discoaster binodosus</i> <i>binodosus</i> M. |          |       |       |       |          |
| 28 <i>Discoaster cf. binodosus</i> M.              |          |       |       |       |          |
| 29 <i>Discoaster binodosus hirundinus</i> M.       |          |       |       |       |          |
| 30 <i>Discoaster aff. crassus</i> M.               |          |       |       |       |          |
| 31 <i>Discoaster deflandrei</i> B. & R.            |          |       |       |       |          |
| 32 <i>Discoaster aff. delicatus</i> B. & S.        |          |       |       |       |          |
| 33 <i>Discoaster distinctus</i> M.                 |          |       |       |       |          |
| 34 <i>Discoaster aff. distinctus</i> M.            |          |       |       |       |          |
| 35 <i>Discoaster elegans</i> B. & S.               |          | ----- |       |       |          |
| 36 <i>Discoaster falcatulus</i> B. & S.            |          |       |       |       |          |
| 37 <i>Discoaster floreus</i> By.                   |          |       |       |       |          |
| 38 <i>Discoaster germanicus</i> M.                 |          |       |       |       |          |
| 39 <i>Discoaster challengerii</i> B. & R.          |          |       |       |       |          |
| 40 <i>Discoaster lenticularis</i> B. & S.          |          |       |       |       |          |
| 41 <i>Discoaster lodoensis</i> B. & S.             |          |       |       |       |          |
| 42 <i>Discoaster mediosus</i> B. & S.              |          |       |       |       |          |
| 43 <i>Discoaster mirus</i> D.                      |          |       |       |       |          |
| 44 <i>Discoaster nulliradiatus</i> B. & R.         | -----    |       |       |       |          |
| 45 <i>Discoaster plebeius</i> M.                   |          |       | ----- |       |          |
| 46 <i>Discoaster saipanensis</i> B. & R.           |          |       |       |       |          |
| 47 <i>Discoaster aff. splendidus</i> M.            |          |       |       |       |          |
| 48 <i>Discoaster sp.</i>                           |          |       |       |       |          |
| 49 <i>Marthasterites tribachiatus</i> (B. & R.) D. |          |       |       |       |          |
| 50 <i>Discoaster trinus</i> St.                    |          |       |       |       |          |
| 51 <i>Istmolithus claviformis</i> B. & S.          |          |       |       |       |          |
| 52 <i>Istmolithus recurvus</i> D.                  |          |       |       |       |          |
| 53 <i>Nannoletaster staurophorus</i> (G.)          |          |       |       |       |          |
| 54 <i>Marthasterites bramlettei</i> B. & S.        |          | ----- |       |       |          |
| 55 <i>Coranullus (Nannoconus) germanicus</i> St.   |          |       | ----- |       |          |
| 56 drobné coccocly                                 |          |       |       | ----- |          |

## Porovnanie nannofauny s blízkymi asociáciami

Pri skúmaní nannoplanktonu väčšia stratigrafická hodnota sa prikladá discoasteridnej zložke, na ktorej spočíva stratigrafické členenie paleogénu. Zlinske vrstvy lokality Biskupice majú prevahu pravých coccolitov; discoasteridná zložka je značne chudobná. Tento jav považuje Martini (1959) v SZ Nemecku za dôležitý znak pre spod. vrchný eocén, ktorý odpovedá nášmu najvyššiemu strednému eocénu. Aj početnejšie zastúpenie druhu *Discoaster barbadiensis* Tan Sin Hok, *Discoaster germanicus* Martini, *Zygolithus dubius* Deflandre a výskyty druhov *Discoaster saipanensis* Bramlette & Riedel, *D. distinctus* Martini, *D. deflandrei* Bramlette & Riedel umožňujú porovnať naše vrstvy s Martiniho spodným vrchným eocénom. Ojedinelé výskyty druhu *Istmolithus recurvus* nachádza Martini (1961) v bartone v JZ Francúzsku; výskyty tohto druhu s autochtnými *Discoaster barbadiensis* Tan Sin Hok podľa Martiniho vylučujú zaradenie k najvyššiemu eocénu. Hojné nahromadenie druhov *Braarudosphaera bigelovi* Deflandre, *Discoaster barbadiensis* Tan Sin Hok, ktoré by umožňovali porovnanie s bartonskými spoločenstvami JZ Francúzska a tým i so strednou časťou vrchného eocénu SZ Nemecka, na lokalite Biskupice nenachádzame.

Stradner (1962) z Istrie popisuje spoločenstvo, ktoré hlavne svojím obsahom [*Coccolithus eopelagicus* (Bramlette & Riedel) Stradner, *C. placomorphus* Kamptner, *C. grandis* Bramlette & Riedel] pripomína asociácie lokality Biskupice. Aj discoasteridné zloženie je veľmi príbuzné, i keď asociácie sú na *Discoasteridea* bohatšie (*Discoaster barbadiensis* Tan Sin Hok, *D. distinctus* Martini, *Zygolithus dubius* Deflandre). Stradner tieto asociácie považuje za vyššie ako spodnoeocénne, ale za nižšie ako vrchný eocén (pod asociáciami s *Istmolithus recurvus*). Veľmi dobré porovnanie poskytujú materiály z vrchného eocénu Rakúska (Stradner 1964). Z coccolitov, ktoré majú naprostú prevahu, najdôležitejšie sú *Coccolithus eopelagicus* (Bramlette & Riedel) Stradner a *C. placomorphus* Kamptner. *Zyghrabilithus bijugatus* Deflandre, hojný v Rakúsku, sa v našich vzorkách objavuje len ojedinele. Discoasteridná zložka je zastúpená len málo. Z dôležitejších druhov Stradner uvádzá *Discoaster tani* Bramlette & Riedel, *D. saipanensis* Bramlette & Riedel a *Trochoaster simplex* Klumpp. Za vedúce druhy považuje *Istmolithus recurvus* Deflandre a *Zygolithus aureus* Stradner, typické pre vrchný eocén.

Takmer zhodné asociácie s našimi (čo sa týka zastúpenia discoasteridnej zložky) popisuje Bystrická (1964) z magurského flyša na Slovensku. Zastúpenie *Discoaster barbadiensis* Tan Sin Hok, *D. saipanensis* Bramlette & Riedel, *D. deflandrei* Bramlette & Riedel je obdobné ako aj ochudobnený výskyt čeľade *Braarudosphaeridae*.

Nannoplankton na lokalite Biskupice dovoľuje porovnať naše asociácie s asociáciami širokého stratigrafického rozpätia (najvyšší stredný eocén až vrchný eocén). Najbližšie (čo sa týka druhového zastúpenia) sú mu asociácie vrchného eocénu, i keď v našich materiáloch nenachádzame druhy označované ako vedúce pre tento stupeň.

Ústredný ústav geologický  
pracovisko Brno

#### LITERATÚRA

- [1] Bouché P.: Nannofoissiles calcaires du lutétien du Bassin de Paris. *Revue de Micropaleontologie* 5,2, Paris, 1962. — [2] Benešová E.—Hanzlíková E.: Orientation Study of Fossil Flagellata in the Czechoslovak Carpathians. *Věstník ÚUG*, XXXVII., 2/1962. — [3] Bramlette M. N.—Riedel W. R.: Stratigraphic Value of Discoaster and Some Others Microfossils Related to Recent Coccolithophores. *J. Paleontol.* 28, 1954. — [4] Bramlette M. N.—Sullivan F. R.: Coccolithophorids and Related Nannoplankton of the Early Tertiary in California. *Micropaleontology* 7,2, New York, 1961. — [5] Brönnimann P.—Stradner H.: Die Foraminiferen und Discoasteridenzonen von Kuba und ihre interkontinentale Korrelation. *Erdöl-Ztschr.*, 76, 10, 1960. — [6] Bystrická H.: Die Untereozän-Coccolithophoridae (Flagellata) des Myjavaer Paläogens. *Geol. sbor. Slov. akad. vied*, 14, 2, Bratislava, 1963. — [7] Bystrická H.: Les Coccolithophoridés (Flagellata) de l'Éocène supérieur de la Slovaquie. *Geol. sbor. SAV*, Bratislava, 1964. — [8] Bystrická H.: Der stratigraphische Wert von Discoasteriden im Paleogen der Slowakei. *Geol. sbor. Brat.* XVI., 1, 1965. — [9] Bystrická H.: Zpráva o vyhodnotení vápnitého nannoplanktonu z vrtných a povrchových vzorkov paleogénu. *Geofond GÚDŠ*, In. č. 15670, 1966. — [10] Hay W. W., Schaub H. W.: Discoasterids from the Schlierenflysch. Switzerland. *Bull. géol. Soc. Amer.*, 71, 12, 1960. — [11] Levin H. L.: Coccolithophoridae and Related Microfossils from the Yazzo Formation (Eocene) of Mississippi. *Journ. of Paleontol.* 39, 2, 1965. — [12] Mainvit H.: Contribution à l'étude de Coccolithes de l'Éocène. *Publ. Lab. Géol. Appl. Univ. d'Alger*, 1959. — [13] Martini E.: Discoasteriden und verwandte Formen im NW-Deutschen Eozän (Coccolithophoridae). *Senck. leth. Bd.* 39, No. 5/6, 1958. — [14] Martini E.: Pemma angulatum und Micrantholithus basquensis, zwei neue Coccolithophoriden-Arten aus dem Eozän. *Senck. leth.* 40, 1959. — [15] Martini E.: Der stratigraphische Wert von Nannofoissilen im Nordwestdeutschen Tertiär. *Erdöl u. Kohle*, 12, 1959. — [16] Martini E.: Nannoplankton aus dem Tertiär und der obersten Kreide von SW-Frankreich.-*Senck. leth.* 42, 1961. — [17] Martini E., Stradner H.: Nanotetraster, eine stratigraphisch bedeutsame neue Discoasteridengattung. *Erdöl-Ztschr.* 76, 8, 1960. — [18] Stradner H.: Über das fossile Nannoplankton des Eozän-Flysch von Istrien. *Verhandl. d. geol. Bundesanst.*, 2, 1962. — [19] Šamraj I. A., Lazareva E. P.: Paleogenovye Coccolithophoridae i ich stratigrafičeskoje značenije. *Dokl. AN SSSR*, 108, 4, 1956.

FELICITAS JURÁŠOVÁ

#### COCCOLITHOPHORIDA (FLAGELLATA) VOM FUNDORTE BISKUPICE

Die vorliegende Arbeit soll zur besseren Erkenntnis des Nannoplanktons in den Zíliner Schichten (Vsetín-Fazies) der Rača-Einheit vom Magura-Flysch beitragen. Insgesamt wurden zu diesem Zweck 84 Proben analysiert, davon 61 Proben der kalkigen Tone

(II EC = das zweite Element des Zyklus im Sinne N. B. Vassoevic 1948) und 23 Proben der kalkfreien Tone (III. Element des Zyklus).

Die untersuchten Zlínér Schichten enthalten auf dem Fundorte Biskupice eine reiche Nannoplanktonvergesellschaftung, vertreten überwiegend durch echte *Coccolithe*. Die Verbreitung des Nannoplanktons weist eine entgegengesetzte Tendenz gegenüber der Mikrofauna auf. Während die letztere in den höchsten Lagen des dritten Elements des Zyklus am meisten verbreitet ist, kommt Nannoplankton gegen Ende des zweiten Elements vor, wenn auch fast alle Mergel eine reiche Nannoifauna enthalten.

Von 84 Proben waren insgesamt 24 steril, davon 10 Proben (62,5 %) aus Tonen; von den 66 Proben der kalkigen Tone waren lediglich 14 (21,2 %) steril.

Als autochthone Arten können wir *Discolithus fimbriatus*, *Coccolithus crassus*, *C. grandis*, *C. eopelagicus*, *C. placomorphus*, *Zygolithus dubius* (besonders wegen ihres reichen Vorkommens im ganzen Profil), bezeichnen. Die Arten der Gattung *Braarudosphaeridae* sind nur vereinzelt anwesend; zahlreicher erscheinen in tieferen Lagen Vertreter des *Clathrolithus spinosus*, der aus Unter und Mitteleozän bekannt ist. *Discoasteridae* sind stratigraphisch am wertvollsten. Wenn auch dazwischen zahlreiches redeponiertes Material vertreten ist, können wir (nach Häufigkeit) einige charakteristischen Arten feststellen. Reicher sind hauptsächlich *Discoaster barbadiensis* und *D. germanicus* vertreten; im ganzen Profil finden wir *D. distinctus*, *D. saipanensis* und *D. deflandrei*. Für Obereozän charakteristische Arten *Istmolithus recurvus* und *Discoaster crassus* finden wir lediglich in Fragmenten; daher können wir nicht entscheiden, ob sie da eine stratigraphische Bedeutung haben.

Im allgemeinen kann man aber unsere Nannoplanktonfunde von Biskupice mit Vergesellschaftungen einer ziemlich breiten stratigraphischen Spannweite (höchstes Mitteleozän bis Obereozän) vergleichen.

Der Arbeit sind übersichtliche Verzeichnisse der Nannoplanktonfunde wie auch Aufzeichnungen der bedeutenderen Arten beigeschlossen.

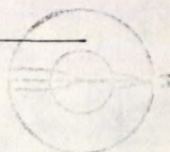
### Vysvetlivky k tabulkám XV — XVI

#### Tabuľka XV

Obr. 1. *Discolithus exilis* Bramlette & Sullivan. — Obr. 2. *Discolithus fimbriatus* Bramlette & Sullivan. — Obr. 3. *Zygolithus chiastus* Bramlette & Sullivan. — Obr. 4. *Zygolithus cf. distentus* Bramlette & Sullivan. — Obr. 5. *Zygolithus dubius* Deflandre. — Obr. 6. *Zygrhablithus bijigatus* Deflandre. — Obr. 7. *Coccolithus crassus* Bramlette & Sullivan. — Obr. 8.—9. *Coccolithus eopelagicus* (Bramlette & Riedel) Stradner. — Obr. 10. *Coccolithus grandis* Bramlette & Riedel. — Obr. 11. *Coccolithus placomorphus* Kamptner.

#### Tabuľka XVI

Obr. 1. *Coccolithus solitus* Bramlette & Sullivan. — Obr. 2. *Braarudosphaera bigelovii* Deflandre. — Obr. 3. *Braarudosphaera discula* Bramlette & Riedel. — Obr. 4.—5. *Discoaster barbadiensis* Tan Sin Hok. — Obr. 6. *Discoaster deflandrei* Bramlette & Riedel. — Obr. 7. *Discoaster distinctus* Martini. — Obr. 8. *Discoaster germanicus* Martini. Obr. 9. *Discoaster plebeius* Martini. — Obr. 10. *Discoaster saipanensis* Bramlette & Riedel. — Obr. 11. *Marthasterites tribrachiatus* Bramlette & Riedel. — Obr. 12. *Discoaster trinus* Stradner. — Obr. 13. *Istmolithus recurvus* Deflandre. (úlomok) — Obr. 14. *Coranullus (Nannoconus) germanicus* Stradner.



VIERA GAŠPARÍKOVÁ—JÁN SLÁVIK

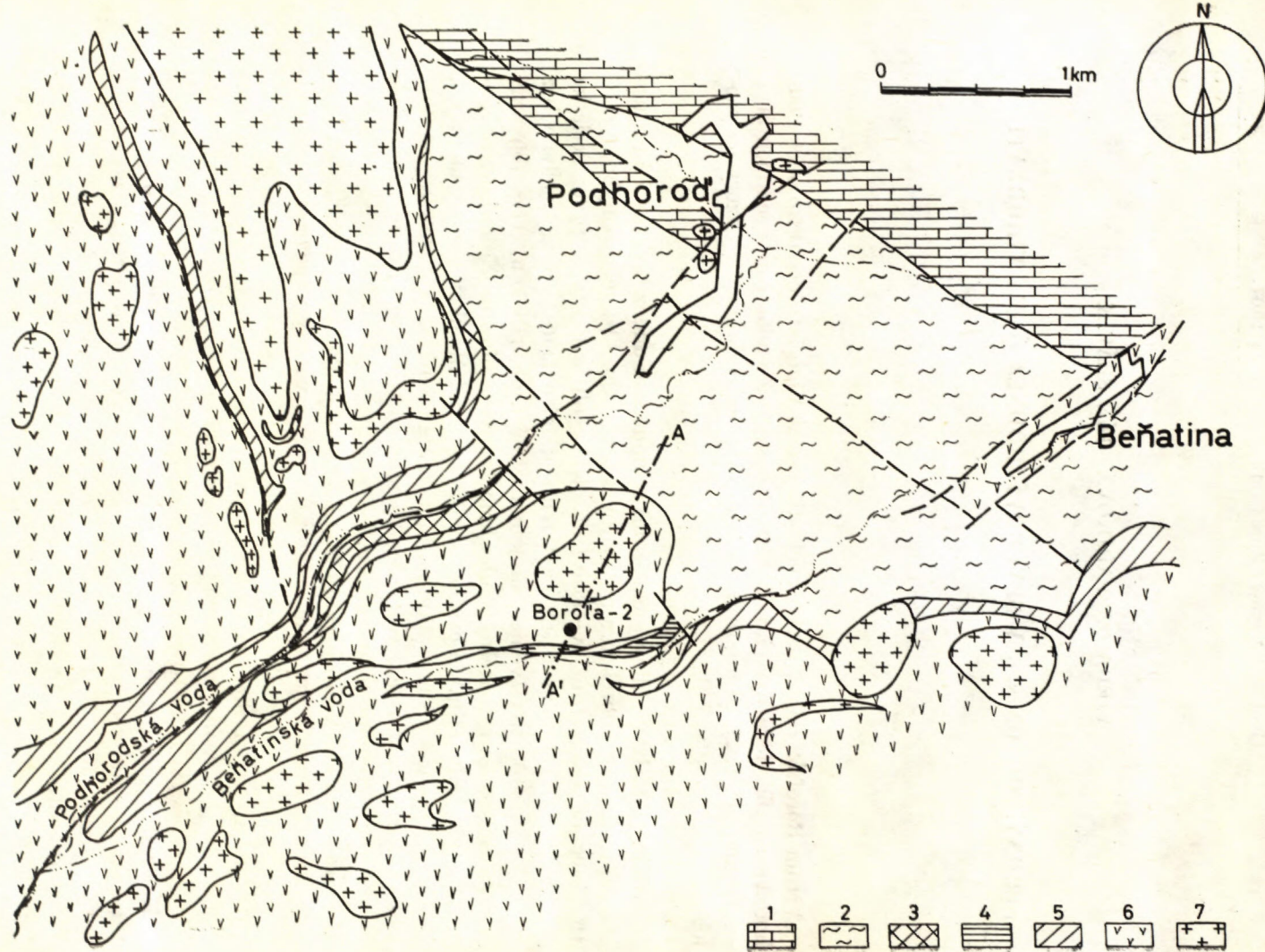
## SPODNÝ TORTÓN s. l. V SEVEROVÝCHODNEJ ČASTI VIHORLATU

Vrtom Borola 2 bolo v severovýchodnej časti Vihorlatu nedaleko obce Podhorod asi 3 km od štátnych hraníc s SSSR zachytené vulkanické a sedimentárne súvrstvие (obr. 1, 2), čo umožnilo podstatne spresniť doterajšie názory na geologicú stavbu tejto oblasti.

Profil vrtu Borola 2 je tento:

- 0—18 m hrdzavé hliny s balvanmi a úlomkami andezitov, prechádzajúce do tufobrekcí a andezitov s textúrami kľavárovo-pohybu,
- 18—140,5 m jemnozrnné svetlosivé až biele ryolitové tufy, v prvej desiatke metrov zvetrané na flovito-sklovitú zmes, hlbšie masívne bez stôp zvrstvenia. Sú jemnozrnné s aleuritickou veľkosťou zrna a zanedbateľným obsahom šupiniek biotitu. Najspodnejšia poloha (3 m) je hrubožrnnejšia (veľkosť úlomkov pemzy do 3 mm), s častejším výskytom biotitu a s úlomkami tmavozelených flov, sivastozelenkavé, pevné jemne piesčité, slienité flovité bridlice črepinovitého rozpadu,
- 140—174 m v ľloch sa objavujú hojné valúny a úlomky paleogenných pieskovcov (až 4 cm veľké); úlomky a valúny vápencov sa nenašli. Ide o bazálny tortónsky zlepeneč,
- 174—191 m nepravidelné úlomky a balvany pieskovcov, uložené v hrdzavoskvrnitej spevnenej piesčito-ľovitej hline. Fosílné sutiny (delúvia ?) na paleogénnom reliefe.

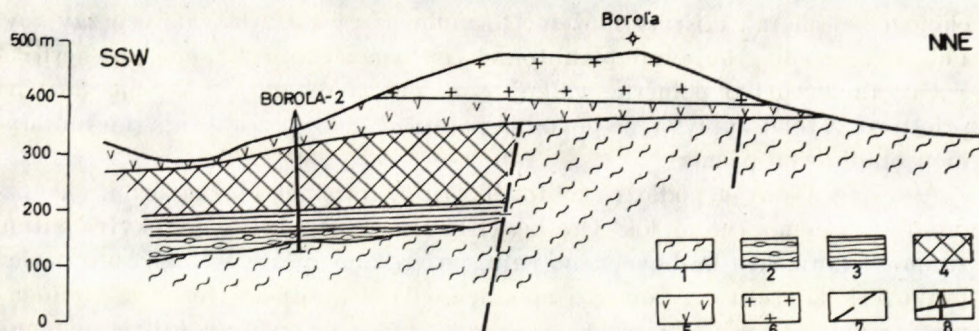
Nález ľlov miocenného typu na severe vulkanitov Vihorlatu ovplyvňuje predstavu o paleogeografickom a tektonickom vývoji na pomedzí západných a východných Karpát. Preto boli slienito-ľovité bridlice z hĺbky 140—191 m mikropaleontologicky preskúmané a určená ich príslušnosť k spodnému tortónu (s. l.).



Názory o prítomnosti spodného tortónu vo výchoslovenskom miocéne sa často menili. Spodnotortónsku mikrofaunu, určenú Hanzlíkovou (in Menčík 1953), Slávikovou (in Žurek 1954), Bystrickou (1954) a Danihelovou (1954) revidovali Buday a Cicha (1956) a pričlenili k vrchnému tortónu. Na základe výskumov v severnej časti panvy Cicha & Kheil (1960) sa priklonili k pôvodnému začleneniu vrstiev a tak v zmysle novších interpretácií (Cicha—Kheil—Tejkal 1965; Buday—Cicha—Seneš 1965) sa toto súvrstvie považuje za lanzendorfskú sériu — teda spodný tortón s. l.

Mikrofauna nami prevŕtaného pelitickeho horizontu je mimoriadne bohatá. Veľmi hojne je zastúpená predovšetkým planktonická zložka s prevahou zástupcov rodov *Globigerina*, *Globigerinoides*, *Globorotalia* a *Orbulina*. Ojedinelé bentonické foraminifery patria hlavne čeľadi *Nodosariidae* a *Buliminidae*. Do hĺbky 187,00 m je súvrstvie pelitov litologicky i faunisticky jednotné, s dokonale vyvinutou a zachovanou mikrofaunou. Zhoršené životné podmienky sa odzrkadlujú na spoločenstvách foraminifer z hĺbky 187,00—196,00 m.

Z planktonu v študovaných mikroasociáciach vrtu Borola 2 sa určili druhy: *Globorotalia foshi barisanensis* Le Roy, *Gl. scitula* (Brady); *Turborotalia mayeri* (Cushman—Ellisor), *Globigerina bulloides* Orbigny, *G. concinna* (Reuss), *G. diplostoma* Reuss, *G. opinata* Pischanova; *G. praebulloides* Blow, *G. tarchanensis* Subbotina & Chutzieva, *Globigerinoides bisphaericus* Todd, *Glob. immaturus* Le Roy, *Glob. obliquus* Bolli, *Glob. rubrus* (Orbigny), *Glob. trilobus* (Reuss), *Globoquadrina altispira* (Cushman—



Obr. 2. Geologický profil okolím vrtu Borola 2. Vysvetlivky: 1. centrálno-karpatský paleogén, 2. bazálne zlepence spodného tortónu s. l., 3. morský spodný tortón s. l., 4. ryolitový tuf, 5. andezitové agglomeráty, 6. andezity, 7. zlomy, 8. vrt.

Obr. 1. Geologická mapka okolia vrtu Borola 1. Vysvetlivky: 1. bradlové pásmo, 2. centrálno karpatský paleogén, 3. ryolitové tufy, 4. sedimentárny miocén, 5. andezitové tufy, 6. andezitové agglomeráty, 7. pyroxenické andezity.

*Jarvis*), *G. quadraria* (Cushman—Applin), *Orbulina biloba* (Orbigny), *O. suturalis* Bronnimann, *O. transitoria* (Blow), *O. universa* Orbigny.

Bentos zastupujú ojedinelé, nedokonale vyvinuté forma minifery ako: *Robulus calcar* (Linnaeus), *R. cultratus* (Montfort), *Bulimina cf. elongata* Orbigny, *B. pupoides* Orbigny, *Uvigerina macrocarinata* Papp et Turnovsky, *U. pygmaea* Papp et Turnovsky, *Bolivina hebes* Macfadyen, *Nonion* sp. V mikroasociáciách priebežne vystupujú *Globigerina bulloides*, *Globigerinoides trilobus*, *Orbulina suturalis*, *Globorotalia foshi barisanensis* a *Turborotalia mayeri*.

Podľa mikrofaunistických spoločenstiev skúmané pelitické súvrstvie môžeme stratigraficky začleniť do spodného tortónu s. l. s prevahou teplomilného planktonu. Čeľad *Nodosariidae* zastupujú len *Robulus calcar* a *R. cultratus*, ktoré sú reliktami spodnej časti lagenidovej zóny (Špička—Zapletalová 1965). Druh *Planulina wuellerstorfi*, hojný v spoločenstvách tohto typu, sme u nás nezistili.

V mikrospoločenstvách chýba väčšina bentonických druhov, typických pre lagenidový obzor; zastúpený je však dokonale vyvinutý plankton, ktorý svedčí o pokročilej transgresii a o tom, že spoločenstvá odpovedajú vyššej časti spodného tortónu s. l.

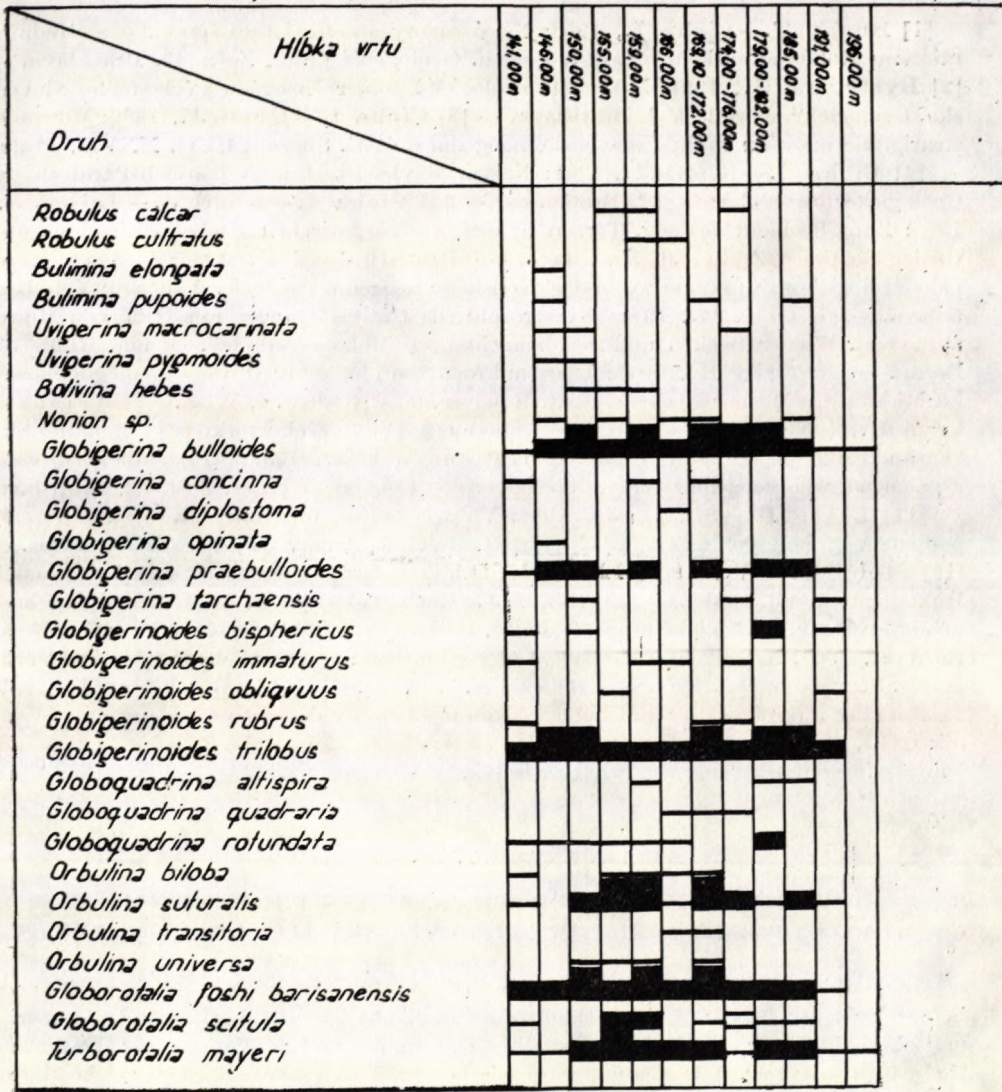
Mikrospoločenstvá z vrtu Borola 2 poukazujú na to, že tu boli optimálne podmienky pre rozvoj planktonických foriem, resp. dobré spojenie so šírym morom; salinita presahovala 30 ‰ a teplota vody okolo 20—22 °C. Takéto prostredie charakterizuje spoločenstvá hlbšieho neritika až plytkého batyálu.

Na základe zistenia spodného tortónu v tejto oblasti a ich stratigraficko-ekologickej charakteristiky môžeme formulovať niekoľko závažných záverov. Pelitický vývoj s hojnými planktonickými asociáciami z pomedzia neritika a batyálu svedčí o pomerne veľkej vzdialenosťi od okraja sedimentačného priestoru. Z toho vyplýva, že pôvodná pobrežná čiara presahovala dnešnú hranicu bradlového pásma.

Asociácia fauny v podloží ryolitového tufu, totožného štruktúrou, chemizmom i pozíciovou s tufom lok. Oreské (Slávik 1964), ktorý je ekvivalentom známeho horizontu hraboveckého tufu, potvrdzuje správnosť názoru o pozícii hraboveckého tufu na pomedzí spodného (lanzendorfskej série) a vrchného tortónu s. l., začínajúceho zónou so *Spiroplectammina carinata*, ktorý pre regionálnu koreláciu môže slúžiť ako vedúci horizont.

Veľký význam má aj zistenie, že spodný tortón sa vyskytuje pod vulkanitmi Vihorlatu, čo sa doteraz nepredpokladalo. Potvrdil sa aj paleogeografický význam priečneho vihorlatského lineamentu (Leško—Slávik 1966), ktorý zrejme podmienil prenik spodnotortónskeho sedimentačného priestoru na sever, zatiaľ čo západnejšie je spodný tortón obmedzený v podstate líniou, spojujúcou južný okraj útržkov ružbašsko-humenského mezozoika. Zistenie,

Zastúpenie foraminifer vo vrte Borola-2 (141,00-196,00 m)



— 1-6 exemplárov ■ 6-20 exemplárov ■ 20-100 exemplárov

Obr. 3. Výskyt foraminifer vo vrte Borola 2 (z hĺbky 141,00—196,00 m).

že horizont hraboveckého tufu pokračuje na Zakarpatskú Ukrajinu, umožní podrobnejšie riešiť vzťah medzi mohutným komplexom danilovských tufov a hraboveckým tufitom.

## LITERATÚRA

- [1] Buday T.—Cicha I., 1956: Nové názory na stratigrafii spodního a středního miocenu Dolnomoravského úvalu a Považí. Geologické práce, Zošit 43, Bratislava. — [2] Bystrická H., 1954: Mikropaleontologické pomery neogénu východného Slovenska. Geologický sborník, V/1, Bratislava. — [3] Cicha I.—Kheil J., 1960: Mikrobiostatigrafie miocénu východoslovenské neogenní oblasti. Sborník ÚÚG, XXVII, Praha. — [4] Cicha I.—Kheil J., 1961: Nástin korelace tortonu v párových Paratethydy. Geologické práce, Zprávy 22, Bratislava. — [5] Cicha I.—Kheil J.—Tejkal J., 1965: Zum Problem des sog. Torton in den westkarpatischen Becken (Mittelmiozän). Geologické práce, Zprávy 36, Bratislava. — [6] Danihelová H., 1954: Zpráva o mikropaleontologickém výzkumu východoslovenského neogénu. Geologický sborník V/1, Bratislava. — [7] Grill R., 1941: Stratigraphische Untersuchungen mit Hilfe von Mikrofaunen im Wiener Becken und den benachbarten Molasse-Anteilen. Öl und Kohle 37, Berlin. — [8] Grill R., 1943: Über mikropaläontologische Gliederungsmöglichkeiten im Miozän des Wiener Beckens. Mitt. Reichsamt. f. Bodenf. 6, Wien. — [9] Hanzlíková E., 1953: Mikrobiostatigrafické zhodnocení některých vzorků z východního Slovenska. Rukopis; Geofond, Praha. — [10] Janáček J., 1959: Stratigrafie, tektonika a paleogeografie neogénu východního Slovenska. Geologické práce, Zošit 52, Bratislava. — [11] Leško B.—Slávik J., 1966: Vplyv priečnej tektoniky na štruktúrne črty pomedzia východných a západných Karpát. Rukopis; Archív GP, Spišská Nová Ves. — [12] Molčíková V., 1962: Ekologické štúdie v tortonu československých Karpát. Rukopis; Geofond, Praha. — [13] Seneš J.—Švagrovský J., 1957: Neogén východného Slovenska. Geologické práce, Zošit 46, Bratislava. — [14] Špička V.—Zapletalová I., 1965: K problému korelace a členení tortonu v československé časti vídeňské pánve. Sborník geologických věd, řada G, sv. 8. Praha. — [15] Zapletalová I., 1957: Dnešní stav mikrobiostatigrafického výzkumu tortonu v dolnomoravském úvalu. Věstník ÚÚG, 32, Praha. — [16] Žurek V., 1954: Geologická stavba západní části pohoří Vihorlat. Geologický sborník V/1, Bratislava.

VIERA GAŠPARÍKOVÁ—JÁN SLÁVIK

## ZUM VORKOMMEN DER SCHICHTEN DES UNTERTORTON (LANZENDORFER SERIE) IM NORDÖSTLICHEN TEIL DES VIHORLAT

Am nördlichen Rand des vulkanischen Gebirges Vihorlat in der Ostslowakei wurde in der Bohrung Borola 2 eine Schichtfolge des Untertorton s. l. (Lanzendorfer Serie) und oberhalb dieser ein Horizont der Rhyolithtuffe angebohrt (die dem sog. Hrabovec-Tuffe aequivalent sind). In den untertortonischen Schichten fanden wir eine reiche Mikrofaunavergesellschaftung (siehe Verzeichnis im slowakischen Text, S. 121), die darauf hindeutet, dass zur Zeit der Ablagerung dieser Schichten der Sedimentationsraum den Charakter des Millieu mit Bedingungen des Neritikum und Bathyalis mit optimaler Voraussetzung für die Entwicklung der planktonischen Fauna besass. Stratigraphisch entspricht diese Assoziation dem höheren Untertorton s. l. (Lanzendorfer Serie).

Daraus lässt sich schliessen, dass die Klippenzone zu jener Zeit nicht emporgetaucht war. Der miozäne Sedimentationsraum reichte damals über die Grenzen der Klippenzone; im Untergrund des Vihorlat-Gebirges kam es offensichtlich zu mächtigen blockartigen tektonischen Querbewegungen, die dazu führten, dass der hiesige Sedimentationsraum gegenüber den westlicheren Gebieten viel nördlicher vorstießen konnte.

I. CICHA—J. SENEŠ—J. TEJKAL

## NÁVRH NA VYTVORENIE NEOSTRATOTYPOV A TZV. OTVORENEJ CHRONOSTRATIGRAFICKEJ ŠKÁLY

Podnet k nášmu návrhu zavdali fažkosti, s ktorými sa stretávame najmä v chronostratigrafii a korelácií terciéru. Vyplývajú z nedostatku vhodných, paleontologicky dostatočne charakterizovaných typov a z kritérií pre koreláciu a časové zaradenie hiátov. O týchto problémoch v posledných rokoch diskutovali najmä Burolet (1959), Cicha—Lotsch—Krutsch—Seneš (1964), Kapounek—Papp—Turnovský (1960), Reiss (1966), Seneš (1958), Sigal (1964) a ďalší.

Snahou stratigrafov je definovať *náplň existujúcich geochronologických jednotiek* (reprezentujúcich určitý časový úsek v histórii Zeme). Predpokladom toho je, aby sme na paleontologickej báze (štádium fylogenetického vývoja organizmov) vedeli zaradiť sediment do určeného geochronologického úseku. Za tým účelom musíme paleontologicky presne charakterizovať vzory, typy sedimentov, tzv. *stratotypy*. Žiaľ, zatiaľ takéto stratotypy nejestvujú.

Druhá fažkosť vyplýva z obmedzených možností charakterizovať a vyjadriť hiáty v chronostratigrafickej škále v zmysle litologickom i paleobiologickom. Nové vedecké poznatky samy o sebe tieto fažkosti neodstránia; bude potrebné zaradiť hiáty do exaktnejšieho chronostratigrafického a geochronologického rámca, s medzinárodnou platnosťou. V súvislosti s tým je potrebné: a) *vytvořiť paleontologicky charakterizované neostratotypy*; b) *riešiť otázku hiátov pomocou tzv. otvorennej chronostratigrafickej škály*.

### Zásady vypracovania neostratotypov

V najužej geochronologickej jednotke, reprezentujúcej určitý časový úsek, tzv. stupeň (Étage, Age, Etá, Stufe, jarus) sa stanovili sedimenty, predstavujúce vzor, typ (reprezentanta) predmetného obdobia (stupňa). Nazývajú sa *stratotypy*, ktoré ako vieme, sú z aspektu dnešných nárokov nedokonalé, väčšinou pre stratigrafiu širšieho areálu nepoužiteľné, a to z týchto dôvodov:

[1] Charakterizujú len nepatrne malý úsek daného obdobia, takže často vystihujú len určitý, často atypický moment fylogenetického vývoja organizmov a vývoja sedimentov.

[2] Podávajú paleontologický charakter iba jednej skupiny organizmov v danom období; pritom rôzne stratotypy sú charakterizované navzájom odlišnými skupinami organizmov, takže nejestvuje možnosť sledovať vývoj organickej skupiny, určenej ako ortochronologický ukazovateľ.

[3] Podávajú paleontologický i litologický charakter, výrazný len pre jednu fáciu (aj to v jednotlivých stratotypoch odlišné), resp. len pre jednu, teritoriálne ohraničenú bioprovinciu.

Prakticky to znamená, že ekvivalent takého vzoru (typu, stratotypu) spravidla možno hľadať nanajvýš len v tej istej bioprovincii, v tej istej fácii a len pri výskute tých istých fosílnych organizmov. Nemožno ich preto použiť za základ pre vekové začlenenie v širšom areále. Je preto potrebné vytvoriť také nové stratotypy, ktoré odstránia tieto nedostatky (najmä monopaleontologický a monofaciálny charakter), neporušia zásady starých stratotypov a hlavne zásadu, že jedno určité obdobie môže mať len jeden typ. Zvážiac tieto aspekty, navrhujeme vytvoriť neostratotypy *podľa nasledujúceho principu*:

Monofaciálny charakter starých stratotypov treba bezpodmienečne odstrániť. Spôsob života je a bol v rozličných prostrediacach odlišný. Iné bolo paleobiologické zloženie neritického, sublitorálneho alebo lagunárneho prostredia pri normálnej slanosti, iné v brackom, alebo sladkovodnom prostredí; menilo sa podľa charakteru bývalého substratu etc. Nové stratotypy musia preto *vyjadriť charakter organizmov zo všetkých*, v tom období existujúcich (aspoň základných) fácií. To sa dá uskutočniť len tak, že nový stratotyp nebude vypracovaný len z jedného výskytu, z jednej vrstvy, alebo vrstevného komplexu, ale bude mať svoje typy v každom faciálnom vývoji. Bude predstavovať okrem svojho holostratotypu i viac faciostratotypov (v zmysle Sigala 1964).

Monopaleontologický charakter starých stratotypov treba tiež odstrániť. Pre každé väčšie geologicke obdobie vo vývoji Zeme treba *nájsť skupiny organizmov*, vhodné svojím masovým výskytom, evolučnou schopnosťou a citlivosťou *pre charakterizovanie relativného veku*. Tieto skupiny organizmov dávajú základ pre ortochronológiu; ostatné skupiny v náväznosti na základnú skupinu slúžia pre parachronológiu (Schindewolf 1950; Seneš 1964). Výber skupín pre ortochronológiu sa väčšinou uskutočnil už v minulom storočí; napríklad v mezozoiku to boli v zásade amonity, v paleogéne numulity, v neogéne mäkkýše a [cicavce. Moderný paleontologický a stratigrafický výskum však zistil aj iné skupiny, často vhodnejšie pre vekové delenie a pre regionálnu koreláciu. Spomenieme len foraminifery, hlavne planktón.

Sme toho názoru, že *zásady ortochronológie* treba zachovať, ale treba *zrevidovať jej platnosť podľa prevahy marinných alebo kontinentálnych superfácií v tom-*

kterom období [Ortochronologickým ukazovateľom v prevažne marinnom miocéne Európy nemôžu byť kontinentálne cicavce. Na druhej strane zas bentosné mäkkýše tiež nemožno použiť ako rozlišovacie kritérium pre celý miocén; rovnako planktónne foraminifery vzhladom na svoj výskyt v paleogeograficky izolovaných oblastiach miocénu nie sú vhodné pre ortochronológiu počas celého miocénu]. Výraznú hranicu napr. medzi akvitánom a burdigalom trans-európskej bioprovincie predstavuje rozvoj, resp. imigracia určitých skupín mäkkýšov, uprostred miocénu. Preto treba do budovať ortochronológiu na širšom základe a jednotlivé neostratotypy súbežne charakterizovať vývojovým štádiom *aspoň dvoch skupín organizmov*. Ak sa chceme vyhnúť obmedzenému poňatiu ortochronológie, musíme (podobne ako pri odstránení monofaciálneho poňatia neostratotypov) stanoviť v oblasti neostratotypov viac typových lokalít a profilov (môžeme ich nazvať *faciostratotypmi*) a získať tak obraz z viačierich organických skupín (nemožno očakávať, že na jednom faciostratotype sa vyrieši problém fylogenetického štátia organizmov s odlišnými ekologickými vlastnosťami z odlišných živočíšnych skupín).

Monobioprovincionálny charakter neodstránia ani nové stratotypy, hlavne preto, že určité obdobia budeme definovať podľa bentósnych organizmov, zloženie ktorých sa mení obyčajne podľa bioprovincií. Tento nedostatok sčasti odstránia *planktónne organizmy*, ktoré pri charakterizovaní nových stratotypov zaberú významné miesto. Napriek tomu *neostratotypy bude zrejme treba vytvoriť osobitne pre každú bioprovinciu, resp. paleogeografický celok*. Jasné rozdiely v zložení miocénnych bentósnych organizmov pozorujeme nateraz medzi boreálnou, celt-lusitánskou, mediteránnou, transeurópskou (Paratetys), sčasti aj západnou indopacifickou, resp. tzv. východomediteránnou bioprovinciou, pot. medzi týmito a niektorými v určitých obdobiach paleogeograficky izolovanými oblasťami, akou bola napr. východná Paratetys (krymsko-kaukazská oblasť) v miocéne a pliocéne. Preto je potrebné:

[1] Pre každé najmenšie stanovené geochronologické obdobie (t. j. každý stupeň — étage; Stufe; Age; Etá; jarus) vybrať v každej bioprovincii typovú lokalitu, ktorej paleontologický obsah najlepšie vystihuje vývojové štádium organizmov daného obdobia (stupňa). Táto lokalita predstavuje *holostratotyp*.

[2] V každej bioprovincii sa vyberie naviac ešte niekoľko fáciestratotypov, ktoré sa od holostratotypu líšia faciálne i paleontologickým obsahom (výskyty iných skupín fosílnych organizmov, z iného prostredia sedimentácie; majú teda inú fáciu ako holostratotyp, s odlišnou biocenózou). Za fáciestratotypy možno na rozdiel od holostratotypu zvoliť i celý profil (typový profil), príp. materiál hlbinného vrtu, pokiaľ sa tento natrvalo zachoval a je verejne prístupný. *Fáciestratotypy majú reprezentovať synchrónne, ale faciálne odlišné, paleontologicky charakterizované sedimenty podľa možnosti (v max. rozsahu) v rámci jednej geochronologickej jednotky — stupňa.*

Hoci fáciostratotypy reprezentujú (po holostratotypoch) len sekundárny vzor, pomáhajú určiť ráz a riešiť problém stratotypov. Nezbytným predpokladom pre voľbu fáciostratotypov je, aby boli vekove ekvivalentné s holostratotypmi.

Z toho vyplýva, že (a) neostratotypy predstavujú jeden holostratotyp a viacero fáciostratotypov; (b) holostratotyp charakterizuje vývojové štádium organizmov ako ortochronologický ukazovateľ daného obdobia (pre miocén napr. mäkkýše a foraminifery); (c) fáciostratotypy vyjadrujú charakter obdobia vývojovým štádiom orto-, ale i parachronologických ukazovateľov, resp. paleontologický charakter obdobia v inej fácií než holostratotyp; (d) fáciostratotyp v podobe typového profilu vyjadruje náplňou — sedimentmi čo najdlhší úsek daného obdobia, prípadne vystihuje charakteristiku sedimentov (a ich paleontologický obsah) staršieho a mladšieho obdobia (stupňa); (e) neostratotyp sa vzťahuje vždy len na jedno geochronologické obdobie (rozsah jedného stupňa) a je platný len pre tú bioprovinciu, v ktorej bol stanovený.

Neostratotyp, ako určitá syntéza, súbor holostratotypu a fáciostratotypov, podáva obraz o celkovom charaktere sedimentov a ich vývoji, o paleobiologickom charaktere určitého časového úseku v určitom, bioprovincionálne samostatnom paleogeografickom areále. Slúži ako vzor (typ) pri vekovom zaradení ostatných sedimentov danej bioprovincie a predstavuje aj bázu pre koreláciu.

### Problém hiátov a potreba vytvorenia otvorennej chronostratigrafickej škály

Neostratotypy, hoci znamenajú oproti starým stratotypom určitý pokrok, neumožňujú nám utvoriť si obraz o vývoji v tých časových úsekoch stratigrafického stupňa, ktoré nie sú zastúpené sedimentmi. Najmenšie geochronologické jednotky — stupne boli v minulom storočí postavené na rozsahu vrstiev; dnes, keď tieto jednotky predstavujú ucelený časový úsek, nemôžeme ich hranice stotožňovať s hranicami existujúcich vrstevných komplexov. Tektonické procesy a nimi vyvolané transgresie a regresie, ovplyvňujúce proces sedimentácie prebiehali v rôznych oblastiach v odlišnom čase. Sedimentácia bud nevyplnila celý časový úsek danej geochronologickej jednotky, alebo ho presahuje. Existujú teda *hiáty v materiálnej výplni i vo vývojovom rade organického života geochronologickej jednotky*. Neostratotypy sa vzťahujú len na konkrétnu materiálnu výplň, ktorú charakterizujú. Charakter a rozsah hiátov je neznámy; často trvali dlhšie než sedimentácia. Hrajú preto v stratigrafii dôležitú, podnes nedocenenú úlohu. V chronostratigrafickej škále danej oblasti preto nemožno plynule (bez prerušenia) posudzovať sukcesiu série vrstiev, ani vývojové štádiá organizmov, charakterizujúce tieto série. Nielen že tak vznikajú neprirodzené a nevysvetliteľné prechody a skoky fylogenetické, ale aj preto, že (ako to ukazuje prax v posledných rokoch) v niektornej inej bioprovincii sa nájde práve chýbajúce neznáme ohnivko v řeťazi vývoja (časový

hiát), reprezentované sedimentmi a fosiliami. Keď je však chronologická škála tradične (bez medzery) vyplnená, fažko tam vtesnať nové (chýbajúce) ohnivko, novú sériu sedimentov.

Preto pre hiáty treba rezervoovať v chronostratigrafickej škále voľné miesto, a to pomocou tzv. otvorenej chronostratigrafickej škály. Do voľného pola (reprezentujúceho hiát) možno v chronostratigrafickej škále doplniť chýbajúci člen vývoja bez toho, žeby sa tým porušila doterajšia geochronologická škála. Tak sa dajú bez fažkostí zaradiť do existujúcej škály nové série sedimentov a pomocou nových fáciostratotypov kompletizovať sled vývoja organického života.

V tejto súvislosti je však potrebné osvetliť niektoré pojmy. V praxi pracujeme so sedimentmi, teda s konkrétnym materiálom. Preto časový rozsah geochronologický (t. j. stupeň) treba definovať konkrétnou náplňou, súborom sedimentov a pomenovať ho. Vlastný súbor sedimentov nemôže nosiť meno stupňa (resp. indexom označený čas), lebo svojím rozsahom sa obvykle nekryje s celou dĺžkou uplynulého času. Ani pomenovania holostratotypu alebo fáciostratotypov (názvy typových lokalít) nie sú vhodné, lebo sú typické len pre určitý vrstevný komplex jedného obdobia. Na chronostratigrafické označenie súboru vrstiev jedného cyklu a v jednom časovom období zaviedli Kapounek – Papp a Turnovský (1960, pag. 224) označenie *séria*, ktorá predstavuje menší časový úsek (spravidla) ako stupeň. Napríklad tzv. eggenburgská séria v paratetídnej oblasti spadá do tzv. „burdigalu“ (obdobia  $M_1$ ); vznikla len v určitom úseku tohto obdobia. Burdigal, alebo  $M_1$  je teda časove dlhší pojem ako eggenburgská séria (v zmysle geochronologickom). Nemožno teda povedať, že  $M_1$  (burdigal) je totožný s eggenburgskou sériou. Nad a pod touto sériou je hiát, ktorého trvanie je nám neznáme, ale spadá ešte do rámca obdobia  $M_1$ . Pre toto obdobie, pre tento hiát v zmysle litologickom i biologickom, treba v chronostratigrafickej škále rezervoovať miesto. Treba však preto nájsť v stratigrafickom „organizačnom poriadku“, v nomenklatúre prakticky použiteľnú formu (princíp otvorenej chronostratigrafickej škály), ktorá je daná vzájomným vzťahom stupňa, série a neostratotypu:

1. stupeň je abstraktný pojem geochronologický, reprezentujúci časový úsek;
2. jeho materiálnu náplň predstavujú sedimenty; sú podstatou chronostratigrafického pojmu séria (angl. formation);
3. neostratotypy (s holostratotypom a fáciostratotypmi) podávajú charakter série, teda časového úseku stupňa, zastúpeného sedimentmi;
4. sedimenty, často v podobe uzavretého sedimentačného cyklu (série) zastupujú obyčajne len časť celého stupňa;
5. Časť obdobia, nereprezentovaná sedimentmi, je hiát, ktorého litologický faciálny a paleontologický vývoj (v danej oblasti) nepoznáme.

Technicky možno systém tzv. otvorenej chronostratigrafickej škály s rezervovanými voľnými miestami riešiť len pomocou indexového označenia chrono-

stratigrafických pojmov (teda sérii), bez toho, žeby sa dačo menilo na doterajšom geochronologickom označovaní stupňov medzinárodne stanovených. Série (už zavedené, abo nové) budú mať v rámci stupňa *pevné indexové označenie* (napr. a, b, c, d). Ak príslušná séria leží na podloží s hiátom, resp. hiát je aj voči nadložiu, potom indexy a a d označujú obdobie hiátu. Indexy b a c označujú neostratotypom charakterizovanú sériu. Pre obdobia (hiátu) neznámej dĺžky v úseku a a d (v rámci určitého stupňa danej bioprovincii) je *rezervované miesto* pre prípad nálezu týchto sedimentov. V prípade konkordantného uloženia (litologicky i biologicky plynulý prechod) dvoch sérií bude index d označovať starší stupeň a index a mladší stupeň, obsadený označením série.

Ako príklad vezmeme opäť miocén paratetídnej oblasti. V období  $M_1$  (burdigal) leží t. č. známa eggenburgská séria v celej alpsko-karpatskej oblasti diskordantne a transgresívne na starších útvaroch, miestami na chat-akvitáne. Prechodný člen sedimentov (i organizmov) z chat-akvitánu do burdigalu zatial nepoznáme (snáď sa zistí na území bavorskej a rakúskej molasy v hlbších fáciách a možno aj v juhoslovensko-severomadarškej oblasti). Zatial dostala eggenburgská séria indexové označenie b, alebo b, c (podľa existencie vyšších burdigalských sérií, resp. hiátu v jej nadloží); index a zostane rezervovaný pre neznámy vývoj, pre doteraz nezistené sedimenty medzi terminálnym akvitánom a sedimentáciou eggenburgskej série. Ak sa takéto sedimenty zistia, bude možno ich príčleniť, resp. zlúčiť s eggenburgskou sériou so spoločným indexom a—b alebo a—c.

Iný príklad. V tzv. karpatskej sérii (v stupni  $M_3$  — karpat) v alpsko-karpatskej oblasti sa zistil plynulý prechod (konkordantné uloženie) z podložných vrstiev, z tzv. lužickej série ( $M_2$  — helvétu). Karpatská séria dostane preto index a alebo a—c (podľa rozsahu). Kedže ale nepoznáme jej prechod do najbližej vyššej série, reprezentujúcej už obdobie tortónu s. l., pre hiát v terminálnom období karpatu treba rezervovať úsek s indexom d.

Označenie, ktoré má vyjadriť postavenie sérií a hiátov pomocou indexov nemožno meniť, a to ani vtedy, keď pôvodne nedefinovaný index (index nudum) sa nálezom doteraz neznámych vrstiev zaplní.

Prípadné zmeny v indexovom označení (väčší alebo menší počet indexov) by viedli pri regionálnej korelácií opäť k zmätkom. Žiaduce by bolo, aby predom stanovený počet stálych indexov bol jednotný pre všetky bioprovincie.

Vychádzajúc z dnešných teoretických a praktických možností, *navrhujeme vytvoriť v každej geochronologickej jednotke* (stupni) *štýri chronostratigrafické úseky s indexom a, b, c, d* (pozri priloženú schému).

Niekteré série budú niekedy zaberať nie jeden, ale viac úsekov (napr. index a—b, alebo b—d; ak majú plynulý prechod zo staršieho a do mladšieho stupňa, potom aj a—d). Takéto štvorindexové členenie otvorennej chronostratigrafickej škály nám v budúcnosti (ked budú novo vytvorené série a ich neostratotypy vo všetkých bioprovinciách) umožní seriáznejšiu *koreáciu*.

Uvedieme zas príklad: ak v paratetídnej oblasti eggenburgská séria odpovedá burdigalu b—c (stručne  $M_{1bc}$ ), v mediteránnej oblasti X-séria odpovedá burdigalu a—b, v atlantickej bioprovincii Y-séria burdigalu a—d a v boreálnej bioprovincii Z-séria burdigalu b—c; pri použití indexov budeme môcť ľahšie tieto bioprovincie korelovať a vypracovať tektonické a paleogeografické schémy.

Schéma otvorennej chronostratigrafickej škály pre možnosť doplnenia hiátov a presnejšej medzibioprovincionálnej korelácie

| S T U P E Ň<br>Geochronologický pojem<br>(Reiss 1964)  | S É R I A<br>Chronostratigrafický pojem | (Kapounek-Papp-Turnovský<br>1960)  |                                     |             |
|--|---|--|-------------------------------------|-------------|
|  |   | Transeurópska bioprovincia<br>(centrálna Paratetys)  | Bioprovincia X<br>ako príklad       |             |
| <b>M<sub>5</sub></b><br>(messinien, sarmatien)   | d                                       | sedimenty zatiaľ neznáme<br>(M 5 d)  | hiát                                |             |
|  | c                                       | *hodonínska séria<br>(M <sub>5</sub> ac)   | séria X (M <sub>5</sub> bd)         |             |
|  | b                                       |  | zatiaľ neznáme (M <sub>5</sub> a)   |             |
|  | a                                       |  | zatiaľ neznáme (M <sub>4</sub> d)   | hiát        |
| <b>M<sub>4</sub></b><br>(tortonien s. l., partim:<br>tortonien s. s. sallomacien,<br>elveziano etc.) | d                                       |  | neprerušená                         |             |
|  | c                                       | *devinska séria (M <sub>4</sub> bd)  |                                     |             |
|  | b                                       |  |                                     |             |
|  | a                                       | *lanzendorfská séria (M <sub>4</sub> b)  | séria X (M <sub>4</sub> ac)         |             |
| <b>M<sub>3</sub></b><br>(karpat, langhiano partim,<br>etc.)  | d                                       | sedimenty zatiaľ neznáme<br>(M 3 d)  | hiát                                |             |
|  | c                                       |  |                                     |             |
|  | b                                       | karpatská séria<br>(M <sub>3</sub> ac)   | séria X (M <sub>3</sub> ad)         |             |
|  | a                                       |  |                                     |             |
| <b>M<sub>2</sub></b><br>(helvetien s. s., burdigalien<br>sup. partim, etc.)                          | d                                       | ottnangská séria<br>(M <sub>2</sub> ad)  | neprerušená                         |             |
|  | c                                       |  |                                     |             |
|  | b                                       |  |                                     |             |
|  | a                                       |  |                                     |             |
| <b>M<sub>1</sub></b><br>(burdigalien inf., moyen?,<br>aquitaniensup. partim, etc.)                   | d                                       | eggenburgská séria<br>(M <sub>1</sub> be)  | hiát                                |             |
|  | c                                       |  |                                     |             |
|  | b                                       |  |                                     |             |
|  | a                                       | sedimenty zatiaľ neznáme<br>(M <sub>1</sub> a)   | séria X (M <sub>1</sub> ac)         |             |
| <b>O M</b><br>(aquitaniens, chatt-<br>aquitaniens ? chattien-O <sub>3</sub> ?)                       | d                                       | sedimenty zatiaľ neznáme<br>(OM d)   | hiát                                | neprerušená |
|  | c                                       | *štúrovská, kováčovská<br>alebo eggerská séria<br>(OM <sub>ac</sub> alebo O <sub>3</sub> ac ?) | séria X (OM <sub>1</sub> cd)        |             |
|  | b                                       |  |                                     |             |
|  | a                                       |  | zatiaľ neznáme (OM <sub>1</sub> ab) | hiát        |

\* Názvy v oblasti centrálnej Paratetydy (okrem eggenburgskej, ottnangskej a karpatskej série) sú predbežným návrhom.

V súvislosti s uplatnením týchto návrhov, bude potrebné urobiť *výber holostratotypov a fáciostratotypov, určiť názvy sérií a zaradiť ich do otvorennej chronostratigrafickej škály v každej bioprovincii alebo paleogeogr. oblasti*. Myslíme tu najmä na hlavné bioprovinciálne rajóny Európy, na oblasť mediteránnu, ktorú pri stanovení neostratotypov treba rozdeliť na východo a západomediteránnu; na oblasť transeurópsku s podoblasťami západnej + centrálnej a východnej Paratetídy; na oblasť celtluisitanskú a na oblasť boreálnu. Za tým účelom bude potrebné vytvoriť pracovné teamy v jednotlivých oblastiach, ako už existujú pre oblasť centrálnej Paratetídy pri spracovaní miocénu podľa načrtnutých zásad [zatiaľ je spracovaný holostratotyp a fáciostratotypy karpatskej série ( $M_3$ -karpat) a t. č. sa zostavujú neostratotypy eggenburgskej a ottnangskej sérií ( $M_1$  a  $M_2$ -približne burdigal a helvét) za účasti geológov z Československa, Rakúska a Maďarska].

### Záver

Vypracovanie nových a dokonalejších stratotypov nie je myšlienka nová. Vlastná chronostratigrafia sa musí zostaviť pre každú bioprovinciu, každú paleografickú jednotku, alebo ináč špecifickú oblasť. Treba tak však robiť podľa spoločných kritérií, v rámci všeobecnej geochronologickej škály a podla spoločných zásad. Zavedenie otvorennej chronostratigrafickej škály, ktorá — ako sa domnievame — jedine umožňuje riešiť problém hiátov a presnejšej korelácie, bude znamenať prínos len vtedy, ak sa bude používať podľa jednotných princípov v každej oblasti. Tak ako v paleontológii, aj pri stratigrafickej koreláции treba nájsť spoločný jazyk, spoločnú formu vyjadrenia v podobe spoločne dohodnutej a používanej schémy.

### LITERATÚRA

- [1] Burolet P. F., 1959: Remarques sur la nomenclature stratigraphique. Sciences de la Terre. 5. No. 2–3. — [2] Cicha I.—Lotsch D.—Krutsch W.—Seneš J., 1964: Project provisoire pour une subdivision chronostratigraphique du Tertiaire. Mémoires du Bureau Recherches Geol. et Min. No 28. Colloque sur le Paléogène — Bordeaux 1962, Vol. II. — [3] Kapounek J.—Papp A.—Turnovský K., 1960: Grundzüge der Gliederung von Oligozän und älteren Miozän in Niederösterreich nördlich der Donau. Verhandlungen der Geologischen Bundesanstalt, Wien. — [4] Reiss Z., 1966: Significance of stratigraphic categories — a review. Proceedings of the third Session of Committee on Mediterranean Neogene Stratigraphy in Berne 1964. — [5] Schindewolf O. H., 1950: Grundlagen und Methoden der paläontologischen Chronologie. Naturh. Verein Berlin, Edit. Bornträger. — [6] Selli R., 1960: Il Messiniano Mayer—Eymar 1867. Proposta di un neostratotipo. R. Geol. Ann. Mus. geol. Bologna. — [7] Seneš J., 1958: Considérations sur la nécessité de créer des stratotypes nouveaux du Tertiaire de l'Europe. Compt. Rendu Soc. Géol. France. Paris. — [8] Sigal J., 1964: Une thérapeutique homéopathique en chronostratigraphie: Bull. Trimestriel Départ. Inform. Géolog. — [9] Teichert C., 1958: Some biostratigraphical concepts. Bull. Geol. Soc. Amer. 69.

JOZEF FORGÁČ—JOZEF KOVÁČIK

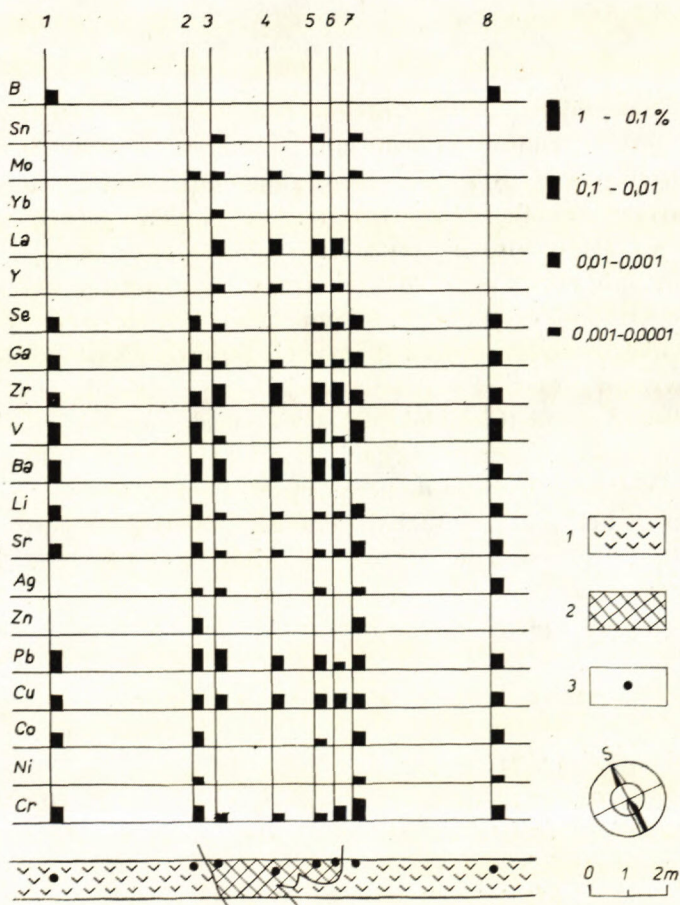
**NIEKOĽKO POZNÁMOK K OTÁZKE RYOLITOV V CENTRÁLNEJ ČASŤI  
BANSKOŠTIAVNICKÉHO RUDNÉHO POĽA**

V oblasti Banskej Štiavnice v období trvania subsenkvetného vulkanizmu došlo v sarmate k ryolitovým erupciám na viacerých miestach po tektonických liniách zhruba S—J smeru. Tieto zlomové línie boli v období stredný tortón až sarmat niekoľkokrát oživované. Pozdĺž nich vystupovali na povrch eruptíva II. a III. andezitovej fázy a III. ryolitovej fázy ako aj roztoky, ktoré vyvolali zrudnenie (Kuthan 1962). V sarmate sa ryolitový vulkanizmus prejavil aj v centrálnej časti banskoštiavnického rudného poľa vo forme žíl. Zmienku o nich nachádzame už u starších autorov. Napr. Adrian (1866) spomína povrchový východ pri Belianskej bráne. Lipold (1867) ich stotožňuje s ryolitovou žilou (Clotildekluft) z viacerých banských diel. Sú známe tri vetvy žily, niekoľko metrov mocnej, generálneho smeru N 40°E so sklonom 55—60° na JV v úseku medzi dedičným prekopom 5. obzoru pri šachte Zigmund až po dedičnú štôlňu Michal. Husák (1880) tieto horniny považuje za mikrogranit, reprezentujúci intrúzie granitov. Szabo (1891) ich dáva do jednej skupiny so silne vybielenými a premenenými dacitmi a Böckh (1901) ich už označuje za aplity, kyslé diferenciáty granodioritovej magmy, ktoré prerážajú cez pyroxenický andezit. Toto bol jeden z dôkazov, na základe ktorého považoval kremitý diorit za mladší ako pyroxenický andezit. Za druhý dôkaz slúžil mu blok pyroxenického andezitu v kremitom diorite v štôlni Antona Padnanského v Hodruši.

V posledných rokoch sa diskutuje o relatívnom i absolútном veku diorit-granodioritových intrúzií (Rozložník—Šalát 1963) a v súvislosti s tým aj o dôkazoch uvádzaných staršími autormi. Pre neprístupnosť štôlne Antona Padnanského v Hodruši skúmali sme žilu Klotilda v centrálnej časti štiavnického rudného poľa, ktorej rozsah siahá ďaleko za hranice starších zistení. Najväčšia hlbka bola dosiahnutá na prekope na žilu Ján z 5. hlbkového obzoru

šachty Emil. Žila tu tvorí dve oddelené vetvy v podloží žily Ján; na úrovni vyššie položeného 12. obzoru ju sprevádza v jej nadloží. Žila Ján teda zrejme pretína Klotildu niekde medzi 5. hlbkovým a 12. obzorom. Okrem toho bola zachytená vo vrte Mi-2, kde preráža amfibol-biotitický dacit a pri Michal šachte na 12. obzore.

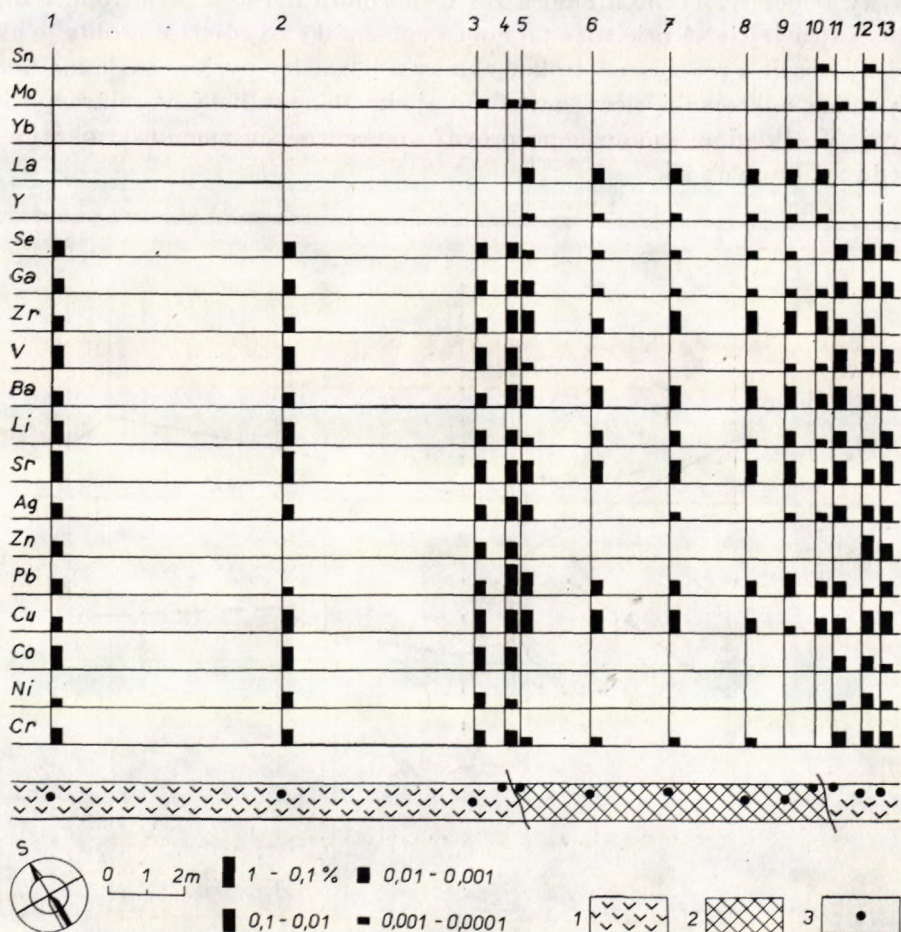
Podrobnejšie sme ryolity študovali na V. hlbkovom obzore a na 12. obzore. Typickým zjavom je nerovný okraj žil oproti okolitému pyroxenickému andezitu (obr. 1, 2). Smer, sklon, mocnosť a vzdialenosť medzi oboma telesami sa menia. Nepozorovať na nich znaky opakovaných pohybov (ako napr. na štruktúre žily Ján), ani markantnejšie premeny na styku s pyroxenickým andezitom, ktoré by tvorili zonárnosť.



Obr. 1. Zastúpenie stop. prvkov v ryolite a pyroklast. andezite na V. hlb. obzore šachty Emil; 1 – pyrox. andezit, 2 – ryolit, 3 – odber vzoriek.

Textúra ryolitu je porfyrická, s celistvou základnou hmotou a výraznou tenkoprúžkovanou fluidalitou, ktorej smer je zhruba zhodný s okrajom ryolitových žíl.

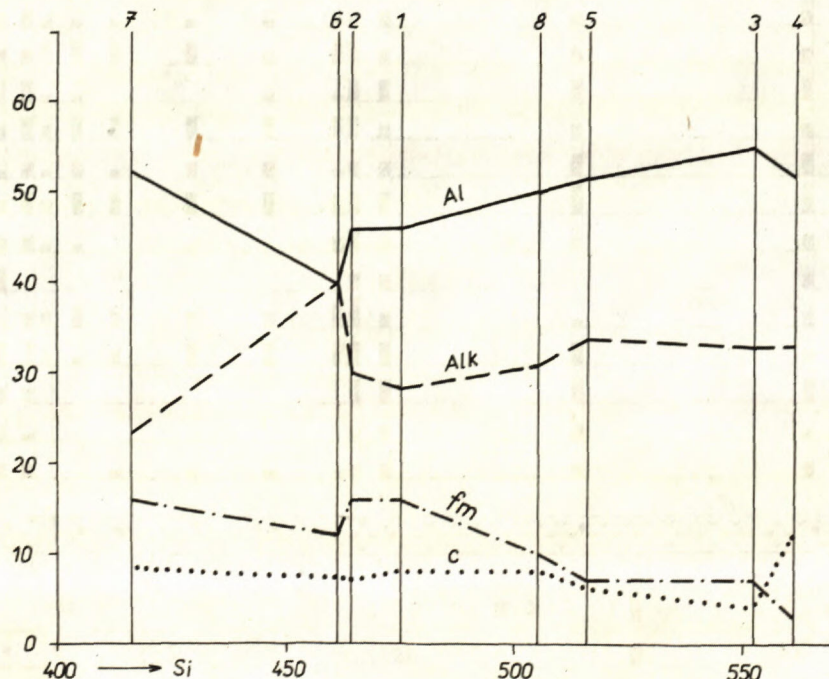
Ryolit je svetlosivý. Porfyrické výrastlice tvorí kremeň, živce a biotit. Hornina je miestami preniknutá jemnými žilkami kremeňa a sú v nej roztrúsené drobné jedince pyritu. Najbohatšie je zastúpený kremeň v porfyrických výrastliciach (max.  $1,05 \times 0,90$  mm veľkých) a vo výplni tenkých žiliek, resp. v drobných, málo výrazných zhlukoch v základnej hmote. Porfyrické výrastlice kremeňa sú prevažne zaoblené v dôsledku magmatického natavovania, alebo sú zálivkovito korodované. Zriedkavejší je v hornine K-živec, tvoriaci výrastlice až  $1,20 \times 0,75$  cm veľké. Výrastlice živca majú tabuľkovitý tvar,



Obr. 2. Zastúpenie stop. prvkov v ryolite a pyrox. andezite na XII. obzore; 1 — pyrox. andezit, 2 — ryolit, 3 — odber vzoriek.

alebo sú spolu s porfyrickými výrastlicami kremeňa, do ktorých zálivovite prenikajú a vyplňujú v kremeni miesta vytvorené magmaticou koróziou. Z toho vyplýva, že K-živec kryštalizoval pozdejšie ako kremeň. Nachádzame ho spolu s kremeňom aj vo výplni žiliek a v drobných málo výrazných zhlukoch v základnej hmote. K-živce sú dvojčatne lamelované; prevažne patria aduláru, menej sanidínu,  $2V = 10$  až  $58^\circ$ , Chm —. Sú čiastočne sericitizované a karbonatizované.

Sericit má miestami vejárovito usporiadane lupienky. Ojedinele sú zastúpené porfyrické výrastlice plagioklasu s výrazným dvojčatným lamelovaním tabulkovitého vývoja. Bázicitu odpovedajú oligoklasu (An 17—32). Biotit je prevažne premenený na Fe-oxydy; iba v stredných častiach sú miestami zvyšky temer čerstvého a chloritizovaného biotitu. Biotit je prítomný ojedinele. Najčastejšie sú priestory po ňom vyplnené Fe oxydmi. V ryolite je akcesorický apatit a roztrúsené drobné zhluky a hexaedry pyritu. Základná hmota pripomína mikropoikilitický, miestami aj skrytokryštalický až mikroaplitický vývoj. V základnej hmote nepozorovať markantnejšiu zmenu od okrajov do stredu ryolitových žíl.



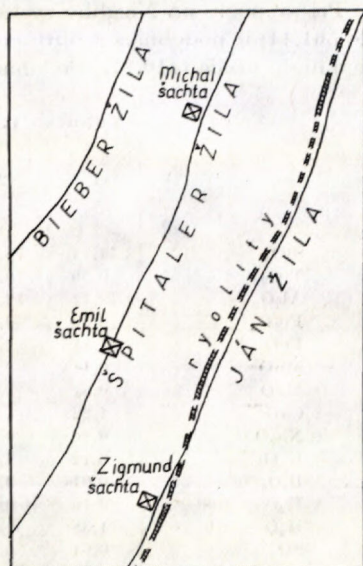
Obr. 3. Niggliho variačný diagram.

Styk ryolitov s pyroxenickými andezitmi je ostrý a nepozorovať pozdĺž neho zonárnosť premien. Pyroxenický andezit je tmavonazelenkavý, pevný, tmavé minerály sú chloritizované a pseudomorfózy po nich sú vyplnené chloritom, menej aj uhličitanom. Plagioklasy sú čiastočne adularizované a postihnuté sericitizáciou a karbonatizáciou. V hornine sú roztrúsené drobné zhluhy pyritu. Ryolity sú temer rovnako intenzívne premenené ako horniny v ich okolí. Adularizácia prebieha zonárne v okolí žíl s rudnou výplňou ( $Pb-Zn$  zóny; Forgáč, 1966). V okolí ryolitových žíl tátu zonárnosť nebola pozorovaná. Ryolitové žíly na 5. hlbkovom obzore šachty Emil sú v podloží žíly Ján a na vyššie položenom 12. obzore v jej nadloží. Žila Ján zrejme pretína ryolitové žíly medzi 5. hlbkovým a 12. obzorom (obr. 4). Z toho vyplýva, že ryolity v centrálnej časti štiavnického rudného poľa sú staršie ako rudné žíly, pričom zrudnenie je pravdepodobne viazané na subvulkanické formy granitoidného zloženia.

V blízkosti Banskej Štiavnice sú menšie ryolitové telesá. Žilné formy sa najbližšie vyskytujú V od Iliche, SV od Banského Stredanca a SV od B. Belej v záreze štátnej cesty. Makroskopicky sú tieto ryolity podobné ako v strednej časti štiavnického ložiska; sú prevažne svetlosivé až ružovkasté, porfyrickej textúry so sféroliticou a mikrofelzitickou základnou hmotou. Porfyrické výrastlice tvorí kremeň, živec a biotit. Výrastlice kremeňa sú silne korodované, zo živecov dominujú plagioklasy (32—44 % An) nad ojedinelým ortoklasom (sanidín). Z tmavých minerálov je prítomný biotit vo forme lupienok, akcesorický apatit.

Z celkového zloženia vyplýva, že odchýlky v zastúpení Na a K-živecov, v zriedkavejšom výskyti biotitu sú spôsobené postvulkanickými premenami, ktoré sa v ryolitoch na ložisku v Banskej Štiavnici prejavili hlavne chloritizáciou biotitu a adularizáciou plagioklasov.

Popri mineralogickom zložení ryolity boli študované i po stránke chemickej (tab. 1). Analýzy 1, 2 a 3 sú z ryolitovej žíly na 12. obzore (č. 1 a 3 z okrajových častí a č. 2 zo strednej časti žíly); č. 4 a 5 sú z 5. hlbkového obozoru (č. 4 z okrajových častí a č. 5 zo strednej časti žíly); č. 6—8 citované z práce Belešová a ī. (1963). Obsah  $SiO_2$  činí 74,40 %—76,27 %, čo odpovedá zastúpeniu  $SiO_2$  v ryolitoch z blízkeho okolia ložiska Banská Štiavnica.  $Al_2O_3$  (11,72 % až 13,00 %) je viazaný prevažne v živecoch a v základnej hmote. Množstvo  $FeO$  (0,08—1,41 %) a  $MgO$  (0,09—1,04 %) je závislé od množstva



Obr. 4. Priebeh ryolit. žíl a žilných štruktúr v centrálnej časti ložiska

zachovaného biotiu v hornine. V porovnaní s ryolitmi v blízkom okolí sú väčšie odchýlky v zastúpení alkálií. Pomerne nízky obsah  $\text{Na}_2\text{O}$  (0,18 – 0,66 %) a zvýšený  $\text{K}_2\text{O}$  (6,40 – 6,72 %) v ryolitoch žily Klotilda je vyvolany K-metasomatázou Na živecov, pritom však sumárna hodnota alkálií je temer zhodná. Môžeme preto predpokladať, že pri K-metasomatóze ryolitov došlo ku zámene sodíka drasíkom.

Pri prepočte na Niggliho systém (tab. 2) u ryolitov žily Klotilda hodnota Si (464,08 do 561,44) je podobná s ryolitmi od Ilji a Banskej Belej; u ryolitu od Banského Studenca je o niečo nižšia (416,27). Podobne je to aj pri hodnotách Al (46,74 – 52,25) až na ryolity

Tabuľka 1. Váhové % chemických analýz ryolitu.

|                                   | 1     | 2     | 3     | 4     | 5     | 6      | 7     | 8      |
|-----------------------------------|-------|-------|-------|-------|-------|--------|-------|--------|
| $\text{SiO}_2$                    | 74,44 | 74,40 | 76,27 | 75,20 | 74,80 | 75,70  | 72,26 | 76,29  |
| $\text{TiO}_2$                    | 0,09  | 0,09  | 0,09  | 0,12  | 0,10  | —      | 0,25  | 0,17   |
| $\text{Al}_2\text{O}_3$           | 12,42 | 12,74 | 13,00 | 11,72 | 12,74 | 11,14  | 15,40 | 12,92  |
| $\text{Fe}_2\text{O}_3$           | 0,09  | 0,02  | 0,02  | 0,09  | 0,04  | 1,83   | 2,67  | 0,97   |
| FeO                               | 1,41  | 1,14  | 0,79  | 0,08  | 1,00  | 0,15   | 0,65  | 0,79   |
| MnO                               | 0,11  | 0,10  | 0,05  | 0,05  | 0,04  | 0,04   | 0,01  | 0,03   |
| MgO                               | 0,81  | 1,04  | 0,18  | 0,12  | 0,09  | 0,42   | 0,11  | 0,10   |
| CaO                               | 1,22  | 1,05  | 0,55  | 1,50  | 0,90  | 1,5    | 1,40  | 1,15   |
| $\text{Na}_2\text{O}$             | 0,26  | 0,22  | 0,18  | 0,40  | 0,66  | 4,00   | 2,52  | 2,50   |
| $\text{K}_2\text{O}$              | 6,72  | 7,32  | 6,88  | 6,40  | 6,80  | 4,10   | 2,51  | 3,57   |
| $\text{P}_2\text{O}_5$            | 0,01  | 0,01  | 0,01  | 0,01  | 0,01  | 0,42   | 0,06  | —      |
| $\text{H}_2\text{O} + \text{suš}$ | 0,10  | 0,04  | 0,73  | 1,30  | 1,33  | 0,58   | 1,39  | 1,08   |
| $\text{H}_2\text{O} - \text{žih}$ | 1,38  | 1,02  | 0,08  | 0,08  | 0,12  | 0,85   | 0,74  | 0,44   |
| $\text{SO}_3$                     | 0,94  | 0,71  | 0,57  | 0,76  | 1,0   |        |       |        |
| spolu:                            | 99,83 | 99,91 | 99,40 | 98,84 | 99,63 | 100,68 | 99,97 | 100,01 |

Analyzovali: 1 – 2 Gromová, Trubanová – GP Turčianske Teplice (1 – 3 ryolity z XII. obzoru; 4 – 5 ryolity z V. hibkového obzoru Emil šachty); 6 – 8 prebrané z práce Belešová O., Dávidová Š. Materný M. (1963); 6 ryolit od Ilje; 7 ryolit od B. Studenca (predtým Kolpachy); 8 ryolit od Banskej Belej (v liter. Žakyl).

Tabuľka 2. Hodnoty v Niggliho systéme.

|          | 1      | 2      | 3      | 4      | 5      | 6      | 7      | 8      |
|----------|--------|--------|--------|--------|--------|--------|--------|--------|
| Al       | 46,74  | 46,82  | 55,22  | 51,57  | 51,87  | 39,93  | 52,25  | 50,20  |
| fm       | 16,09  | 16,10  | 7,39   | 3,14   | 7,05   | 12,43  | 15,92  | 10,36  |
| c        | 8,43   | 7,12   | 4,35   | 12,11  | 6,64   | 7,69   | 8,65   | 8,37   |
| alk      | 28,74  | 29,96  | 33,04  | 33,18  | 34,44  | 39,93  | 23,18  | 31,07  |
| si       | 474,68 | 464,08 | 552,20 | 561,44 | 516,63 | 461,58 | 416,27 | 505,98 |
| mg       | 0,48   | 0,60   | 0,29   | 0,43   | 0,01   | 0,29   | 0,07   | 0,12   |
| k        | 0,95   | 0,96   | 0,96   | 0,92   | 0,87   | 0,40   | 0,40   | 0,49   |
| qz       | 259,72 | 244,24 | 320,04 | 328,72 | 278,87 | 201,86 | 223,55 | 281,70 |
| Q        | 63,67  | 62,57  | 66,36  | 66,56  | 63,96  | 93,16  | 62,90  | 64,61  |
| L        | 30,41  | 31,38  | 28,53  | 31,55  | 32,23  | —      | 27,89  | 30,78  |
| M        | 5,92   | 6,05   | 5,11   | 1,89   | 3,81   | 6,84   | 9,21   | 4,61   |
| $\pi$    | 0,13   | 0,11   | 0,06   | 0,15   | 0,09   | —      | 0,16   | 0,12   |
| $\gamma$ | —      | —      | —      | —      | —      | 0,38   | —      | —      |
| $\alpha$ | 21,99  | 20,66  | 27,79  | 72,13  | 33,47  | 21,05  | 14,43  | 28,69  |

od Ilje (39,93). Hodnota c (od 4,35 do 12,11) a fm (od 3,14—16,10) je premenlivá v dôsledku premenlivého zastúpenia biotitu a rudného pigmentu. Hodnota alkálií je o niečo stabilnejšia a pohybuje sa v rozmedzí 28,74 až 34,44; u ryolitov od Banského Studenca je nižšia (23,18), u Ilje vyššia (39,33). Z Niggliho variačného diagramu (obr. 3) vidiť, že ryolitové žily z centrálnej časti ložiska a z blízkeho okolia Banskej Štiavnice celkove sú si v podstate podobné, až na niektoré odchýlky vyvolané premenou ryolitov na ložisku Banská Štiavnica. Pôvodne však ryolity patrili jednej magme — granitovej (anal. 6, 7, 8), ryolity žily z ložiska leukogranitovej (anal. 3, 4, 5), príp. leukosienitgranitovej (anal. č. 1, 2).

Zastúpenie stopových prvkov v ryolitech a v okolitých pyroxenických andezitoch je na obr. 1. Niektoré z nich (Y, La, Yb) sa vyskytujú len v ryolitech, v pyroxenickom andezite nie. Iné prvky (Co, Ni, Zn) sú zas prítomné v pyroxenickom andezite a v ryolite nie. Ďalšia skupina prvkov (Sc, V, Li, Ag, Cr) sú viac zastúpené v okolitej andezite ako v ryolite; Pb a Cu neprejavujú markantnejších zmien, kým Ba a Zr bývajú v ryolitech viac koncentrované. Prvky Mo, Sn a B nejava jednoznačný vzťah ani k ryolitu ani k pyroxenickému andezitu.

## Záver

V centrálnej časti banskosťiavnického rudného poľa v sarmate vznikli ryolity vo forme žíl, prenikajúcich cez pyroxenické andezity a dacity. Ryolity, pretínané žilou Ján medzi 5. a 12. obzorom, sú staršie ako tvorba rudných žíl; sú svetlej farby, porfyrickej štruktúry. Porfyrické výrastlice tvorí kremeň, K-živce (sanidín a adulár), plagioklas a biotit. Biotity boli spolu s okolitými horninami vplyvom postvulkanických roztokov adularizované, chloritizované a pyritizované.

Geologický ústav D. Štúra,  
Bratislava

## LITERATÚRA

- [1] Adrian H., 1866: Das südwestliche Ende des Schemnitzer-kremnitzer Trachytstocks. Jahrbuch XVI., Wien. — [2] Belešová O. — Dávidová Š. — Matherny M., 1963: Príspevok k petrografii a geochemii hornín banskosťiavnickej oblasti. Sborník Slov. národného múzea, LVII., Bratislava. — [3] Böhmer M., 1961: Relations between potassium trachytes rhyolites and mineralization in Kremnica orefield. Geol. práce, Zošit 60, Bratislava. — [4] Bockh H., 1901: Előzetes jelentés a Selmecbányai vidékén előforduló eruptív közetek korviszonyairól. Földt. Közl. XXXI. — [5] Fiala F., 1937: Výskyt tertiárních hlubinných vyvřelín v severním poli XII. obzoru šachty Zigmund v Banskej Štiavnici. Sborník ŠBM, I. — [6] Forgáč J., 1966: Petrografia a geochemia premenených hornín v banskosťiavnicko-hodrušskom rudnom obvode. Záp. Karpaty, zv. 5, Bratislava. — [7] Hussak E., 1880: Beiträge zur Kenntnis der Eruptivgesteine der Umgegend von Schemnitz. Sitzungsberichte der Ak. d. Wiss., Wien. — [8] Kováčik J., 1965: Geologický výskum centrálnej časti banskosťiavnického rudného poľa. Rukopis; Archív GÚDŠ, Bratislava. — [9] Kuthan M., 1962: Tektonické deformácie stredoslovenských neovulkanitov a vzťah vulkanizmu k tektonike. Rukopis; Archív GÚDŠ, Bratislava. — [10] Lipold M. V., 1867: Der Bergbau von Schemnitz in Ungarn. Jahrbuch

XVII., str. 317—460. Wien. — [11] Rozložník L.—Šalát J., 1963: Stratigraficko-tektonická pozícia banatitov na Štiavnickom ostrove. Sborník ved. prác VŠT v Košiciach zv. 2. — [12] Szabó J., 1891: Selmecz környékének geologiai leírása. 1. A magy. tud. akad. külön kiadványa, 2. Mat. Term. Ert., IX. — [13] Šalát J., 1954: Petrografia a petrochémia eruptívnych hornín v oblasti Hodruša—Vyhne. Geol. práce, Zošit 39. Bratislava.

JOZEF FORGÁČ—JOZEF KOVÁČIK

BEMERKUNGEN ZUR STELLUNG DER RHYOLITE IM ZENTRALTEIL  
DES ERZFELDES VON BANSKÁ ŠTIAVNICA

Inmitten des Erzfeldes von Banská Štiavnica im mittelslowakischen neovulkanischen Massiv entstanden in der Sarmat-Zeit Rhyolite, die in Form von Gängen die Pyroxenandesite und Dazite durchqueren. Die Rhyolite selbst werden durch den Johannes Erzgang zwischen dem V. und XII. Tiefenhorizont durchschnitten. Daraus lässt sich schliessen, dass sie älter sind als die Bildung der Erzgänge. Rhyolite sind hell bis hellgrau gefärbt, haben eine porphyrische Struktur. Die porphyrischen Einsprenglinge werden aus dem Quarz, Kalifeldspat (und zwar Sanidin und Adular), Plagioklase und Biotite gebildet.

Die Rhyolite wurden unter dem Einfluss der postvulkanischen Lösungen zusammen mit den anliegenden Gesteinen meistens adularisiert, chloritisiert und pyritisiert.

K. ELIÁŠ—J. KANTOR—J. ŠTOHL

## INTRAMINERALIZAČNÉ POSTAVENIE RYOLITOV V BANSKEJ ŠTIAVNICI

### Úvod

V relatívne krátkom časovom rozpätí dochádza pri vulkanickej činnosti spojenej s tvorbou povrchových vulkanických foriem k radu erupeií typu extruzív, malých intrúzií, stĺpov a dajkových polí prevažne v subvulkanickom vývoji. Tieto subvulkanické komagmatické formy, ktoré sú súčasťou povrchovej vulkanickej aktivity, zákonite súvisia priestorove, časove i látkovo s procesmi tvorby rúd. Štúdium zrudňovacích procesov v závislosti na čase, priestore a látkovom zložení dajkových polí a iných subvulkanických foriem má veľký význam pri skúmaní metalogénnych zákonitostí v závislosti na geologickej a tektonickej stavbe územia, hlavne pre praktické ocenenie perspektív nerastných surovín.

Vulkanické procesy prebiehajú *fázovite* v čase i priestore, čo sa zrejme odzrkadluje aj vo výraznom polyascendentnom charaktere mineralizácie, ktorá doprevádza vulkanogénne procesy. Na početných subvulkanických ložiskách sa pozitívne zistilo *intravulkanické postavenie mineralizačných procesov*. Lindgren—Bastin (1922) na ložisku Braden spomínajú intravulkanické postavenie Cu—Mo mineralizácie a vekove mladšie polymetalické zrudnenie. Podobné pomery sú známe na výskytoch Cerro de Pasco v Bolívii, Eldorado a Kananea v Mexiku, Tuva, Kafan, Gaj, Alaverdy v SSSR; v poslednom čase Manilici—Giusca—Stiopol (1965) rozlišujú v Baia Sprie dve samostatné etapy mineralizácie. Medeno-pyritovú mineralizáciu oddeľujú intrúzie ryolitov, andezitov a asi aj dacitov od polymetalickej a Au—Ag mineralizácie.

Banskoštiavnicko-hodrušský rudný obvod po stránke geologicko-štruktúrnej a paragenetickej najúplnejšie reprezentuje komplexný proces zrudnenia v stredoslovenských neovulkanitoch. Sú tu zastúpené všetky etapy mineralizácie a s nimi časove, priestorove i zdrujové úzko spätý vulkanický vývoj hlavne v žilných a dajkových derivátoch.

Vznik a vývoj post- a intravulkanických hydrotermálnych procesov v stredo-

slovenskej neovulkanickej oblasti súvisí s III. andezitovou a s III. ryolitovou fázou. Z vulkanických foriem prevládajú subvulkanické intrúzie, dajky, stĺpy, extrúzie, dómky a pod. V magmatickom vývoji úseku vulkanickej činnosti, geneticky spájaného s tvorbou rúd, sa uplatňuje klasický diferenciačný rad *andezit—dacit—ryodacit—ryolit*, čo v zmysle Kuthana (1963) v stredoslovenských vulkanitoch predstavuje anomálny zjav. Zrejme tento diferenciačný vývoj bol priaznivý pre tvorbu intra- a postvulkanických hydrotermálnych procesov.

III. andezitová fáza, hlavne jej hypoabysálne deriváty (dacity) a III. ryolitová fáza sa uplatnili pri priestorovej (identita priebehu dajok a žilných štruktúr), látkovej (metagenetická špecializácia) a časovej (sarmat) polyascendentnej distribúcie mineralizačných etáp.

V stredoslovenských vulkanitoch rozlišujeme niekoľko pomerne výrazne differencovaných mineralogických asociácií, ktoré vzájomne sú zonárne usporiadane, s typickým teleskopingom susediacich asociácií:

(1) *Pb—Zn—Cu—W polymetalická asociácia* je sústredená v oblasti Banskej Štiavnice, Pukanca, čiastočne Banskej Hodrušie;

(2) Typické lokality *asociácie s prevahou ušlachtilých sírnikov Ag* sú: Banská Hodruša, v Banskej Štiavnici žily Ján a Štefan, celý revír Štiavnických Baní, Pukanec, Rudno nad Hronom (pomer Au : Ag = 1 : 100). Tieto prvé dve zoskupenia reprezentujú prvú mineralizačnú etapu.

(3) *Asociácia Au—Ag—Sb* s prevahou voľného a dispergovaného Au v pyritoch v kremeni je výrazne oddelená od predchádzajúcich dvoch. Typické lokality sú Banská Belá, žila Grüner v Banskej Štiavnici, Nová Baňa a hlavne kremnický rudný obvod. Pomer Au : Ag = 1 : 10.

(4) *Asociácia Hg—As* vystupuje hlavne na severnej periférii stredoslovenských vulkanitov a v príslahlých sedimentárnych útvaroch paleogénu (Tajov a Malachov). Tretie a štvrté zoskupenie geneticky spolu súvisia a patria druhej mineralizačnej etape.

O zdrojovej spätosti minerálnych asociácií s členmi vulkanického komplexu tradoval sa v oblasti stredoslovenských vulkanitov názor (Lipold 1867), že celá škála mezo- až epitermálneho zrudnenia je *postryolitová*. Preberá ho aj Rozložník (1966) a Koděra — Michalenko — Pástor (1967), ktorí na základe malej indície polymetalického zrudnenia Pb—Zn, SiO<sub>2</sub> vystupujúcej na kontakte ryolitov III. fázy a pyroxenických andezitov považujú zrudnenie ako celok za poryolitové.

V rokoch 1966—1967 sa uskutočnili podrobne štúdiá vývoja rudotvorných procesov v náväznosti na vývoj vulkanizmu. Pomocou geologických, geochronologických, geochemických a termometrických metód sa zistilo, že vývoj mineralizácie prebehol *aspoň v dvoch samostatných etapách*, a to:

(1) *staršia etapa — Pb—Zn—Cu—W—Ag mineralizácia* je geneticky, priestorove a časove spojená s výstupom dacitoidných intrúzií;

(2) *mladšia etapa (Au—Sb—As—Hg asociácia)* je poryolitová, s ktorou podľa Böhmera (1961) je spätá zdrojove, časove i priestorove.\*

### Dôvody pre polyvulkanogénny vývoj zrudnenia

K všeobecným znakom, na základe ktorých možno určiť genetickú späťosť zrudnenia s magmatizmom, patria: priestorová späťosť zrudnenia s určitými magmatickými komplexami, obohatenie stopovými prvkami tých hornín, ktoré sú zdrojom zrudnenia (zvýšené klarkové obsahy), rovnaký vek zrudnenia a magmatických hornín, charakteristické asociácie pre istý typ ložísk s určitými magmatickými komplexmi; špecifické mineralogické zloženie magmatických hornín odrážajúce sa aj v zložení rúd, zonárne usporiadanie minerálnych asociácií okolo rudodárynych magmatických telies.

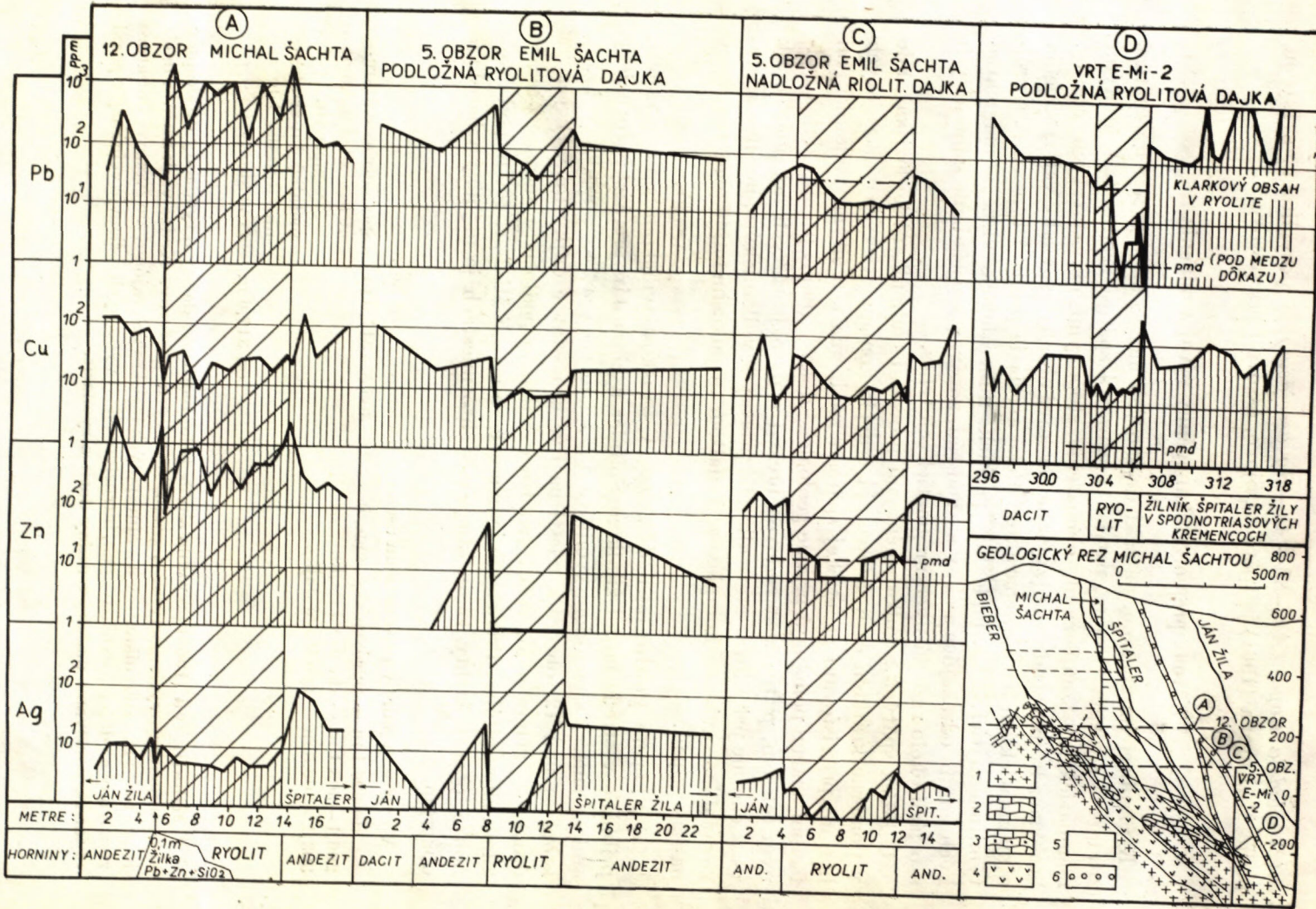
U ložísk späťich s vulkanogénnymi procesmi (subvulkanické ložiská), kde v pomerne krátkom čase sa opakujú erupcie komagmatických vulkanických hornín, pri zisťovaní genetickej späťosti zrudnenia s určitými vulkanickými fázami značne pomáhajú priame geologické dôkazy (napr. preniky dajok rudným telesom, prítomnosť rudných brekcií v pyroklastických horninách). Ak však chceme priradovať mineralizačné procesy k vulkanickým, musíme analyzovať dané súvislosti komplexne. V ďalšom sa pokúsime aplikovať tieto tézy na náš prípad.

(a) *Priame geologické dôkazy.* V banskoštiaivnickom rudnom rajóne, približne v strede medzi žilníkom Špitáler a žilou Ján preráža pyroxenický andezit smerne a po úklone ryolitová dajka (smerne cca 3 km, po úklone 1 km), ktorá sa pod 12. obzorom triešti na dve samostatné dajky (obr. 1); cca na úrovni — 200 m p. m. vniká ryolitová dajka do podložia a súčasne preráža žilník žily Špitáler. Prerážanie je overené vo vrte E-Mi-2 asi 300 m pod úrovňou 5. obzoru šachty Emil, ktorý v týchto miestach je najhlbším banským obzorom.

Vo vrtnom jadre v predmetnom úseku je nasledovný sled hornín:

|                                   |                                       |
|-----------------------------------|---------------------------------------|
| do 296,1 m — pyroxenický andezit  | 306,5 — 317,6 m — spodnotriasové kre- |
| 296,1 — 303,1 m — dacitová dajka  | mence so žilníkovito-                 |
| 303,1 — 306,5 m — ryolitová dajka | impregnačným poly-                    |
|                                   | metalickým zrudne-                    |
|                                   | ním Špitáler žily                     |
|                                   | od 317,6 m — granodiorit              |

\* Mihaliková (1966) preradila amfibolicko-biotitické dacity a ryodacity do skupiny kremennodioritových porfýrov a granodioritových porfýrov. Kedže však termín dacit je pre tento typ subvulkanitov a s ním späťich ložiskových rajónov vo svetovej literatúre zaužívaný a odlišenie extruzívnych, intruzívnych od výlavných foriem je vela razy v praxi obťažné, používame nadalej termíny dacit a ryodacit.



*Časová sukcesia* hornín vo vrte je nasledovná: *spodnotriásové kremence* — *granodiorit* — *pyroxenický andezit* — *dacit* — *ryolit*. Vizuálne nápadný je fakt, že v ryolitovej dajke, hoci je na styku najvýznamnejšou žilnou štruktúrou celého rudného rajónu, sa nezistili ani stopy po makromineralizácii. Kedže z vrtného jadra sa nemohli urobiť rozhodujúce závery o vekovom vzťahu, pristúpili sme k detailnému geochemickému profilovaniu v miestach bodov A, B, C, D (obr. 1).

V bode D sa sledovali stopové obsahy Pb—Cu pomocou kvantitatívnej spektrálnej analýzy a pre úplnosť sa vyhotovili aj semikvantitatívne spektrálne analýzy (obr. 2). Zvlášť výrazný je deficit obsahu Zn (pod 0,001—0,0001 %), hoci v žilníku Špitáler obsah Zn činí 0,5—1 %. Aj u ostatných rudných prvkov vidieť markantné zmeny v ryolitoch: Pb, Zn, Cu, Ag, V, Co, Ni, Sn sú znížené; Mo, Y zvýšené, Ga, Zr indiferentné (analýzy vyhotovilo laboratórium GÚDŠ). V žilníku žily Špitáler z triasových kremencov boli odobrané vzorky len z tých miest, kde makroskopicky nebolo zrudnenie pozorovateľné.

V bodoch B a C na 5. obzore sa sledovali stopové obsahy Pb, Zn, Cu, Ag. V okolí ryolitových dajok ani priamo v nich sa makroskopicky zrudnenie nepozorovalo; možno teda povedať, že fónové obsahy v týchto profiločkach sú bez kontaminačného účinku makrozrudnenia.

Obecne môžeme konštatovať, že stopové obsahy Pb, Zn, Cu, Ag v ryolitových dajkách vykazujú výrazný deficit. Hlavne v bode D, kde by sa na styku so žilou Špitáler očakával silný difúzny efekt hydroterm smerom do ryolitov, dochádza k enormnému zníženiu stopových obsahov.

Pre ilustráciu udávame výsledky dvoch vzoriek z bezprostredného kontaktu ryolitov so spodnotriásovými kremencami:

|           | triasové kremence     |
|-----------|-----------------------|
| ryolit    | so Špitáler žilinskom |
| Pb Ø      | 213 ppm               |
| Cu 25 ppm | 251 ppm               |

pričom klarkový obsah Pb v ryolitoch stredoslovenských vulkanitov sa pohybuje okolo cca 35 ppm (údaje Kupču a Forgáča).

Jediným vysvetlením pre tento zjav je *porudný vek ryolitov*. Difúzny efekt sa neprejavil v ryolitoch, ale v dacitovej dajke, ktorá pred intrúziou ryolitovej dajky tvorila priamy styk so spodnotriásovými zrudnenými kremencami. Ak vypustíme z grafu úsek reprezentujúci ryolitovú dajku, priebeh kriviek je plynulý, čo svedčí o normálnom predryolitovom kontaminačnom účinku mineralizácie žily Špitáler na dacitovú dajku.



Obr. 1. Grafy priebehu stopových obsahov Pb, Zn, Cu, Ag v ryolitovej dajke.  
1 — granodiorit, 2 — spodný trias, kremence a kremito-flovité bridlice, 3 — metasomatické a impregnačné zrudnenie v spodnom triase, 4 — dacit, 5 — pyroxenický andezit, 6 — ryolit.

Dáta o zmene obsahu stopových prvkov v ryolitových dajkách sú podané na grafoch (obr. 1); obsahy sú nanášané v semilogaritmických hodnotách (hodnota modulu 4 cm). Stopový obsah Ag pre lepšiu čitateľnosť grafov je nadhodnotený o jeden modul (kvantitatívne spektrálne analýzy v bodoch A, C vyhotovilo laboratórium ÚNS Kutná Hora).

Z priebehu grafov vidno, že kontakty ryolitov vo väčšine prípadov sú mierne obohatené, čo potvrdzuje nepatrú migráciu sekundárne zmobilizovaných (regenerovaných) rudných komponentov, hlavne ako prejav postryolitovej hydrotermálnej činnosti. Pohyb hydroterm po kontaktoch bol zrejme umožnený vznikom drobných kontrakčných trhliniek (diakláz), ktoré vznikli ako dôsledok relatívne rýchlejšieho ochladzovania stykových plôch ryolitovej dajky. Tieto kontakty neboli v poryolitovej etape tektonicky prepracované. V bode A na 12. obzore sa sekundárna mobilizácia prejavila vytvorením až 0,1 m mocnej žilky Pb—Zn— $\text{SiO}_2$  priamo na kontakte ryolitovej dajky.

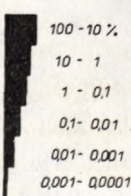
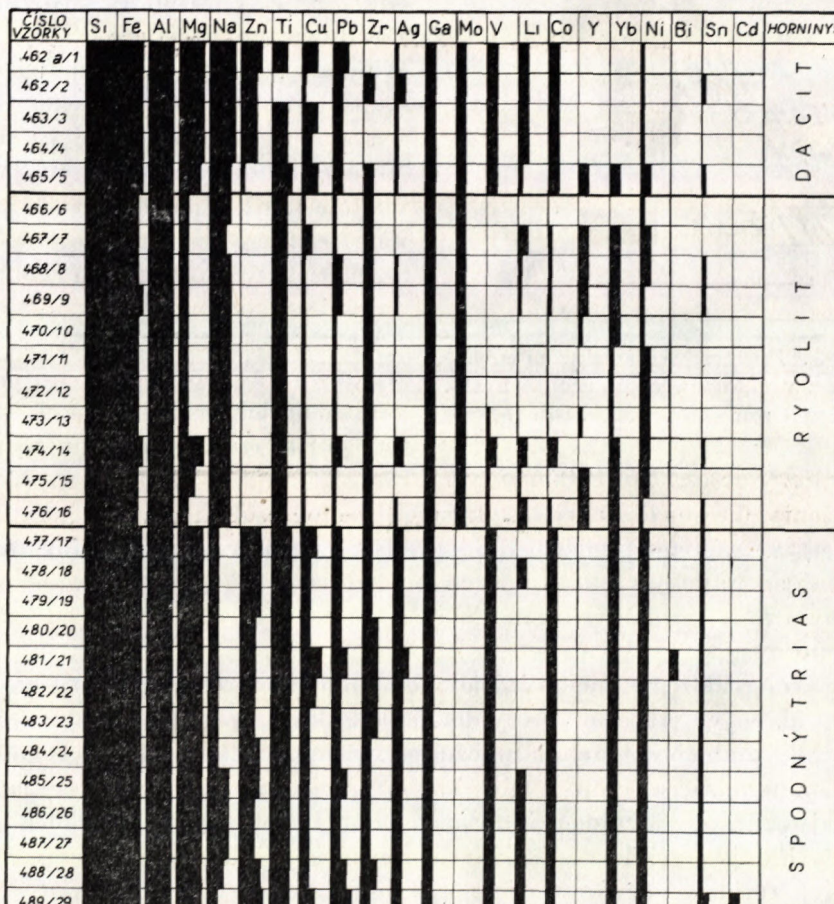
Prečo považujeme tento prejav mineralizácie v bode A za sekundárny? Na grafoch Pb—Zn v bode A pozorujeme anomálny priebeh kriviek oproti ostatným. Stopové obsahy Pb—Zn vysoko prekračujú priemer (obsah nad 1000 ppm bežný) a v úseku prechádzajúcim ryolitovou dajkou sú viac-menej konštantné v ryolitoch i v okolitých pyroxenických andezitoch. Toto zvýšenie obsahu Pb—Zn a rovnaké hodnoty v ryolitoch a andezitoch možno zrejme pripisať kontaminujúcemu účinku 0,1 m mocnej žilky Pb—Zn— $\text{SiO}_2$  na okolité prostredie. Priebeh kriviek Cu a Ag, ktoré nevystupujú v makromineralizácii, je obdobný ako v bodoch B, C, D. Táto 0,1 m mocná žilka dokázala na úseku najmenej 20 m výrazne kontaminovať stopové obsahy Pb—Zn. Pri porovnaní tohto zjavu s profílom v bode D, kde 11 m mocná zóna žily Špitáler nedokázala ani minimálne kontaminovať ryolitovú dajku, je zjavný sekundárny pôvod mineralizácie v bode A a predryolitový pôvod polymetalickej mineralizácie v bode D.

(b) **Tektonický faktor.** Ako sme už spomenuli, ryolitová dajka má výraznú stavbu po smere i po úklone; z tektonického aspektu reprezentuje významnú líniu. Ak by jej vznik bol predrudný, znamenalo by to, že v poryolitovej tektonickej etape by sa mali vytvárať v jej tesnej blízkosti výrazné zlomy až zlomové pásma, vyplnené rudnou substanciou. Ale línia ryolitovej dajky nebola po vzniku hlavných tektonických a žilných štruktúr tektonicky obnovovaná, hoci vieme, že mladšie tektonické pohyby sa s obľubou lokalizujú na rozhranie inhomogénnych prostredí (napr. v Štiavniči na kontakte dacitových dajok). Kontakty ryolitov, ani zóny blízko nich nie sú tektonicky prepracované, ale sú primárne magmatické. Aj tento zjav môžeme považovať za jeden z nepriamych dôkazov o predryolitovom veku polymetalického zrudnenia.

(c) Priestorová a zonárna späťosť zrudnenia s kompetentným vulkanizmom. Zistili sa dve zoskupenia minerálnych asociácií v zrudnejnej oblasti stredoslovenských neovulkanítov, a to asociácia Pb—Zn—Cu—W—Ag ako strednotermálna a Au—Sb—As—Hg ako nízkotermálna. Ich rozloženie v priestore vykazuje určité zákonitosti. Prvé zoskupenie sa prekrýva so sub-

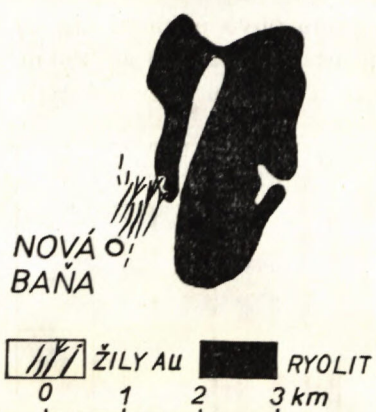
vulkanickými dajkovými horninami dacitov, ktoré štruktúrne kontrolujú priebeh žíl a signalizujú výstupové cesty mezo-hydroterm z hlbších etáž pod povrchových magmatických krbov a boli zdrojovými centrami aj pre vlastné dajky dacitov.

Dacity v banskoštiavnicko-hodrušskom rudnom obvode (pozri obr. 2) vytvárajú podkovovité teleso, ktorého otvorená časť je cca 300 až 400 m pod súčasným reliéfom v úseku medzi žilami Terézia a Špitáler uzavretá výraznou



Obr. 2. Priebeh semikvantitatívnych obsahov v profile vrchu E-Mi-2, kde preráža ryolit zónu Špitáler žily (v bode D).

subvulkanickou dajkou, ktorá kontroluje priebeh žily Bieber. Prvá etapa mineralizácie, reprezentujúca prakticky všetky hlavné žilné štruktúry banskoštiavnicko-hodrušského rudného revíru, je zoskupená okolo telies dacitoidných intrúzií. Druhá epitermálna asociácia Au-Sb-As-Hg (Hg-As nie jednoznačne) sa zoskupuje okolo dajok a extruzív ryolitov, v ktorých niekedy priamo vystupuje. Žily Grünner, Goldfahrten a Baumgarten, Kopanické, Trojkráľová, Windischleuten priestorove súvisia s vystupovaním ryolitových telies.



Obr. 3. Priestorová závislosť novobanských zlatonosných žíl na ryolitoch III. fázy Upravené podľa A. Brlaya.

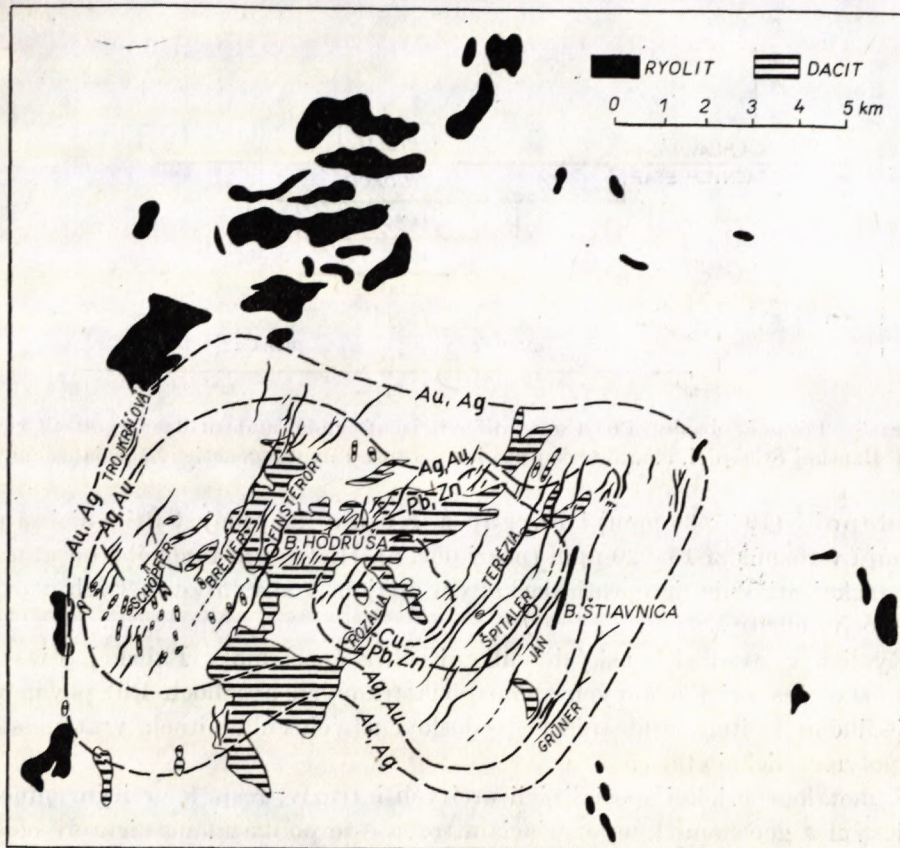
*zonárnu stavbu banskoštiavnicko-hodrušského rudného obvodu* v závislosti od rozloženia intermediárnych až kyslých členov vulkanizmu. Zóna Au—Ag (obr. 4), ktorá tvorí perifériu rudnej oblasti, je viazaná na ryolitové erupcie, ktoré sa sporadicky vyskytujú aj na periférii rudného obvodu. Vzťah zonárnej stavby vyššie termálnych zón Cu—Pb—Zn—Ag k dacitovým intrúziám je bezosporný.

Zonárne rozloženie mineralizácie okolo kompetentného magmatizmu je jedným z hlavných faktorov, ktorý dokazuje látkové, časové a priestorové kritériá vzniku rudného obvodu a umožňuje vyčleniť dve samostatné, vekove odlíšené mineralizačné etapy. Obe hlavné mineralizačné etapy sa navzájom líšia aj rozličnou *smerovou orientáciou* v priebehu žilných štruktúr i ich kompetentných dajkových intrúzií. Táto diferenciácia je odrazom rozdielnych tektonických režimov. Prvá, staršia etapa mineralizácie (Pb—Zn—Cu—W—Ag) kontroluje *karpatský tektonický systém* (SZ—JV), druhá, mladšia (Au—Sb—As—Hg) regionálny *meridionálny a submeridionálny zlomový systém*, ktorý je mladší ako systém karpatský.

(d) Geochemicko-metalogenetická špecializácia kompetentných vulkanitov. V banskoštiavnickom rudnom obvode sa sledovali stopové obsahy Pb—Cu kvantitatívnymi spektrálnymi analýzami. Vzorky sme sa snažili odobrať čo možno najďalej od miest, kde cirkulovali hydrotermálne

Podobná situácia je aj na ložisku Nová Baňa (obr. 3). Hlavným predstaviteľom tohto typu zoskupenia je *kremnický rudný obvod*, ktorého priestorová a genetická späťosť s rojom ryolitových dajok je evidentná.

Okrem priestorovej späťosti medzi zrudnením a jeho kompetentným vulkanizmom ich vzájomný súvis v priestore je najviac zvýraznený *primárna*

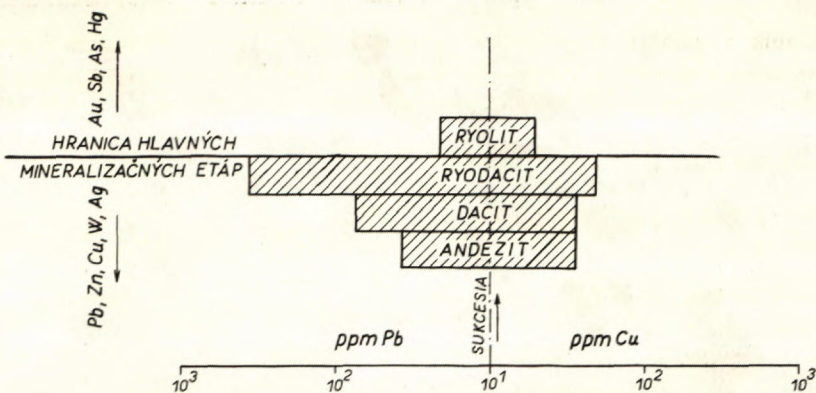


Obr. 4. Rozloženie zón primárnej mineralizácie v závislosti na rozložení ryolitov a dacitov v banskoštiaivnicko-hodrušskom rudnom obvode (kontúry ryolitov a dacitov podľa mapy 1:100 000, ktorú pripravuje oddelenie neovulkanitov GÚDŠ).

rudonosné roztoky, a to preto, aby sa v maximálne možnej miere vylúčil sekundárny vplyv na fónové obsahy (odber vzoriek sa robil iba orientačne).

Diferenciačný rad vulkanítov rudného obvodu je nasledovný: *pyroxén—andezit—dacit—ryodacit—ryolit*. Vzťah medzi fónovými obsahmi a týmto radom je znázornený na obr. 5. Narastanie stopových obsahov Pb, Cu až po ryodacit a ich deficit v ryolitoch opäť dokumentuje genetickú spätnosť tejto časti diferenciačného radu s prvou etapou mineralizácie (Pb—Zn—Cu—W—Ag), hlavne s dacitmi a ryodacitmi, kde stopové obsahy Pb podstatne prevyšujú klarkové hodnoty udávané Wedepohlom (1956) (dacit v banskoštiaivnickej oblasti má hodnotu 7 klarkov, ryodacit až 24 klarkov).

Stopové obsahy Pb v ryolitoch (pokiaľ tieto neboli postihnuté sekundárne aktivovanými hydrotermami) sú v podklarkových hodnotách nižšie ako udáva



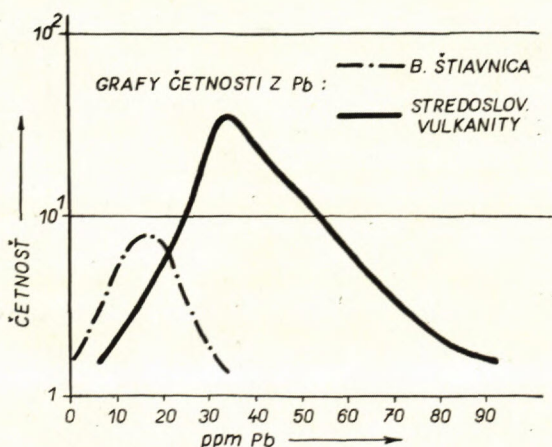
Obr. 5. Fónové obsahy Pb, Cu v diferenciačnej rade andezit-dacit-ryodacit-ryolit v Banskej Štiavniči, charakterizujúce ich príslušnú metalogenetickú špecializáciu.

Wedepohl (1956; 30 ppm) i Forgáč a Kupčo (35 ppm); v Štiavniči sa pohybujú v rozmedzí 15–20 ppm (pozri obr. 6). Histogram fónového obsahu Pb v Banskej Štiavniči je oproti klarkovým údajom v stredoslovenských neovulkanitoch deficitný.

Ryolity v stredoslovenských vulkanitoch a špeciálne v Banskej Štiavniči nemožno (iba pri klarkových alebo podklarkových obsahoch Pb) považovať za jediného nositeľa zrudnenia v stredoslovenských vulkanitoch, vrátane staršej polymetalickej etapy.

K metalogenetickej špecializácii určitých intruzív, resp. k určitým mineralogickým a geochemickým asociáciám treba ešte poukázať na niektoré obecné zákonitosti.

Genetická späťosť zlata s kyslými magmatickými diferenciátkami je známa a potvrdil ju už Emons (1937). Typy polymetalických Pb, Zn, Cu ložísk sú geneticky úzko späté v prevažnej miere s intermediárnym magmatizmom (Maganjan 1959). Aj tento poznatok je v súlade s našou schémou vývoja vulkanizmu, resp. s ním spojených rudonosných procesov.



Obr. 6. Vzťah klarkového obsahu Pb v ryolitech III. fázy zo stredoslovenských vulkanítov s fónovým obsahom v Banskej Štiavniči.

(e) Geochronologický výskum zrudnenia v stredoslovenských vulkanitoch. Izot-

topickým výskumom (v GÚDŠ) sa v rámci neoidných ložísk zistila určitá diferenciácia v izotopickom zložení *rudného olova*. Polymetalické zrudnenie banskoštiavnického typu sa podľa svojho izotopického zloženia olova javí *starším*. Zlatonosná kremnická mineralizácia sa naproti tomu vyznačuje prítomnosťou olova s bohatšie zastúpenými rádiogénymi izotopmi; je teda zreteleľne mladšia.

Ak predpokladáme, že magmatický zdroj olova oboch mineralizácií bol prakticky ten istý, potom rozdielne izotopické zloženie svedčí aj o ich *reálnej vekovej odlišnosti*. Pre určenie časového rozpätia má, pravda, význam aj doba prípadnej špecializácie zdroja, t. j. jeho rozdelenie na dve viac-menej oddelené sa prejavujúce časti, s rôznymi kvantitatívnymi pomermi olova, uránu a thória. Takéto úvahy však presahujú rámcu tohto príspevku.

Názor o genetickej spätoosti Au-zrudnenia kremnického typu s mladším kyslejším magmatizmom (mikrogranity, ryolity) je vcelku v súlade s výsledkami izotopických rozborov.

V súvislosti so sledovanou problematikou vyhotovili M. Rybár a K. Dillnberger (z GÚDŠ) ďalšie izotopické analýzy galenitov z impregnačne metasomatických zrudnení a drobných impregnačne-žilkovitých indícii PbS z ryolitových a dacitových dajok.

1. Galenit z impregnačne-metasomatického zrudnenia; vrt E-Mi-2 asi 310 m pod 5. horizontom šachty Emil. Zrudnenie v spodnotriásowych kvarcitoch a bridliciach.

#### *Izotopické zloženie:*

| Pb 204  | Pb 206  | Pb 207  | Pb 208  |
|---------|---------|---------|---------|
| 1,341 % | 25,23 % | 21,04 % | 52,39 % |
| 1,000   | 18,81   | 15,69   | 39,06   |
| 5,315   | 100,00  | 83,41   | 207,64  |

2. Galenit z rovnakého zrudnenia v triásowych vápencoch; Banská Štiavnica, šachta Alžbeta, 12. obzor v prekope pri p. b. 24 asi 20 m JV od tohto bodu, pri kontakte s pyroxenickým andezitom.

#### *Izotopické zloženie:*

| Pb 204  | Pb 206  | Pb 207  | Pb 208  |
|---------|---------|---------|---------|
| 1,342 % | 25,20 % | 21,06 % | 52,40 % |
| 1,000   | 18,78   | 15,69   | 39,04   |
| 5,325   | 100,00  | 83,55   | 207,91  |

Z analýz vyplýva, že nejde o predterciérnu mineralizáciu obdobnú metasomatickým Pb—Zn zrudneniam z iných lokalít. Výsledok nemožno interpretovať ani v tom zmysle, že by v rámci terciéru bol medzi týmto metasomatickým a žilným zrudnením väčší časový rozdiel, postihnutelný izotopickou analýzou. Prakticky možno predpokladať súčasný vznik metasomatického zrudnenia so žilným.

3. Galenit; slabé impregnačné zrudnenie na ryolitovej dajke, č. vz. 500, Banská Štiavnica, 12. horizont žila Ján. Izotopický rozbor mal overiť či ide o mineralizáciu mladšiu ako štiavnické žily, blížiacu sa skôr kremnickým.

*Izotopické zloženie:*

| Pb 204  | Pb 206  | Pb 207  | Pb 208  |
|---------|---------|---------|---------|
| 1,340 % | 25,20 % | 21,07 % | 52,38 % |
| 1,000   | 18,81   | 15,73   | 39,09   |
| 5,317   | 100,00  | 83,62   | 207,85  |

Pb z tohto galenitu sa svojím izotopickým zložením líši od Pb z Kremnice. Na druhej strane rozdiel oproti žilnému zrudneniu štiavnického typu je nepatrny (v medziach presnosti masspektrometrických analýz). Vysvetlenie koincidencie zloženia:

(a) bud ide o galenit zo štiavnických žíl, *druhotne mobilizovaný pri alebo po vniknutí ryolitovej dajky na svoje terajšie miesto*. Genetická spätosť Pb z galenitu s ryolitickou magmou nejestvuje; pravdepodobný prípad. Alebo

(b) *Pb je geneticky späté s ryolitmi*, avšak časový úsek medzi mineralizáciou žíl a dajky je veľmi malý. To je nepravdepodobné, pretože ryolitová magma má väčší obsah U a Th, čo by sa malo výraznejšie prejaviti i na izotopickom zložení, ktoré by sa malo bližiť olovu z kremnických rudných žíl [najmä keď sa podľa terénnych výskumov predpokladá rovnaký vek ryolitových dajok v Banskej Štiavnici a ryolitov a mikrogranitov od Kremnice (III. ryolitová fáza)].

f) Použitie termometrických metód na kontakte ryolitovej žily a Špitáler zrudnenia. Termometricky sme študovali polohu kremito-piesčitých aleuritov, žilníkovite a impregnačne zrudnenú minerálmi Pb, Zn, Cu, a to pomocou metódy homogenizácie plynno-kvapalných uzavrenín a dekrepitačnej — termovákuovej;\* termozvukovú nebolo možné použiť pre malé množstvo minerálov.

Najväčšia pozornosť sa venovala sfaleritu ako najhojnnejšiemu minerálu. Je známe, že vo sfaleritoch (podobne ako v iných mineráloch) sa často nachádzajú zvyšky mineralotvorného prostredia vo forme plynno-kvapalných uzavrenín. Ich homogenizačné teploty po urobení korekcie na tlak, prípadne na koncentráciu, sa považujú za teploty, pri ktorých kryštalovali minerály daného prostredia.

Pri mikroskopickom štúdiu sfaleritov sa nezistili vhodné plynno-kvapalné uzavreniny pre termometrické štúdium metódou homogenizácie. Pozorovali sme však uzavreniny tmavej farby, nepravidelného tvaru, zaujímavé tým, že vychádzajú z nich akési kanáliky, pripomínajúce praskliny po dekrepitácii. Uzavreniny, na ktorých nepozoroval náznaky dekrepitácie, sú zastúpené zriedkavo. Sfalerity s takými uzavreninami sa nachádzajú vo vzorkách z hĺbky 311 až 315,5 m, t. j. 5 až 9 m od kontaktu s ryolitovou dajkou.

Hoci sú tmavé uzavreniny (pevné alebo kvapalné) vo sfaleritoch dosť časté, s podobnými sme sa zatiaľ nestretli v praxi, ani v literatúre. Pravdepodobne

\* Dekrepitačná metóda termovákuová, resp. termobarická (Dolgov 1965) na rozdiel od termozvukovej, ktorá registruje zvukové efekty pri roztrhávaní plynno-kvapalných uzavrenín v zahrievaných mineráloch, zaznamenáva narastanie tlaku, ku ktorému dochádza v dôsledku uvolňovania obsahu uzavrenín pri ich dekrepitácii vo vákuu.

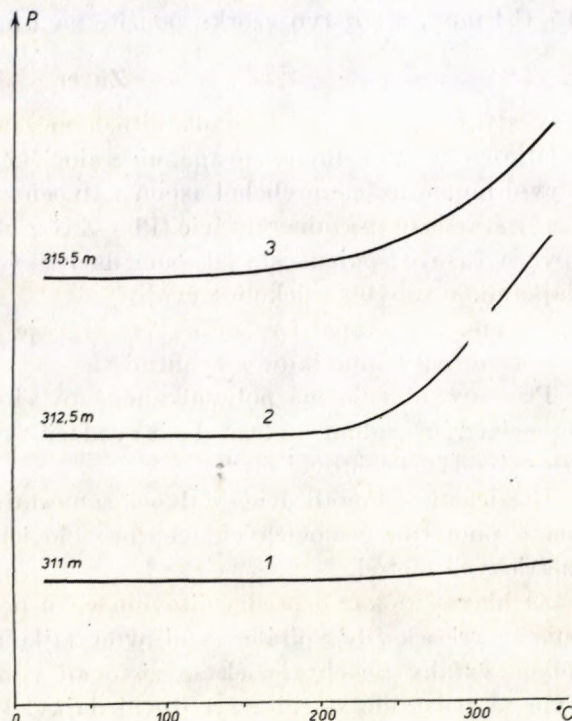
ide o dekrepitované uzavreniny v dôsledku tepelného účinku nejakej blízkej intrúzie, ktorá mala podstatne vyššiu teplotu, než pri ktorej vznikali vlastné sfalerity. Za takúto možno považovať ryolitovú dajku, ktorá intrudovala do tesnej blízkosti zrudnej polohy kremito-piesčitých aleuritov.

Termovákuovou metódou bola pozorovaná tiež určitá závislosť medzi dekrepitačnými teplotami sfaleritov a ryolitovou dajkou. Ako vidno z termovákuových zápisov (obr. 7), sfalerit z hlbky 311 m (vzdialenosť od kontaktu 5 m) pri zahrievaní do  $350^{\circ}\text{C}$  nevykázal žiadne uvoľňovanie plynov, sprevádzajúce dekrepitáciu plynno-kvapalných uzavrenín. Mierny ohyb vo smere zvýšenia tlaku, začinajúci po  $200^{\circ}\text{C}$  sa takmer kryje s pozadím aparátury. Pri sfalerite z hlbky 312,5 m (vzdialenosť od kontaktu 6,5 m) dekrepitácia uzavrenín začína už od  $200^{\circ}\text{C}$ . Najnižšiu teplotu počiatku dekrepitácie uzavrenín  $120-150^{\circ}\text{C}$  vykázal sfalerit z hlbky 315,5 m (vzdialenosť od kontaktu 9 m).

Pri interpretácii termovákuových zápisov treba brať do úvahy počiatok a veľkosť ohybu kriviek. Počiatok je závislý od teploty kryštalizácie a veľkosť ohybu od množstva uzavrenín. Za predpokladu, že teplota vzniku sfaleritov (najmä jej spodná hranica, ktorú možno podla krivky č. 3 odhadnúť na  $120-150^{\circ}\text{C}$ ), bola viac-menej rovnaká, možno uvažovať o určitom tepelnom spáde, pretože počiatok ohybu kriviek so vzdialovaním sa od kontaktu s ryolitovou dajkou sa posúva smerom k nižším teplotám.

Pre lepšie objasnenie vzťahu zrudnenia k ryolitovej dajke pomocou mineralogickej termometrie by boli potrebné merania bohatšieho materiálu z viacerých miest, prípadne aj na iných mineráloch.

S intrúziou ryolitovej dajky geneticky súvisia pravdepodobne aj drobné 1–3 mm hrubé žilky kryštalického kremeňa s pyritom, nachádzajúce sa v kremito-piesčitých aleuritoch na kontakte s ryolitovou dajkou. V kremeni



Obr. 7. Termovákuogramy sfaleritov. 1 — vzdialenosť od kontaktu s ryolitom 5 m, 2 — vzdialenosť 6,5 m, 3 — vzdialenosť 9 m.

možno ojedinele nájsť veľmi drobné uzavreniny, ktoré sú na rozdiel od uzavrenín vo sfaleritoch bez príznakov termického prepracovania. Ich homogenizačné teploty merané pomocou špeciálnej mikrotermokamery činili 175—220 °C.

Termovákuové analýzy boli robené na prístroji vyvinutom v GÚDŠ (Eliáš, 1967). Technické podmienky: zrnitosť 0,4—0,7 mm, rýchlosť zahrievania 10 až 15 °C/1 min., množstvo vzorky použité na 1 analýzu 0,1 gr.

### Záver

V stredoslovenských neovulkanitoch môžeme vyčleniť priestorove, časove a látkove výrazne diferencované mineralogické asociácie, zonárne usporiadane. Vývoj mineralizácie prebehol aspoň v dvoch samostatných etapách, a to:

(1) staršia etapa mineralizácie (Pb—Zn—Cu—W—Ag) je geneticky, priestorove a časove spojená s výstupom dacitických intrúzií prevažne tvorených dajkami, v subvulkanickom vývoji;

(2) mladšia etapa (Au—Sb—As—Hg) je poryolitová; zdrojove, časove a priestorove komunikuje s ryolitmi.

Proces zrudnenia má polyvulkanogénny charakter a geneticky súvisí s differenciačným radom andezit-dacit-ryodacit-ryolit, spadajúcim do III. andezitovej a III. ryolitovej fázy.

Rozdelenie mineralizácie do dvoch samostatných etáp bolo komplexne skúmané pomocou geologických, geochronologických, geochemických a termometrických metód.

Za hlavný dôkaz o predryolitovom veku polymetalického zrudnenia považujeme priesek žily Špitáler ryolitovou dajkou, zistený vo vrte E-Mi-2. Vzájomné vzťahy oboch zložiek sa zisťovali pomocou geochemických profilov. Tým sa potvrdila sterilita ryolitovej dajky, ktorá vykázala až podklarkové stopové obsahy Pb, Zn, Cu, Ag.

V stredoslovenských neovulkanitoch sme zistili aj výraznú priestorovú a zonárnu späť zrudnenia s kompetentným vulkanizmom.

Orientačne sa v rudnom rajóne Banská Štiavnica zisťovali fónové obsahy Pb, Cu, ako hlavných reprezentantov polymetalického zrudnenia. Stopový obsah týchto prvkov v rade andezit-dacit-ryodacit-ryolit až po ryodacit narastal, u ryolitov sa podstatne znížil; z toho dedukujeme, že ryolitická kyslá magma nemá vhodnú metalogenetickú špecializáciu pre tvorbu polymetalického zrudnenia.

Izotopickým výskumom olova boli konštatované dva veľkove diferencované typy zrudnenia: banskosťiavnická polymetalická mineralizácia a mladšia zlatonosná kremnická mineralizácia. Ryolity v kremnickom zlatonosnom rajóne i v polymetalickom banskosťiavnickom obvode prisľúchajú III. ryolitovej fáze. Au-mineralizácia je časove úzko spätá s výstupom ryolitov. Z toho plynne záver, že polymetalická mineralizácia je staršia ako III. ryolitová fáza.

Termometricky sa študovala minerálna výplň žily Špitáler na kontakte s ryolitovou dajkou, hlavne sfalerit, ako najhojnejší minerál. Vo vzorkách vzdialených 5 až 9 m od kontaktu boli pozorované uzavreniny tmavej farby nepravidelného tvaru. Ide pravdepodobne o dekrepitované uzavreniny v dôsledku tepelného účinku nejakej blízkej intrúzie, ktorá má podstatne vyšiu teplotu, než pri ktorej vznikali sfalerity.

Geologický ústav Dionýza Štúra,  
Bratislava

#### LITERATÚRA

- [1] Böhmer M., 1961: Relations between potassium trachytes, rhyolites and mineralization in the Kremnica ore-field. Geologické práce, Zošit 60. — [2] Brlay A., 1965: Vyhodnotenie výskytov kalitrachytov (deuterotrachytov) v oblasti Nová Baňa—Rudno nad Hronom s ohľadom na obsah draslíka a využitie vo polnohospodárstve. Archív GÚDŠ, Bratislava. — [3] Dolgov J. A., 1965: Rozvitije techniki i uslovija primenenija metoda vzryvanija vključenij Sb. Mineralogičeskaja termometrija i barometrija. Izd. Nauka, Moskva. — [4] Eliáš K., 1967: Ustanovki dlja termozvukovogo i termovakuumnogo issledovanija mineralov izpolzuemyje v Geologičeskom institute im. D. Štúra v Bratislave (v tlači). — [5] Emmons W. A., 1937: Gold deposits of the World, Mc Graw-Hill Book Co., Inc., New York. — [6] Kantor J., 1962: Isotopes of common lead from several ore deposits of the West Carpathians. Geol. práce, zoš. 61, Bratislava. — [7] Kantor J.—Rybár M., 1964: Isotopes of ore-lead from several deposits of West Carpathian Crystalline, in litt. — [8] Koděra M.—Michalenko J.—Pástor J., 1967: Vzťah zrudnenia k ryolitom v Banskej Štiavnici (v tlači). — [9] Kuthan M., 1963: Tectonic deformations on the central Slovakia neovolcanic region and the relations between volcanism and tectonics. Geologické práce, Zprávy 28. — [10] Lindgren W., Bastin E., 1922: Geology Braden mine, Chile. Econ. Geology 17. — [11] Magakjan I. G., 1959: Osnovy metalogenii materikov. Izdatelstvo AN Armjanskoy SSR, Jerevan. — [12] Manilici V.—Giusca D.—Victoria-Stiopol 1965: Studiul zacamintului de la Baia Sprie (Reg. Baia Mare). Memorii vol. VII. Bucuresti 1965. — [13] Mihaliková A., 1966: K nomenklatúre tzv. dacitov z oblasti banskoštiavnického rudného obvodu. Geol. práce, Zprávy 40. — [14] Rozložník L., 1966: Výskum hornín Štiavnického ostrova — časť stratigrafia, tektonika a metalogenéza. Záverečná zpráva, Geofond, Bratislava. — [15] Štohl J., 1960: Nové názory na zonálnosť štiavnicko-hodrušských rudných ložísk. Rukopis. — [16] Wedepohl K. H., 1956: Untersuchungen zur Geochemie des Bleis. Geochemica et Cosmochimica Acta vol. 10.

K. ELIÁŠ — J. KANTOR — J. ŠTOHL

#### INTRAMINERALIZATIONAL POSITION OF RHYOLITES IN BANSKÁ ŠTIAVNICA

In the central-Slovakian neovolcanites mineralogical association of mutual zonal arrangement may be distinguished. They are distinctly differentiated from one another as to space, time and material. The development of the entire mineralization took place at least in two separate epochs, viz.:

(1) *The earlier Pb—Zn—Cu—W—Ag mineralization period* is genetically, spacially and chronologically connected with subvolcanic dacitic intrusions formed prevalently of dikes and stocks.

(2) *The younger Au—Sb—As—Hg mineralization period* is postrhyolitic yet connected with the latter as to source, time and space.

The process of mineralization is of the polyvolcanogene character, genetically connected with the differentiation row of andesite-dacite-rhyodacite-rhyolite that was active in the course of the III<sub>rd</sub> andesitic and rhyolitic phase (Sarmatian).

The problem of the division of mineralization into two independent periods was studied by a complex of geological, geochronological, geochemical and thermometrical methods.

The most important proof of the pre-rhyolitic age of the polymetallic mineralization may be seen in the direct intersection of the Špitaler vein with the rhyolite dike. This is in the borehole E-Mi-2, and therefore the mutual relations were also determined by means of the geochemical profiles. Thus the complete sterility of the rhyolite dike with subcklark trace contents of Pb, Zn, Cu, Ag was unambiguously proved.

In addition also the distinct spacial and zonal connection between the mineralization and the competent volcanism may be determined in the central-Slovakian neovolcanites. In the ore region of Banská Štiavnica, orientational research of the phone contents of Pb, Cu as the main representatives of the polymetallic ore mineralization was carried out. The trace contents were increasing in the differentiation row of andesite-dacite-rhyodacite-rhyolite up to rhyodacite, while in rhyolites they were decreasing. From that the conclusion may be drawn that the rhyolitic acid magma has no suitable metallogenetic specialization for the formation of polymetallic mineralization.

By isotopic research of common lead two types of mineralization have been determined in the central-Slovakian volcanites. They are distinctly differentiated as to their age. The first is the Banská Štiavnica polymetallic mineralization, the second — younger gold-bearing Kremnica mineralization. Rhyolites in the Kremnica gold-bearing region as well as those in the polymetallic Banská Štiavnica region belong to the III<sub>rd</sub> rhyolitic phase. The gold-bearing mineralization is chronologically closely connected with dikes of rhyolites. That means that the polymetallic mineralization is older than the III<sub>rd</sub> rhyolitic phase.

The mineral filling of the Špitaler vein on the contact with the rhyolite dike was the subject of thermometrical study. Sphalerite was paid the greatest attention, since it was the most abundant mineral. In the samples distanced 5 to 9 m from the contact dark and irregular inclusions were observed. They are perhaps inclusions decrepitated by the rise of temperature above the forming temperature of sphalerites near the rhyolite dike.

LADISLAV ŠKVARKA

## VÝSKUM VÔD STREDOSLOVENSKÝCH NEOVULKANITOV A ICH PODLOŽIA

Územie neovulkanitov Slovenska je pomerne husto obývané a pritom trpí nedostatkom vhodných vodných zdrojov, čo spomaľuje jeho ďalší rozvoj. Podla výhľadových plánov spotreba vody do r. 1980 vzrástie oproti dnešnému stavu asi 3 krát. V tomto príspevku sa zaoberám hydrogeologickými pomerami v neovulkanických horninách. Neovulkanity Slovenska pokrývajú plochu asi 5400 km<sup>2</sup>, t. j. asi 10 % z celého územia. Na strednom Slovensku budujú pohoria Pohronský Inovec, Vtáčnik, Kremnické hory, Štiavnické pohorie, Poľanu, Javorie a Krupinskú vrchovinu. Drobné ostrovky tvoria v okolí Brezna, Vepora, Lučenca a Fiľakova. Na východnom Slovensku tvoria Slánske pohorie s Miličom a Vihorlat s Popričným.

Geomorfologické pomery sú odrazom stratovulkanickej stavby. Striedajú sa tu pokryvy a prúdy efuzívnych hornín (radu andezit-ryolit-čadič) s pyroklastickými horninami (tufy, aglomeráty). Pôvodná stavba je intenzívne porušená mladšou tektonikou a denudáciou, takže terajší reliéf tvorí sústava chrbtov, oddelených hlbkými údoliemi. Morfologicky výrazne vystupujú efuzívne pokryvy. Pyroklastiká vytvárajú menej výrazné morfologické formy. Povrch neovulkanitov je veľmi členitý; nadmorské výšky sa pohybujú od 200 m do 1450 m n. m.

Stredoslovenské neovulkanity sú odvodňované potokmi do povodia rieky Hron a Ipel, sčasti do rieky Nitra a Žitava, ešte menej do povodia Váhu. Východoslovenské neovulkanity sú odvodňované Hornádom, Rožňavou, Topľou, Ondavou, Laborcom a Uhom.

Povrchový odtok a klimatické pomery územia neovulkanitov Slovenska ilustrujú tieto dátá (Dub 1954).

|                               | stredné<br>Slovensko | východné<br>Slovensko | stredné<br>Slovensko | východné<br>Slovensko |
|-------------------------------|----------------------|-----------------------|----------------------|-----------------------|
| minimálny špec.               |                      |                       | priem. ročná tep-    |                       |
| odtok v 1/sek/km <sup>2</sup> | 0,5—1,0              | 0,3—0,5               | lota v °C            | 4—7 5—8               |
| priem. špec. odtok            |                      |                       | úhrnný ročný vý-     |                       |
| za roky 1931—40               |                      |                       | par za roky 1931—    |                       |
| v 1/sek/km <sup>2</sup>       | 5,0—20,0             | 5,0—7,5               | 1940 v mm            | 550—400 550—400       |
| priem. ročný úhrn             |                      |                       |                      |                       |
| zrážok v mm                   | 700—1200             | 650—800               |                      |                       |

Podľa Končeka ide o mierne teplú oblasť, s vyrovnanými zrážkami v priebehu roku, resp. s lokál. maximami v máji, októbri a decembri. Napr. v dlhodobom priemere v Žarnovici medzi najsuchším (február) a najvlhčím mesiacom (máj) je rozdiel iba 31 mm zrážok. Priemerný ročný úhrn zrážok v údolí Hrona sa pohybuje okolo 700 mm, v pohorí Vihorlat 700—900 mm, v Slanských horách 650—800 m; vyššie položené časti Vtáčnika, Poľany, Kremnického pohoria majú nad 1000 mm zrážok.

Neovulkanické horniny sú zastúpené radom: andezit-ryolit-čadič a ich pyroklastikami. Majú stratovulkanickú stavbu, a pričleňujeme ich k subsekvентnému a finálnemu štádiu vulkanizmu. Priebeh vulkanickej činnosti, ktorá začala v burdigale a pokračovala do konca sarmatu, opisuje Kuthan (1961).

V oblasti neovulkanitov rozlišuje Kuthan (1961) tri základné tektonické smery. Najstarší zlomový systém je smeru SZ—JV, ktorý sa uplatnil po skončení hlavných fáz vrásnenia; S—J systém prevláda v centrálnej časti stredo-slovenských neovulkanitov. Najmladší ZSZ—VJV smeru neprejavuje sa tak intenzívne.

### Hydrogeologické pomery

*Aluviálne náplavy rieky Hron.* Hron preteká vulkanitmi v úseku Zvolen—Kozárovce; priemerný prietok činí 50 m<sup>3</sup>/sek. Vytvára aluviálnu nivu širokú niekoľko 100 m. Náplavy (5—10 m mocné) tvoria zahlinené štrkopiesky a náplavové hliny. Výdatnosť vrtov je však pomerne malá (Šuba 1964). Uskutočnilo sa tu celkom 38 hydrogeologickej vrtov zhruba do hĺbky 10 m. Z toho: 14 vrtov malo menšiu výdatnosť ako 1 l/sek; 15 vrtov od 1—5 l/sek; 8 vrtov od 5—10 l/sek. a iba 1 vrt mal výdatnosť 11,6 l/sek.

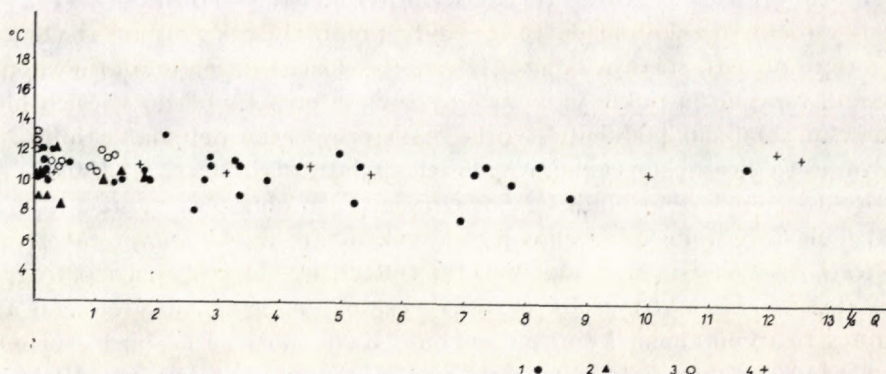
Po chemickej stránke je to voda veľmi nekvalitná. Obsahuje zvýšené množstvá Fe a Mn; je znečistená aj amoniakom, chloridmi, síranmi a dusitanmi, pochádzajúcimi z priemyselných odpadových vôd. Ich celková mineralizácia kolíše od 245 do 1145 mg/liter. Vodu z alúvia by bolo možné použiť pre pitné účely iba po veľmi nákladnej úprave.

*Aluviálne náplavy rieky Slatina* (Banský 1964) sú 4 až 7,0 m mocné; zvodnený horizont (2—3,0 m) tvoria štrkopiesky. Bolo tu vyvŕtaných 13 hydrogeologickej vrtov o priemernej hĺbke 8—10,0 m. Z toho: 10 vrtov malo

menšiu výdatnosť ako 0,5 l/sek; 3 vrty do 2 l/sek. Voda je po menšej úprave vhodná pre pitné účely.

*Aluviálne náplavy rieky Štiavnica* (Bujalka 1962) sú 6,0–12,0 m mocné; z toho zvodnený horizont, tvorený štrkopieskami 1,0–4,0 m. Bolo tu odvŕtané 17 hydrogeologických vrtov o priemernej hĺbke 10 m. Z toho: 10 vrtov malo menšiu výdatnosť ako 1,0 l/sek; 3 vrty od 1,0 do 5,0 l/sek; 2 vrty od 5,0 do 10,0 l/sek. a 2 vrty 12,0 l/sek. Kvalita vody je však zhoršená zvýšeným obsahom Fe a Mn.

*Aluviálne náplavy rieky Krupinica*. Hrúbka aluviálnych náplavov (Bujalka 1962) kolíše od 6,0 m do 13,0 m. Bolo tu odvŕtané 16 hydrogeologických vrtov. Z toho: 12 vrtov malo výdatnosť do 1 l/sek; 3 vrty od 1,0 do 5,0 l/sek; 1 vrt 18,0 l/sek.



Obr. 1. Hydrogeologické vrty v alúviách riek neovulkanitov: 1 — Hron od Zvolena po Kozárovce; 2 — Slatina; 3 — Krupinica; 4 — Štiavnica.

Záverom možno konštatovať, že alúvium riek v stredoslovenských neovulkanitoch je na vodu pomerne chudobné. Spôsobené je to malou mocnosťou aluviálnych náplavov a hlinitým rozpadom vulkanických hornín. Aluviálne štrkopiesky sú pomerne silno zahlinené. Voda obsahuje zvýšený obsah železa a mangánu, v alúviu Hrona je ešte znečistená chloridmi, síranmi, dusitanmi a amoniakom, ktorý pochádza zo znečistenín (odpadových vôd).

#### Neovulkanické horniny

V neovulkanitoch stredného Slovenska môžeme vyčleniť na základe hydrogeologického charakteru niekoľko oblastí:

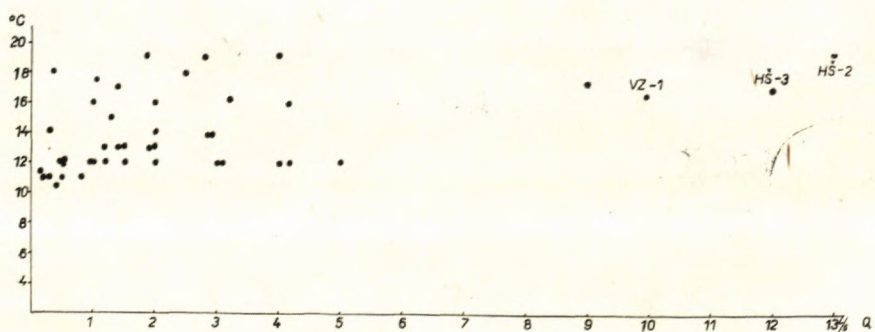
[1] *Oblast vrcholových andezitov*, ktoré budujú ústredný chrbát vulkanických pohorí (Vtáčnik, Polana, Kremnické pohorie). Ide zväčša o prúdy andezitov, vypreparované a silne rozpukané, s častými kryhovými zosuvmi a otvorenými puklinami. Svaly sú pokryté rozsiahlymi moriami sutín. Ročný úhrn zrážok

obyčajne tu presahuje 1000 mm. Tieto faktory priaživo pôsobia na hydrogeologický charakter oblasti. Pripustné pokryvné útvary akumulujú zrážkovú vodu, a odovzdávajú ju silne rozpukanému skalnému podkladu. Najčastejšie tu stretáme puklinovo-vrstevné pramene, ktoré vyviera jú vysoko nad eróznou bázou na styku rozpukaných prúdov andezitu s pyroklastikami, ktoré sú puklinami menej porušené. Pramenné línie dosahujú výdatnosť až 5 l/sek. Puklinové vody často prenikajú svahovými uloženinami, v ktorých sa koncentrujú a v údoliach sústredene vychádzajú na povrch ako puklinovosutinové vývery s výdatnosťou až 5 l/sek. Ich výdatnosť značne ovplyvňujú klimatické pomery. Najpočetnejšie sú drobné vývery s výdatnosťou do 0,5 l/sek.

[2] *Oblasť s intenzívnejšie denudovaným reliéfom*, kde vulkanické horniny sú postihnuté intenzívnejšími premenami (charakteristická je oblasť B. Štiavnice). Vystupujú tu v prevahe efuzíva, kým pyroklastické horniny sa vyskytujú iba sporadicky. Vzhľadom na to, že vody prenikajú cez polymetalické zrudnenie tejto oblasti, stávajú sa agresívnymi; rozložené iliticko-montmorilonické zvetraniny zapĺňajú pukliny, čo značne znižuje presak vód do väčších hĺbek. Pokrývku sklaného podkladu tvoria málo pripustné deluviálne hliny. Nachádzame tu sice dosť prameňov, ale ich výdatnosť je max. 0,2 l/sek.

Z hydrogeologického hľadiska považujeme túto oblasť za nepriaznivú.

[3] Oblast Krupinskej vrchoviny sa vyznačuje *absolútou prevahou pyroklastického materiálu* (tufy, aglomeráty, tufity). Čo do zrnitosti i petrografického zloženia ide o rôznorodý materiál, často premiestňovaný eróziou a postihnutý rôznymi chemickými premenami. Kým tufitické horniny s prímesou sedimentárneho materiálu sú málo pripustné, pemzové tufy vhodného granulometrického zloženia sú dobre pripustné. Dominuje u nich pripustnosť pórová (Ostrolucký). Hydrogeologickými vrtmi (do 40–80 m) bola získaná výdatnosť 1–5 l/sek. na jeden vrt (viď obr. 2). Táto oblasť sa vyznačuje nedostatkom prirodzených výverov vody; ide obvyčajne o nepatrné výverky o výdatnosti 0,1–0,3 l/sek. Prevažná časť vody sa dostáva do povrchových tokov,



založených tektonicky. Na zlomových líniach nachádzame občas vývery so zvýšenou teplotou, čo svedčí o ich hlbšom obehu.

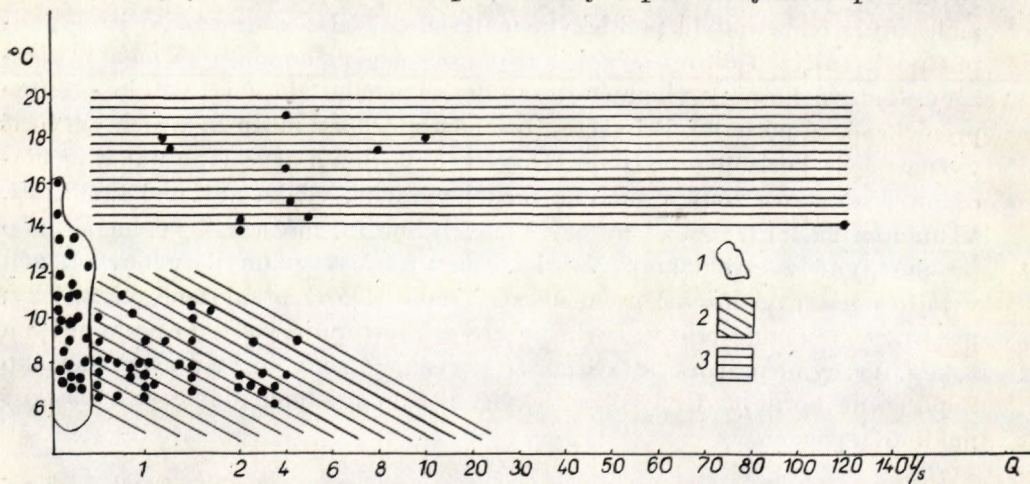
Priepustnosť vulkanických hornín bola overovaná pri prieskume základových pôd pre projekty vodných diel (Nemčok 1955).

Svetlé autometamorfované pyroxenické andezity sú pri malom rozpukaní takmer nepriepustné. Únik vody do vrtu pri tlaku 10 atmosfér bol nepatrny. U brekciovitých andezitov a aglomerátov špecifická strata vody sa pohybovala pri tlaku 5 atm. od 0,2—2,0 l/min. Polohy andezitových zlepencov a tufov sú pre vodu priepustné; špecifická strata vody pri tlaku 10 atm. sa pohybuje od 2—10 l/min. Čadič sa prejavili ako nepriepustné.

V oblasti neovulkanitov nachádzame množstvo prírodných výverov vôd, avšak malých výdatností (viď obr. 3). Väčšie vývery (s výdatnosťami od 1—10 l/sek.) sú iba na silne rozpukaných ústredných chrbotoch vulkanických pohorí. Teplota vody sa tu pohybuje od 4,0 °C do 10 °C. Najvýdatnejšie pramene na význačnejších poruchách majú zvýšenú teplotu (od 13 do 20 °C i viac). Ich výdatnosť je niekedy niekoľko desiatok litrov za sekundu (napr. Podzámčok Q-120 l/sek., teplota vody 14,5 °C; Vajsov prameň 16 l/sek, teplota vody 16 °C atď.). Takéto pramene často stretávame na tektonickom styku neovulkanických hornín s neogénnymi sedimentmi kotlín.

V centrálnej časti neovulkanitov sú časté staré banské štôlne, ktoré drénujú vody zóny zvýšenej puklinovitosti. Ich výdatnosť kolíše od 2,0—10,0 l/sek. Najvýdatnejší zdroj bol narazený pri výstavbe železničného tunela Remata, z ktorého vytieká 40 l/sek. Teplota vody je 8—12 °C.

Obeh vody je v neovulkanitoch podmienený v prevažnej miere puklinovi-



Obr. 3. Vývery vôd z neovulkanitov: 1 — sutinové vývery a z drobných puklín; 2 — vývery z väčších puklín a vrstevné pramene; 3 — vývery z významnejších poruchových zón.

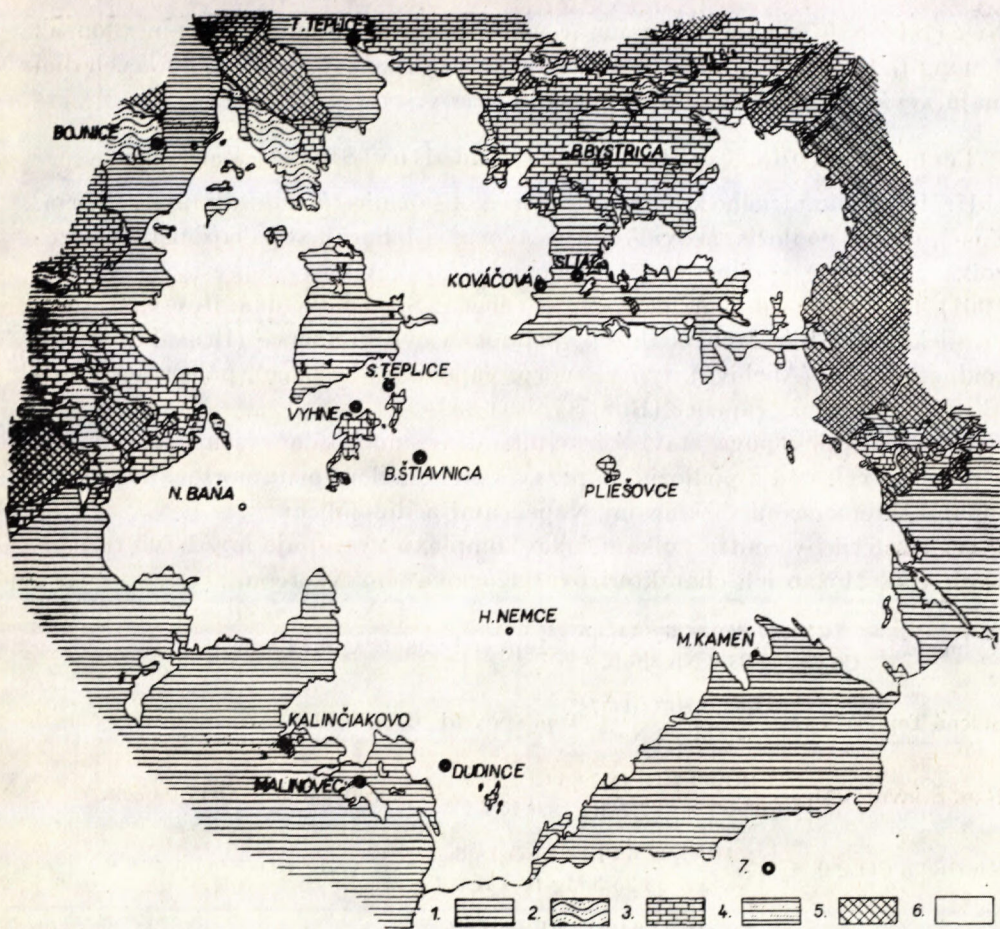
tostou hornín. Rozlišujeme pukliny, vzniklé v zóne zvetrávania, spôsobené predovšetkým klimatickými činiteľmi a účinkami gravitácie (zosúvanie na prudkých svahoch). Puklinové vody, ktoré prúdia sietou drobných puklín, nazývame vody zóny zvýšenej puklinovitosti. Napájané sú zo zvetraného plášťa, ktorý zachytáva zrážkové vody a odovzdáva ich skalnému podkladu. Výdatnosť početných drobných pramienkov v tejto zóne zriedkavo prekročí 1 l/sek. Ich režim je silne ovplyvnený klimatickými pomerami. Vody tejto zóny nemožno považovať za väčší rezervoár podzemných vód; majú iba lokálny význam.

### Vody poruchových zón

Poruchy podmienené tektonickou činnosťou v zemskej kôre vytvárajú sa podľa jednotného tektonického plánu v štruktúrach regionálnych rozmerov. Dopravádzané sú sietou drobných trhlín rovnakého generálneho smeru. Vďaka vysokej krehkosti efuzívnych hornín ľahko vznikajú v nich pukliny a zlomy hlbšieho tektonického založenia. Poruchové brekcievité zóny môžu byť pre vodu prieplustné; môžu v nich vzniknúť zvodnené zóny so značnými zásobami podzemných vód. Infiltrujú podzemnú vodu z väčšieho územia zo zóny zvýšenej puklinovitosti. Osobitným prípadom sú okrajové poruchové zóny, oddelujúce vulkanický komplex od neogénnych panví. Tu môžu komunikovať vody v poruchových zónach s artézskou nádržou v podhorských oblastiach. Z toho vyplýva, že pri prieskume podzemných vód musíme pozornosť venovať hlavne tektonickým zlomom.

Perifériu oblasti vulkanitov tvorí prevažne pyroklastický materiál, sedimentovaný vo vodnom prostredí. Eróziou mohol byť ešte premiestňovaný, resp. zmiešaný s cudzorodým pelitickej materiálom, čo značne znížilo jeho prieplustnosť. Takýto tufitový vývoj je z hydrogeologického hľadiska menej priaznivý. Tufové horniny vhodného granulometrického zloženia ak nie sú silne premenené, sú pórovité. Pri väčšej rozlohe a mocnosti môžu sa v nich vytvoriť význačnejšie horizonty podzemných vód, obyčajne s negatívne napäťou hladinou. Poruchové zóny v nich sú menej výrazné, vďaka zníženej krehkosti. Vzhľadom na ľahší rozpad pyroklastických hornín, môžu byť vyplnené málo prieplustnými zvetraninami. Napriek tomu však význam poruchových zón v tejto oblasti nemôžeme prehliadnúť. Údolia tokov sú založené tektonicky; predstavujú spodnú eróznu bázu, po ktorej prestopujú vody do povrchových tokov. Vrtnými prácami sa zistilo, že poruchové zóny sú viac zvodnené ako neporušené horniny. U pyroklastických hornín predpokladáme prieplustnosť puklinovo-pórovú.

Na overenie našich predpokladov sa uskutočnili r. 1966 3 vrty, ktoré mali zachytiť význačnejšie okrajové poruchové zóny; 2 vrty boli situované do poruchovej zóny, ktorá tektonicky oddeľuje neogén Bátovskej kotliny od vulkanitov Štiavnického pohoria. Vrt HŠ-2 zachytil v hĺbke 40 m poruchovú zónu až do hĺbky 100 m. Nastal z nej výron vody



Obr. 4. Náčrt geologických pomerov s vyznačením výverov vód. 1 — neogén; 2 — paleogén; 3 — mezozoikum; 4 — mladšie paleozoikum; 5 — kryštalínikum; 6 — neovulkanity; 7 — vývery termálnych vód.

o výdatnosti 10 l/sek. (preliv v úrovni terénu). Teplota vody bola zvýšená (19 °C). Vrt HŠ-3 v tejto oblasti dosiahol výdatnosť 3 l/sek v úrovni terénu. Čerpacím pokusom bola overená výdatnosť 12,5 l/sek pri znížení hladiny vody 27 m pod terén. Teplota vody bola 16 °C. Tretí vrt VZ-1 bol situovaný v oblasti Čaradice do poruchovej zóny, oddeľujúcej vulkanické horniny Pohronského Inovca od neogénnej panvy. Je to oblasť na vodu veľmi chudobná. Čerpacím pokusom bola overená výdatnosť 10 l/sek pri znížení hladiny vody 55 m pod terén. Teplota vody bola 16 °C. Sú to najvýdatnejšie vrty v oblasti neovulkanitov. Potvrdzujú predpoklady, že poruchové zóny regionálneho rozsahu sú najnádejnejšie pre získanie nových zdrojov podzemných vód. Ich nevýhodou je mierne zvýšená teplota.

V dôsledku malej rozpustnosti vulkanických hornín sú vody neovulkanitov málo mineralizované. Vody z andezitov majú mineralizáciu od 200 do 300 mg/l.

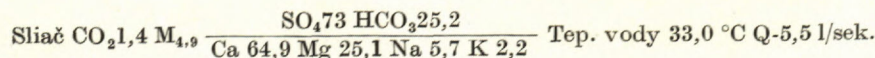
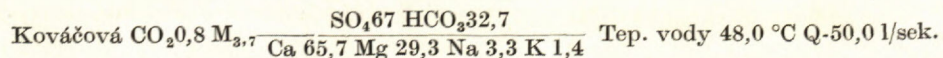
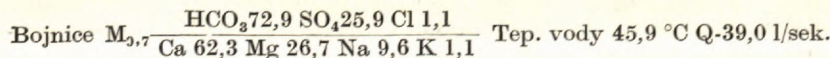
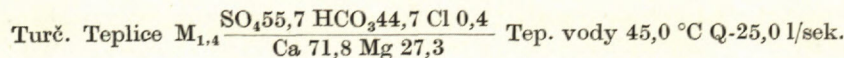
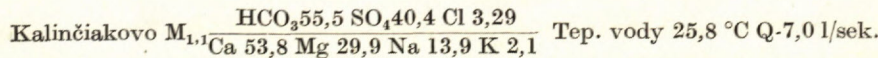
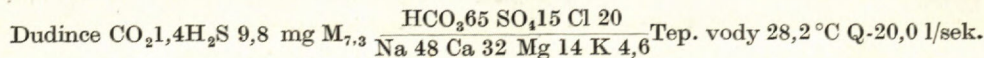
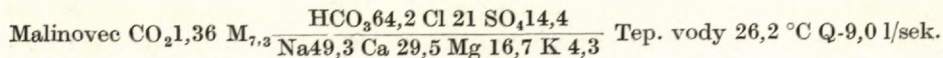
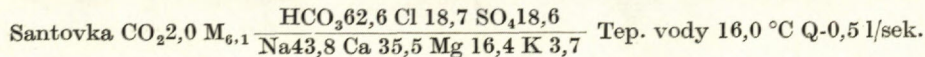
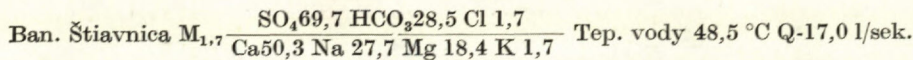
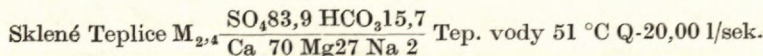
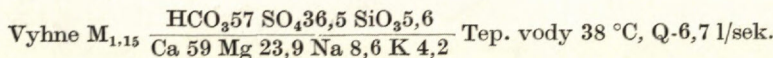
Niečo zvýšenú mineralizáciu majú vody z pyroklastických hornín (300 až 500 mg/l). Charakter vód je hydrokarbonátno-vápenatý. Vody z banských diel majú zvýšenú mineralizáciu a obsahujú sírany.

### Termálne vody v oblasti neovulkanitov Slovenska

Hrúbka vulkanického komplexu značne kolíše a miestami dosahuje až 1200 m. Značnú časť podložia neovulkanitov tvoria asi horniny paleozoika a mezozoika (prevažne spodné členy zachované útržkovite v depresiach; Fusán 1961). Časť podložia tvorí paleogén a neogén. Spod neovulkanitov vystupujú na niekoľkých miestach podložné spodnotriásové kremence (Brusník), granitoidné horniny (Ábelová), fyllity, svory, vápence (Pliešovce), paleozoické horniny, resp. mezoz. vápence (B. Štiavnica) atď.

HRASŤOVSKO-PRIEKOPOVÁ stavba neovulkanitov umožňuje výstup termálnych a minerálnych vód z podložia, napr. tvoreného žulou, metamorfovanými horninami, kremencami, bridlicami, vápencami a dolomitmi.

Na periférii i v centre vulkanického komplexu vystupuje množstvo termálnych vód. Možno ich charakterizovať Kurlovovými vzorcami:



V centrálnej časti vystupujú termálne vody z podložných hornín v *Sklených Tepliciach*, *Vyhniach a Ban*. Štiavnici. Ďalšia žriedelná štruktúra je medzi Levicami a Dudincami. Jej vznik podmieňuje chrbát kryštalických hornín s mezozoickým obalom (Hynie 1957) v podloží neogénu; na povrch sa vynoruje v niekoľkých eleváciách. Vyviera z neho rad termálnych kyseliek od Kalinčiakova po Dudince.

V *Dudinciach* podložie v hĺbke 56–103 m (Hynie 1960) tvoria spodnotriassové kremence. Hynie predpokladá infiltráčné oblasti v neovulkanitoch stredného Slovenska.

Mahel (1966) predpokladá, že značná časť vód infiltrovaných v mezozoiku dostáva sa pod neogénnu výplň kotlín i pod neovulkanické pohoria, synklináiami v podloží a vyviera ďaleko od svojich infiltráčnych oblastí. Ostrovy starších útvarov predstavujú okrajové časti synklinórií a podmieňujú ich výstup k povrchu. Často sú takéto hrasti pokryté neogénnymi horninami a na povrch nevystupujú (Dudince, B. Štiavnica). Na základe týchto predpokladov možno očakávať nové zdroje termálnych vód v podloží neovulkanitov v prieprastnejších karbonatických komplexoch. Potvrdzuje to aj výver termálnej vody v B. Štiavnici, narazený banskými prácami (r. 1880) o výdatnosti 17 l/sek a teplote vody 48,5 °C na poruchovej zóne vo vulkanickom komplexe. Voda preniká z podložných karbonatických komplexov.

V rámci riešenia problému bol odčerpávaný vrt GK-2 Antol, hlboký 1200 m, situovaný do hlbokej depresie, ktorá z hladiska zvodnenia sa javí menej nádejná. Režim podzemných vód v oblasti vrtu je ovplyvnený drenážnym účinkom Štiavnických baní a preto statická hladina vody bola 80 m pod terénom.

Vrt do hĺbky 1198 m zachytil vulkanické horniny, od 1198–1200 m vápence. Po prečistení vrtu bol čerpacím pokusom odskúšaný nezapažený úsek vrtu od 1138–1200 m. Pri znížení hladiny vody na 380 m pod terén, bola dosiahnutá výdatnosť 0,1 l/sek. Typ vody je nátrium-kalcium-bikarbonátovo-sulfátny, s celkovou mineralizáciou 888 mg/l. Maximálna teplota vody na povrchu bola 33 °C. Vzhľadom na malú výdatnosť sa voda počas čerpania na povrch značne ochladila.

Na skutočné teplotné pomery na vrte môžeme usudzovať z termometrických meraní:

| hĺbka<br>v m | Teplota<br>po 25 hod. kľudu |              | Teplota<br>po 7 dňoch kľudu |      |      |
|--------------|-----------------------------|--------------|-----------------------------|------|------|
|              | vo vrte v °C                | vo vrte v °C | 800                         | 50,8 |      |
| 100          | 16,8                        | 25,3         | 800                         | 50,8 | 54,0 |
| 200          | 21,6                        | 29,7         | 900                         | 55,2 | 57,6 |
| 300          | 26,6                        | 33,8         | 1000                        | 58,8 | 61,0 |
| 400          | 31,4                        | 37,9         | 1100                        | 61,9 | 63,9 |
| 500          | 36,6                        | 41,1         | 1140                        | 63,3 | 64,7 |
| 600          | 41,5                        | 46,0         | 1170                        | 64,1 |      |
| 700          | 46,3                        | 50,3         |                             |      |      |

Priemerný geotermický stupeň je 19,3 m/°C.

Podľa priebehu termometrickej krivky môžeme odhadnúť vrstevnú teplotu vody v skúšanom horizonte na 60—65 °C. Vrtem boli zachytené málo prieplustné horniny; výsledky vrtu však potvrdzujú názor o možnom výskytu termálnych vôd v podloží neovulkanitov. Pri zachytení prieplustnejších zvodnených horizontov, prípadne zvodnených poruchových zón s výtlacenými výškami nad terén, môžu mať značný hospodársky význam; preto i ďalšie štrukturne vrty budú hydrogeologicky odskúšané.

Geologický ústav D. Štúra,  
Bratislava

#### LITERATÚRA

- [1] Banský M., 1964: Hydrogeologickej prieskum riečnych náplavov v povodí Hrona. Rukopis; Geofond Bratislava. — [2] Böhm V.— Klír S.— Ostrolucký P., 1964: Hydrogeologicke pomery centrálnej časti stredoslovenských neovulkanitov a Krupinskéj vrchoviny. Geol. práce, Zprávy 32, Bratislava. — [3] Böhm V.— Melioris L., 1961: Náčrt hydrogeologickej pomerov oblasti stredoslovenských neovulkanitov. Acta geologica et geografica universitatis Comenianac. Geologica Nr. 7. — [4] Böhm V.— Škvarka L., 1965: Die bisherigen Erkenntnisse über hydrogeologische Verhältnisse der Neovulkanite im Gebiet der Slowakei. Carpatho-Balkan Geological Association, Congress Sofia. September 1965. Reports, Part V. — [5] Böhm V., 1965: Hydrogeologicke pomery žiarskej kotlinky. Acta geologica et geografica universitatis Comenianae. Geologica Nr. 10. — [6] Bujalka P., 1962: Hydrogeologickej prieskum náplavov Krupinice a Štiavnice. Rukopis; Geofond Bratislava. — [7] Ďuratný S.— Fusán O.— Kuthan M.— Plančár J.— Zbořil L., 1965: Untersuchung der neovulkanischen Komplexe der Westkarpaten durch geophysikalische Methoden. Geologické práce, Zprávy 36, Bratislava. — [8] Franko O., 1964: Problémy výskumu termálnych vôd Slovenska. Geologické práce, Zprávy 32, Bratislava. — [9] Franko O.— Škvarka L., 1964: Podzemné vody Nováckych uholných baní. Geol. práce, Zprávy 32, Bratislava. — [10] Hansel J., 1951: Balneografia Slovenska, Bratislava. — [11] Hynie O., 1954: Hydrogeologickej posudok o výsledku druhej pokusnej vrtby na minerálnu vodu. (S-3). Rukopis; Geofond Bratislava. — [12] Hynie O., 1956: Záverečný hydrogeologickej posudok o termálnych žriedlach v Malinovci. Rukopis. Geofond Bratislava. — [13] Hynie O., 1957: Posudek o vrtbě B-3 v Malinovci. Rukopis; Geofond Bratislava. — [14] Klír S., 1963: Thermálne vody stredoslovenských neovulkanitov a jejich neogenného okraje. Geologické práce. Zprávy 35, Bratislava. — [15] Klír S., 1960: Hydrogeologickej pomery revíru František šachty v B. Štianvici. Geologické práce, Zprávy 18, Bratislava. — [16] Klír S., 1965: Geothermický výskum vrtu GK-1 u Hontianskych Nemců na Slovensku. Geologické práce, Zprávy 36 Bratislava. — [17] Klír S., 1962: Prognóza výskytu thermálnych vod v podloží mladých vyvrelín Stredného Slovenska. Geologický průzkum č. 7. — [18] Kuthan M., 1963: Tectonic deformations of the central Slovakia neovulcanic region. Geologické práce, Zprávy 28, Bratislava. — [19] Kuthan M., 1958: K problémom neovulkanitov Slovenska. Geologické práce, Zošit 49. — [20] Maheľ M., 1950: Hydrogeologickej pomery v Sklených Tepličiach Rukopis, archív Geol. ústavu Bratislava. — [21] Maheľ M., 1966: Niektoré hydrogeologickej problémy vo svetle nových tektonických poznatkov. Geologické práce, Zprávy 38, Bratislava. — [22] Myslík V., 1964: Hydrogeologickej výskum kysličníka uhličitého. Sborník Geologických věd rada HIG,

sväzok I. Praha. — [23] Ostrolucky P., 1958—64: Zprávy z hydrogeologických vrtov prevedených v oblasti neovulkanitov. Zprávy za vrty. Rukopis; Geofond Bratislava. — [24] Struňák P., 1965: Hydrogeologický prieskum minerálnych vod v Sklených Tepličach, Rukopis; Geofond Bratislava. — [25] Škvarka L. a kol.: Ideový projekt na riešenie základných hydrogeologických pomerov neovulkanitov Slovenska a ich podložia. Archív Geol. ústavu, Bratislava. [26] Šuba, 1964: Kozárovce—Zvolen, hydrogeologický prieskum kvartérnych náplavov rieky Hron. Rukopis, Geofond Bratislava.

L. ŠKVARKA

### PROBLEMS OF WATER IN NEOVOLCANITES OF CENTRAL SLOVAKIA

The neovolcanites of Slovakia are a part of the inner volcanic zone and appear in central zone of the West Carpathians being the product of subsequent and final volcanism. They cover an area of 5400 km<sup>2</sup> e. i. about 10 % of all the territory of Slovakia. They are present in the region of central and eastern Slovakia.

Morfologically they form effusive sheets. The pyroclastic rocks build less expressive forms. The surface of neovolcanites area is articulated the altitude from 200 to 1450 m.

For characteristic of surface discharge and of climatic conditions in neovolcanite region of Slovakia data obtained by O. Dub (1954) are presented

|   | central Slovakia | eastern Slovakia |
|---|------------------|------------------|
| minimum specific run-off in lit/sec/km <sup>2</sup>                       | 0,5—1,0          | 0,3—0,5          |
| average specific run off in the years 1931—40<br>in l/sec/km <sup>2</sup> | 5,0—20,0         | 5,0—7,5          |
| average annual precipitation in mm  | 700—1200         | 650—800          |
| average annual temperature in °C  | 4,0—7,0          | 5,0—8,0          |
| total annual evaporation in 1931—40 in mm                                 | 550—400          | 550—400          |

The neovolcanite region is characterized by stratovolcanic structure, and effusive and pyroclastic rocks are altering there. The neovolcanic rocks show a succession of rhyolite-andezite and their pyroclastic rocks. Kuthan (1961) characterized the succession of eruptive phases as follows: I. rhyolite phase (Burdigalian); I. andesite phase (Pyrox. amphibolic andesite, Lower Tortonian); II. rhyolite phase (Middle and Upper Tortonian); II. andesite phase (pyrox. andesites, Upper Tortonian, Lower Sarmatian); III. andesite phase (biotite-amphibolic andesite and dacite Sarmatian); III. rhyolite phase (Sarmatian); Basaltoid andesite and basalt (Latest Tertiary) as product of final volcanism.

The central part of volcanic complex is to a great degree formed by effusive rocks and the periphery (Krupinská vrchovina Highlands) almost all by pyroclastic rocks. Deep destruction of former volcanic structures resulted in complete destruction and inversion of former relief. Principal tectonic lines are known which gave rise to depressions and valleys. The earliest fault system strikes NW—SE, the latest WNW—ESE. In central part a N—S fault system is evident. The effect of tectonics manifested by brecciation and brecciated zones.

Closing we may state that alluvium of rivers in neovolcanites is relatively poor on water. This is caused by a small thickness of alluvium and clayey disintegration of volcanic rocks. As to chemical aspect water is not available for drinking without any adjustment and prevailing part of water was also defective bacteriologically.

## Hydrogeological Relations in Neovulcanite Rocks

Water circulation in neovulcanites is mostly made dependent upon distribution of joints in rocks. Joints originated in weathering zone can be distinguished there and waters flowing in them are termed waters of zone with greater distribution of joints. They are supplied by atmospheric precipitation, transmitted slowly by mantle rock to substratum. The zone of greater distribution of joints supplies many smaller springs discharge of which seldom exceeds 1 lit/sec. (fig. 3) Their regime is strongly influenced by climatic factors. They cannot be considered as larger ground water reservoir and are only of local importance. More efficient springs show slightly increased temperature, fluctuating from 13 to 20 °C and more. Their discharge sometimes is also several tens of lit/sec. There is a point of issue in Podzámcok e. g. with discharge exceeding 100 l/sec. and water temperature 14,5 °C, the spring Vajsov prameň with water temperature 16 °C and discharge 16,0 l/sec. etc. These points of issue are related to important dislocations in volcanites and we meet them at tectonic contact of neovulcanite rocks with Neogene sediments or depressions.

Dislocations which originate by the effect of tectonic processes in earth crust form according to uniform tectonic plan in structures of regional dimensions. Owing to increased brittleness of effusive rocks joints and faults of deeper origination are rising in them, brecciated zones are forming which can be permeable for water. They can form linear aquiferous zones with considerable ground water reserves. Water circulating in them are termed fracture zone waters. Marginal fracture zones separating volcanic complex from Neogene depressions are a particular case. There waters in fracture zones may communicate with artesian reservoirs in piedmont areas. Pyroclastic rocks prevailingly deposited in water environment. Erosion could displace them and so allothigene material could be admixed or alternations of rock could cause considerable lowering of their permeability. Tuffaceous development is less favourable hydrogeologically. Tuffaceous development with available granulometric composition can include pore water. With great thickness and extent of tuffs important ground water horizons can form. In this area many boreholes were sunk to depth 40–80 m for searching local water sources. They enabled to obtain discharge 1–5,0 l/sec. in one borehole. (fig. 2)

For our assumptions that important fracture zones are aquiferous to be verified three boreholes were sunk. Two boreholes were situated in marginal fracture zone which separates Neogene of Bátovská kotlina Depression from volcanites of Štiavnické pohorie Mts. The borehole HŠ-2 met in depth of 40 m the fracture zone and passed through it to a depth of 100 m. Flow of water with discharge of 10,0 l/sec. (overflow in surface level) and water temperature of 19 °C commenced. The borehole HŠ-3 about 300 m from marginal fracture zone caused flow of water with discharge of 3,0 l/sec. from volcanic rocks. Pumping test verified discharge of 12 l/sec. with lowering of level to 27 m under surface. Water temperature was 16 °C. With penetration of water from marginal fracture zone under the depression slow cooling down of water took place. The borehole VZ-1 was situated in marginal fracture zone which separates volcanites of the Pohronský Inovec Mts. from Neogene sediments in the area of Čaradice. This area is poor on water. Pumping test verified discharge of 10,0 l/sec. with lowering of level to 55 m under surface. Water temperature is 16 °C. These are the most efficient boreholes in the neovulcanite region.

Owing to small solubility of volcanic rocks water in volcanites is only little mineralized. Its mineralization is 200–300 mg/lit., character of water hydrocarbonate-calcareous.

## Thermal Water in Neovulcanite Region of Slovakia

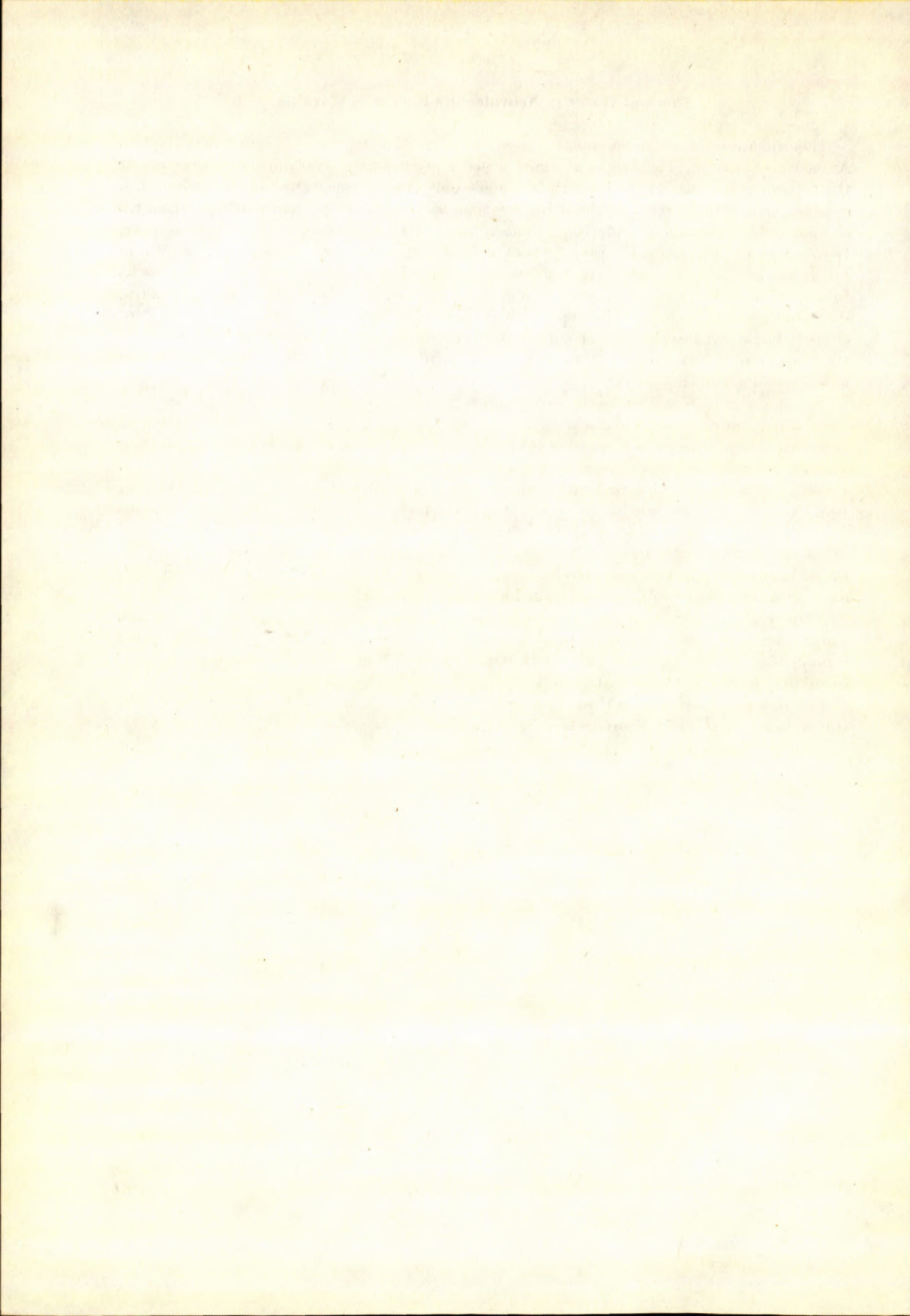
The thickness of volcanic complex reaches according to data of boreholes 1200 m. At eastern boundary Tatravaporid zones prevailingly built by crystalline submerge under the neovulcanites (fig. 4). At western boundary only the Ďumbier Zone in the Tribeč Mts. appears. The other part is covered by Neogene sediments. From beneath neovulcanites at many places islands of underlying rocks appear. Near Ábelová granitoid rocks appear, Lower Triassic quartzites are present near Brusník, phyllites, micaschists, quartzites and dolomites are near Pliešovce, in the Štiavnica island metamorphosed rocks and rocks similar to those from the Krížna and Choč series appear. Near Levice arkoses, quartzites, shales, limestones and dolomites appear. On basis of existing information it may be concluded that considerable part of substratum of neovulcanite rocks would be formed by Paleozoic rocks. Mesozoic built mostly by lower members would appear prevailingly in depressions. (Fusan 1961).

The horst-graben structure of neovulcanite region enables ascent of thermal and mineral water from underlying rock.

Thermal water ascends from islands of underlying rocks in Sklené Teplice, Vyhne and Banská Štiavnica. Another spring forming structure is between Levice and Dudince. Its origin was connected with a ridge of crystalline rocks with Mesozoic envelope (Hynie 1957) running in the substratum of Tertiary sediments. A series of thermal acidulous waters outflow from it. Maheľ (1966) assumes that considerable part of water infiltrated in the Mesozoic is getting under Tertiary filling of depressions and under volcanic mountains. Water flows in synclines of the substratum and outflows far from infiltration drainage areas and islands of earlier formations support its ascent to surface.

Mentioned assumptions enable to express prognoses about finding of new thermal water sources in underlying more permeable horizons by boreholes. Mentioned assumption is confirmed by met thermal water with discharge of 17,0 lit/sec. and temperature 48,5 °C in mining works in Banská Štiavnica.

For this problem to be solved deep structural boreholes will be tested, carried out in this area by means of informative pumping tests.



PAVOL POSPÍŠIL

## VÝZNAM NEOTEKTONIKY PRE FORMOVANIE HYDROGEOLOGICKÉHO CHARAKTERU NÍŽINNÝCH OBLASTÍ ZÁPADNÝCH KARPÁT

Pri štúdiu hydrogeologických pomerov v nížinách Slovenska boli v mnohých prípadoch zistené územia s veľmi priaznivými hydrogeologickými pomerami a s možnosťou získať značné množstvá pitných aj úžitkových vód, a to aj v oblastiach, ktoré sa z tohto hľadiska často považovali za viac-menej deficitné (Záhorská nížina, Východoslovenská nížina). Tento názor vyplýval hlavne z nie dostatočného poznania geologického vývoja územia najmä v kvartéri i z toho, že pri štúdiu tektonických pomerov sa často vychádzalo z tektoniky starších útvarov, aplikovanej aj na kvartérne sedimenty. V poslednom období sa zistilo, že hydrogeologicky priaznivé štruktúry môžu existovať aj v prípadoch, keď sa povrchovým výskumom nedajú zistiť príznaky, ktoré by svedčili o pôsobení neotektonických procesov (Východoslovenská nížina — Leles, Michalovce).

### Výskyt neotektonických depresií

Neotektonické pohyby sa podľa doterajších poznatkov interpretovali ako obnovenie starších poruchových línií, alebo priame pokračovanie neogénnej tektoniky do kvartéru. Podľa najnovších poznatkov (Baňacký — Harčár — Sabol 1965) však neotektonické depresie sa plošne vždy nekryjú s neogénnymi poklesovými pásmami, ale presahujú aj na územia nížiny.

Začiatok takýchto mladých poklesov kladú citovaní autori do pleistocénu-mindelu, príp. do rissu až würmu. V niektorých oblastiach (Podunajská nížina) sa vytvorila synsedimentárna poklesová panva, ktorá je pokračovaním pontlevantských poklesov. Na Východoslovenskej nížine mnohé príznaky svedčia o intenzívnom mladom poklesávaní, ktoré miestami začalo vo würme a pokračuje do holocénu.

Takto vzniknuté depresie sa najčastejšie vyskytujú v okrajových častiach

nížin, hlavne v podhorí okrajových horstiev. Niektorí autori (Kvitkovič 1961) uvádzajú jestvovanie mladých pohybov aj v súčasnosti (podvihorlatská depresia). Dôležitú funkciu tu majú okrajové zlomy, ktoré oddelujú okrajové pohoria od sedimentov nížin. Blízko zlomov vznikli často depresie na vzdialenosť viac km pozdĺž pohorí [napr. známa zohorsko-plavecká depresia na Záhorskej nížine (Buday 1962); podvihorlatská depresia vo Východoslovenskej nížine (Kvitkovič 1961)]. Iné depresie sú značne vzdialené od okrajov nížin; domnievam sa, že tiež vznikli neotektonickým poklesávaním podložia (napr. depresia v neogénnych sedimentoch južne od Michaloviec — michalovská depresia, lelesko-dobranská depresia V od Kráľovského Chlmca, kútska depresia v Záhorskej nížine; Sabol 1965). Zistili sa najmä v posledných rokoch, lebo ide o zakryté štruktúry, ktoré sa na povrchu prakticky vôbec neprejavujú.

Tektonická aktivita v týchto územiach bola známa aj v minulosti (napr. stahovanie sa koryta Tisy; Šauer 1929), ale praktické dôsledky najmä pre hydrogeológiu boli objasnené až v poslednom období. Existencia depresií uprostred veľkých nížin vedie k predpokladu, že tektonická aktivita nebola v najmladších obdobiach jednotná; v niektorých prípadoch mladé pohyby spôsobili diferenciáciu pôvodného povrchu neogénnych sedimentov. Nie je teda nutné predpokladať vždy poklesovú činnosť pozdĺž všetkých neogénnych zlomov, hoci v niektorých prípadoch (Záhorie — Sabol ústna zpráva) ide viac-menej o obnovenie neogénnej tektoniky po dlhšom alebo kratšom časovom intervale. Nemuselo všade dôjsť ani k poklesu plošne rozsiahleho areálu (ako je to napr. v Podunajskej nížine, alebo ako sa v minulosti interpretoval vývoj centra Východnej nížiny), ale len pozdĺž niektorých zlomov. V niektorých prípadoch mohli vzniknúť aj úplne nové poruchové línie. Mladá tektonika nemusí mať hlboký dosah, takže pri štúdiu neogénnych sedimentov mladé depresie nemusia byť pozorované. Z toho dôvodu je nutné venovať kvartérnym sedimentom zvýšenú pozornosť.

Depresie vzdialenejšie od okrajových zlomov sa hlavne na Východoslovenskej nížine vyskytujú najmä v blízkosti neovulkanických komplexov, ktorých vznik mohol znamenať porušenie tektonickej rovnováhy v danom území a vytvoriť nové tektonické pohyby prevažne poklesového charakteru (Michalovce, Kráľovský Chlmec, Leles).

Neotektonické pohyby sú známe aj z iných území, takže aj tam podrobňím štúdiom asi budú môcť byť zistené hydrogeologicky významné lokality. Napr. Baňacký a kol. (1965) zistili v južnej časti Hronskej pahorkatiny na základe morfologickej analýzy kvartérne pohyby. Podľa toho možno predpokladať priaznivé hydrogeologické lokality buď priamo na pahorkatine alebo pri jej okraji; dôležitú úlohu môžu pritom zohrať riečne nánosy hlavne Žitavy.

Pri východnom okraji Malých Karpát v trnavsko-blatenskej depresii bude možno podrobňím štúdiu kvartéru zistiť priaznivé hydrogeologické štruk-

túry. Podrobnejšie štúdium by si zaslúžili aj výbežky Podunajskej nížiny, hlavne Považie, a to úsek od Trenčína, kde určité predpoklady pre existenciu priaznivých štruktúr naznačuje tektonické obmedzenie Inovca voči mladším súvrstviam. To isté platí aj o vnútorných kotlinách; naznačujú to niektoré fakty, napr.: nejednotná hrúbka mladopliocénnych a kvartérnych uložení, doklady o sfahovaní riečnych korýt a pod. Depresie nemusia vždy predstavovať samostatné nádrže podzemných vôd. V údoliach stredných tokov riek často existujú v nepriepustných horninách podložia kvartéru samostatné korytá oddelené od toku, takže podzemná voda v nich má samostatný režim. Vznik korýt okrem iných faktorov mohla ovplyvniť aj mladá tektonika tým, že v dôsledku jednostranného poklesu došlo k preloženiu toku rieky a eróziou k vytvoreniu nového koryta.

#### *Hydrogeologický charakter výplne kvartérnych depresí*

Okrem samotného faktu jestvovania depresí je z hydrogeologickej hľadiska dôležitá aj *ich výplň* a podmienky, za akých sa tátu usadila. Na transporte materiálu a na vyplňaní depresí sa môže podieľať: soliflukcia, transportná činnosť potokov a riek, eolická činnosť a tvorba rašelín. Dôležitú úlohu tu mají aj vlastnosti materských hornín, najmä ich petrografické zloženie.

K soliflukcii mohlo dôjsť za vhodných morfológických a klimatických podmienok (sklon väčší ako niekoľko stupňov, striedavé rozmízranie a zamrzanie zvetraného materiálu), najmä pri depresiach na okraji nížin. Ak takto usadený materiál neboli už druhotne vytriedený, stráca pre hydrogeológiu význam. Výplň sa v takom prípade totiž skladá zo zmesi klastického a ilovitochlinitého materiálu, veľmi málo priepustného. Tak je to napr. v Podvihorlatskej depresii, kde hoci je výplň viac desiatok metrov mocná, nemožno z nej získať väčšie množstvo vody. Balvany (až 0,7 m veľké) sú tu zmiešané s hlinitým materiáлом. O nepriaznivých hydrogeologickej podmienkach svedčí viac vrtov, napr. v okolí Sejkova (vrt hlboký 40 m prakticky celý v silne zahlinených úlomkoch vulkanitov). Na druhej strane potok Okna od vyústenia z Vihorlatu až po Nižnú Rybnicu hneď po vyústení teče v údolí pravdepodobne eróznom, zarezanom prevažne do soliflukčného materiálu. Vyerođovaný materiál rieka pri transporte vytriedila a znova usadila v južnejšom území, takže v okolí Nižnej Rybnice sa nahromadila až 18 m mocná poloha pomerne dobre priepustného materiálu, z ktorého možno získať až 15 l/s vody z jedného vrtu. Domnievam sa, že takáto resedimentácia a vytriedenie materiálu bola možná vďaka značnej energii vody potoka Okny. U ďalších menších potokov, vtekajúcich z Vihorlatu takýto jav neboli zistený.

U depresí, vyplnených akumuláciami potokov a riek rozlišujeme sedimenty pri vyústení z pohorí (náplavové kužeľe) a vyplňujúce depresie, vzdialené od okrajov nížin. Posledné budú prevažne jemnozrnnejšie, v dôsledku nižšej trans-

portnej schopnosti riek. Pre výplň depresií materiálom náplavových kúželov je charakteristické striedanie polôh pomerne dobre prieplustných s polohami s materiálom hlinitým, pričom ich mocnosť môže byť rôzna. Napríklad v zohorsko-plaveckej depresii sedimenty dôležité z hydrogeologického hľadiska dosahujú hrúbku až 60 m. Pomerne dobre prieplustné sú tu sedimenty bez ohľadu na materskú horninu, teda aj z kryštalika (kužel perneckého potoka) a z mezozoika (kužel sološnického potoka). Pri dlhšom transporte mezozoických hornín dochádza k odstráneniu karbonátov a v kuželi nachádzame prevažne odolnejšie horniny (melafýry, pieskovce, rohovce a pod.).

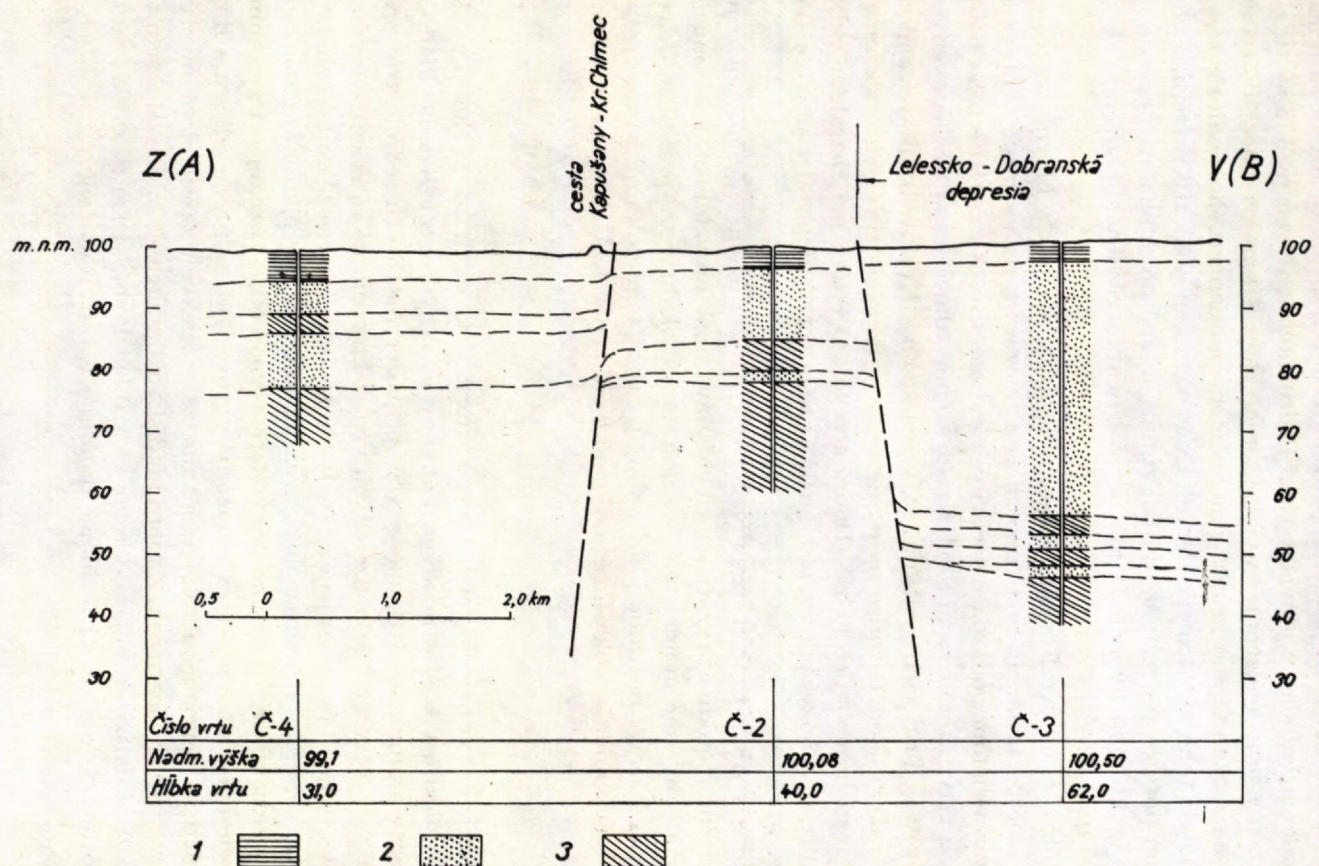
Z hydrogeologického hľadiska je veľmi dôležité poznat celý rozsah depresie v smere od pohoria, pretože dĺžka transportu značne ovplyvňuje zrnitostné pomery usadenín. So vzdialenosťou pomerne rýchlo klesá veľkosť transportovaných častíc a tým sa zhoršujú aj infiltráčné pomery. Pri veľkých priečnych rozmeroch depresie (niekoľko km) môže dôjsť pri vzdialenejšom zlome — v smere od pohoria k nahromadeniu až neprieplustného materiálu. Z uvedeného vyplýva, že bez poznania podmienok sedimentácie výplne depresie je veľmi fažké správne situovať hydrogeologické vrty.

Ak je depresia vyplnená *riečnym materiáлом*, hydrogeologický charakter výplne závisí od viacerých faktorov, najmä od geologického a morfologického charakteru povodia. Prvý vplýva hlavne na zahlinenie produktov zvetrávania a na možnosť vzniku prívalov z dažďov. Pre tieto javy sú zrejme najlepšie podmienky v horninách flyšového pásma. Nemusí to však v každom prípade znamenať zhoršenie hydrogeologických podmienok náplavov, ako to ukazujú pomery vo výplni michalovskej depresie, ktorá má pomerne priaznivý vývoj sedimentov. Prietoky v rieках flyšového pásma, a najmä možnosť vzniku prívalov sú však priaznivé pre existenciu hlinitých a zahlinených polôh vo výplni depresií. Dôležité je aj to, či ide o horný, stredný alebo o dolný tok rieky, lebo od toho závisí zrnitostný charakter sedimentov. Najlepšie to vidieť vo Východoslovenskej nížine, kde michalovská depresia, ležiaca na strednom toku Laborca, je vyplnená prevažne štrkopiesčitým materiálom, v lelesko-dobranskej depresii (vyplnená prevažne dolným tokom Latorice a Tisy) výplň tvoria prevažne piesky. U tejto nádrže hrala dôležitú úlohu aj eolická činnosť, ktorá tiež obohatila výplň o značné množstvo jemnozrnného materiálu. Eolická činnosť zohrala značnú úlohu pri vypĺňaní depresií aj na Záhorí.

Výplň depresií *organogénneho pôvodu* má v našich pomeroch len menší význam a je aj zriedkavejšia (predstavujú ju hlavne rašelin).

#### *Štúdium režimu podzemných vôd v kvartérnych depresiach*

Pri štúdiu hydrogeologických pomerov nížinných oblastí Slovenska veľmi dôležitú úlohu pre celkové poznanie, resp. pre zistenie priaznivej štruktúry hrá *poznanie režimu vôd*. Takto zistené anomálie môžu upozorniť na existenciu



Obr. 1. Priečny profil S časťou lelesko-dobrantskej depresie.  
1 — hliny (kvartér); 2 — piesky (kvartér); 3 — fly (neogén?).

spomínaných štruktúr. Tak napr. štúdiom režimu v okolí Michaloviec (Pospíšil 1965) sa zistilo, že prúdenie podzemných vód v tomto území sa odlišuje od prúdenia bežného v alúviách riek. Podrobnej analýzou režimu sa tu zistil samostatný prúd podzemných vód, ktorého smer (šikmo na smer údolia) upozornil na možnosť jeho usmernenia reliéfom nepriepustného podložia štrkov. Na základe toho sa tu zistila depresia v neogénnom podloží kvartéru. Vyhodnotením pozorovaní režimu vód bol zistený aj spôsob doplnania depresie, bez poznania ktorého by nebolo možné uvažovať o zásobách podzemných vód v danej oblasti.

Podobne S od Královského Chlmca analýza režimu, a hlavne zostrojenie mapy smerov prúdenia podzemných vód upozornili na možnosť ovplyvnenia prúdenia reliéfom podložia kvartérnych sedimentov. Na základe toho boli situované vrty, ktoré overili S od Královského Chlmca hrast neogénnych sedimentov v podloží kvartéru (obr. 1), ktorá spolu s Královskými kopcami rozdeľuje nížinu J od Latorice na dve čiastkové depresie: východnú s osou približne v smere spojnice Leles—Dobrá a západnú, ktorá má charakter veľkej, rovnomernej hlbokej panvy, teda nedá sa tu hovoriť o depresii v pravom slova zmysle.

Vyhodnotenie režimu podzemných vód v danom území môžeme považovať za pomocnú metódu aj pri štúdiu a vyhľadávaní nádejnych lokalít, ale musíme ju použiť, aby sme mohli určiť význam danej lokality pre praktické, hlavne vodárenské účely. Bez toho je fažko určiť najmä také dôležité parametre, ako je systém doplnania a okrajové podmienky pre výpočet zásob podzemných vód.

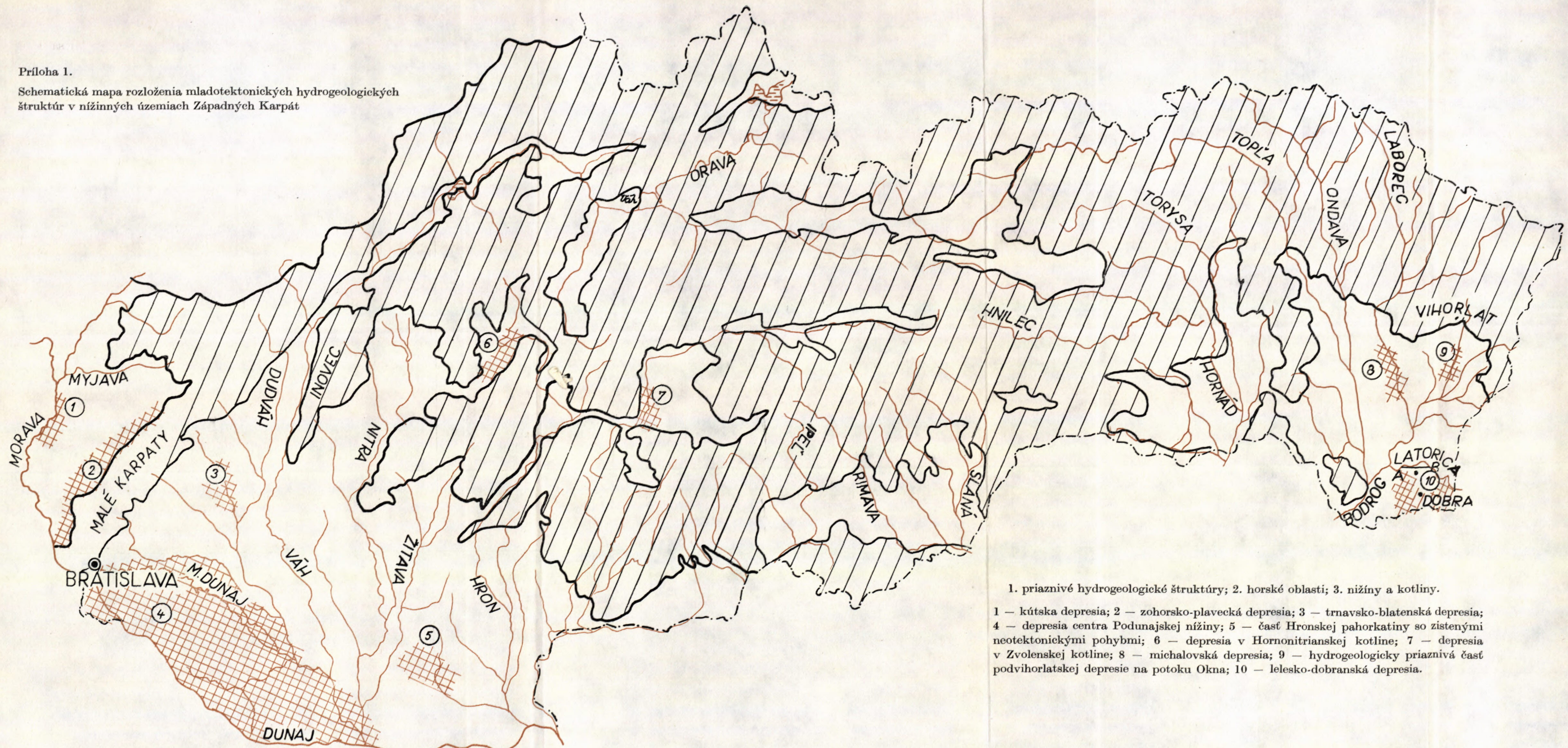
### Záver

Na základe hydrogeologických poznatkov z niektorých území chcem poukázať na dôležitosť štúdia mladých pohybov aj z hydrogeologického hľadiska. Kvartérne akumulácie štrkopiesčitých, prípadne piesčitých sedimentov predstavujú význačné nádrže podzemných vód, z ktorých nie sú zriedkavé výdatnosti 30—40, ba i 50 l/s na jeden vrt. Ich zistenie a získanie základných údajov o genéze, rozšírení a hydrogeologických vlastnostiach výplne môže znamenať veľký praktický prínos hlavne pre vodárenstvo. Veľký význam má aj akumulačná schopnosť nádrží, ktorá umožňuje vyrovnať kolísanie odberu a doplnenie nádrže v priebehu roku čerpaním zo statických zásob, doplnovaných hlavne v jarných mesiacoch. Z tohto hľadiska v budúcnosti bude treba venovať pozornosť aj ďalším územiam, hlavne výbežkom Podunajskej nížiny a vnútornym kotlinám, kde nie sú podobné akumulácie vody vylúčené.

*Geologický ústav D. Štúra,  
Bratislava*

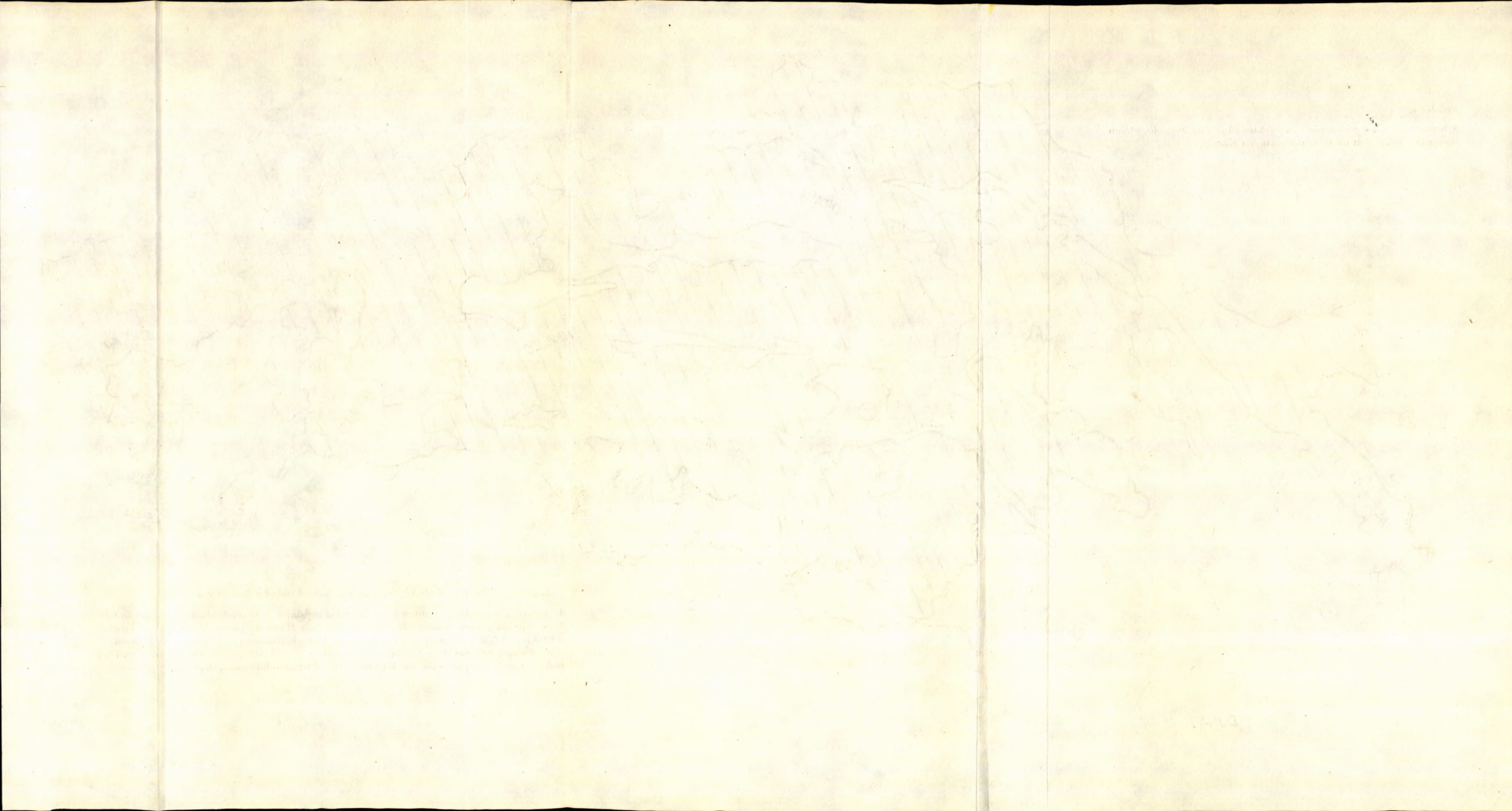
Príloha 1.

Schematická mapa rozloženia mladotektonických hydrogeologických štruktúr v nižinných územiach Západných Karpát



1. priaznivé hydrogeologicke štruktúry; 2. horské oblasti; 3. nižiny a kotliny.

1 — kútska depresia; 2 — zohorsko-plavecká depresia; 3 — trnavsko-blatenská depresia;  
4 — depresia centra Podunajskej nížiny; 5 — časť Hronskej pahorkatiny so zistenými  
neotektonickými pohybmi; 6 — depresia v Hornonitrianskej kotline; 7 — depresia  
v Zvolenskej kotline; 8 — michalovská depresia; 9 — hydrogeologicky priaznivá časť  
podvihorlatskej depresie na potoku Okna; 10 — lelesko-dobranská depresia.



## LITERATÚRA

- [1] Baňacký V., 1962: Ročná zpráva o základnom výskume kvartéru VSN za rok 1961. Rukopis; Archív GÚDŠ. — [2] Baňacký V.—Harčár J.—Sabol A., 1965: Neue Kenntnisse über den Einfluss der tektonischen Bewegungen auf die quartäre Entwicklung' der slowakischen Niederungen. Geologické práce, Zprávy 36, Bratislava. — [3] Buday T., 1962: Vysvetlivky ku geologickej mape 1:200 000 list Bratislava—Viedeň. Bratislava. — [4] Franko O., 1963: Príspevok k hydrogeologickým pomerom okolia Trnavy. Geol. práce, Zošit 64, Bratislava. — [5] Kvitkovič J., 1961: Príspevok k poznaniu neotektonických pohybov vo Východoslovenskej nížine a prilahlych oblastiach. Geografický časopis 13/3, Bratislava. — [6] Pospíšil P., 1965: Hydrogeologické pomery okolia Michaloviec. Geol. práce, Zprávy 35, Bratislava. — [7] Šauer F., 1929: Předvěká činnost karpatských řek. Sborník čsl. společnosti zeměpisné.

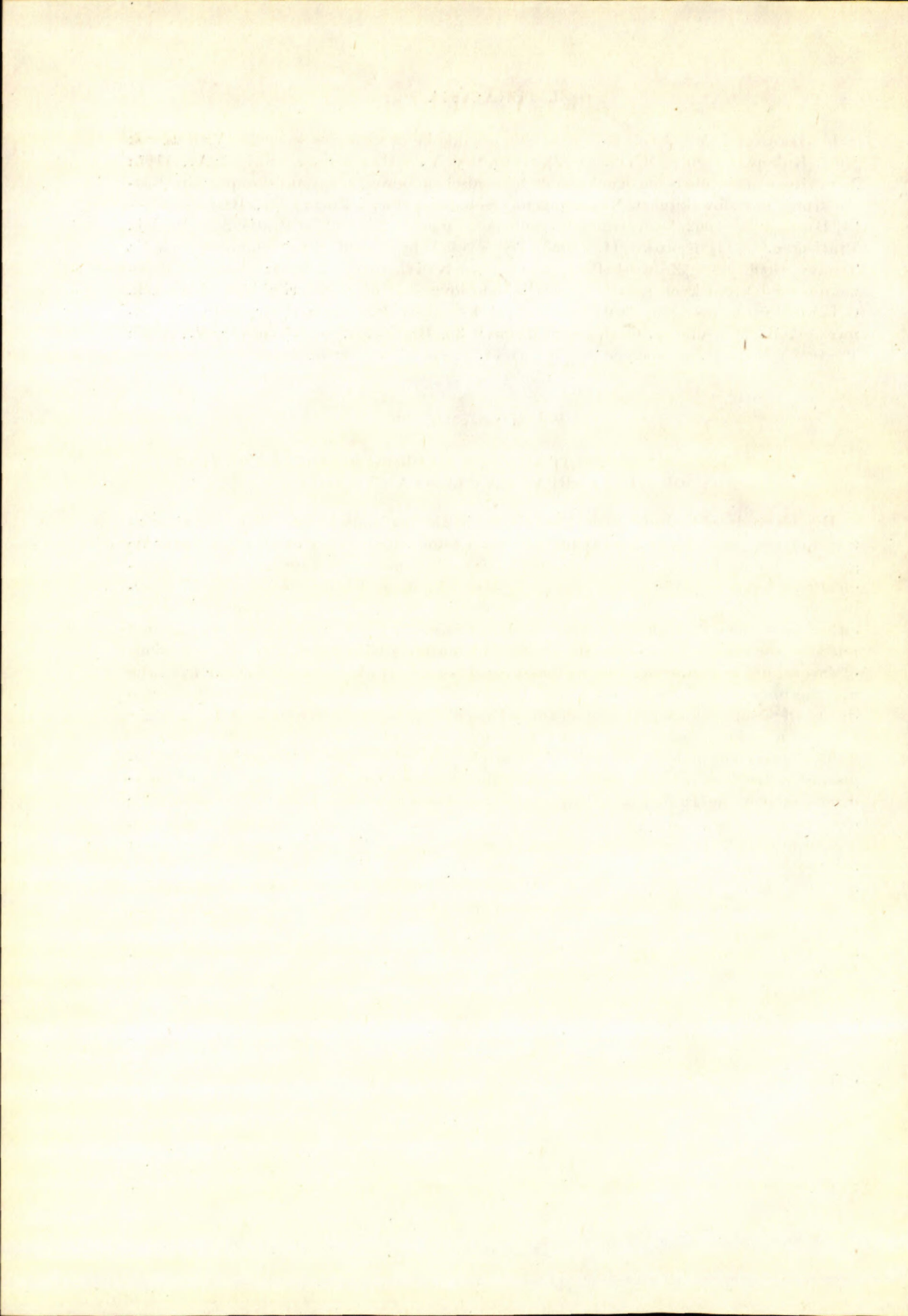
PAVOL POSPÍŠIL

### IMPORTANCE OF NEOTECTONICS FOR HYDROGEOLOGICAL FORMING OF WEST CARPATHIAN LOWLAND AREAS

By the study of hydrogeological conditions in the lowlands of Slovakia, several territories of very convenient conditions have been found. Frequently even 50 l/sec may be gained from one hydrogeological borehole. The main cause of the convenient hydrogeological conditions were the neotectonic movements due to which depressions filled by permeable material, arose. The question is predominantly in covered structures, that are either partly or not at all observable on the surface. They occur mainly in the marginal parts of lowlands, where — on the contact of lowlands with mountains — depressions of several km length arose. Depressions may be observed also in areas farther from the margins of lowlands. In some lowlands (the Východoslovenská nížina lowland) they arose due to the young effusions of neovolcanites by which tectonic stableness of the area might have been broken, and the rise of the structures of subsidence nature caused.

The detail morphologic analysis of the study area, the study of the regime of underground water with detail determination of directions of circulation, measuring of water discharge, i. e. determination of the lost of water in the surface water streams running over the study area, are considered the main methods of the study of these structures.

The filling of depressions was shared by several agents. The most important of them are the following: solifluction, transport activities of brooks and rivers, eolic activities and to a certain extent the plant activities. The filling that is the result of solifluction is usually of bad hydrogeological properties. It has convenient character only in the case of the secondary sorting of sediments by the running water. In depressions filled by the activities of brooks and rivers, the filling from the alluvial fans should be distinguished. In this case material is rather weakly sorted including rich clayey insertions. It must be differed from the filling of depressions that arose due to the activities of the middle and lower courses of rivers. The material of this origin is comparatively homogene, still with frequent clayey insertions as a consequence of floods in the course of the development of depressions. Depressions with their development shared by the eolic activities contain admixture of finegrained sands and in some cases also loess insertions.



Tomáš Gregor

### Poznámky ku genéze a tektonickému postaveniu niektorých Mn ložísk na Kube

V súvislosti s vyhľadávaním nerastných surovín na Kube riešili sme i otázky genézy a tektonického postavenia mangánových ložísk Balkánes a Los Chivos v provincii Oriente SV od mesta Santiago de Cuba. Širšie okolie ložísk budujú vulkanogénno-sedimentárne súvrstvia paleogénu, rozčlenené na formácie El Cobre, Charco Redondo a San Luis.

Formáciu *El Cobre*, ktorú popísal Taber (1931), budujú horniny vrchnej kriedy až paleocénu, príp. spodného eocénu, litologicky veľmi rôznorodé. V súvrství mocnom 4500 až 6000 m sa nachádzajú tufy, tufty, vulkanická láva, aglomeráty s andezitickým materiálom, tufitické vápence, sliene s radiolaritmi, pieskovce, polymiktné zlepence s opracovaným materiálom a brekcie. Ďalej sa tu nachádzajú polohy vápencov s foraminiferami rodu *Discocyclina*. Spodnú hranicu formácie určujú výskyty fragmentov rudistov a *Sulcoperculina dickersoni* (Palmer). Bohatá fauna s radioláriami a s *Truncorotalia aragonensis* (Nuttall) určuje vrchnú hranicu spodného eocénu (Bermúdez 1952).

Formáciu *Charco Redondo* označujú Woodring & Davies (1944) ako



Obr. 1. Orientačná skica rozloženia študovaných jednotiek.

vápence Charco Redondo. Ako samostatnú formáciu ju vyčlenil Bermúdez (1950). Jej mocnosť je cca 150 m; litologicky ide o vápence, slienité vápence, sliene a zlepence s vápnitým tmelom. V tejto formácii prevládajú dva typy vápencov: konglomerátové s foraminiferami *Orbitoidales* a kompaktné vápence s prevládajúcou faunou pelagických a bentonických foraminifer. Stratigraficky sa zaraďuje do spodného až stredného eocénu.

*Formácia San Luis* prináleží k vrchnému eocénu (Taber 1943). Leží konkordantne na formácii Charco Redondo a tvoria ju slienité vápence, šílovité bridlice, vápence a zlepence. Mocnosť tohto súvrstvia je okolo 700 m. V masívnych vápencoch je hojná fauna foraminifer *Orbitoidales* a zbytky vápnitých rias.

### Geologické postavenie Mn rúd

Mn rudy nevystupujú v študovanej oblasti len v jednej formácii. Na ložisku Balkánes sa zistili celkom 4 polohy Mn rúd, a to vo formácii El Cobre, Charco Redondo a na kontakte s formáciou San Luis. Po mineralogickej stránke ložisko študoval Mrňa (1964) a Bouška (1965). Prevládajúcim minerálom je psilomelan; z ďalších hlavných minerálov je tu zastúpený pirolusit, hausmanit, manganit a wad. Všetky rudné polohy sú doprevádzané silicitti, hlavne jaspismi, zloženými z kremeňa (prevláda), chalcedónu a opálu, ktorý väčšinou vyplňuje pukliny.

*Najspodnejšia známa rudná poloha* má v bezprostrednom podloží silicity, miestne nazývané bayaty. Vulkanogénne horniny formácie El Cobre sú vo vrchnej časti zastúpené rôznorodým materiálom, a to tufmi sfarebnými do zelena a šedozeleňa, blízko rudnej polohy do červena a hnedečervena; ďalej sú tu horniny s hrubozrnným pyroklastickým materiálom a vulkanické brekcie s netriedeným, rôzne opracovaným materiálom. Smerom k nadložiu nasledujú hrubo až drobnozrnné horniny s útržkami podložných už spevnených hornín, ktoré majú charakter póm, lapil a bombičiek.

*Druhá rudná poloha*, hospodársky najvýznamnejšia na ložisku má v podloží jemnozrnný tufogénny materiál; miestami vystupuje spolu so silicitti. V jej nadloží sú vápence organogenné s foraminiferami, priradované už do formácie Charco Redondo. Kontakt medzi Mn rудami a vápencami je prevažne ostrý. Miestami sa však polohy oxyd. Mn rúd nachádzajú i vo vápencoch, niekde i so silicitti brekciovitej štruktúry.

*Tretia rudná poloha* leží uprostred vápencov, avšak Mn rudy sú tmelené drobno až strednozrnným vulkanickým materiálom. Vápence sú masívne i hrubolaviecovité, prevažne biele, 110 m mocné; uprostred nich vystupujú 2–3 m hrubé polohy s pyroklastickým materiálom, striedajúcim sa s vápnitými pieskovcami. Niektoré polohy obsahujú oxydy Mn rúd, zriedkavejšie i silicity.

*Štvrtá rudná poloha* sa nachádza na kontakte formácie Charco Redondo a San Luis. Vystupuje spolu so silicitti, až niekoľko metrov mocnými. Nadložie tvoria slienité vápence a sliene, priradované už k formáciu San Luis.

Rudná výplň vo všetkých zrudnených polohách je tmelená vulkanogénnym materiálom a vystupuje spolu so silicitti. Čo do obsahu mangánovej zložky možno pozorovať určitú gradáciu: obsah mangánu vzrástá od podložia k nad-

ložiu. Kým rudná substancia v spodnej časti je jemne roztrúsená v pyroklastickom materiáli, smerom k nadložiu oxydy Mn rúd vytvárajú väčšie zrná a v blízkosti s vápencami, hlavne na kontakte, majú takmer kompaktnú štruktúru.

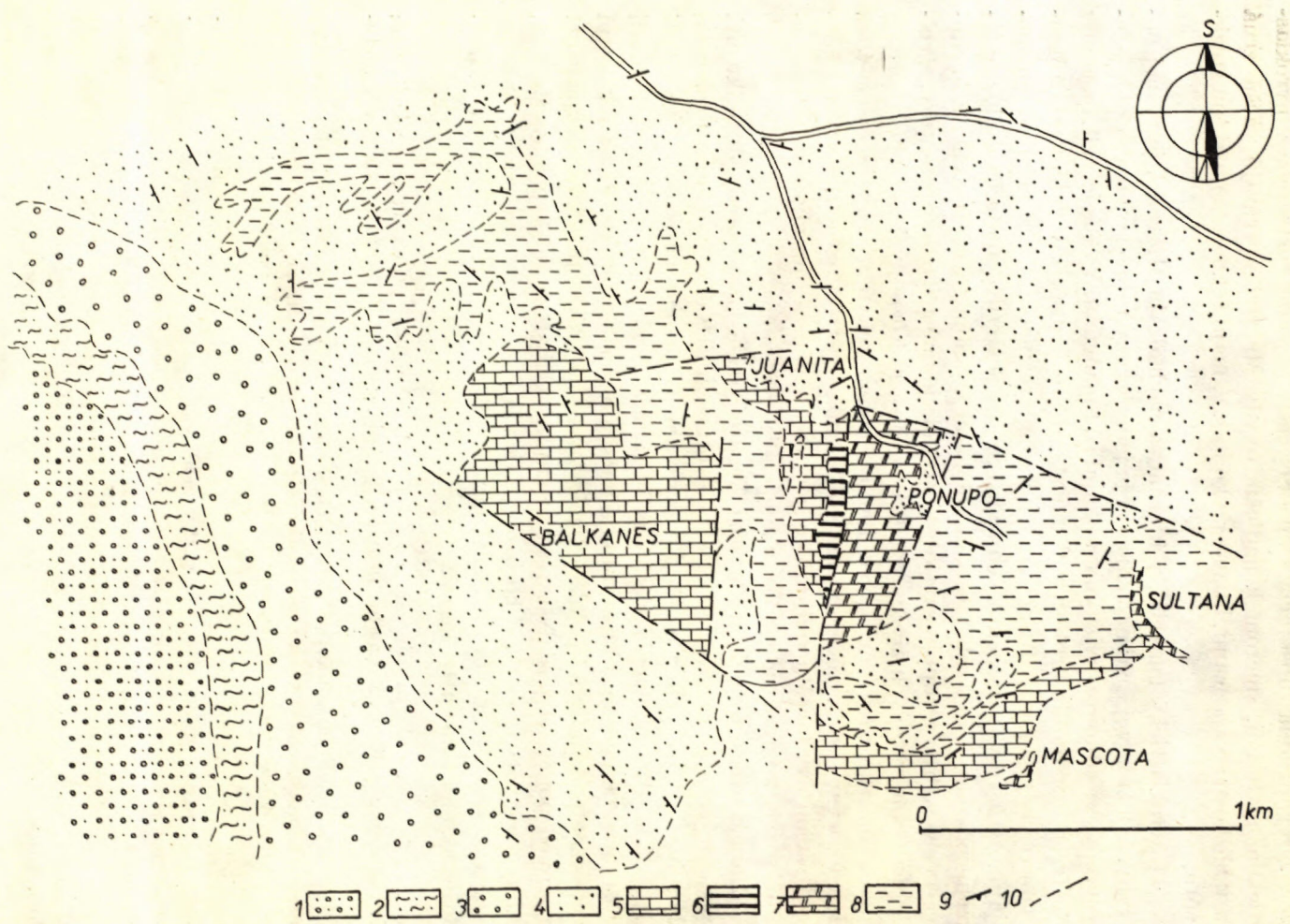
Aj pyroklastický materiál, v ktorom sa nachádzajú Mn rudy, je rôznej povahy. V ložiskovej časti nad silicitmi je jemnozrnný tufogénny materiál hnedočervený, s riedko rozptýlenými zrnkami rúd mangánu. Vyššie je vulkanogénny materiál stredno až hrubozrnný, miestami prechádza až v aglomeráty. Manganové rudy sa koncentrujú v zrnach väčších rozmerov, ktoré sa miestami spájajú. Ale i vo vnútri niektorých rudných zŕn je sterilný materiál vulkanogénneho pôvodu. Nad hrubozrnnými polohami a aglomerátkami červenej a hnedočervenej farby vystupujú svetlošedé až biele jemné a strednozrnné tufy, s veľkými okami ružových živcov. Rudná substancia (rôznej veľkosti) je v hornine nerovnomerne roztrúsená. Nad touto polohou znova vystupuje červený až hnedočervený vulkanogénny materiál, drobno i strednozrnný, s vyššou koncentráciou oxydov Mn rúd; blízko kontaktu s vápencami, ako som už spomenul, tvoria kompaktné polohy rôznej mocnosti.

Mangánové zrudnenie na ložisku *Los Chivos*, nedaleko osady Jutiniku má podobný charakter. Nachádza sa vo formácii El Cobre vo vulkanogénnych horninách. Formáciu Charco Redondo tvoria polohy vápencov o mocnosti 10—25 m. Mn zrudnenie vystupuje v doteraz známej časti len vo formácii El Cobre. Oxydy Mn rúd vystupujú väčšinou so silicitmi, ktoré sa nachádzajú prevažne pod rudnými polohami, miestami i nad nimi, prípadne aj uprostred rudných polôh. Dopolňa sa na ložisku *Los Chivos* zistili 3 polohy Mn rúd, ktoré však netvoria súvislé horizonty. Nie všade sú vyvinuté všetky tri polohy; koncentrácia Mn substancie nemá takú kvalitatívnu gradáciu smerom k nadložiu ako na ložisku Balkanes.

K hlavným rudným minerálom na tomto ložisku patrí psilomelan, pyrolusit, vad; k vedľajším: polianit, magnetit, hematit, limonit, goetit a hydrogetit. Zriedkavo vystupuje ilmenit a pyrit.

Z nerudných minerálov prevláda kalcit a plagioklasy; ďalej sa tu nachádza pyroxén, amfibol, zeolit, chlorid, natrolit, chalcedón kremeň a opál, zriedkavo montmorilonit a glaukodot (ložisko mineralogicky vyhodnotila M. M. Starova, 1964).

Vulkanogénne horniny s rudnými výskytmami majú rôzne zloženie. Rudné polohy bývajú uprostred tufov farby zelenkavej alebo šedozelenej. Tufogénny materiál v zrudnejenej polohe je červený až hnedočervený. Rudná substancia sa nachádza aj v podloží, príp. v nadloží vulkanických brekcií, pričom vulkanogénny materiál býva gradačne zvrstvený (cez hrubo a strednozrnný materiál do jemných tufov). V pyroklastickom materiáli sa nachádzajú aj intraformačné konglomeráty s pomerne dobre opracovanými valúnmi, čo nasvedčuje na prínos klastického materiálu a blízkosť pobrežia.



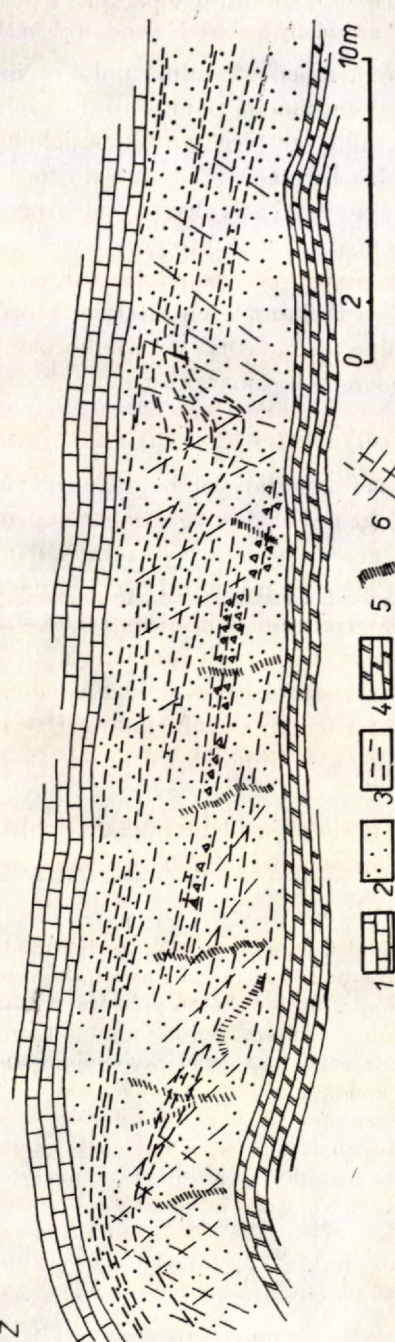
V mocnejších rudných polohách nachádza sa rôzny pyroklastický materiál rôznej zrnitosti aj v rozpätí jednej rudnej polohy.

V SZ časti ložiska odkrytej lomom sa v podloží nachádzajú vulkanické brekcie; nad nimi sa rytmicky strieda rôznozrnný pyroklastický materiál. Potom nasleduje niekoľko metrov mocná poloha silicitorov s dvoma rudnými pruhmi, reprezentovanými prevažne pyrolusitom. Ruda je od silicitorov ostro ohrazená. Nad silicitormi, v drobnozrnnom vulkanogénnom materiáli je kompaktná poloha Mn rudy niekoľko dm mocná, s prevahou pyrolusitu nad psilomelanom. Smerom hore klesá koncentrácia Mn rúd; mení sa i charakter vulkanogénneho materiálu. Vulkanický popol prechádza v hrubozrnejší materiál zložený z vulkanického piesku, z lapil a bombičiek (ktoré majú cibuľovitý rozpad). V takomto vulkanogénnom materiáli i ruda má brekciu štruktúru. V tejto polohе ložiska býva aj štruktúra hniezdová, hniezdovo-vrstvenatá, prípadne žilníková. Hlavným rudotvorným minerálom je tu pyrolusit. Podľa charakteru vulkanogénneho materiálu možno usudzovať na aktívnu vulkanickú činnosť, bez prerušenia prínosu rudotvornej substancie Mn i Fe. Vulkanogénny brekciovitý materiál smerom hore vystrieda vulkanický piesok a popol, pričom sa mení aj koncentrácia rudných zložiek. Niektoré rudné polohy majú kompaktný charakter a kolomorfínu, kolomorfno-masívnu, kolomorfno-zonálnu i ra-

△

Obr. 2. Geologická mapa okolia ložiska Balkanes (podľa archív. materiálov zostavili J. Mrňa a M. Ďuriš). 1 – tufy s intraformačnými zlepencami; 2 – tufity a ilovité bridlice; 3 – zlepence; 4 – strednozrnné tufity a piesčité bridlice (1–4 formácia San Luis, vrchný eocén); 5 – vápence, formácia Chareo Redondo, stredný eocén; 6 – oxydy Mn rúd; 7 – silicity (bayaty); 8 – stredno- a drobnozrnné tufy (6–8 formácia El Cobre, vrchná krieda – stredný eocén); 9 – smer a sklon vrstiev; 10 – dislokácie.

Z



Obr. 3. Profil stenou ložiska Los Chivos. 1 – vápence, slienité vápence; 2 – Mn rudy tmelene tufmi a tuf. brekciemi; 3 – tufy bez Mn rúd; 4 – silicity; 5 – silicitor; 6 – druhotná bridlnatosť.

diálno-lúčovitú štruktúru, v podstate s pyrolusitovými rudnými komponentmi. Podobne ako vulkanogénny materiál i koncentrácia Mn rúd má nepravidelný a rôznorodý charakter.

Celková mocnosť rudnej polohy činí 8 m, silicitov 13 m. Tesne v nadloží je niekoľko em mocná poloha tufitických hornín, kde prevládajú zeolity a chlorit vedľa vápnitého piesku a vulkanického materiálu. Bez prerušenia sedimentácie prechádza formácia El Cobre do formácie Charco Redondo, zastúpenej slienitými vápencami a lavicovitými vápencami bielej a ružovkastej farby, o celkovej mocnosti 12 m. Sú to prevažne organogenné vápence, so zbytkami foraminifer. Vo vápencoch sú polohy tufitov, vápnitých pieskovcov a čiastočne opracovaných vulkanických pieskov, ktoré majú charakter bielych plážových pieskov. Vápence netvoria súvisle horizonty, ale lateralne sa striedajú s horninami vulkanogénneho charakteru.

### Pôvod a zdroj rudných komponentov

Prínos mangánových oxydických rúd na ložiskách je v úzkej súvislosti so silicimi, ktoré sú časove i geneticky úzko späté s mangánovými rúdami. Ako som už spomenul, silicity sa nachádzajú buď v podloží alebo v nadloží mangánových ložísk a miestami tvoria i medzipolohy. Prevažne sú s rudnou polohou v bezprostrednom kontakte, alebo sú od nej oddelené len málo mocnou polohou hornín, v ktorých prevládajú zeolity nad plagioklasmi, pyroxénom a amfibolom. Miestami sa nachádzajú silicity i samostatne bez zrudnených polôh. Sú teda na študovaných i na ostatných mangánových ložiskách Kuby (Lewis—Straczek 1955; Simons—Straczek 1958) v úzkom spojení s mangánovým zrudnením.

Pre bližšie objasnenie pôvodu a zdroja rudotvorných zložiek nutnu sledovať tieto komponenty v ich litologicko-faciálnej súvislosti na širšom komplexe hornín.

Súvislosť zrudnenia s určitým horninovým komplexom bez ohľadu na jeho vekové postavenie možno sledovať i na iných svetových mangánových ložiskách.

Tak napr. Mn ložiská na poloostrove Olimpic, štát Washington (Park 1942 b, 1946) vystupujú spolu s vulkanogennými horninami jaspisy, ktoré doprevádzajú spilitové prúdy; Mn ložiská sa geneticky spájajú s lávami spilitového zloženia. Ložiská sa nachádzajú v spodnom a v strednom eocéne.

Mn ložiskám v oblasti Kalifornie sa prisudzuje vulkanogénno-chemogénny pôvod (Taliaferro 1943; Taliaferro—Hudson 1950). Silicity sú s vulkanitmi v tesnej spojitosti; za zdroj SiO<sub>2</sub> i Mn pokladajú sa horúce podmorské pramene, ktoré pôsobili počas výlevu lág. Komplex hornín s Mn ložiskami sa stratigraficky priraduje k vrchnej jure.

Podľa Reed (1960) Mn rudy na Novom Zeelande asociujú s komplexom red rocks (perm až jura), v ktorom spoločne vystupujú vulkanogénne a kremité horniny. Rudné polohy sú uložené konkordantne s okolitými horninami. Mn zrudnenie viaže Reed s podmorským vulkanizmom, a to so sulfatárovou a fumarolovou činnosťou a so spilitovými lávami.

Výskyty Mn ložísk v Tunise Bouladon—Jouravsky (1952, 1955) spájajú s vulka-

nizmom a ložisko v Tiuine priraďujú k vulkanicko-sedimentárnemu typu. Predpokladajú, že mangán bol prinášaný v priebehu sedimentácie z epitermálnych roztokov, kde s okolnými horninami tvorí interstratifačné vrstvy.

Mnohé z mangánových ložísk v SSSR (Betechtin 1946) sú viazané na vulkanogénne a vulkanogénno-sedimentárne súvrstvia. Mn ložiská v uralskej metalogenetickej provincii sú geneticky späté s vrstvami jaspisov (devón). Niektoré Mn ložiská v Japonsku sú v tesnej spojnosti s kremítymi horninami, ktoré prináležia vulkanogénnej sérii. Vulkanogénne (lávy a tufy) a kremité horniny a mangánové rudy tvoria jeden stratigrafický horizont (Takabatake 1956). Aj Katsu Kaneko (1956) spája spoločne vystupujúce Mn—Fe ložiská a červené kremence s efusívnu činnosťou, ktorá prebiehalo v morskom prostredí.

Mn ložiská v Novej Kaledónii podľa Arnould — Routhiera (1956) sú geneticky späté tiež s vulkanickou činnosťou. Mangánové rudy vystupujú s kremítymi bridlicami a pestrofarebnými tufmi. Pod rudnými polohami ležia jaspisy. Vulkanická činnosť sa diaľa v morskom prostredí a rudonosný komplex prináleží paleogénu (vrchný eocén — oligocén).

Názory na genézu zrudnenia a zdroj Mn rúd na Kube sa dosť rozchádzajú. Spencer (1901) za zdroj rudných komponentov pokladal termálne vody, ktoré počas cirkulácie prinášali so sebou mangán, ukladali ho v pieskovcoch alebo vo vápencoch, ktoré metasomaticky zatláčali. Podľa Spencera jaspisy majú spoločný zdroj s rudnou zložkou.

Burchard (1918) spája mangánové zrudnenie v provincii Orient s vulkanickou činnosťou. Predpokladá, že artézske vody pretransportovali Mn komponenty, ktoré sa vyzrážali spolu so silicitmi v puklinách, trhlinách, na poruchách a v dutinách vápencov alebo v antiklináloch iných hornín. Ich pôvodným nositeľom boli vrstvy vulkanických tufov. Mn rudy a silicity sa vyzrážali takmer súčasne.

Podľa Parka (1942) zdrojom rudotvorných látok Mn ložísk v Oriente sú teplé prameňe. Rudné roztoky vystupovali pozdĺž žriedlových kanálov a Mn komponenty sa vyzrážali v priaznivých miestach buď v prilahlých poróznych vrstvách, alebo zatlačovali tufy a vápence. Čiastočne sa vyzrážali i v kanáloch. Horúce roztoky mohli obohatiť morské sedimenty oxydmi Mn rúd i ako primárny sediment. Pozdejšie (Park & Cox 1944) pokladá zlomy a poruchy za najmenej priznivé pre vyzrážanie Mn rúd. Mangánonosné roztoky migrovali skôr cez prieplustné vulkanické vrstvy; preto najpriaznivejšie pre vyzrážanie Mn rúd podľa jeho názoru boli kontakty tufov a nadložných vápencov. Niektoré z Mn ložísk v Oriente sa vyzrážali z podmorských prameňov ešte v nespevnených tufoch a vápencoch. Časť rudných polôh bola však rozrušená morskými prúdmi a úlomky Mn rúd sa dostali do nadložných vápnitých kalov, kde spevneli a vytvorili intraformačné konglomeráty.

Novšie Lewis — Straczek (1955) a Simons — Straczek (1958) predpokladajú, že väčšina mangánových ložísk na Kube je syngenetickej. Vychádzajú pritom z morfológie ložiskovej oblasti Los Chivos, Ponupo (nedaleko Balkánesu) a ďalších, ktoré majú dómovú stavbu. Hoci táto spojitosť môže byť náhodná, jadro dómov tvoria aglomeráty a tufy; podľa toho mohli byť dômy centrami vulkanickej činnosti, prameňom horúcich roztokov, z ktorých sa vyzrážali Mn komponenty a vytvorili mangánové ložiská. Podľa týchto autorov nie všetky vrstevné Mn ložiská na Kube sú syngenetickejho pôvodu; mnohé vznikli krátko po usadení základnej hmoty. Silicity podľa nich majú podobný (ba ten istý) pôvod ako mangánové rudy; obyčajne sa však usadili pred minerálmi mangánu. Názory na genézu mangánového zrudnenia sú doposiaľ nejednotné, i pokial sa dotýkajú jedného a toho istého ložiska. Sú zjavy a úkazy, ktoré dávajú podklad pre teórie o endogénnom charaktere zrudnenia, na základe iných dát a výskumov sa zdôvodňuje ich exogénny pôvod. Vo všeobecnosti niektoré ložiská majú skôr exhalačnosedimentárny pôvod (Schneiderhöhn 1949), iné majú bližšie k vulkanicko-subakvatickej teórii P. Niggliho (1950), príp.

k teórii N. Šatského (1954) o vulkanogénno-kremitom pôvode. Všetky spomenuté mangánové ložiská, napriek odlišnému veku majú jeden spoločný znak: sú úzko spojené s vulkanogénno-detritickým súvrstvím; vystupujú spolu so silicitmi a vo vertikálnej stratigrafickej postupnosti parageneticky súvisia s horninovým komplexom toho istého typu. Mn zrudnenie je v asociácii s vulkanogénno-kremitými horninami, ktoré sa opakujú v rôznych geologických epochách na rôznych kontinentoch; nejde tu o náhodnosť, ale o určitú zákonitú súvislosť.

Mangánové ložiská Kuby, hlavne Balkánes a Los Chivos, ktoré sme detailnejšie študovali z hľadiska litologicko-faciálneho, patria tomu istému stratigrafickému horizontu formácie *El Cobre* i *Charco Redondo*. Vo vulkanogénno-detritickom súvrství *El Cobre* sú oxydy Mn rúd uložené v najvrchnejšom stratigrafickom horizonte (150 m), pričom celková mocnosť komplexu činí 4500—6000 m. Podľa ich vrstevného uloženia uprostred rôznorodého pyroklastického materiálu i vo vápencových horizontoch a podľa vzťahu rúd k základnej hmotte, považujeme ložiská za syngeneticke.

Pri štúdiu štruktúry a textúry Mn rúd v Oriente autori často nebrali do úvahy vplyvy tektonických procesov a povrchových vôd na rudy blízko povrchu. Tieto procesy ovplyvnili štruktúru i textúru rudných polôh i ich mineralogické zloženie. Po puklinách došlo k migrácií rudných komponentov, hlavne pyrolusitu a polianitu, ktoré ako sekundárne minerály presekávajú vrstevne uložené primárne rudné polohy. V dôsledku plošných pohybov, resp. pohybov po vrstevnatosti vytvorili sa druhotné štruktúry rudnej výplne. Výplne puklín sekundárnymi minerálmi i silicitmi možno sledovať na ložisku Balkánes. Na ložisku Los Chivos, hlavne u rudnej polohy niekoľko m pod povrhom možno na fažobnej stene pozorovať výplň puklín (i niekoľko cm) sekundárnymi minerálmi, ktoré sú oddelené od primárnych rudných polôh ešte jemnozrnným materiálom. K vyplneniu puklín došlo ešte pred deformáciou ložiska vrásnením. Sekundárne minerály vykryštalizovali v kolomorfálnych i radiálne lúčovitých štruktúrach.

Rudné polohy na ložiskách Balkánes a Los Chivos vystupujú vo vrchnej časti vulkanogénnych hornín; k mineralizačným prejavom vulkanickej činnosti došlo v závere. Za zdroj rudotvorných komponentov mangánových rúd považujeme preto termálne pramene, ktoré produkovali tieto komponenty pred doznievaním extruzívnej činnosti. Takéto ložiská považujeme za vulkanogénne. Vystupovanie rudných polôh vo vulkanogénnych horninách poukazuje na ich syngenetickej pôvod. Aj rudné polohy vo vápencoch na ložisku Balkánes sú najskôr vulkanogénneho pôvodu, lebo sú doprevádzané vulkanickým, a nie detritickým materiálom. Silicity na týchto ložiskách majú k rudným polohám veľmi úzky vzťah; vystupujú nielen v ich podloží, ale i v rudonosných horizontoch vulkanogénneho súvrstvia. Zdrojom  $\text{SiO}_2$  podľa toho boli tie isté roztoky, ktoré prinášali i rudné komponenty, ale v určitej časovej náväznosti. Prínos sa potom dial v morskom prostredí ešte za efuzívnej činnosti;

nasvedčuje tomu rôznorodosť vulkanogénneho materiálu, jeho gradačné uloženie (v cykloch), ako aj lapy, pumy a bombičky v tufogénnom materiáli, vo vápencoch a iných sedimentárnych horninách.

### Tektonické pomery ložísk

Tektonické pomery na mangánových ložiskách v Oriente neboli detailnejšie študované, hlavne vztah vrásnivých procesov k ložiskám mangánu a ich štruktúry i morfologický vplyv na rudné polohy.

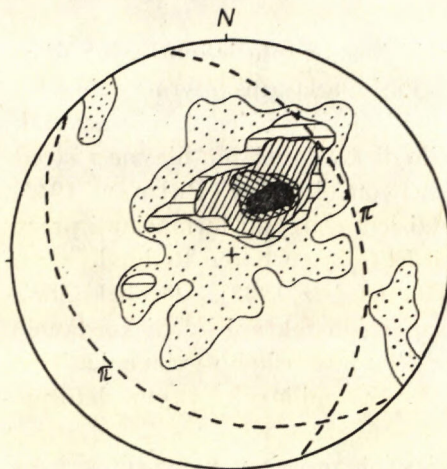
Z horotvorných pochodov, ktoré podmienili formovanie jednotlivých útvarov na Kube, sa uplatnilo nevadské, subhercynské a laramské vrásnenie (Taber, 1931; Brodermann, 1945). Mangánové ložiská v paleogéne boli postihnuté laramským vrásnením, ktoré sa prejavilo diskordanciami, hlavne v strednom eocéne. Na Kube však začalo už koncom kriedy (Palmer 1945). V priebehu vývoja paleogénu sa zistilo medzi jednotlivými formáciami prerušenie sedimentácie; v Oriente vývoj formácií El Cobre, Charco Redondo a San Luis sa dial bez prerušenia sedimentácie (Bermúdez 1963). Ale blízko ložiska Balkanes možno pozorovať v týchto formáciách tektonickú diskordanciu, ktorá je výsledkom mladšieho posedimentačného laramského vrásnenia. Tieto prejavy sa odrazili na študovaných ložiskách rôznymi štruktúrnymi deformáciami.

Na ložisku Balkanes sa vplyvom tektonických procesov vytvorili vrásové štruktúry, deformácie vrstevných plôch, nové plochy bridličnatosti s rôznymi systémami puklín. Na vrstevných plochách i na plochách bridličnatostí možno pozorovať aj lineárne prvky. Rozlišujeme dva systémy porúch: staršie, prešmykového charakteru a mladšie, poklesového charakteru.

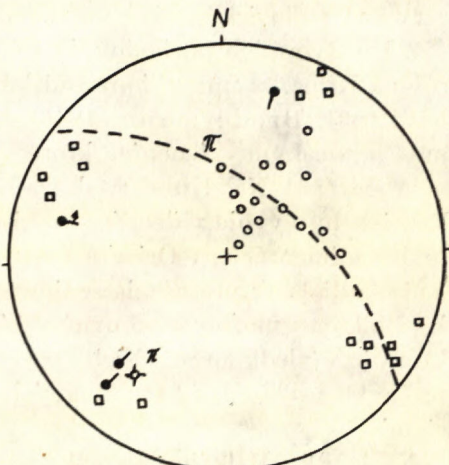
Ložisko predstavuje brachyvrásu, ktorej os prebieha v smere  $160^{\circ}$  s úkľonom  $15^{\circ}$  k JV. Plocha osí je strmo uklonená k JZ. Juhozápadné krídlo vrásy, budované lavicovitými vápencami, má strmší sklon vrstevnej bridličnatosti; v klenbovej časti sú vrásy takmer horizontálne uložené. Strmý úklon si tu uchovali plochy osovej kliváže; miestami ide o puklinovú kliváž (*bc* pukliny). Vrásy a vrásy menších rozmerov na JZ ramene majú vergenciu k severu, z čoho sa dá usúdiť zmysel pohybu. Na SV krídle vrásy sú plochy vrstevnej bridličnatosti miernejšie uklonené. Aj tu majú plochy druhotej bridličnatosti priebeh paralelný s vrstevnou bridličnosťou, avšak úklon plôch je k JZ a zodpovedá plochám osovej kliváže. Vývoj týchto plošných elementov poukazuje na skutočnosť, že v ďalších fázach tektonických pohybov po zvrásnení došlo k zvýrazneniu „*s*“ tektoniky.  $S_2$  bridličnosť (pozri obr. 6) je najvýraznejšia v blízkosti sigmoidálneho ohybu na južnom krídle vrásy. Plochy bridličnatosti v sigmoidálnom ohybe majú generálny priebeh  $30-210^{\circ}$  s úklonom  $28^{\circ}$  k JV. Mladšie pohyby, ktoré vytvorili tento ohyb a  $S_2$  bridličnosť sa prejavili až po „*s*“ tektonike, kedy vznikla puklinová kliváž (po *bc*

puklinách). Plochy  $S_2$  bridličnatosti majú diagonálny priebeh k vrstevnej bridličnatosti. Sigmoidálne ohýbanie je doprevádzné i zvlnením plôch vrstevnej bridličnatosti a vznikom drobných vrások, najmä u slienitých vápencov a strižných plôšok.

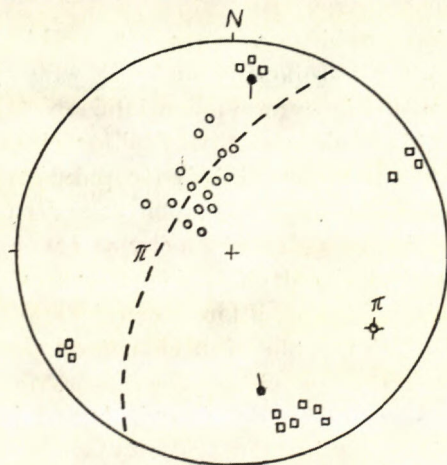
Okrem štruktúrnych prvkov nadložia ložiska sme študovali aj deformácie vlastného ložiska. Keďže ide najskôr o syngenetickej ložisku vo vulkanogén-



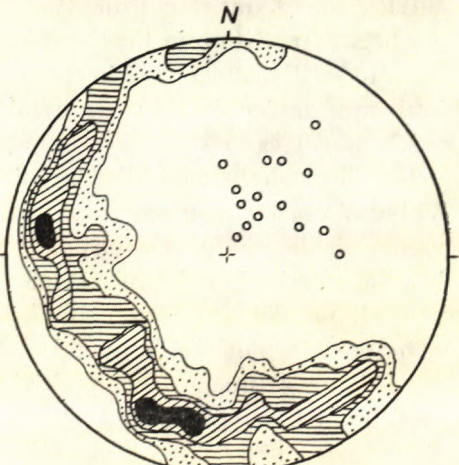
Obr. 4. Balkanes, súborný diagram 205 pôlov  $s_{1ss}$  plôch (0-2-4-6-8-10 %) s  $\pi$  oblúkmi maxim krídel vrás.



Obr. 5. Balkanes, úsekový diagram pôlov  $s_1$  plôch s  $\pi$  oblúkom,  $\rightarrow$  pukliny,  $\leftarrow$  B osi,  $\leftarrow$  B osi s vergenciou.



Obr. 6. Balkanes, úsekový diagram pôlov  $s_2$  plôch s  $\pi$  oblúkom,  $\rightarrow$  pukliny,  $\leftarrow$  B osi.



Obr. 7. Balkanes, úsekový diagram  $\beta$  osi  $s_1$  plôch (0-2-4-6-9 %) 72 osí  $\beta$ , o pôly  $s$ -plôch.

nych horninách, ktoré tmelia mangánové rudy, jednotlivé štruktúrne prvky sme merali osobitne v rudonosnom komplexe, na kontakte s vápencami a v bezrudných tufogénnych horninách.

Rudonosný komplex hornín sa choval vo vzťahu k nadložiu, tvorenému vápencami pri tektonických procesoch ako prvak nekompetentný. Prejavil sa odlišným tektonickým štýlom štruktúrnych prvkov. Plošné i lineárne prvky majú v detailoch odlišnejší priebeh (pozri obr. 9 — 10).

Mangánové ložisko má väčšiu mocnosť na južnom krídle brachyvrásy, vďaka tektonickým procesom. Kontakt ložiska s vápencami je na diagrame 9. Vápencový komplex, na južnom krídle vrásy nad ložiskovou časťou je zvlnený do menších vrás v dôsledku dynamických pohybov. Úklon osi týchto vrás je  $115^\circ/20^\circ$  k JV. V podstate ide o podobné hodnoty ako u osi brachyantiklinály.

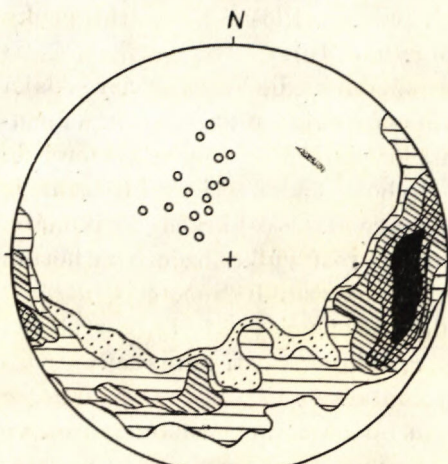
V rudonosnom komplexe je pôvodná vrstevnatosť vulkanogénnych hornín takmer zotretá a v priebehu laramského vrásnenia vznikli *druhotné štruktúrne prvky*. Rudonosný komplex je zvrásnený do väčszej vrásy, ktorej os prebieha v smere  $175^\circ$  s úklonom  $28^\circ$  k juhu. Plochy  $S_1$  bridličnatosti výraznejšie vyvinuté vo vrchnejšej časti ložiska, hlavne pri kontakte s vápencami, v podstate odpovedajú vrstevnej bridličnatosti a k juhu upadajúcim plochám vrások vo vápencoch. Plochy  $S_1$  bridličnatosti, odpovedajúce plochám vrások upadajúcich k severu, sú len zriedkavé. Majú mierny úklon ( $5-10^\circ$ ). Plochy  $S_2$  a  $S_3$  prebiehajú takmer kolmo na plochy  $S_1$ . Vznik plôch možno najskôr prisudzovať pohybom, ktoré vo vápencoch vytvorili sigmoidálny ohyb a plochy  $S_2$  bridličnatosti. Tieto plochy u oboch komplexov (vápenkový i vulkanogénny s rudnými komponentmi) majú priebeh takmer zhodný. Úklony sú u vápencov miernejšie (v závislosti od fyzikálno-mechanických vlastností hornín). U  $S_2$  plôch možno pozorovať aj jemné vrásy vyvinuté len u hornín plastickejších.

*Lineárne prvky* u vulkanogénnych hornín sa výraznejšie prejavujú na  $S$ -plochách presekávaním s plochami  $S_2$  a na  $S_2$  plochách jemnými vráskami.

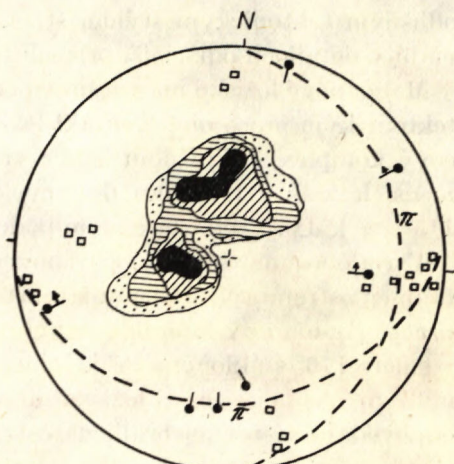
*Pukliny* vo vápencových horninách sú vyvinuté hlavne v systémoch *ac* a *bc*. *Ac* pukliny prebiehajú prevažne v  $S-J$  smere; pozdĺž nich sa vytvárajú trhliny, miestami široko roztvorené. Pozdĺž *bc* puklín v dôsledku mladších pohybov sa lokálne vytvorili plochy puklinovej kliváže. V zrudnejšej časti, kde je materiál stredno a hrubozrnný v dôsledku odlišných vlastností hornín a štruktúry, sú pukliny veľmi nevýrazné a nesúvislé. Diagonálne systémy puklín vystupujú v oboch komplexoch len zriedka.

Na ložisku sa prejavili i *prvky disjunktívnej tektoniky* ako tektoniky mladšej, charakterizované prešmykmi a hlavne poklesmi. *Prešmyky* menších rozmerov (niekoľko m) sú vyvinuté na severných krídlach vrás a vrások, vytiahnutých do flexí, hlavne na styku vápencových a vulkanogénnych hornín, ktoré tvoria vo vápencoch vložky i na kontakte s rudonosným komplexom. Tieto štruk-

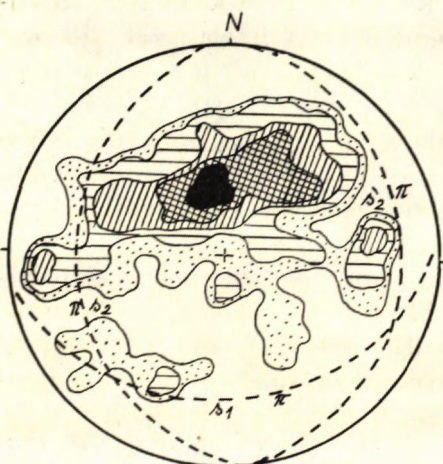
túry sú viazané na vrásnenie i na pozdejšie dynamické pohyby. Prešmykové plochy vyjadrujú zmysel pôsobenia síl, ktoré pri vzniku prvých stavebných prvkov vrásovej stavby pôsobili od JZ, neskôr hlavne pri tvorení  $S_2$  plôch od JV.



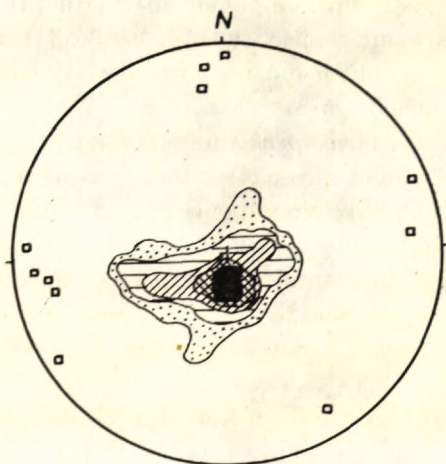
Obr. 8. Balkanes, úsekový diagram  $\beta$  osí  $s_2$  plôch (0–2–5–8–11 %) 82 osí  $\beta$ , o póly  $s_2$  plôch.



Obr. 9. Balkanes, úsekový diagram 56 pôlov  $s_1$  ss plôch (0–3–6–9–12 %) s  $\pi$  oblúkmi maxím krídel vrás,  $\rightarrow$  pukliny,  $\leftarrow$  B osi,  $\leftarrow$  B osi s vergenciou.



Obr. 10. Balkanes, súborný diagram 182 pôlov  $s_1$  a  $s_2$  ( $s_2$ ) plôch (0–1–3–6–8–10 %) a  $\pi$  oblúkmi. Rudonosný komplex.



Obr. 11. Los Chivos, úsekový diagram 71 pôlov  $s_1$  ss plôch (0–2–7–9–13 %),  $\rightarrow$  pukliny.

Poklesová tektonika je výraznejšia a mohutnejšia ako prešmyková. Poruchy poklesového charakteru vystupujú na ložisku v dvoch smeroch: V—Z a S—J. Prvé majú regionálnejší charakter. Južne od ložiska Balkanes prebieha významnejšia porucha Boniato (Lewis—Straczek 1955). Zástanci názoru o endogénnej mineralizácii pokladali túto poruchu za zónu, pozdĺž ktorej vystupovali hydrotermálne roztoky.

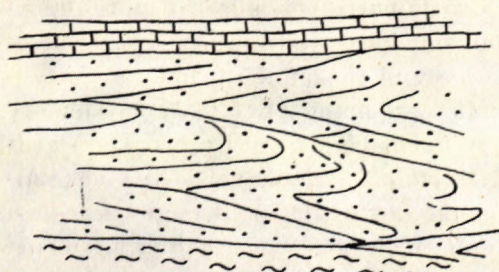
V S—J systéme je na ložisku niekoľko porúch, hlavne na krídlach vrásy rudonosného komplexu; možno ich sledovať aj na kontakte s vápencami. Sú to poruchy súklonné s krídlami vrás. Na západnom krídle vrásy má dislokačná plocha úklon  $75-80^\circ$  k západu a smer priebehu  $210^\circ$ . Na južnom krídle majú poruchy miernejší úklon ( $60-45^\circ$ ), ktorý sa zmierňuje smerom východným. Tieto poruchy sa vejárovite stáčajú od  $10^\circ$  po  $345^\circ$ .

Ojedinele pozorovať aj poruchy, ktoré prebiehajú diagonálne k hlavnému (V—Z) smeru, súklonne i protiklonne.

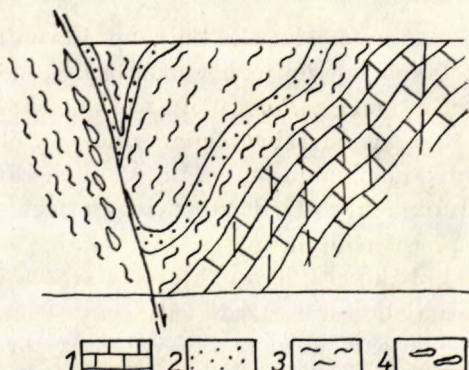
#### *Ložisko Los Chivos*

Širšie okolie ložiska bolo v priebehu orogénnych procesov zvrásnené do mierne zvlnených vrás. Vrásu ložiskovej časti charakterizujú Simons—Straczek (1958) ako dómovu stavbu; nepripisujú jej tektonický pôvod, ale považujú ju za jedno z centier vulkanizmu.

O tektonických procesoch v tejto časti svedčia štruktúry väčších rozmerov (vrásy a poruchy) i drobnotektonické elementy. Mierne zvlnené vrásy s kupo-lovitou stavbou majú V—Z priebeh. Depresie medzi vrásami sú zvýraznené poklesmi S—J smeru. Niektoré poklesy sú V—Z smeru. Vo vzťahu ku krídlam vrás sú to poruchy súklonné. V tesnej blízkosti ložiska a na ložisku je disjun-



Obr. 12. Prevrásnenie vrstiev s Mn ruda-mi, prekop č. 53.



Obr. 13. Pásмо tektonickej brekcie pozdĺž poruchy, úpadnica č. 1. 1 — vápence, 2 — minerál tmelený pyroklastickým materiálom; 3 — zbridličnaté tufogénne horniny, 4 — tektonické brekcie.

ktívna tektonika mohutnejšia ako na ložisku Balkanes. Hlavne poruchy S—J smeru majú väčšiu amplitúdu poklesu.

Z drobnotektonických prvkov možno na ložisku sledovať menšie vrásy „m“ poriadku, plochy vrstevnej a druhotnej bridličnatosti a lineárne prvky rôzneho pôvodu, ako aj rozličné systémy puklín a trhlín.

*Vrásy a vrásy* V—Z smeru sú staršie, S—J smeru mladšie. Táto skutočnosť poukazuje na viacaktový proces vrásnenia a na pôsobenie sôl v rôznych smeroch. Pri pôsobení týchto sôl vznikli málo výrazné druhotné plošné prvky: priečna bridličnosť, puklinová kliváž a kliváž zlomová, niektoré z nich len lokálne. Ani vrstevná bridličnosť nie je všade výrazne vyvinutá.

*Pukliny* S—J smeru sú na ložisku vyplnené sekundárnymi minerálmi oxydov mangánu; možno ich sledovať aj pozdĺž poruchových plôch poklesového charakteru.

Štúdiom vzťahov drobnoštruktúrnych elementov k megatektonickým stavebným prvkom sa došlo k záveru, že medzi nimi sú úzke vzájomné vzťahy. Vrstevnatosť je miestami bez výrazných odlučných plôch (hlavne kde sú vrstvy uložené takmer horizontálne); na krídlach vrás sa vytvára vrstevná bridličnosť, druhotná bridličnosť i kliváž osovej roviny, resp. prvky priečnej bridličnatosti a puklinovej kliváže. Pri vzniku vrás došlo k priečemu ohýbaniu vrstevných plôch a vzniku rôznych plôch bridličnatostí. Z toho usudzujeme na časovú i genetickú spojitosť plôch bridličnatostí s vrásnením a s iným sprievodnými tektonickými procesmi. S vrásnením je v študovanej oblasti úzko spojený aj vznik prešmykov.

## Záver

Mangánové ložiská Balkanes i Los Chivos vystupujú ako rudné polohy v niekoľkých horizontoch vulkanogénno-detritickej formácie, viazané na najvrchnejšie vrstvy. Polohy Mn rúd netvoria súvislé horizonty, ale v rozpätí 100 až 150 m sú od seba rôzne vzdialé. Rudné polohy vystupujú v rôznorodom vulkanogénnom materiáli, v aglomerátoch s vulkanogénnou prímesou. Ak vystupujú uprostred vápencov (ložisko Balkanes) mangánové rudy sú tmelené vulkanogénym materiálom. Rudné pohy nachádzajú sa vždy v bezprostrednej blízkosti silicítov, ktoré sú zväčša v ich podloží, zriedkavejšie aj v ich nadloží alebo i uprostred. Táto späťosť Mn minerálov s  $\text{SiO}_2$  poukazuje na časovú i genetickú súvislosť a na jednotný zdroj oboch zložiek — mangánu a kremeňa. Spoločné vystupovanie mangánových rúd s rôznorodým vulkanogénym materiálom v nesúvislých polohách poukazuje na ich syngenetickej charakter. Rudotvorné komponenty Mn rúd mohli byť tmelené pyroklastickým materiáлом v morskom prostredí.

Mangánové ložiská boli postihnuté procesmi vrásnenia, počas ktorých sa

vytvorili megaštruktúry i drobné štruktúrne prvky. Plošné a lineárne stavebné prvky v okolí ložísk objasňujú časovú postupnosť jednotlivých fáz tektonických procesov. Analýzou týchto drobnoštruktúrnych elementov bolo možné odvodiť i genetickú späťosť týchto prvkov s väčšími štruktúrami.

Rozlišujeme stavebné prvky a štruktúrne deformácie vyvolané:

[1] silami stesňovania (vrássová stavba, drobné vrásy na plochách vrstevnatosti a bridličnatosti, vrstevná a priečna bridličnatosť, lineárne prvky, rôzne systémy puklín a puklinových klyváží, prešmyky a posuny).

[2] silami uvoľňovania (fahové štruktúry), ako trhliny a poklesy dvoch systémov, V—Z a S—J smeru. Poruchy poklesového charakteru čiastočne pozmenili ráz vrásovej stavby, pretože pozdĺž nich sa vytvorili priekopové prepadliny, najmä v oblastiach, budovaných vápencami. Okrem toho sa na ložiskách zistili i poruchy, prebiehajúce diagonálne k vrásovej stavbe.

*Geologický ústav D. Štúra,  
Bratislava*

#### LITERATÚRA

- [1] Arnould A., 1954: Étude préliminaire sur les conditions de gisement du manganèse Nouvelle Calédonie. Rapportes Serv. Mines. géol., Nouvelle Calédonie, Paris. — [2] Arnould A., Routhier P., 1956: Les quites de manganèse „Volcano Sedimentaires“, de Nouvelle Calédonie-UN „type“ de gisement de manganèse meconnu: La type Volcano Sedimentaire. In: XX Sess. congr. geol. internat. Sympos. Sobre yacimientos de manganeso. T. 4. Asia y Oceania. Mexiko. — [3] Bermúdez P. J., 1950; Contribución al estudio del Cenozoico Cubano: Memorias de la Sociedad Cubana de Historia Natural, v 19, No. 3, p. 205—375. — [4] Bermúdez P. J., 1963: Las Formaciones geológicas de Cuba. ICRM, Havana. — [5] Brodermann J., 1945: Breve reseña geológica de la isla de Cuba. Rev. soc. Cubana Ing., vol. 42, No. 1. — [6] Butterlin J., 1956: La constitucion geologique et la structure des Antilles. Comm. Nac. Rech. Sci., Paris. — [7] Betechtin A. G., 1946: Promyšlennyyje margancevyje rudy SSSR. Izd-vo AN SSSR. — [8] Bouladon J., et Jouravsky G., 1952: Manganése, in „Geologie des qites miner. marocains“. Notes et M. Serv. geol. Maroc, No 87. — [9] Burchard E. F., 1920: Manganese ore deposits in Cuba: Am. Inst. Min. Met Engineers Trans, v 63, p 51—104. — [10] Callaghan E., et Thomas H. E., 1939: Manganese in a thermal spring in West — central Utah. Econ. geol., vol. 34, No 8 pp. 905—920. — [11] Dolenc M., 1955: Les gisements marocains de manganèse. Geol. Rozprave in poročila, Liubliana, 2 knjiga, pp. 273—294. — [12] Fleischer M., 1943: The manganese oxide minerals a preliminary report. Econ. geol., vol. 38, No 4, pp. 268—286. — [13] Hadley J. B., 1942: Manganese deposits in the Paymaster Mining District (Imperial County, California). U. S. Geol. Surv. B., Washington, 931 S. — [14] Hewett D. E. a oth., 1956: Manganese deposits in the United States. In: „XX Sess. Congr. geol. internat. Sympos. sobre yacimientos de manganeso, t. 3, America“. Mexico. — [15] Jouravsky G., 1953: Sur la composition mineralogique et chimique des minéraux de manganèse des gisements encaissés dans les formations volcaniques du Précambrien III (région d' Ouarzazate). Notes Serv. geol. Maroc, t. 7, pp. 289—308. — [16] Katsu Kaneko, 1956: Manganese deposits of Japan. In: XX Sess. Congr. geol. internat. Sympos. Sobre yacimientos de manganeso, t. 4, Mexiko. — [17] Kerr P. F., 1940: Tungsten bearing manganese deposits at Gol

conda (Nevada) B. Geol. Soc. Amer., New York, vol. 51, pp. 1359—1390. — [18] Krotov B. P., 1951a: Sur la genése des gisements de manganese d' origine marine. Ibid., t. 77, No 1, pp. 93—95. — [19] Lasky S. G., et Weber B. N., 1949: Manganese resources of the Artillery Mountains Region (Mohave County, Arizona) Ibid., 961. — [20] Lewis G. E., and Straczek J. A., 1955: Geology of southcentral Oriente, Cuba: U. S. Geol. Survey Bull. 975 — D, p. 171—336. — [21] Mac Kelvey V. E., Wiese J. H. et Johnson V. H., 1949: Preliminary report on the bedded manganese of the Lake Mead Region, Nevada and Arizona. U. S. Geol. Surv. B., Washington 948 D. — [22] Niggli P., 1950: Eisen—Manganerzlagerstätten der Schweizeralpen. Geol. in Mijnbouw, 12- année. — [23] Norcross F. G., 1940: Development of the low-grade manganese ores of Cuba: Am. Inst. Min. Engineers Tech. Paper 1188, 13 p. — [24] Ostrovumov Z. A., 1954: Le manganese dans les dépôts du fond de la mer d'Okhotsk. Dokl. Akad. Nauk URSS sér. geol., No 5, pp. 3—13. — [25] Palmer R. H., 1945: Outline of the Geology of Cuba. Jour. Geol. vol. 53. — [26] Park C. F., 1942: Manganese ressource of the Olympic Peninsula. Washington. — U. S. Geol. Surv. Bull., N 931 — R. — [27] Park C. F., 1942a: Manganese deposits of Cuba. U. S. Geolog. Survey Bull. 935-B, p. 75—97. — [28] Park C. F., 1946: The spilite and manganese of the Olympic Peninsula. — Amer. J. Sci. 244. — [29] Park C. F., and Cox M. W., 1944: Manganese deposits in part of the Sierra Maestra, Cuba. U. S. Geol. Survey Bull. 935-F, p. 307—355. — [30] Reed J. J., 1960: Manganese ore in New Zeland — N. Z. J. Geol. and Geophys., 3, N. 3. — [31] Routhier P., 1954: Etude géologique du versant occidental de la Nouvelle Calédonie. — Compt. rend. Soc. geol. France, N 9—10. — [32] Simons F. S., Straczek J. A., 1958: Geology of the manganese deposits of Cuba. Geolog. survey Bulletin 1057, Washington. — [33] Sokolova E. A., 1963: O margancenosnych vulkanogenno-osadočnyx formacijach kalifornijskogo tipa. AN, SSSR Trudy, Vypusk 81. — [34] Spencer A. C., 1903: Manganese deposits of Santiago, Cuba. U. S. Geol. Survey Bull. 213, p. 251—255, — [35] Chatskij N. S., 1954: Sur les formations manganésitères et la métallogénie du manganese. I — Les formations manganésifères volcanogénées — sedimentaires. Izv. Akad. Nauk URSS, Moscou, sér. geol., No 4, pp. 3—37. — [36] Taber S., 1931: The structure of the Sierra Maestra near Santiago de Cuba. Jour. Geology, v. 39. p. 532—563. — [37] Takabatake A., 1956: Genesis of manganiferous iron deposits in Japan. In: XX Sess. Congr. geol. internat. Sympos. sobre yacimientos de manganese. T. 4. Asia y Oceania, Mexiko. — [38] Taliaferro N. L. 2., 1943: Manganese deposits of the Sierra Nevada, their genesis and metamorphism. — Bull. California Div. Min., N 125. — [39] Taliaferro N. L., Hudson F. G., 1950: Genesis of the manganese deposits of California. — Bull. Div. Mines. Dept. Natur. resources Stale, Calif., N 152. — [40] Thayer T. P., Guild P. W., 1947: Thrust faults and related structures in Eastern Cuba. American. Geoph. Un. Trans., vol. 28, No 6. — [41] Westerveld J., 1951: Les gîtes de manganese du domaine atlasique au Maroc françois et leur classification géologique. Geol. in Mijnbouw, Leyde, No 2, pp. 25—52. — [42] Weyl R., 1942: Die geotektonische Stellung der Grossen Antillen. Forsch. Fortschr., vol. 18, nor. 3—4.

TOMÁŠ GREGOR

#### NOTES ON THE GENESIS AND TECTONIC POSITION OF SOME Mn-DEPOSITS IN CUBA

The study of the relations between the fine-structural elements and the megatectonic structural elements has shown the close relationship between them. In some places, stratification does not show any distinguished plains of disintegration (especially not in

the places where the beds are arranged almost horizontally). On the wings of folds there is bedding schistosity, secondary schistosity and cleavage of the axial plane, or the elements of the transverse schistosity and fissure cleavages. In the formation of folds the transverse bending of the bedding planes and the rise of various planes of schistosity took place. Thus the time and genetic connection between the schistosity planes with the folding and other accompanying tectonic processes may be supposed. The rise of overthrusts is closely connected with the folding in the study area.

The Mn deposits Balkanes and Los Chivos outcrop in the form of ore strata in several horizons of the volcanogene-detritic formation, restricted to the uppermost beds. The strata of the Mn ores do not form the continuous horizons, but within 100–150 m they are distributed in various distances. The ore strata occur in the heterogene volcanogene material, in agglomerates with the volcanogene admixture. If they occur among limestones (the deposit Balkanes), the Mn ores are cemented by the volcanogene material. The ore stratas are usually in the immediate nearness of silicites that are mainly in their underlier, less frequently in their overlier or in the middle. The connection of the Mn minerals with  $\text{SiO}_2$  points out the chronological and genetical closeness and the equal source of both the components — the Mn and the  $\text{SiO}_2$ . The common occurrence of the Mn ores with the heterogene volcanogene material in discontinuous strata points out to their syngenetic nature. The ore-forming components of the Mn ores might have been cemented by the pyroclastic material in marine environment.

The Mn deposits were affected with the folding processes, in the course of which mega-structures and minor structural elements were formed. The planar and linear structural elements near the deposits enlighten the chronological sequence of the separate phases of the tectonic processes. By means of the analysis of the micro-structural elements the genetic connection of these elements with larger structures might have been determined.

The author distinguishes the structural elements and structural deformations evoked

(1) by the tightening forces (the fold structure, micro-folds on the stratification planes and schistosity planes, the bedding and transverse schistosity, linear elements, various systems of fissures and fissure cleavages, overthrusts and shifts),

(2) by the loosening forces (tension structures), as the cracks and subsidence of two systems, i. e. E–W and N–S directions. Dislocations of the subsidence character caused the partial change in the nature of the fold structure, since along them there were formed fault gaps, especially in the areas build of limestones. In addition there were found faults running diagonally to the fold structure, on the deposits.

### Vysvetlivky k tab. XI–XII

#### Tab. XI

Obr. 1. Ložisko balkanes, znázornenie  $s^5//ss$  vrstevnej bridličnatosti; ac trhlina, bc trhliná. Obr. 2. Ložisko Los Chivos —  $ss$  vrstevnatost,  $s^5//ss$  vrstevná bridličnatost, pk — puklinová kliváž, kv — krídlo vrásy.

#### Tab. XII

Obr. 1. Vrtné jadro z ložiska Los Chivos; b — štruktúra hniezdovovrstevná, a — hniezdová, c — vrstevná, tm — tufogénny materiál, Mn — mangánová ruda. Obr. 2. Vrtné jadro z ložiska Los Chivos, znázornenie textúry: a — hniezdovitá, b — hniezdovo-žilkovitá, c — vrstevná; tm — tufogénny materiál, Mn — mangánová ruda.

## Nové poznatky o faciálnom vývoji permu čiernovázskej série Nízkych Tatier

Približne 500 m mocné súvrstvie prevažne červenohnedých, rytmicky sa striedajúcich psefiticko-psamitických sedimentov v nadloží palynologicky dokázaného karbónu (Ilavská 1963) a v hlbšom podloží paleontologickej dokázaného spodného triasu (Roth 1937), t. j. v podloží hlavnej masy výlevných melafýrov, zaraďuje Biely (1962 a 1965) do permu čiernovázskej série chočskej jednotky. Toto súvrstvie je monotónne, bez výrazných znakov, ktoré by dovoľovali určiť jeho litofaciálny vývoj; ani paleontologický materiál sa v ňom nenašiel.

Tým viac si zaslhuje pozornosť novo zistený výrazný stratigrafický horizont (súvrstvie) šedých jemno až strednozrnných pieskovcov (20—80 m), v ktorom sa nachádzajú polohy so zreteľnými zuhoľnatenými rastlinnými zbytkami v priestore Vikartovského chrbta. Tento horizont leží uprostred perm-ského červenohnedého súvrstvia pod hlavnou masou bázického vulkanizmu, označovanou všeobecne ako melafýry.

V Západných Karpatoch sa vulkanizmus tohto typu považuje za spodný trias (Kettner 1938; Andrusov 1936, 1958 a 1959); Biely (1962) ho považuje za permský. Aj v Rumunsku v horách Metaliči (Sedmohradsko) M. Sokolescu považuje melafýry podobného typu za spodnotriásové.

Horizont, o ktorom je reč, obsahuje množstvo jemného organického materiálu humusového typu; miestami sú v ňom nahromadené viac-menej dobre zachované zuhoľnatené zbytky rastlín v polohách, resp. šošovkách (do 0,6 m). V tých miestach obsah organického uhlíka v pieskovcoch činí aj cez 1 %. Okrem toho pozoruje sa zvýšený obsah Pb (0,03—0,06 %; v separovanej organickej mase do 2 %), vanádu (0,1 do 0,3 %), striebra (0,1 do 0,3 %), molybdénu (až 0,02 %), medi (0,06 %) a iných prvkov.

Polohy pieskovcov majú výraznú tenkolavičkovitú textúru s hrúbkou lavičiek od 2 do 5 mm, niekedy až 10 mm. Na plochách vrstevnatosti sú zretele zbytky stiebel (do 10 cm), listov i vetvičiek (tab. X/1, 2). Zachovanosť organických zbytkov je miestami dosť dobrá, hoci zatiaľ ich identifikácia nie je možná. Zuhoľnatené zbytky rastlín tvarom pripomínajú niektoré vrchnopaleozoické druhy ako napr.: *Walchia*, *Calamites* a *Calamophyton*.

Okrem organických zbytkov v polohách pozoruje sa z rudných minerálov pyrit, v tenkých karbonátových žilkách chalkopyrit a galenit. Z uvedeného je zrejmé, že toto súvrstvie možno považovať za samostatný stratigrafický horizont.

Pozoruhodný je aj jeho významný vedúci odlišný faciálny vývoj v tomto priestore v porovnaní s inými oblastami výskytu tzv. melafýrovej súrstej, s vý-

nimkou azda Malých Karpát. Faciálny vývoj melafýrových sérií považuje Andrusov (1959) za morský, Biely (1962) za molasový. V tejto sérii prevládajú kontinentálne sedimenty s prevažne červenohnedým primárnym sfarbením, svedčiacim o sedimentácii v oxydačnom prostredí. Nami opisovaný vývoj možno zaradiť ku kontinentálno lagunárному typu, s prevládajúcim redukčným prostredím. Dominujú v ňom šedo až šedozelené odtiene; okrem jemne vrstevnatých textúr s organickými zbytkami na plochách vrstevnatosti je v pieskovcoch badateľná aj kosá vrstevnosť. Textúrne zvláštnosti i tvar nazhromaždenej organiky v pieskovcoch svedčia o rovnomenom (v čase), v priestore nepravidelnom príname organických zbytkov do sedimentačného priestoru úzkej plytkovodnej lagúny, zrejme v priebehu ročných klimatických cyklov riečnymi tokmi.

Podrobnejšie výskumy prinesú iste nové poznatky o litofaciálnom vývoji čiernovázskej série, jej stratigrafii a veku.

### Literatúra

- [1] Andrusov D., 1936: Subtatranské príkrovov Západných Karpát. Carpatica, Praha. — [2] Andrusov D., 1958, 1959: Geológia československých Karpát, I—II., Vydavateľstvo SAV, Bratislava. — [3] Biely A., 1962: Niekoľko stratigrafických a tektonických poznatkov z východnej časti N. Tatier a Tribča. GP, zošit 62, Bratislava. — [4] Biely A., 1965: K paleogeografií spodného triasu chočského príkrovu. GP, Zprávy 34, Bratislava. — [5] Ilavská Ž., 1963: Predbežná zpráva o palynologických štúdiach v melafýrovej sérii severného svahu Nízkych Tatier. Zprávy o geologických výskumoch v roku 1963. ÚÚG Bratislava. — [6] Kettner R., 1938: Geologická stavba severného svahu Kráľové hory v okolí Liptovské Tepličky (Nízke Tatry). Rozpravy České akademie II. tr. Praha. — [7] Roth Z., 1937: Zpráva o mapování na území j. v. sekcii speciální mapy Vysokých Tater. Zprávy Slov. ústavu za rok 1937, Praha.

Rudolf Kúšik

### Karbonátový vývoj keupra vo vysokotatranskej (obalovej) sérii pod Zámkkami, v masíve Javorinskej Širokej

Pod Zámkkami, v masíve Javorinskej Širokej je mohutný odkryv stredného triasu a keupra, zaujímavý najmä tým, že je vyvinutý obyčajne v karbonátovom vývoji. Možno ho rozdeliť na päť odlišných komplexov, a to nielen podľa odlišného sfarbenia, ale i podľa zastúpenia jednotlivých členov, resp. rytmu sedimentácie a kolísania dna sedimentačného prostredia, čo malo za následok, že sa tu striedajú kompaktné lavice dolomitov a dolomitických bridíc. Ako ďalšie odlišovacie kritérium je spôsob zvetrávania, a tým aj rôzna povrchová konfigurácia. V spodnej časti profilu je zastúpený stredný trias,

prevažne šedozielén dolomit so svetlým odtieňom, svetlosivo zvetrávajúci, s nádyhom do žltia; vzhľadom značne pripomína jaspis, kym šedočervené vložky zas malm križňanskej série. Dolomit je pomerne odolný voči zvetrávaniu; vytvára výrazne vyčnievajúce bralá, kym pestré vložky zvetrávajú rýchlejšie.

Laterálne nasledujú endostratické brekcie červeno sfarbeného dolomitu, veľkosti 2—10 cm, tmelené šedým dolomitickým tmelom. Tmel prevláda nad brekciami, takže sa hornina pri zvetrávaní chová ako normálny podložný i nadložný dolomit. Potom opäť nasledujú šedočervené, jaspisu podobné horniny, ktoré na miestach viac zbridličnatenej silnejšie zvetrávajú, takže v stene predstavujú prieħlbiny (obr. 1).

V ďalšej časti profilu sú červené brekcie bohatšie zastúpené, čo sa prejavuje pri zvetrávaní tým, že na ich miestach vznikajú lokálne depresie. Kym podložné brekcie sú ekvivalentom červených bridlíc, tieto šedočervené brekcie sú ekvivalentom tmavošedých dolomitov a bridlíc. Vyplýva to z ich postavenia; v podloží totiž majú dolomit, ktorý prechádza do spodnej polohy brekcií a v nadloží v zelenkavé bridlice a dolomity so žltošedým zvetrávaním.

Na báze brekcie zvetrávajú do šeda, sú kompaktné; ich materiál i tmel tvorí zelenkavošedý dolomit. Sú 2—7 cm veľké a prevládajú nad tmelom. Smerom hore tmel sa stáva postupne červenším, až brekcie nadobúdajú šedočervené sfarbenie; ich materiál tvoria úlomky, zväčša ostrohranné, až 20 cm veľké (prevažne do 5 cm); tmel tvorí bridličnatý dolomit, šedočervene sfarbený. Tu tiež prevládajú úlomky nad tmelom. Vo vrchnej brekciej polohe úlomky sú teda tvorené zelenkavošedým dolomitom, kym tmel je šedočervený a menej zastúpený; v spodnej sú pomery opačné. Miestami sú úlomky (pri priemernej veľkosti 2—3 cm) mierne zagulatené. Lokálne sa úlomky dolomitu strácajú, resp. prechádzajú do šedočervenej dolomiticej bridlice, a táto zas pozvoľne do nadložných šedozielén dolomitických bridlíc.

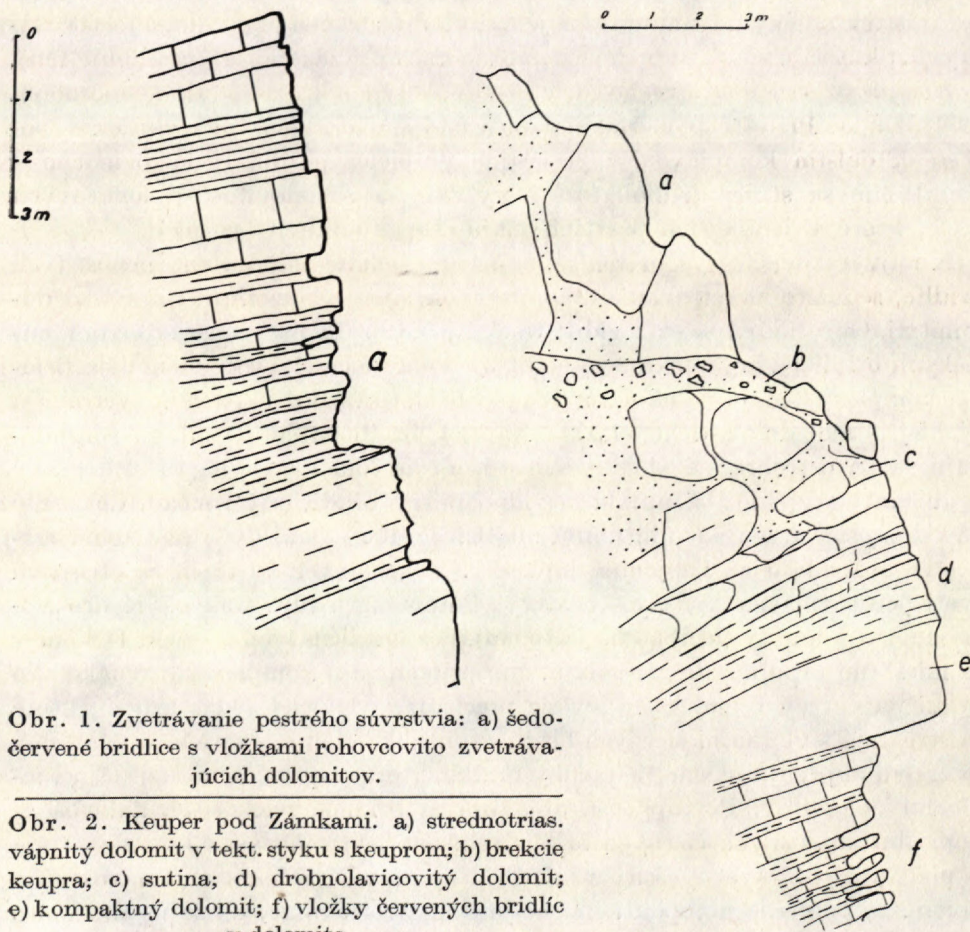
Brekcie sú zväčša v dôsledku tektonických procesov a zvetrávania značne drobivé. Dolomitové úlomky zelenkavošedé na čerstvom lome majú svetlosivé až žltkavé zvetrávanie. V najvyššej časti brekcií niekedy sa nevýrazne striedajú šedočervené a šedozielé dolomitické bridlice, ktoré sa nerozpadajú na jemné bridličky, ale na asi pol cm lavičky. Podložie brekcií tvorí zelenkavosivý dolomit, v ktorom sa už objavuje ružovkasté sfarbenie a ktorý má svetlosivé až žltkasté zvetrávanie.

Peknú vzorku brekcie keupra som našiel nad žľabom Spišská Michalová (v nadmorskej výške 1406 m) na loveckom chodníčku. Tmel je tu zväčša šedočervený, ale aj zelenkavošedý. Samotné úlomky tvorí zelenkavošedý dolomit. Úlomky sú malé, dosahujú priemerne 1—1,5 cm.

U strednotriasových dolomitov v podloží červených bridlíc pozorovať dvojaké zvetrávanie: rozpad na ostrohranné úlomky kolmo na vrstevnatosť, resp. zvetrávaním vznikajú na povrchu dolomitu nepravidelné ryhy.

Dolomity sú šedé (tmavšie šedé) a niekedy akoby piesčité, hrubozrnnnejšie ako červená poloha. Jaspisu podobné dolomitové polohy svetlošedých zelen-kavých farieb slabo šumia s 3 % HCl.

Prechod z prvého do druhého komplexu je normálny; na ich styku je svetlošedý rozpadavý dolomit, miestami mierne zbridličnatý, ktorý podľa rozpadu, farby a celkového vzhľadu možno priradiť ešte ku komplexu 1. V nadloží sa nachodí tmavošedý dolomit drobnolavicovitý, bez bridličnatých vložiek; na plochách odlučnosti pozorovať čierne vylúčeniny, pravdepodobne Mn-oxydu. V ňom sa nachodí aj šedá dolomitická brekcia s úlomkami 1—3 cm (približne rovnaké zastúpenie tmelu a úlomkov); na čerstvej ploche skoro vôbec nerozoznať, že ide o brekciu, iba na navetranej ploche (tmel zvetráva rýchlejšie ako úlomky). Ináč je tento komplex tmavošedý (dolomitické lavice i bridličnatejšie polohy). Bridličnosť tu ešte nie je výrazná, vyskytuje sa až v komplexe 3.



Obr. 1. Zvetrávanie pestrého súvrstvia: a) šedo-červené bridlice s vložkami rohovecovito zvetrávajúcich dolomitov.

Obr. 2. Keuper pod Zámkami. a) strednotriás. vápnitý dolomit v tekt. styku s keuprom; b) brekcie keupra; c) sutina; d) drobnolavicovitý dolomit; e) kompaktný dolomit; f) vložky červených bridlíc v dolomite.

Komplex má pravidelný tabuľkovitý rozpad, najmä bridličnatejšie vložky. Ako som už spomenul, ide o ekvivalent šedočervenej brekcie (aj v ňom sa vyskytujú dolomitické brekcie).

Najrozmanitejšie dolomitické brekcie ležia v odkryve na loveckom chodníčku pod strednotriásovými vápnitými dolomitmi (obr. 2). Brekcie sú pestro sfarbené (rôzne odtiene šedej farby, šedočervené, šedozelené až čierne).

Zvláštny typ predstavuje pestro sfarbený dolomit, v ktorom sa striedajú vrstvičky šedočervené, šedozelené a svetlosivé, pričom hornina je preplnená lesklými prierezmi, pripomínajúcimi prierezy krinoidov. Ide pravdepodobne o drobné kryštalčeky dolomitu (hornina nešumí s HCl). Výrazná vrstvička sivobieleho dolomitu je u tejto vzorky zborgená, čo je spôsobené pravdepodobne tektonicky. Prierezy možno pozorovať aj u dolomitických brekcií s čiernym, organickým pigmentom sfarbeným tmelom.

Strednotriásový vápnitý dolomit je presunutý cez brekcie. Hoci aj tu bola brekcia tektonicky postihnutá, nie je natoľko rozdrvená ako v dolnej časti odkryvu. Skutočnú mocnosť brekcie nemožno zistiť pre zasutenosť (presahuje 4 m).

*Komplex 2* sa líši od prvého nielen tmavošedým sfarbením, ale aj spôsobom zvetrávania. Pri ešte pomerne slabom zastúpení bridličnatých vložiek v poracom k ďalším komplexom zvetrávanie prebieha pozdĺž lavíc (o mocnosti 6 cm), čím sa stráca jednoliatosť a vytvára sa schodovitosť dolomitových lavíc, ktoré v jemnejších partiách majú ešte tabuľkovitý rozpad.

K najvýraznejším rysom *komplexu 3* patrí bohaté zastúpenie zelenošedých bridlíc, šedožlté navetrávanie dolomitových lavíc a prevaha bridlíc nad dolomitmi. Oproti komplexu 2 vidno tu skutočne bridličnatý charakter dolomitických bridlíc; u komplexu 2 to boli 0,5—1 cm mocné lavičky dolomitu. Bridlice komplexu 2 majú na navetraných plochách tiež šedožltú patinu. Zvetrávajú rýchlejšie ako dolomitické vložky. Napriek bridličnatému vzhľadu rozpadávajú sa na ostrohranné úlomky s lastúrnatým lomom; chýba tu ešte pravý bridličnatý rozpad. Iba miestami vidno pravý bridličnatý rozpad, dokonalý až v *komplexe 4*, hlavne u bituminóznejších bridlíc v bazálnych častiach. Bridlice sa rozpadajú až na jemné lupienky. V bazálnych častiach sa striedajú svetlejšie a tmavšie prúžky — varvy. Potom nasledujú tmavošedé drobno-lavicovité dolomity (hrúbka lavíc 10 cm), bez bridličnatých vložiek. Dolomity sa miestami tabuľkovite rozpadajú, čím pripomínajú komplex 2, rovnako ako bridličnatým vývojom, ktorý vyššie prechádza v lavičky (6 cm hrubé), ktoré sa striedajú s vložkami čiernych bridlíc (o hrúbke 1 cm). V stredných častiach sa znova objavujú mocnejšie polohy bridlíc, ktoré sa pravidelne striedajú s lavicami dolomitov. Postupne sa objavujú aj bridlice zelenošedé, fialovošedé popri bituminóznych čiernych bridliciach; napriek tomu však komplex 4 má v podstate jednotvárny šedý vzhľad. Mocné lavice šedého, až tmavošedého dolomitu, pomerne kompaktného majú šedé zvetrávanie, takže možno tento

komplex nazvaný aj šedý dolomitický hrubšie lavicovitý komplex (s relatívne chudobnejším zastúpením bridlíc).

*Komplex 5* je celkom odlišný; azda najbližšie mu stojí komplex 3, a to svojím bridličnatým vývojom. Má veľmi pestrofarebný vývoj bridlíc, ktorým sa najviac podobá bežnému vývoju keupra križňanskej série. Podobne ako v križňanskej sérii, nachodíme aj tu vložky dolomitov so šedožltou patinou, avšak s obráteným pomerom.

Kým v križňanskom príkrove dolomity prevládajú v najvyššej časti horizontu (Kúšik 1959), tu je na dolomity najbohatšia stredná časť (t. j. komplex 4). Hoci prechod medzi 4. a 5. komplexom je pomerne ostrý, pozorovať tu aj určité prechody. Čoraz viac sa objavujú medzi lavicami šedého dolomitu pestré bridlice (zelenošedé, fialovošedé); i samotné lavice dolomitov na styku nadobúdajú zvetrávaním šedožltú patinu. Taká je aj posledná lavica komplexu 4, ktorá už nie je súvislá, ale šošovkovitá. Bridlice komplexu 5 sa však líšia od bridlíc ostatných komplexov, kde majú rozpad lastúrnatý, ostrohranný až jemne lupienkovitý; u komplexu 5 majú bridlice (okrem pestreho sfarbenia) aj tyčinkovitý rozpad. Vložky dolomitov uprostred pestrých bridlíc sú jednotvárne zelenkavošedé, celistvé (pelitomorfné); iba zriedkavo v nich nájsť čierne jemné úlomky, usporiadane vrstevnaté. Môže ísť o úlomky rastlinných zvyškov.

V ďalšom uvádzam chemické zloženie karbonátovo-pelitického komplexu:

| Vzorka | SiO <sub>2</sub> | TiO <sub>2</sub> | Al <sub>2</sub> O <sub>3</sub> | Fe <sub>2</sub> O <sub>3</sub> | MnO  | MgO   | CaO   | Na <sub>2</sub> O | K <sub>2</sub> O | S    | str. žih. | H <sub>2</sub> O- |
|--------|------------------|------------------|--------------------------------|--------------------------------|------|-------|-------|-------------------|------------------|------|-----------|-------------------|
| 1      | 2,96             | 0,03             | 3,05                           | 0,45                           | 0,03 | 20,57 | 28,31 | 0,04              | 0,28             | 0,06 | 45,51     | 0,20              |
| 2      | 1,60             | 0,02             | 2,56                           | 0,73                           | 0,01 | 21,00 | 29,13 | 0,03              | 0,18             | 0,06 | 46,62     | 0,05              |
| 3      | 12,82            | 0,20             | 7,10                           | 1,51                           | 0,03 | 17,36 | 22,74 | 0,02              | 1,46             | 0,09 | 37,85     | 0,09              |
| 4      | 2,72             | 0,03             | 2,50                           | 1,36                           | 0,03 | 20,13 | 28,66 | 0,03              | 0,28             | 0,08 | 45,70     | 0,08              |
| 5      | 21,60            | 0,28             | 7,85                           | 2,30                           | 0,05 | 14,80 | 19,03 | 0,02              | 1,88             | 0,06 | 32,14     | 0,33              |
| 6      | 3,95             | 0,04             | 3,27                           | 0,88                           | 0,05 | 19,91 | 28,31 | 0,03              | 0,37             | 0,08 | 44,98     | 0,04              |
| 7      | 15,84            | 0,23             | 8,00                           | 1,47                           | 0,02 | 16,66 | 21,00 | 0,05              | 1,85             | 0,12 | 35,07     | 0,01              |
| 8      | 6,61             | 0,09             | 3,44                           | 1,15                           | 0,12 | 19,23 | 26,46 | 0,03              | 0,55             | 0,08 | 42,52     | 0,02              |
| 9      | 39,10            | 0,47             | 14,01                          | 3,61                           | 0,07 | 10,25 | 9,98  | 0,03              | 3,02             | 0,03 | 19,06     | 0,39              |

1 — svetlošedý nazelenalý dolomit komplexu jedna; 2 — tmavošedý dolomit komplexu dva; 3 — šedá bridlica komplexu dva; 4 — zelenkavošedý dolomit komplexu tri; 5 — šedožltá dolomitická bridlica komplexu tri; 6 — sivý dolomit komplexu štyri; 7 — šeofialová bridlica komplexu štyri; 8 — dolomit so žltou patinou, komplexu päť; 9 — šeofialová bridlica komplexu päť.

Z tabuľky chemických analýz vidno, že bazálnu časť tvorí pomerne čistý dolomit. Za zmienku stojí obsah SiO<sub>2</sub>, Al<sub>2</sub>O<sub>3</sub> a K<sub>2</sub>O, ktoré predstavujú pelitickú zložku, ktorá od komplexu 1 ku komplexu 5 postupne pribúda, a to na úkor karbonátovej. Nepatrú prevahu Al<sub>2</sub>O<sub>3</sub> nad SiO<sub>2</sub> u prvých dvoch vzoriek možno pripisať voľným oxydom Al. S pribúdaním pelitickej zložky sa zvyšuje aj obsah K<sub>2</sub>O. Na základe toho možno usudzovať, že pelitickú zložku tvorí ilit, u ktorého je voda v medzivrstevných priestoroch na-

hrádzaná kálom. Potvrdzuje to aj údaj J. Kontu (in Andrusov, 1959), podľa ktorého silovitú zložku karpatského keupra tvorí hlavne ilit.

Z geologického hľadiska sú skúmané dolomity zaujímavé ako primárne vyzrážané produkty. Poukazuje na to chýbanie fauny, ako aj výrazná vrstevnatosť, ktorá obyčajne chýba u strednotriásových diagenetických dolomitov.

V ďalšom pripájam spektrálne analýzy opisovaných dolomitov a dolomitických bridlíc:

| Vzorka | 100 – 1 %          | 1 – 0,1 % | 0,1 – 0,001 %  | stopy                 |
|--------|--------------------|-----------|----------------|-----------------------|
| 1      | Ca, Mg             | Al, Si    | Sr, Mn, Ti, Fe | Cr, Cu, Pb            |
| 2      | Ca, Mg             | Al, Si    | Sr, Mn, Fe     | Cr, Ti, Cu, Pb        |
| 3      | Ca, Mg, Al, Si     | Ti, Fe    | Cr, Sr, Mn     | Co, Cu, Zn, V, Pb, Be |
| 4      | Ca, Mg             | Al, Si    | Sr, Mn, Ti, Fe | Cr, Cu, Ba            |
| 5      | Ca, Mg, Si, Al     | Ti, Fe    | Cr, Sr, Mn     | Co, Cu, Zn, V, Pb     |
| 6      | Ca, Mg, Al         | Si, Fe    | Sr, Mn, Ti     | Cr, Cu, Pb, Ba        |
| 7      | Ca, Mg, Si, Al, Fe | Ti        | Cr, Sr, Mn, Pb | Co, Cu, Zn, V, Ba     |
| 8      | Ca, Mg, Al         | Fe, Si    | Sr, Mn (?), Ti | Cr, Cu, Pb            |
| 9      | Ca, Mg, Si, Al, Fe | Mn, Ti    | Cr, Sr, Co, V  | Zn, Cu, Pb, Sn        |

Treba ešte dodať, že u vzorky 3, 5, 7, 9 sa vyskytuje kálium. Označenie vzoriek ako pri chemických analýzach.

Zo spektrálnych analýz vidno, že v dolomitických bridliciach je bohatšie zastúpenie prvkov, ako v doprevádzajúcich dolomitoch. Zaujímavé je, že zinok sa objavuje len u bridlíc, podobne ako vanád. U primárnych dolomitov a dolomitických bridlíc sa vyskytuje Cu a Pb obyčajne v stopových množstvách.

Záverom možno zhrnúť, že v masíve Javorinskej Širokej, pod Zámkkami (žlab Spišská Michalová) v mohutnom odkryve, ktorý rozdeľujem na päť komplexov, dolomity stredného triasu prechádzajú pozvoľne do dolomitov a dolomitických bridlíc vrchného triasu, zastúpeného karnom a nórom.

### Literatúra

- [1] Andrusov D., 1959: Geológia československých Karpát II. Vyd. SAV Bratislava.
- [2] Kotański Z., 1959: Stratigraphy, sedimentology and paleogeography of the high-tatric Triassic in the Tatra Mts. Acta geologica polonica IX/2, Warszawa. — [3] Kúšík R., 1959: Litológia sedimentárnych sérií územia Oravíc. Geolog. sborník X/1, Bratislava.

Rudolf Kúšík

### Metakryštály dolomitu ako jeden z rozlišovacích znakov pri určovaní sukcesie vzniku minerálov

Pri štúdiu karbonátových hornín sa často stretávame s metakryštálmi dolomitu v základnej kalcitovej hmote (tab. XIV, obr. 1). Bez skúmania iných znakov sa zdá, že vznikli počas procesov, pri ktorých základná vápencová hmota

bola zatláčaná vznikajúcimi dolomitovými zrnkami. Vedie nás k tomu aj skutočnosť, že prvým produktom pri sedimentácii v morskej panve býva vápnité bahno, ktoré až neskôr v procese diagenézy podlieha procesom metasomatízy, ku ktorým patrí aj dolomitizácia. Ide tu teda o postupnosť kryštalizácie: kalcit — dolomit. Podporuje ju aj fakt, že i v úplne dolomitizovaných vápenecoch nachádzame neúplne zatláčené organické zvyšky. Metakryštál dolomitu nezriedka majú kostrovitý vývoj, ktorý rovnako ako uzavreniny neúplne zatláčeného kalcitu v metakryštáloch dolomitu svedčia o tom, že vápenec bol zatláčaný dolomitom. Podobné kritériá som použil aj pri štúdiu postupnosti vzniku minerálov na polymetalickom Pb—Zn—Cu ložisku Drienok pri Banskej Bystrici, ležiacom v strednotriassových dolomitoch (Bystrický 1964).

Na základe týchto i ďalších v literatúre uvádzaných kritérií (Bernard 1963; Borodin 1963; Genkin 1963; Kutina 1963; Hak 1965; Atanasov 1965) určil som nasledujúcu postupnosť tvorenia minerálov:

*Dolomit I. generácie* tvorí obyčajne zrná okolo 0,8 mm veľké, riedko roztrúsené v základnej hmotě dolomitu II. a III. generácie. Ide tu asi o úlomky organických zvyškov, vypĺňané monokryštálom dolomitu. Niekedy ide o priečne rezy krinoidovými článkami, keď na mieste pôvodného centrálneho kanálka je vyvinutý klenec dolomitu. Zrná dolomitu sú niekedy lemované styloblitickými puklinkami, ktoré sa v okolitej hmotě dolomitu II. a III. generácie strácajú. Aj puklinky, pretínajúce zrná dolomitu I. generácie, sa mimo hranic zrna strácajú v dôsledku vyhladenia dolomitom II. a III. generácie. Prítomnosť pukliniek v zrnách dolomitu I. generácie svedčí o tom, že dolomit I. generácie je starší. Dolomit II. generácie vznikol zrejme v pevnej hornine, v ktorej už predtým existovali pukliny.

*Dolomit II. generácie* vytvára granoblasticke štruktúry s hypidiomorfím až alotriomorfím obmedzením. Na styku s dolomitom I. generácie vytvára idiomorfne obmedzené klence, ktoré prenikajú aj do dolomitizovaných krinoidových článkov. Niekedy pomerne oválne zrno dolomitu I. generácie, pôvodne zatláčené monokryštálom dolomitu (súdiac podľa iných zrн) podľahlo ďalšej premene, pričom nedošlo k zmene minerálnych fáz, ale len veľkosti jedincov. „Valúnik“ potom tvorí dolomit II. generácie, čo pripomína silicifikované (pôvodne karbonátové) oolity. Treba podotknúť, že tento dolomit sa vyskytuje len vo „valúniku“; jeho bezprostredné okolie tvorí dolomit III. generácie. Rozšírenie dolomitu II. generácie sa zdá byť niekedy viazané na puklinky stylolitického charakteru; na jednej strane puklinky totiž ostáva starý materiál (ryptokryštálický karbonát), na druhej strane puklinky preniká dolomit základnou hmotou a zatláča ju. Vzniká tak granoblasticke štruktúra, typická pre dolomit II. generácie.

*Dolomit III. generácie* sa vyznačuje veľkosťou zrна medzi 0,008—0,05 mm; tým sa dosť výrazne lísi od dolomitu II. generácie. Pri „zatláčaní“ posledného

dolomit III. generácie preniká po styku zrín a vytvára na ich styku idiomorfne obmedzené klence, vnikajúce do dolomitu II. generácie nepravidelne. Smery postupu sú vyznačené maličkými zrniečkami dolomitu III. generácie, ktoré sa vyskytujú najviac v okrajových častiach, kým stredná časť zrna je ešte nepostihnutá. „Zatláčanie“ dolomitu II. generácie ide niekedy až tak ďaleko, že v dolomite III. generácie sa nachodia už len zhluky, alebo len jednotlivé zrná. Hoci obidva typy majú granoblastickú štruktúru, u dolomitu III. generácie býva niekedy prítomný karbonátový tmel medzi zrnami, mladší ako dolomity a viazaný na tektonické puklinky. Dolomit III. generácie prejavuje často späťost s puklinkami, po ktorých prenikali nečistoty vo forme bituminóznej zložky a limonitu, prípadne aj pyrit. Preto je dolomit III. generácie najviac znečistený uvedenými zložkami, ktoré prenikajú obyčajne po styku jednotlivých zrín; tým nadobúda hornina šedé až tmavošedé sfarbenie.

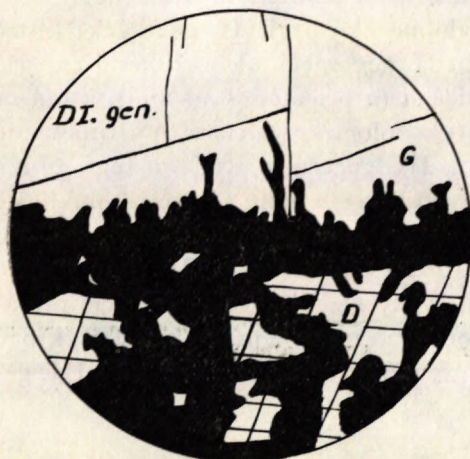
Jedným z kritérií pre rozlíšenie jednotlivých generácií dolomitu je veľkosť zrna, podmienená rôznymi fyzikálnymi a chemickými podmienkami, z ktorých najmä tlak mohol byť rozhodujúci pri type zrnitosti. V našom prípade tieto procesy mohli prebiehať na hranici rekryštalizácie a metasomatózy. Prenikanie klencov dolomitu II do dolomitu I (krinoidové články) sa dialo pod určitým tlakom, pričom dochádzalo k cirkulácii roztokov a súčasne k rozpúšľaniu už existujúcich generácií.

Rekryštalizáciou vzniknuté štruktúry možno podľa toho pokladať za samostatné generácie. Takou je napr. IV. generácia dolomitu, u ktorej pozorovať prejavy začínajúcej rekryštalizácie. Prejavuje sa obyčajne objavovaním sa nevýrazne obmedzených zrín o priemere 0,007 mm, ktoré samy o sebe nejavaia ešte zhodnú optickú orientáciu na celej ploche zrna. Na obvode zrna je sice už vytlačená nečistota (organický pigment + limonit), ale vo vnútri obruby pozorovať defekty v orientovanej stavbe, pripomínajúce niekedy jemnovláknité agregáty, charakteristické undulóznym zhášaním. Dost často pozorovať na obvode týchto zrniečok prírastkové obruby, zvýrazňované organickým pigmentom. V takýchto obrubách sú často dve, alebo aj viaceré zárodočné centrá, ale už so zhodnou optickou orientáciou, kým zbytok zapríčinuje už spomínané undulózne zhášanie. Priebeh rekryštalizácie pripomína zbernú kryštalizáciu u vyvrelých hornín. Spôsob koexistencie dolomitu IV. generácie s minerálmi oxydačnej zóny, resp. vytláčanie organického pigmentu, limonitu a pod. naznačujú celkom mladý pôvod opisovaného procesu.

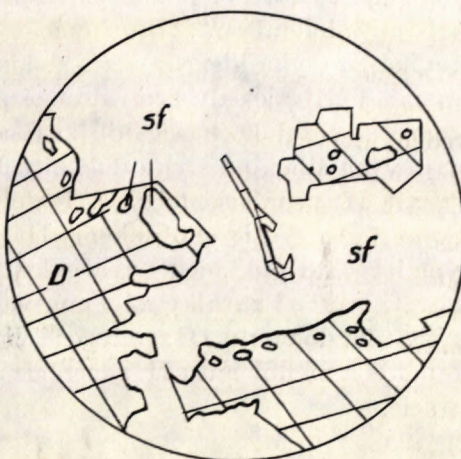
*Dolomit kryptokryštalický* je na ložisku tiež značne rozšírený. Zatiaľ sme nezistili žiadne znaky, ktoré by umožňovali jeho začlenenie vzhľadom k vymedzeným štyrom skupinám. Charakter jeho vystupovania a vzťah k zrudňovacím procesom naznačujú, že mohol vzniknúť ešte pred I. generáciou dolomitu hrubokryštalického.

Napokon sa zmienim ešte o vzťahu jednotlivých generácií dolomitu k zrudňo-

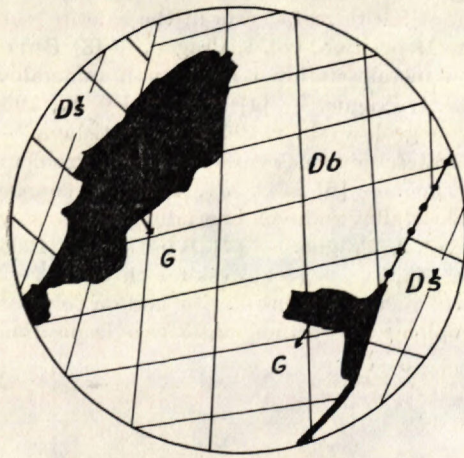
vacím procesom. Na ložisku rozlišujeme dva typy zrudnenia: metasomatické a žilné. V prípade metasomatického zrudnenia ide o rudné zrniečka, 0,06—1,3 mm veľké, rozptýlené v základnej dolomitovej hmote bez nejakých zákonitostí. Toto zrudnenie spadá medzi I. a II. generáciu dolomitov. Galenit na styku s dolomitom I. generácie niekedy preniká do neho v podobe jemných žiliel (obr. 1), (inokedy spolu so sfaleritom). Na druhej strane dolomit II. a III. generácie preniká do galenitu vo forme idiomorfne obmedzených klencov.



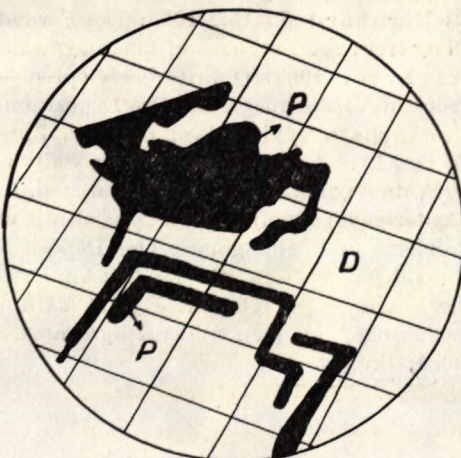
Obr. 1. Zatláčanie hrubokryštalického dolomitu galenitom I., zväčš. 130×.



Obr. 2. Lalokovité zatláčanie sfaleritu I. dolomitom II. a III., zväčš. 320×.



Obr. 3. Výplň pukliny starším galenitom a mladším bielym dolomitem; Dš — šedý dolomit, Db — biely dolomit; zväčš. 189×.



Obr. 4. Pyrit II na styku s dolomitovými zrnkami, zväčš. 320×.

V metakryštáloch dolomitu sa zvyčajne nachádzajú relikty galenitu, ktoré sú obyčajne zonálne usporiadane vzhľadom ku klencovému obmedzeniu metakryštálu (tab. XIV, obr. 3). Niekedy rudná zložka nachádza sa v centre kryštálu; zriedkavejšie dolomit ju zatláča lalokovite, pričom sa jej relikty nachodia uprostred dolomitu (obr. 2).

Žilný typ zrudnenia je spravidla doprevádzaný bielym dolomitom, ktorý je mladší. Rudná zložka totiž tvorí okraje žilek, biely dolomit strednú časť (obr. 3) a zatláča (metakryštály) rudné minerály. Mladší ako žilné zrudnenie je dolomit III. a IV. generácie. Napr. sfalerit na puklinke býva z väčšej časti zatláčaný dolomitom III. generácie, podobne ako pyrit II. generácie, ktorý preniká po styku klencov a zrn dolomitu II. generácie, alebo žilkami naprieč zrnam. Pyrit niekedy tvorí drobné zrniečky (o priemere 0,01 mm), ktoré sa hromadia v zhlukoch, sledujú zväčša styk dolomitových zrn. Vystupovanie pyritových žilek na styku dolomitu II. a III. generácie svedčí o tom, že ide o pyrit II. generácie (obr. 4). Podobné postavenie majú aj jemné puklinky (okolo 5  $\mu$ ) mladšie ako dolomit II. generácie, lebo prerážajú jeho zrná. Vo výplni týchto pukliniek býva galenit. Mladší ako dolomit III. generácie je galenit, tvoriaci závalky až 3 mm veľké. Žilky galenitu III. generácie prerážajú zrnká dolomitu III. generácie. Podobné postavenie má aj tenantit, ktorý koroduje zrná dolomitu II. generácie a preniká po styku zrn dolomitu III. generácie.

### Literatúra

- [1] Atanasov A. N., 1965: Metakristally iz nekotorych magmatogennych rudnych mestoroždenij Bolgarii. Problems of Postmagmatic Ore Deposition vol. 2, Prague. —
- [2] Bernhard J. H., 1963: The Formation of barite metacrysts in the siderite wein filling from ... Problems of Postmagmatic Ore Deposition, vol. 1, Prague. — [3] Borodin L. S., 1963: O kriterijach opredelenija metakristallov i nerudnych mineralov. Problems of Postmagmatic Ore Deposition, vol. 1, Prague. — [4] Bystrický J., 1964 Stratigrafia a vývin triasu Drienku. Zprávy o geol. výsk. r. 1963—2, Bratislava. —
- [5] Genkin A. D., 1963: Metakristally i izbirateľnoje zameščenie v rudach. Problems of Postmagmatic Ore Deposition, vol. 1, Prague. — [6] Hak J., 1965: K voprosu o kriterijach pozvoljajušich opredelenije metakristallov rudnych i nerudnych mineralov. Problems of Postmagmatic Ore Deposition, vol. 2, Prague. — [7] Kušík R., 1964: Mineralogia Pb—Zn rúd na ložisku Drienok. Zprávy o geol. výskumoch r. 1963—2, Bratislava. — [8] Kutina J., 1963: On quartz metacrysts in siderite and on selective replacement in monomineral aggregates. Problems of Postmagmatic Ore Deposition, vol. 1, Prague.

## Vorkommen der Rhaet—Gesteine inmitten der liassischen Kalk—Dolomitbrekzien der tatriden Hüllenserie in den Kleinen Karpaten

In der bisherigen Literatur (D. Štúr 1860; Schaffer 1899; Koutecký — Zoubek 1936; Andrusov 1938; Mahel 1959) hat man die Kalksteine, Dolomite bzw. die Dolomit-Karbonatbrekzien, die die unmittelbare Hülle des kleinkarpatischen Kristallinkernes bilden, stratigraphisch verschiedenerweise betrachtet (Trias-Lias). In der letzten Zeit stellt D. Andrusov (1959) die Kalk-Dolomitbrekzien der Devín-Klippe zum Lias.

Die eigentliche Klippe ist durch dunkelgraue Dolomitkalke, graue Dolomite und Dolomit-Kalkbrekzien gebaut. Die letzteren kommen hauptsächlich an der Nordseite der Burgklippe vor; auf den angewitterten Flächen trifft man ziemlich häufig Belemnitenquerschnitte, vereinzelt auch Ammonite. Inmitten dieser Brekzien befinden sich bis 0,5 m grosse Blöcke grauer bis bräunlicher feiner Lumachellenkalke, in welchen folgende Makrofauna festgestellt wurde: *Leda* sp., *Rhaetavicula contorta* (Portl.), *Chlamys valoniensis* (Defr.), *Chlamys trigeri* (Oppel), *Placunopsis alpina* (Winkl.), *Myophoria cf. emmrichi* (Winkl.), *Cardita cloacina* (Quenst.), *Isocyprina (?) ewaldi* (Born.) und *Protocardia rhaetica* (Mér.). Diese artenreiche Assoziation trägt einen ausgeprochenen Rhaet-Charakter; es befindet sich darunter auch das rhaetische Leitfossil *Rhaetavicula contorta* (Portl.).

Durch diese Vorkommen ist die Anwesenheit des Rhaet auch in der tatriden Hülle des kleinkarpatischen Kristallinkernes belegt. Nach dem Gebirge Strážovská hornatina ist somit vorläufig das zweite Vorkommen des marinen Rhaet in den tatriden Hüllen der westkarpathischen Kerngebirge festgestellt worden. Mit ihrer Zusammensetzung ist die Bivalvienfauna jener aus der Krížna- und Chočdecke ähnlich; der Unterschied besteht nur darin, dass die Exemplare in den Kleinen Karpaten nur sehr kleine Dimensionen erreichen, als ob sie infolge der ungünstigen Lebensbedingungen verkrüppelt wären.

In der Grundmasse der Dolomit-Kalkbrekzien und im anderen brekziösen Material finden wir eine ganz abweichende Makrofaunenassoziation. Die häufigen Belemnite und schlecht erhaltenen Ammonite der Arietites-Gruppe deuten auf das Lias-Alter der Gesteine hin.

Mikroskopisch handelt es sich bei den Rhaet-Gesteinen um Biosparrudit mit häufigen Molluskenfragmenten, bzw. um Biosparit bis Biomikrit, die auch Mikroorganismen und Oosparite, vereinzelt auch *Semiinvoluta aff. clari*

Kristan.—Tollmann enthalten. Von Mikroorganismen wurden *Ostracoda* div. sp., Schwammigeln und Foraminiferen, vertreten durch *Nodosaria armeniensis* Efimova, *Semiinvoluta clari* Kristan—Tollmann, *Paalzowella* sp. und *Lenticulina* div. sp., identifiziert.

Die Bindemasse zwischen den Brekzien und dem zum Lias gehörenden Nebengestein ist durch spiculitischen Biomikrit mit monaxonen, tetraxonen und Hexactinelliden-Schwammigeln und calcifizierten Rhaxen gebildet. Neben Ostracoden und Schwammigeln kommen noch Echinodermenglieder, Crinoiden, Seeigeln, Spiculen der Holoturien, Pelecypodenbruchstücke, winzige Gastropoden und sehr selten auch Ammonite vor. Von den häufig auftretenden Foraminiferen ist *Involutina liassica* (Jones) die wichtigste. Ausserdem wurde auch *Lenticulina* (*Lenticulina*) div. sp., *Lenticulina* (*Astacolus*) div. sp., *Nodosaria* sp., *Lingulina* sp., *Arenovidalina* sp., *Valvulina* sp. und *Textularia* sp. gefunden.

Die rhaetischen und älteren Triasgesteine in den Brekzien dürfen aus dem primären Sedimentationsraume in der unmittelbaren Umgebung stammen. Dafür spricht auch die sehr mangelhafte Abrundung der Brekzien, die von einem nur kurzen Transport der Brekzien zeugt. Die Rhaet-Gesteinsbruchstücke dürften nach ihrer Ablagerung weiter abgetragen und entlang einer der zahlreichen Bruchlinien, die in dieser Umgebung bekannt sind, resedimentiert werden. Die grösseren Gesteinskörper konnten in den damaligen Lias-Binnensee im Rutschwege gelangen.

### Schrifttum

- [1] Andrusov D., 1938: Geológia Slovenska. Praha. — [2] Andrusov D., 1959: Geologie der tschechoslowakischen Karpaten. VSAV, Bratislava. — [3] Koutecký J. — Zoubek V., 1936: Vysvětlivky ke geol. mapě list Bratislava 4758. Knih. St. geol. úst. 18, Praha. — [4] Maheil M., 1959: Stratigrafické problémy obalovej série Malých Karpát. Geologické práce, Zprávy 15, Bratislava. — [5] Schaffer F. X., 1899: Fauna der Dachschiefer von Mariathal. Jahrb. d. geol. Reichsanst. 49, Wien. — [6] Štúr D., 1860: Bericht über die geol. Übersichtsaufnahme d. Wassergebietes der Waag und Neutra. Jahrb. d. geol. Reichsanstalt 11, Wien.

---

### GEOLOGICKÉ PRÁCE, ZPRÁVY 43

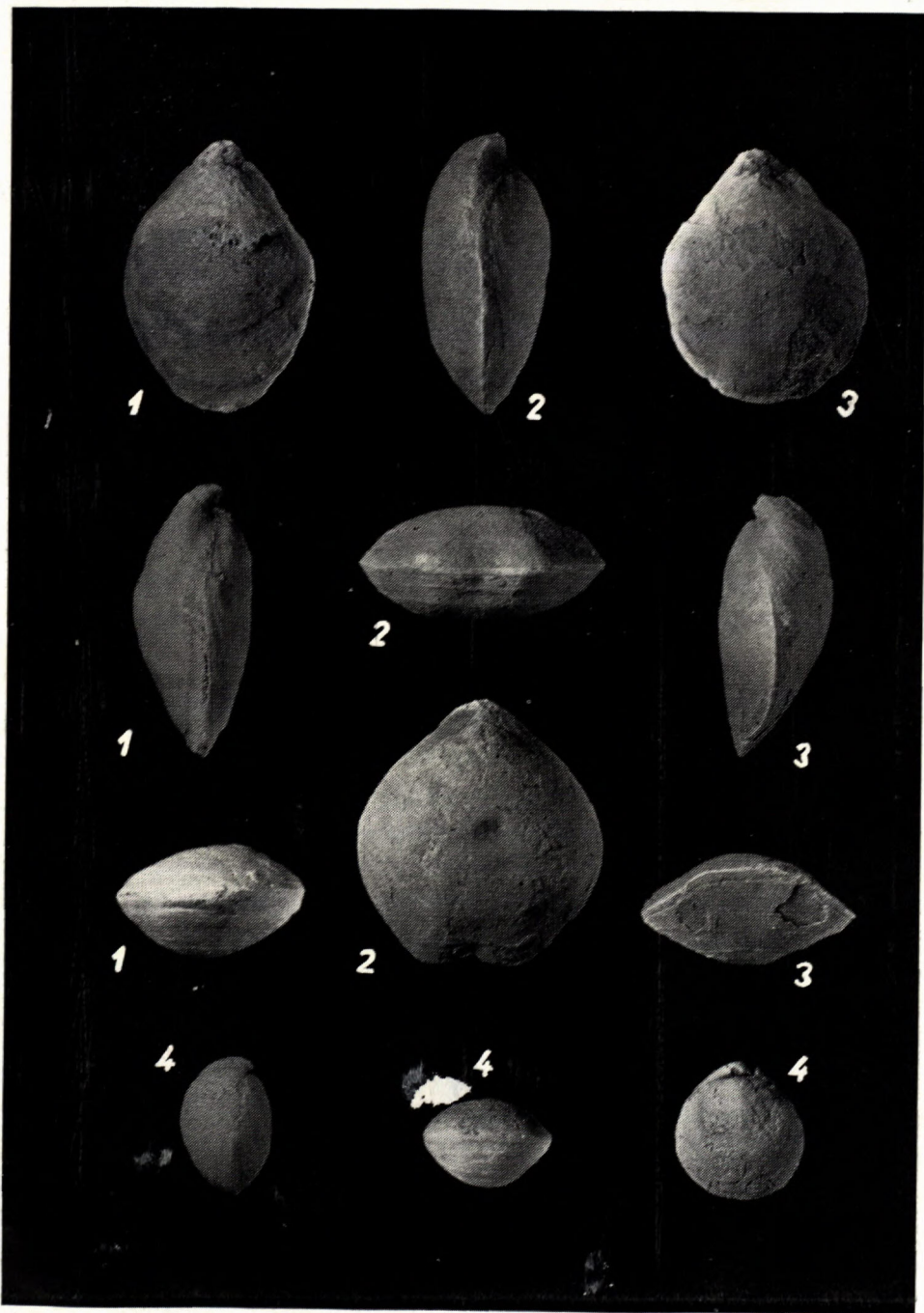
Vydal Geologický ústav Dr. Štefana Štúra v Bratislavě  
vo Vydavatelstve Slovenskej akadémie vied v Bratislave roku 1967

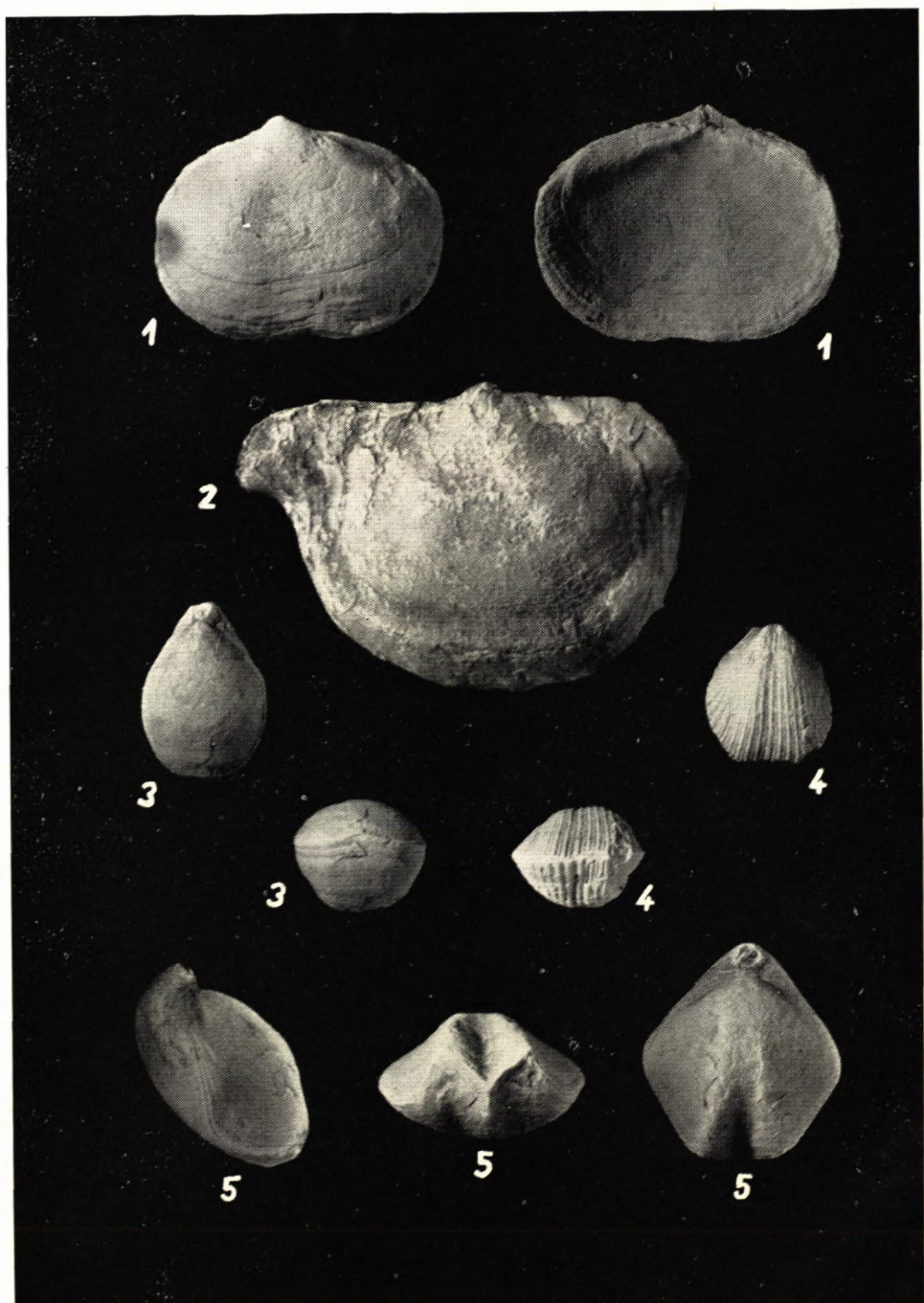
Vedecký redaktor: dr. Ondrej Samuel, CSc.

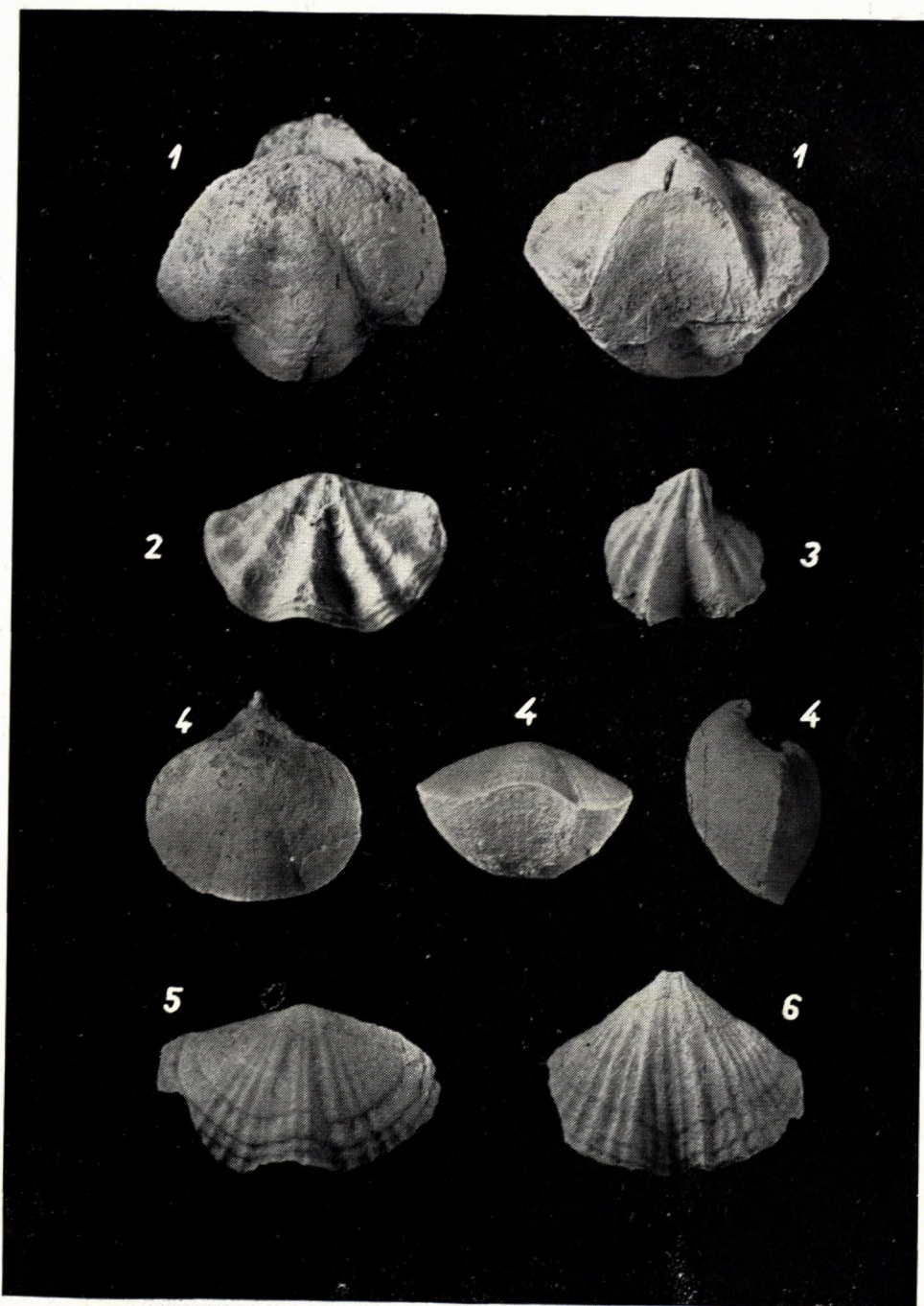
Pov. 1268/66-VO. Vytlačila Pravda, vydavatelstvo ÚV KSS v Bratislave písmom  
garmond Extendet. 17,42 AH, 17,85 VH. K-22\*71589

Tem. skupina 03/9

Brož. Kčs 20,—







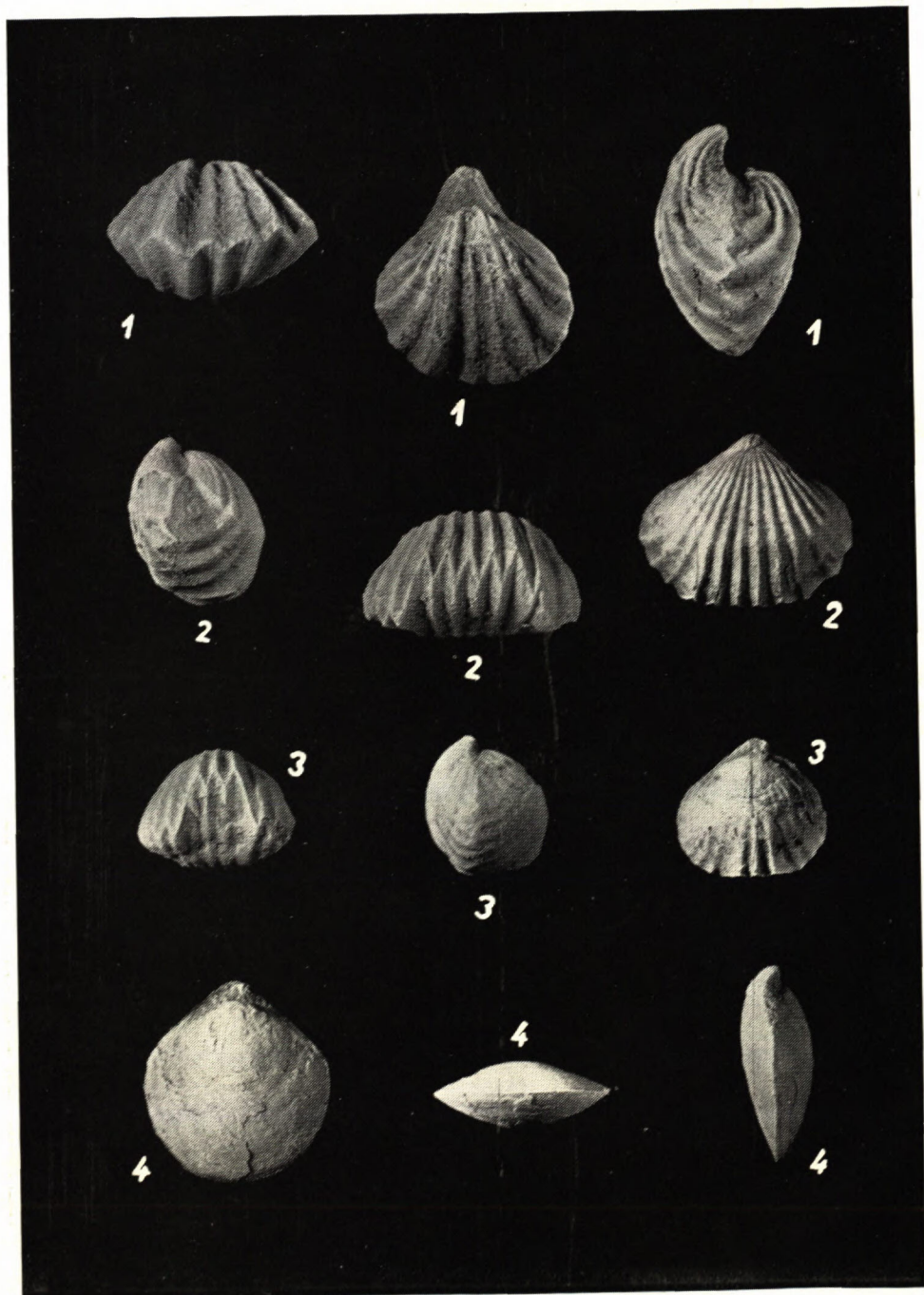




Abb. 1.



Abb. 2.



Abb. 3.



Abb. 4.

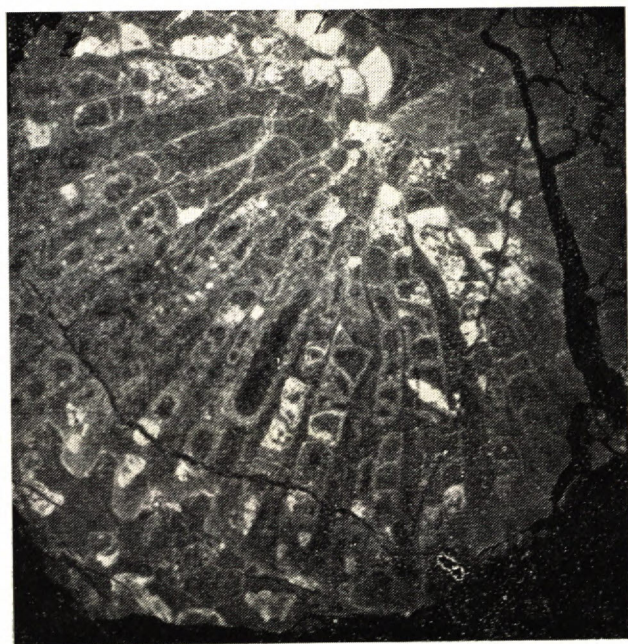


Abb. 1.



Abb. 2.



Abb. 3.

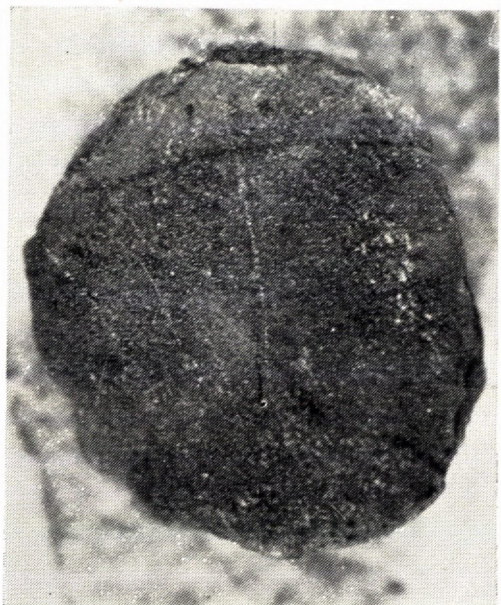


Abb. 1.



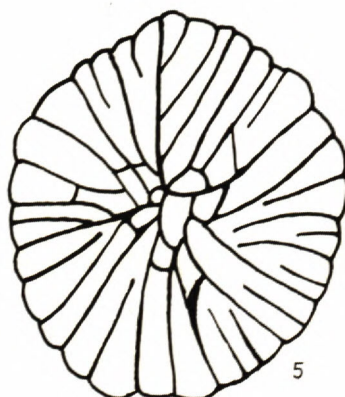
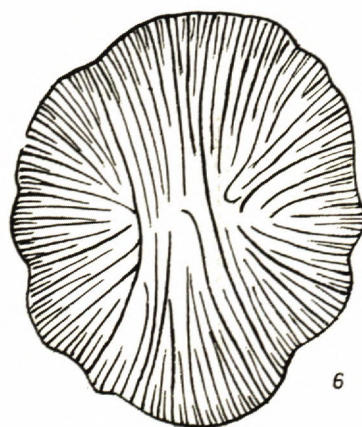
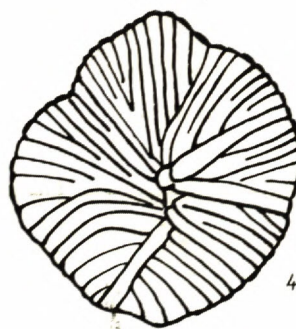
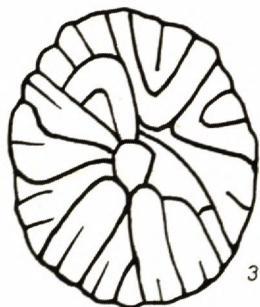
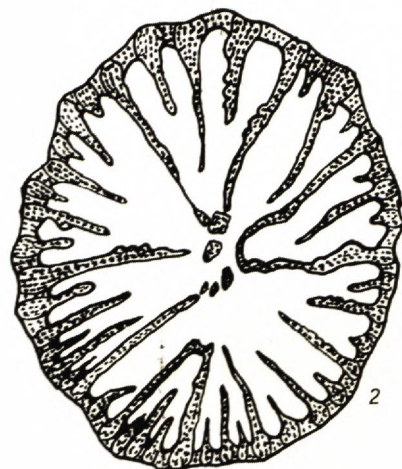
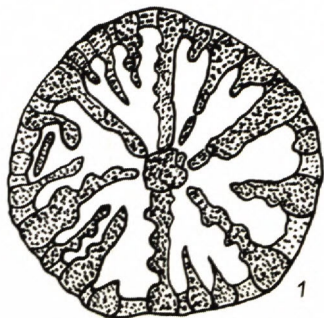
Abb. 2.

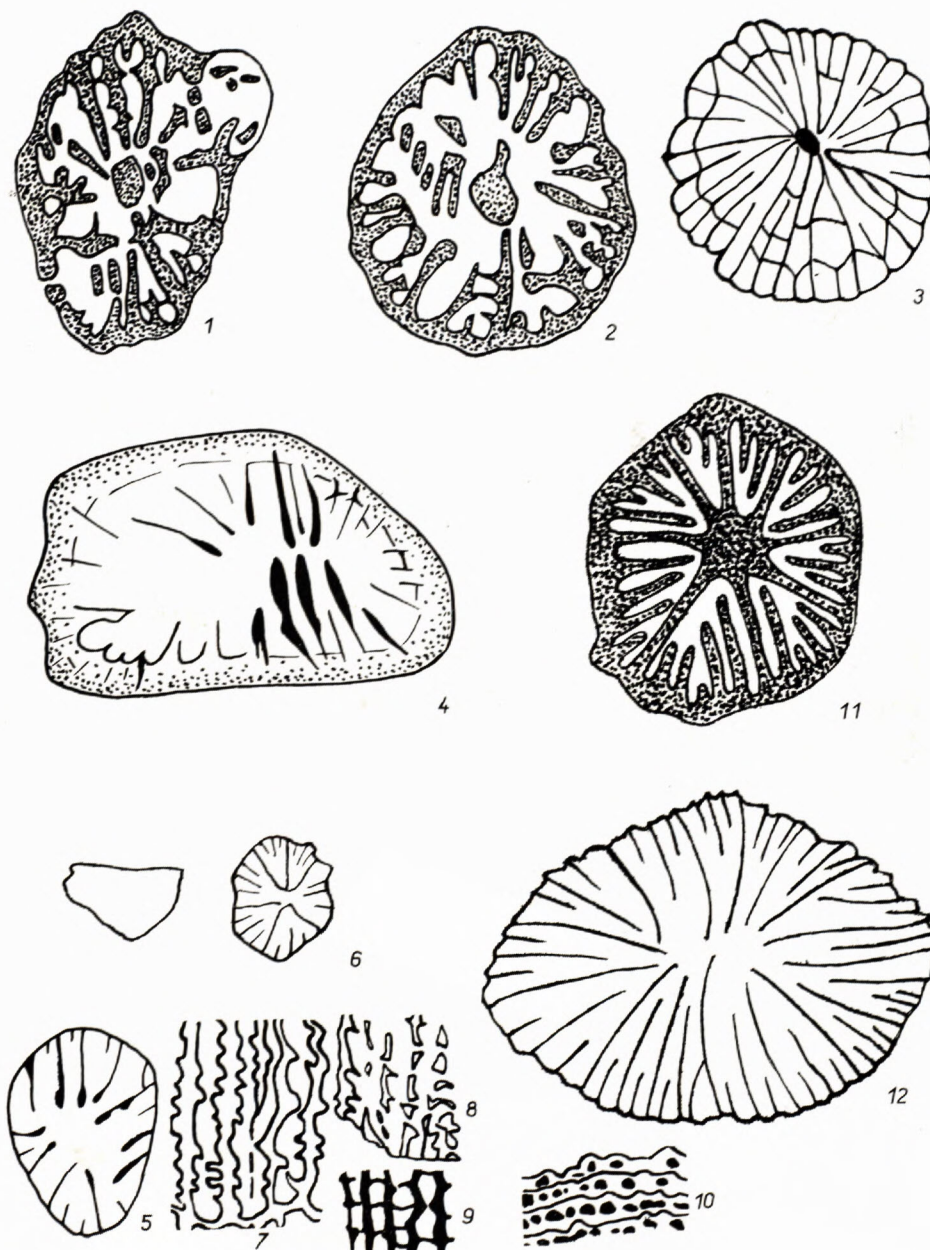


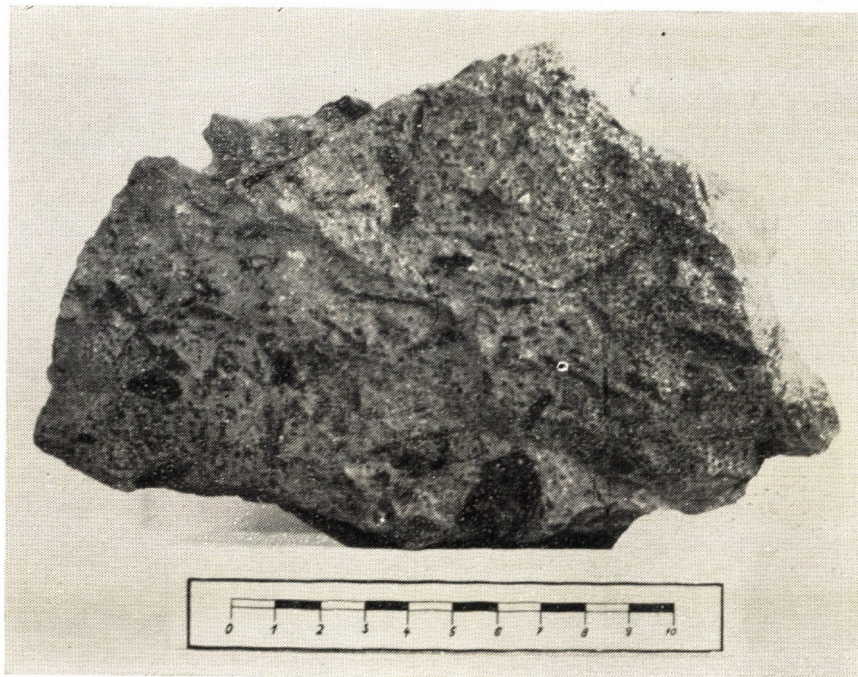
Abb. 3.



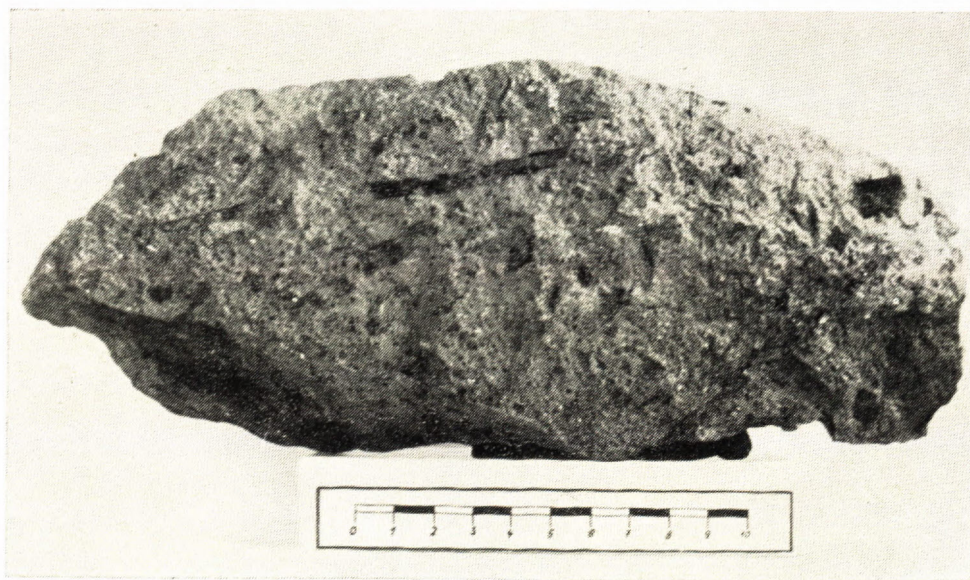
Abb. 4.







Obr. 1.



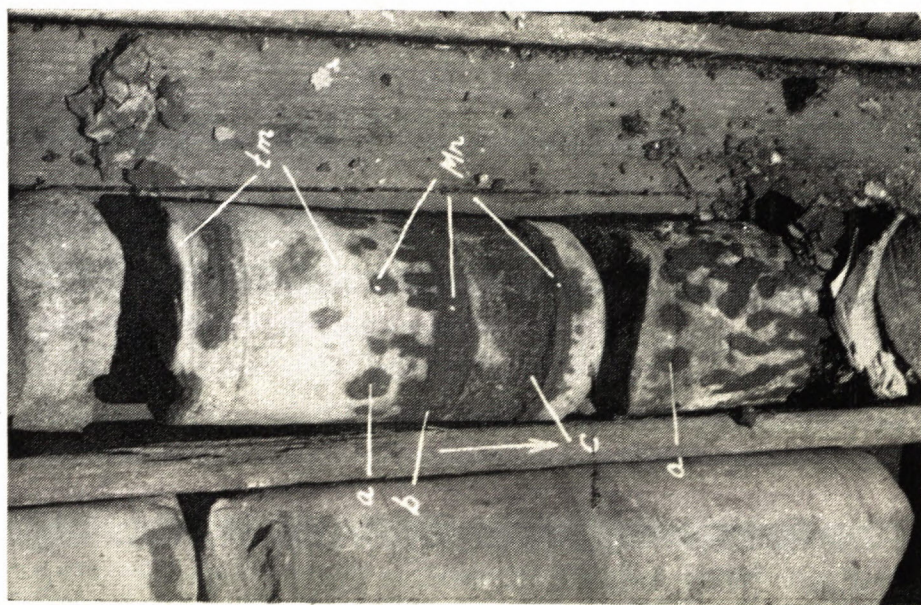
Obr. 2.



Obr. 1.



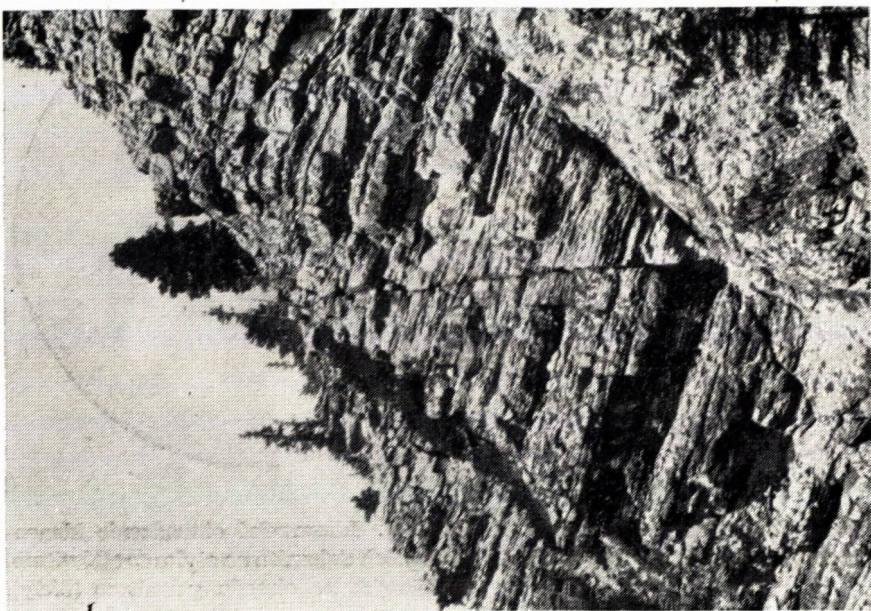
Obr. 2.



Obr. 1.

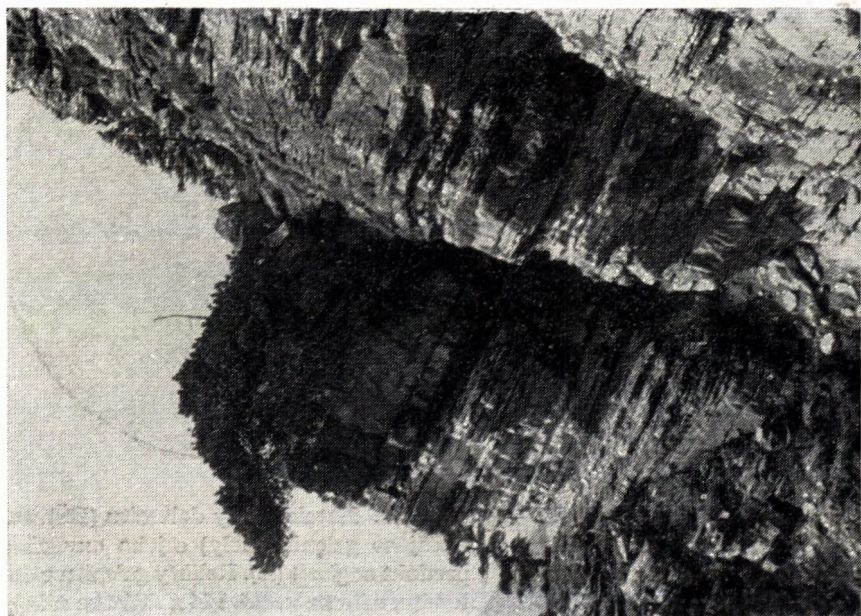


Obr. 2.

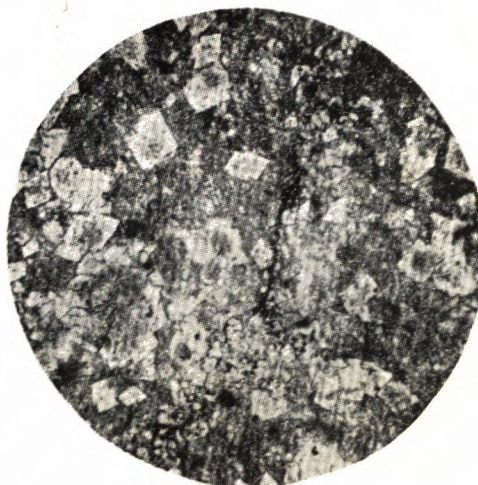


Obr. 2. Komplex 4 karbonátového keupra pod Zámkami.

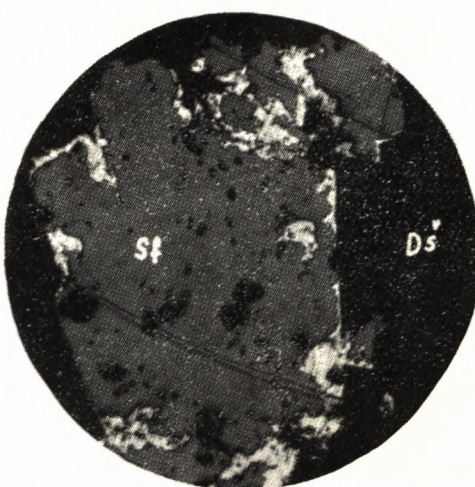
Foto: Kušík.



Obr. 1. Časť karbonátového keupra pod Zámkami (Javorinská Široká). Foto: Kušík.



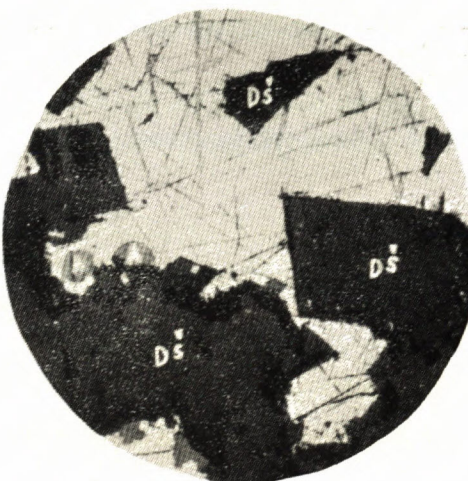
Obr. 1. Metakryštály dolomitu v kalcito-  
vej zákl. hmote; Drienok, výbrus zväčš.  
36×.



Obr. 2. Idiomorfne obmedzenie klenco-  
vých plôch dolomitu na styku so sfaleritom,  
zatláčaným na obvode galenitom (biely);  
nábrus, zväčš. 174×.



Obr. 3. Metakryštály dolomitu (Ds —  
šedý), zatláčajúceho galenit (biely). Zonál-  
ne usporiadane relikty galenitu v dolomite;  
A — anglezit. Nábrus, zväčš. 116×.



Obr. 4. Metakryštály dolomitu (Ds), za-  
tláčajúce galenit (biely) a jeho oxydačný  
produkt anglezit (A). Relikty galenitu v do-  
lomite, nábrus; zväčš. 174×. Všetko nikoly  
paralelné, foto Mastihuba.

